

ALLEGATO ALLA RELAZIONE FONDAZIONI

N° 2

FONDAZIONE CORPO GRIGLIATI

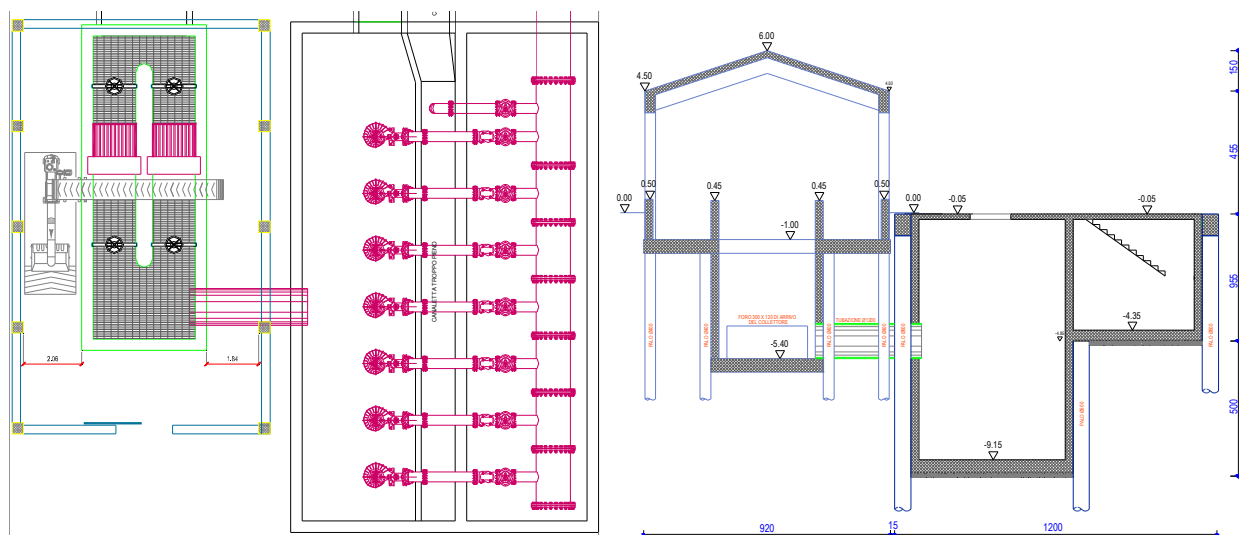
INDICE

INDICE	2
1 - DESCRIZIONE GENERALE DELL'OPERA	3
2 - NORMATIVA DI RIFERIMENTO.....	4
3 – TABULATO DI CALCOLO – FONDAZIONE CORPO UFFICI.....	5
4 - CONCLUSIONI	93

1 - DESCRIZIONE GENERALE DELL'OPERA

L'opera oggetto della presente relazione consiste in una stazione di sollevamento di liquami; l'impianto presenta tre corpi giuntati di cui uno adibito ad uffici, uno con funzione di grigliatura ed uno destinato all'alloggiamento delle pompe di sollevamento.

Il locale griglia ed il locale pompe sono ravvicinati e presentano un giunto sismico di circa 15 cm.



Il locale griglie presenta una copertura a solaio bifalda realizzato con travetti precompressi e laterizio sorretti da travi emergenti che ne costruiscono l'ossatura principale in entrambe le direzioni principali; l'impalcato è sostenuto da dieci pilastri poggianti su travi con pali, la vasca centrale di grigliatura è protetta lungo il perimetro da una paratia di pali da 400 mm di diametro.

Le azioni previste sulla struttura sono legate alla destinazione d'uso e sono rappresentate da:

- Ambienti suscettibili di grande affollamento: musei, sale da ballo, palestre, tribune, sale da concerto, palasport, ecc.
(Cat. C3 – Tab. 3.1.II - DM 14.01.2008) pari a $5,0 \text{ kN/m}^2$;
- carichi accidentali per *Balconi, ballatoi e scale comuni*
(Cat. C2 – Tab. 3.1.II - DM 14.01.2008) pari a $4,0 \text{ kN/m}^2$;
- azione della neve;
- azione del vento;
- sisma.

2 - NORMATIVA DI RIFERIMENTO

Le fasi di analisi e verifica della struttura sono state condotte in accordo alle seguenti disposizioni normative, per quanto applicabili in relazione al criterio di calcolo adottato dal progettista, evidenziato nel prosieguo della presente relazione:

Legge 5 novembre 1971 n. 1086 (G. U. 21 dicembre 1971 n. 321)

"Norme per la disciplina delle opere di conglomerato cementizio armato, normale e precompresso ed a struttura metallica"

Legge 2 febbraio 1974 n. 64 (G. U. 21 marzo 1974 n. 76)

"Provvedimenti per le costruzioni con particolari prescrizioni per le zone sismiche"

Indicazioni progettive per le nuove costruzioni in zone sismiche a cura del Ministero per la Ricerca scientifica - Roma 1981.

D. M. Infrastrutture Trasporti 14 gennaio 2008 (G.U. 4 febbraio 2008 n. 29 - Suppl. Ord.)

"Norme tecniche per le Costruzioni"

Inoltre, in mancanza di specifiche indicazioni, ad integrazione della norma precedente e per quanto con esse non in contrasto, sono state utilizzate le indicazioni contenute nella:

Circolare 2 febbraio 2009 n. 617 del Ministero delle Infrastrutture e dei Trasporti
(G.U. 26 febbraio 2009 n. 27 – Suppl. Ord.)

"Istruzioni per l'applicazione delle 'Norme Tecniche delle Costruzioni' di cui al D.M. 14 gennaio 2008".

C.N.R. – UNI 10011

"Istruzioni per il calcolo l'esecuzione e il montaggio"

UNI ENV 1993-1-1

"Eurocodice 3: Progettazione delle strutture di acciaio Parte 1-1 regole generali e regole per gli edifici"

UNI 11104:2004

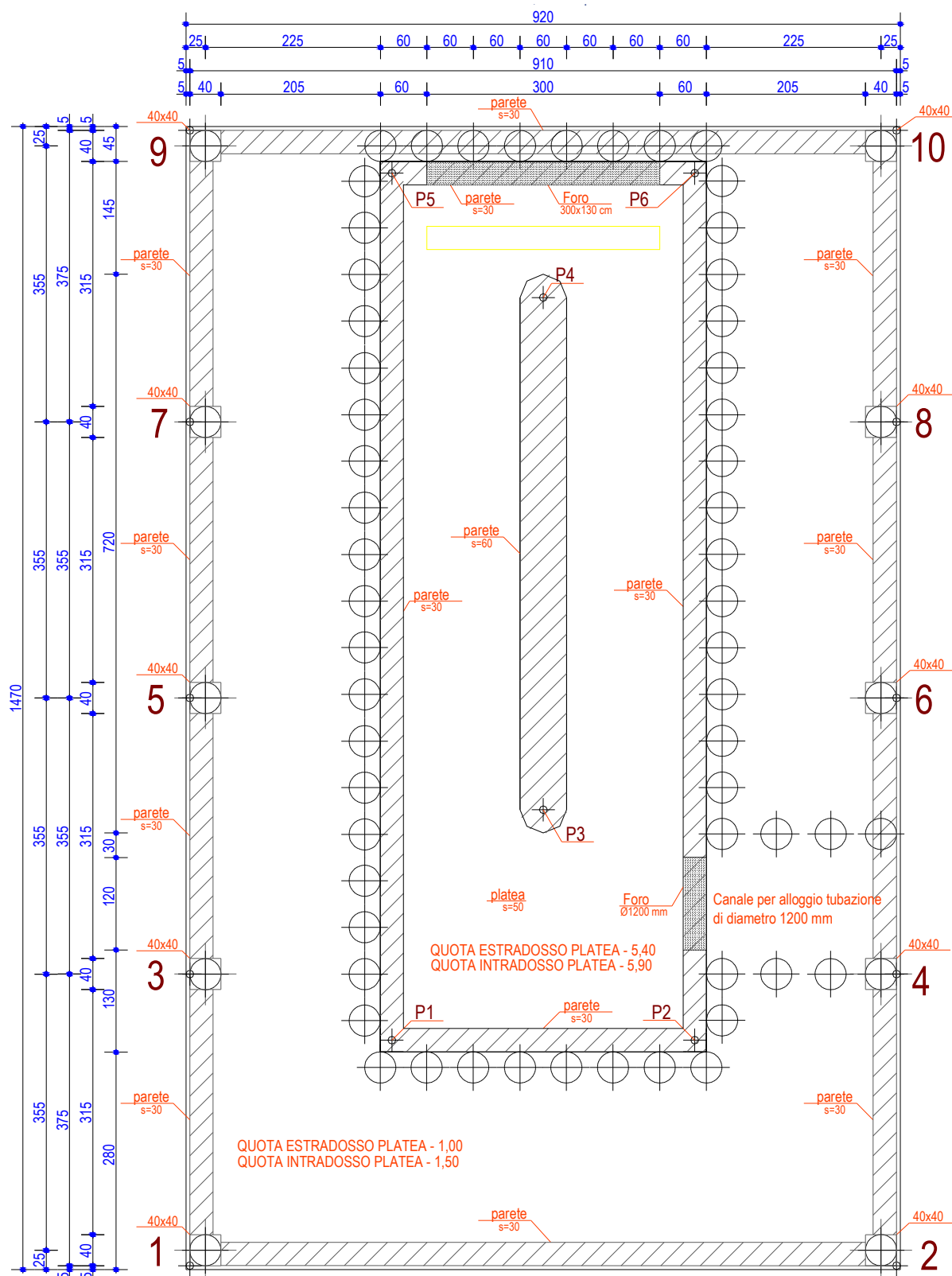
UNI EN 206-1:2006

UNI EN 197

3 – TABULATO DI CALCOLO – FONDAZIONE CORPO GRIGLIATI

Ai fini della pericolosità sismica sono stati analizzati i dati relativi alla sismicità dell'area di interesse e ad eventuali effetti di amplificazione stratigrafica e topografica. Si sono tenute in considerazione anche la classe dell'edificio e la vita nominale.

Per tale caratterizzazione si riportano di seguito i dati di pericolosità come da normativa:



PLATEE - VERIFICHE PRESSOFLESSIONE RETTA ALLO STATO LIMITE ULTIMO (Fondazione)

Platee - Verifiche pressoflessione retta allo stato limite ultimo																		
D	P	Nodo	N	M	Af	CS	Nodo	N	M	Af	CS	Nodo	N	M	Af	CS		
			[N]	[N-m]	[cm²/cm]			[N]	[N-m]	[cm²/cm]			[N]	[N-m]	[cm²/cm]			
Piano Fondo Vasca						Platea1												
P	S	00058	27,137	1,489	0.08044	93.40	00059	-62,640	3,039	0.08044	52.42	00060	-47,301	1,971	0.08044	79.08		
	I		30,505	1,556	0.08044	88.88		21,962	915	0.08044	NS		24,095	1,126	0.08044	NS		
S	S		0	0	0.08044	-		0	0	0.08044	-		0	0	0.08044	-		
	I		14,471	7,127	0.08044	19.91		7,192	1,342	0.08044	NS		4,068	1,009	0.08044	NS		
P	S	00061	-	4,558	0.08044	37.11	00062	-	2,825	0.08044	59.43	00063	-46,265	1,974	0.08044	78.84		
	I		106,372	16,496	1,822	0.08044		77.65	100,819	13,597	1,458		0.08044	97.48	22,274	1,265	0.08044	NS
S	S		5,600	327	0.08044	NS		0	0	0.08044	-		0	0	0.08044	-		
	I		44	1,249	0.08044	NS		-127	1,160	0.08044	NS		3,755	886	0.08044	NS		
P	S	00064	-61,414	3,175	0.08044	50.09	00065	-77,458	5,101	0.08044	31.89	00066	19,205	3,798	0.08044	37.09		
	I		25,265	1,203	0.08044	NS		13,658	1,548	0.08044	91.80		0	0	0.08044	-		
S	S		0	0	0.08044	-		0	0	0.08044	-		21,850	2,695	0.08044	52.04		
	I		-248	2,389	0.08044	60.80		7,355	8,579	0.08044	16.73		10,909	7,996	0.08044	17.85		
P	S	00067	3,904	2,026	0.08044	71.23	00068	8,259	1,965	0.08044	72.94	00069	4,154	1,237	0.08044	NS		
	I		0	0	0.08044	-		0	0	0.08044	-		0	0	0.08044	-		
S	S		10,329	8,299	0.08044	17.21		16,488	5,175	0.08044	27.34		12,708	3,640	0.08044	39.10		
	I		0	0	0.08044	-		0	0	0.08044	-		0	0	0.08044	-		
P	S	00070	436	1,196	0.08044	NS	00071	67	1,807	0.08044	80.34	00072	684	1,152	0.08044	NS		
	I		0	0	0.08044	-		0	0	0.08044	-		0	0	0.08044	-		
S	S		11,213	1,878	0.08044	75.97		10,023	970	0.08044	NS		13,474	614	0.08044	NS		
	I		0	0	0.08044	-		-26,567	279	0.08044	NS		-26,905	108	0.08044	NS		
P	S	00073	11,953	1,643	0.08044	86.73	00074	3,133	912	0.08044	NS	00075	6,654	1,208	0.08044	NS		
	I		0	0	0.08044	-		0	0	0.08044	-		0	0	0.08044	-		
S	S		18,568	330	0.08044	NS		19,356	337	0.08044	NS		8,335	273	0.08044	NS		
	I		-30,722	218	0.08044	NS		11,094	10	0.08044	NS		24,904	202	0.08044	NS		
P	S	00076	284	1,476	0.08044	98.33	00077	520	1,371	0.08044	NS	00078	8,980	1,311	0.08044	NS		
	I		0	0	0.08044	-		0	0	0.08044	-		0	0	0.08044	-		
S	S		19,094	154	0.08044	NS		24,527	199	0.08044	NS		17,478	78	0.08044	NS		
	I		-20,217	72	0.08044	NS		-35,069	337	0.08044	NS		12,356	125	0.08044	NS		
P	S	00079	535	1,329	0.08044	NS	00080	1,374	980	0.08044	NS	00081	9,700	11,831	0.08044	12.09		
	I		0	0	0.08044	-		0	0	0.08044	-		0	0	0.08044	-		
S	S		29,344	120	0.08044	NS		-56,193	478	0.08044	NS		-14,777	3,308	0.08044	44.90		
	I		0	0	0.08044	-		30,242	470	0.08044	NS		0	0	0.08044	-		
P	S	00082	119	25,875	0.08044	5.61	00083	1,031	4,860	0.08044	29.83	00084	16,912	27,332	0.08044	5.17		
	I		-9,963	2,864	0.08044	51.48		-1,067	9,982	0.08044	14.57		-10,928	1,566	0.08044	94.29		
S	S		5,945	6,430	0.08044	22.37		-1,362	6,427	0.08044	22.64		-13,332	8,261	0.08044	17.94		
	I		0	0	0.08044	-		0	0	0.08044	-		10,992	5,243	0.08044	27.22		
P	S	00085	11,985	14,057	0.08044	10.14	00086	3,246	1,976	0.08044	73.11	00087	17,646	4,380	0.08044	32.24		
	I		0	0	0.08044	-		0	0	0.08044	-		0	0	0.08044	-		
S	S		-14,654	2,973	0.08044	49.95		-13,062	1,321	0.08044	NS		-196	1,701	0.08044	85.38		
	I		-16,532	143	0.08044	NS		0	0	0.08044	-		0	0	0.08044	-		
P	S	00088	61,597	9,874	0.08044	13.30	00089	54,383	2,683	0.08044	49.54	00090	-831	160	0.08044	NS		
	I		0	0	0.08044	-		0	0	0.08044	-		46,991	612	0.08044	NS		
S	S		18,842	687	0.08044	NS		1,291	515	0.08044	NS		-1,784	236	0.08044	NS		
	I		0	0	0.08044	-		-5,526	104	0.08044	NS		1,834	201	0.08044	NS		
P	S	00091	0	0	0.08044	-	00092	0	0	0.08044	-	00093	-23,651	199	0.08044	NS		
	I		44,838	1,743	0.08044	77.49		48,357	1,856	0.08044	72.34		47,079	587	0.08044	NS		
S	S		-6,944	76	0.08044	NS		-1,662	50	0.08044	NS		-2,176	259	0.08044	NS		
	I		32	196	0.08044	NS		362	226	0.08044	NS		2,142	215	0.08044	NS		
P	S	00094	54,693	2,725	0.08044	48.75	00095	61,995	10,087	0.08044	13.01	00096	18,033	4,502	0.08044	31.35		
	I		0	0	0.08044	-		0	0	0.08044	-		0	0	0.08044	-		
S	S		-1,752	533	0.08044	NS		18,522	653	0.08044	NS		-1,389	1,882	0.08044	77.32		
	I		-2,464	134	0.08044	NS		0	0	0.08044	-		0	0	0.08044	-		
P	S	00097	2,972	1,907	0.08044	75.79	00098	8,239	1,542	0.08044	92.95	00099	764	1,485	0.08044	97.66		
	I		0	0	0.08044	-		0	0	0.08044	-		0	0	0.08044	-		
S	S		-21,973	2,113	0.08044	71.06		-14,522	1,069	0.08044	NS		-5,563	771	0.08044	NS		
	I		0	0	0.08044	-		-25,364	67	0.08044	NS		0	0	0.08044	-		
P	S	00100	1,190	1,185	0.08044	NS	00101	675	1,445	0.08044	NS	00102	9,205	1,335	0.08044	NS		
	I		0	0	0.08044	-		0	0	0.08044	-		0	0	0.08044	-		
S	S		-2,782	616	0.08044	NS		-1,808	478	0.08044	NS		4,961	31	0.08044	NS		
	I		0	0	0.08044	-		0	0	0.08044	-		-27,555	249	0.08044	NS		
P	S	00103	552	1,339	0.08044	NS	00104	267	1,458	0.08044	99.54	00105	6,496	1,182	0.08044	NS		
	I		0	0	0.08044	-		0	0	0.08044	-		0	0	0.08044	-		
S	S		2,536	130	0.08044	NS		-666	128	0.08044	NS		-17,064	354	0.08044	NS		
	I		-24,458	320	0.08044	NS		-7,661	112	0.08044	NS		5,669	350	0.08044	NS		
P	S	00106	3,113	894	0.08044	NS	00107	12,494	1,603	0.08044	88.82	00108	692	1,127	0.08044	NS		
	I		0	0	0.08044	-		0	0	0.08044	-		0	0	0.08044	-		
S	S		-2,436	472	0.08044	NS		7,312	309	0.08044	NS		6,421	585	0.08044	NS		
	I		6,149	30	0.08044	NS		-18,800	223	0.08044	NS		-18,382	104	0.08044	NS		
P	S	00109	142	1,771	0.08044	81.97	00110	458	1,166	0.08044	NS	00111	4,981	1,186	0.08044	NS		
	I		0	0	0.08044	-		0	0	0.08044	-		0	0	0.08044	-		
S	S		5,320	939	0.08044	NS		8,615	1,832	0.08044	78.19		12,108	3,602	0.08044	39.55		
	I		-21,485	280	0.08044	NS		0	0	0.08044	-		0	0	0.08044	-		
P	S	00112	8,642	1,912	0.08044	74.92	00113	4,001	1,951	0.08044	73.96	00114	39,209	3,371	0.08044	40.44		
	I		0	0	0.08044	-		0	0	0.08044	-		0	0	0.08044	-		
S	S		17,891	5,122	0.08044	27.56		10,945	8,320	0.08044	17.15		23,179	2,915	0.08044	48.01		

Platee - Verifiche pressoflessione retta allo stato limite ultimo																
D	P	Nodo	N	M	Af	CS	Nodo	N	M	Af	CS	Nodo	N	M	Af	CS
			[N]	[N-m]	[cm²/cm]			[N]	[N-m]	[cm²/cm]			[N]	[N-m]	[cm²/cm]	
	I		0	0	0.08044	-		0	0	0.08044	-		23,471	7,582	0.08044	18.45
P	S	00115	10,701	261	0.08044	NS	00116	10,363	281	0.08044	NS	00117	10,902	261	0.08044	NS
	I		-9,812	1,223	0.08044	NS		-13,792	1,329	0.08044	NS		-14,419	1,259	0.08044	NS
S	S	00118	13,599	201	0.08044	NS	00400	14,123	311	0.08044	NS	00401	13,613	323	0.08044	NS
	I		-21,672	2,400	0.08044	62.53		-26,441	2,392	0.08044	63.19		-24,712	2,348	0.08044	64.21
P	S	00118	11,201	263	0.08044	NS	00400	-6,915	2,473	0.08044	59.34	00401	2,805	1,399	0.08044	NS
	I		-10,718	1,246	0.08044	NS		0	0	0.08044	-		-3,480	283	0.08044	NS
S	S	00402	13,717	185	0.08044	NS	00403	30,909	304	0.08044	NS	00404	0	0	0.08044	-
	I		-23,033	2,399	0.08044	62.69		38,917	280	0.08044	NS		39,185	146	0.08044	NS
P	S	00402	3,184	1,427	0.08044	NS	00403	5,017	365	0.08044	NS	00404	6,995	1,341	0.08044	NS
	I		0	0	0.08044	-		-6,527	111	0.08044	NS		0	0	0.08044	-
S	S	00405	-41,175	5,922	0.08044	26.09	00406	-44,420	5,956	0.08044	26.06	00407	-24,956	6,996	0.08044	21.56
	I		22,044	249	0.08044	NS		0	0	0.08044	-		0	0	0.08044	-
P	S	00405	1,791	1,006	0.08044	NS	00406	-3,426	1,659	0.08044	87.98	00407	0	0	0.08044	-
	I		0	0	0.08044	-		-266	837	0.08044	NS		-6,009	791	0.08044	NS
S	S	00408	26,011	1,665	0.08044	83.68	00409	0	0	0.08044	-	00410	0	0	0.08044	-
	I		0	0	0.08044	-		66,015	2,716	0.08044	47.97		84,032	8,901	0.08044	14.18
P	S	00408	310	1,116	0.08044	NS	00409	12,483	532	0.08044	NS	00410	2,252	1,111	0.08044	NS
	I		-2,438	836	0.08044	NS		5,858	52	0.08044	NS		0	0	0.08044	-
S	S	00411	-34,779	1,571	0.08044	97.41	00412	29,032	4,720	0.08044	29.37	00413	18,544	3,803	0.08044	37.08
	I		61,873	1,602	0.08044	81.91		0	0	0.08044	-		0	0	0.08044	-
P	S	00411	8,705	1,535	0.08044	93.31	00412	9,268	554	0.08044	NS	00413	193	1,436	0.08044	NS
	I		0	0	0.08044	-		-4,685	940	0.08044	NS		-1,237	1,212	0.08044	NS
S	S	00414	20,372	3,704	0.08044	37.96	00415	42,155	2,495	0.08044	54.38	00416	-10,762	1,291	0.08044	NS
	I		0	0	0.08044	-		-5,270	288	0.08044	NS		79,049	2,187	0.08044	58.22
P	S	00414	0	0	0.08044	-	00415	994	1,188	0.08044	NS	00416	4,891	940	0.08044	NS
	I		-3,572	4,109	0.08044	35.53		-7,513	1,108	0.08044	NS		0	0	0.08044	-
S	S	00417	0	0	0.08044	-	00418	-18,412	271	0.08044	NS	00419	41,157	838	0.08044	NS
	I		101,327	12,113	0.08044	10.10		75,987	3,462	0.08044	36.98		32,347	1,750	0.08044	78.79
P	S	00417	1,669	822	0.08044	NS	00418	10,948	1,154	0.08044	NS	00419	3,052	1,205	0.08044	NS
	I		872	392	0.08044	NS		0	0	0.08044	-		0	0	0.08044	-
S	S	00420	14,902	5,714	0.08044	24.82	00421	19,615	2,436	0.08044	57.79	00422	21,054	3,067	0.08044	45.79
	I		0	0	0.08044	-		0	0	0.08044	-		0	0	0.08044	-
P	S	00420	1,595	966	0.08044	NS	00421	0	0	0.08044	-	00422	-6,367	2,970	0.08044	49.37
	I		1,753	758	0.08044	NS		-1,454	1,379	0.08044	NS		2,930	1,559	0.08044	92.71
S	S	00423	-2,292	2,561	0.08044	56.90	00424	0	0	0.08044	-	00425	6,920	694	0.08044	NS
	I		41,252	2,268	0.08044	59.91		66,773	8,644	0.08044	15.05		62,937	5,068	0.08044	25.84
P	S	00423	8,571	1,623	0.08044	88.27	00424	824	1,589	0.08044	91.26	00425	-149	994	0.08044	NS
	I		0	0	0.08044	-		0	0	0.08044	-		4,378	378	0.08044	NS
S	S	00426	36,253	1,728	0.08044	79.29	00427	-5,281	4,702	0.08044	31.13	00428	-44,046	6,251	0.08044	24.82
	I		0	0	0.08044	-		0	0	0.08044	-		0	0	0.08044	-
P	S	00426	11,893	326	0.08044	NS	00427	4,674	1,277	0.08044	NS	00428	-4,681	3,128	0.08044	46.76
	I		-65	126	0.08044	NS		0	0	0.08044	-		0	0	0.08044	-
S	S	00429	-40,929	7,525	0.08044	20.52	00430	-46,956	7,255	0.08044	21.47	00431	0	0	0.08044	-
	I		0	0	0.08044	-		40,130	1,146	0.08044	NS		-23,111	2,124	0.08044	70.81
P	S	00429	-7,139	597	0.08044	NS	00430	-861	3,275	0.08044	44.39	00431	-	10,397	0.08044	16.63
	I		45,190	1,110	0.08044	NS		55,390	1,620	0.08044	81.90		123,047			
S	S	00432	-12,139	2,584	0.08044	57.25	00433	9,749	647	0.08044	NS	00434	44,701	1,942	0.08044	69.57
	I		0	0	0.08044	-		-4,163	236	0.08044	NS		2,536	551	0.08044	NS
P	S	00432	-78,488	6,921	0.08044	23.53	00433	-65,544	5,152	0.08044	31.05	00434	3,258	148	0.08044	NS
	I		32,174	647	0.08044	NS		0	0	0.08044	-		-81,422	4,794	0.08044	34.11
S	S	00435	2,323	118	0.08044	NS	00436	4,328	195	0.08044	NS	00437	0	0	0.08044	-
	I		1,561	147	0.08044	NS		-4,802	75	0.08044	NS		-1,158	318	0.08044	NS
P	S	00435	-54,747	4,007	0.08044	39.32	00436	-55,621	3,305	0.08044	47.73	00437	0	0	0.08044	-
	I		0	0	0.08044	-		0	0	0.08044	-		-30,417	1,922	0.08044	79.11
S	S	00438	-3,270	156	0.08044	NS	00439	513	334	0.08044	NS	00440	0	0	0.08044	-
	I		-341	22	0.08044	NS		-3,436	67	0.08044	NS		-1,418	358	0.08044	NS
P	S	00438	-48,396	3,238	0.08044	48.21	00439	-29,533	2,028	0.08044	74.88	00440	0	0	0.08044	-
	I		0	0	0.08044	-		0	0	0.08044	-		-40,484	3,213	0.08044	48.03
S	S	00441	-4,513	227	0.08044	NS	00442	-1,910	421	0.08044	NS	00443	0	0	0.08044	-
	I		0	0	0.08044	-		0	0	0.08044	-		-2,357	225	0.08044	NS
P	S	00441	-55,643	4,571	0.08044	34.51	00442	-65,627	4,659	0.08044	34.34	00443	960	68	0.08044	NS
	I		0	0	0.08044	-		0	0	0.08044	-		-	9,526	0.08044	17.97
S	S	00444	-1,361	217	0.08044	NS	00445	-2,869	402	0.08044	NS	00446	115,472	1,530	0.08044	89.92
	I		0	0	0.08044	-		3,474	100	0.08044	NS		33,724	230	0.08044	NS
P	S	00444	-66,533	6,358	0.08044	25.19	00445	-4,778	4,151	0.08044	35.24	00446	2,502	253	0.08044	NS
	I		47,196	1,367	0.08044	98.41		53,155	2,011	0.08044	66.23		941	253	0.08044	NS
S	S	00447	7,528	853	0.08044	NS	00448	0	0	0.08044	-	00449	-4,065	337	0.08044	NS
	I		-803	309	0.08044	NS		1,796	243	0.08044	NS		43,343	1,143	0.08044	NS
P	S	00447	-3,947	3,150	0.08044	46.38	00448	0	0	0.08044	-	00449	-7,722	3,076	0.08044	47.77
	I		0	0	0.08044	-		3,416	1,350	0.08044	NS		0	0	0.08044	-
S	S	00450	25,327	399	0.08044	NS	00451	0	0	0.08044	-	00452	11,375	302	0.08044	NS
	I															

Platee - Verifiche pressoflessione retta allo stato limite ultimo																
D	P	Nodo	N	M	Af	CS	Nodo	N	M	Af	CS	Nodo	N	M	Af	CS
			[N]	[N-m]	[cm²/cm]			[N]	[N-m]	[cm²/cm]			[N]	[N-m]	[cm²/cm]	
	I		3,556	1,589	0.08044	90.87		-1,823	1,224	0.08044	NS		3,328	873	0.08044	NS
S	S		0	0	0.08044	-		0	0	0.08044	-		-13,172	2,292	0.08044	64.64
	I		58,518	4,625	0.08044	28.53		63,097	8,285	0.08044	15.80		44,346	3,018	0.08044	44.79
P	S	00456	4,547	1,027	0.08044	NS	00457	11,037	1,702	0.08044	83.84	00458	-2,406	1,158	0.08044	NS
	I		1,400	26	0.08044	NS		0	0	0.08044	-		9,464	357	0.08044	NS
S	S		28,599	1,183	0.08044	NS		40,557	2,145	0.08044	63.42		37,718	2,623	0.08044	52.11
	I		0	0	0.08044	-		0	0	0.08044	-		0	0	0.08044	-
P	S	00459	5,510	826	0.08044	NS	00460	1,274	1,137	0.08044	NS	00461	0	0	0.08044	-
	I		0	0	0.08044	-		-8,094	1,102	0.08044	NS		-3,568	4,112	0.08044	35.51
S	S		34,397	1,671	0.08044	82.24		-26,423	134	0.08044	NS		0	0	0.08044	-
	I		26,350	1,778	0.08044	78.31		75,128	3,481	0.08044	36.83		101,450	12,226	0.08044	10.00
P	S	00462	-912	1,402	0.08044	NS	00463	7,777	538	0.08044	NS	00464	8,699	1,521	0.08044	94.17
	I		-104	1,175	0.08044	NS		-3,148	927	0.08044	NS		0	0	0.08044	-
S	S		-24,742	1,178	0.08044	NS		43,095	2,378	0.08044	56.96		21,475	3,610	0.08044	38.88
	I		79,736	2,313	0.08044	54.98		14,372	374	0.08044	NS		0	0	0.08044	-
P	S	00465	2,297	1,100	0.08044	NS	00466	12,519	528	0.08044	NS	00467	-99	1,125	0.08044	NS
	I		0	0	0.08044	-		6,086	44	0.08044	NS		-1,987	851	0.08044	NS
S	S		19,705	3,719	0.08044	37.84		30,236	4,639	0.08044	29.83		-23,776	1,618	0.08044	93.05
	I		0	0	0.08044	-		0	0	0.08044	-		62,992	1,666	0.08044	78.61
P	S	00468	0	0	0.08044	-	00469	-3,657	1,680	0.08044	86.92	00470	1,847	1,035	0.08044	NS
	I		-5,898	791	0.08044	NS		-14	856	0.08044	NS		0	0	0.08044	-
S	S		0	0	0.08044	-		-9,276	28	0.08044	NS		26,882	1,628	0.08044	85.46
	I		85,076	8,931	0.08044	14.10		66,966	2,759	0.08044	47.14		0	0	0.08044	-
P	S	00471	7,171	1,334	0.08044	NS	00472	4,720	388	0.08044	NS	00473	4,643	1,421	0.08044	NS
	I		0	0	0.08044	-		-6,285	138	0.08044	NS		0	0	0.08044	-
S	S		-24,171	6,954	0.08044	21.66		-43,690	5,913	0.08044	26.22		-40,473	5,899	0.08044	26.16
	I		0	0	0.08044	-		0	0	0.08044	-		0	0	0.08044	-
P	S	00474	3,041	1,468	0.08044	98.44	00475	-7,457	2,436	0.08044	60.29	00476	34,898	133	0.08044	NS
	I		-3,580	338	0.08044	NS		0	0	0.08044	-		41,129	639	0.08044	NS
S	S		3,529	3,934	0.08044	36.70		28,987	407	0.08044	NS		-13,186	2,587	0.08044	57.27
	I		36,584	1,059	0.08044	NS		37,232	222	0.08044	NS		0	0	0.08044	-
P	S	00477	-52,705	5,587	0.08044	28.11	00478	-74,534	6,857	0.08044	23.62	00479	-	6,934	0.08044	24.37
	I		51,134	1,731	0.08044	77.21		41,850	1,056	0.08044	NS		105,591			
S	S		8,845	1,301	0.08044	NS		4,123	240	0.08044	NS		26,456	108	0.08044	NS
	I		-5,287	311	0.08044	NS		0	0	0.08044	-		-5,837	157	0.08044	NS
P	S	00480	-51,388	7,414	0.08044	21.15	00481	-1,563	4,532	0.08044	32.12	00482	37,517	1,340	0.08044	NS
	I		-4,020	578	0.08044	NS		20,904	622	0.08044	NS		0	0	0.08044	-
S	S		7,195	399	0.08044	NS		26,468	769	0.08044	NS		9,199	668	0.08044	NS
	I		17,877	1,172	0.08044	NS		0	0	0.08044	-		-13,087	46	0.08044	NS
P	S	00483	37,433	610	0.08044	NS	00484	-33,206	2,511	0.08044	60.81	00485	-32,571	3,339	0.08044	45.68
	I		36,585	546	0.08044	NS		26,251	585	0.08044	NS		23,610	680	0.08044	NS
S	S		-18,148	568	0.08044	NS		7,987	789	0.08044	NS		617	733	0.08044	NS
	I		7,248	668	0.08044	NS		-23,944	528	0.08044	NS		-20,603	554	0.08044	NS
P	S	00486	-39,872	2,194	0.08044	70.28	00487	7,878	1,447	0.08044	99.11	00488	-34,269	7,077	0.08044	21.61
	I		18,986	78	0.08044	NS		-34,718	346	0.08044	NS		-7,041	510	0.08044	NS
S	S		1,278	290	0.08044	NS		-10,739	601	0.08044	NS		-1,377	387	0.08044	NS
	I		-2,280	203	0.08044	NS		12,171	206	0.08044	NS		23,155	163	0.08044	NS
P	S	00489	-50,019	7,455	0.08044	20.99	00490	-	8,091	0.08044	21.55	00491	-88,445	7,540	0.08044	21.90
	I		-1,584	46	0.08044	NS		129,513								
S	S		32,415	874	0.08044	NS		32,649	659	0.08044	NS		46,525	772	0.08044	NS
	I		-68	789	0.08044	NS		7,357	526	0.08044	NS		-1,371	776	0.08044	NS
P	S	00492	-2,310	3,305	0.08044	44.09	00493	32,830	347	0.08044	NS	00554	767	481	0.08044	NS
	I		47,439	1,686	0.08044	79.76		13,998	1,981	0.08044	71.70		16,757	224	0.08044	NS
S	S		2,938	405	0.08044	NS		-9,252	3,031	0.08044	48.59		61,142	2,288	0.08044	57.42
	I		-902	213	0.08044	NS		0	0	0.08044	-		55,421	6,806	0.08044	19.49
P	S	00555	4,869	444	0.08044	NS	00556	-220	51	0.08044	NS	00557	1,129	266	0.08044	NS
	I		2,939	352	0.08044	NS		616	284	0.08044	NS		3,297	101	0.08044	NS
S	S		28,793	8,966	0.08044	15.47		37,418	6,970	0.08044	19.62		23,813	5,557	0.08044	25.16
	I		5,456	647	0.08044	NS		0	0	0.08044	-		0	0	0.08044	-
P	S	00558	88	62	0.08044	NS	00559	1,048	164	0.08044	NS	00560	0	0	0.08044	-
	I		371	245	0.08044	NS		750	102	0.08044	NS		-29	259	0.08044	NS
S	S		27,556	5,892	0.08044	23.59		27,055	5,066	0.08044	27.45		20,475	3,682	0.08044	38.18
	I		0	0	0.08044	-		0	0	0.08044	-		0	0	0.08044	-
P	S	00561	0	0	0.08044	-	00562	0	0	0.08044	-	00563	0	0	0.08044	-
	I		-980	356	0.08044	NS		380	146	0.08044	NS		-988	326	0.08044	NS
S	S		11,691	1,814	0.08044	78.59		12,050	1,660	0.08044	85.83		14,190	2,046	0.08044	69.40
	I		0	0	0.08044	-		0	0	0.08044	-		0	0	0.08044	-
P	S	00564	0	0	0.08044	-	00565	0	0	0.08044	-	00566	-266	34	0.08044	NS
	I		-376	207	0.08044	NS		-995	304	0.08044	NS		230	134	0.08044	NS
S	S		7,471	909	0.08044	NS		0	0	0.08044	-		1,759	575	0.08044	NS
	I		-23,918	460	0.08044	NS		-11,611	591	0.08044	NS		-17,852	257	0.08044	NS
P	S	00567	663	151	0.08044	NS	00568	228	170	0.08044	NS	00569	0	0	0.08044	-
	I		3,586	142	0.08044	NS		0	0	0.08044	-		-314	500	0.08044	NS
S	S		10,899	609	0.08044	NS		0	0	0.08044	-		4,943	657	0.08044	NS
	I		0	0	0.08044	-		10,457	659	0.08044	NS		0	0	0.08044	-
P	S	00570	-303	29	0.08044	NS	00571	0	0	0.08044	-	00572	-1,223	101	0.08044	NS
	I		669	247	0.08044	NS		30	439	0.08044	NS		0	0	0.08044	-
S	S		7,799	333	0.08044	NS		-16,756	374	0.08044	NS		0	0	0.08044	-

Platee - Verifiche pressoflessione retta allo stato limite ultimo																
D	P	Nodo	N	M	Af	CS	Nodo	N	M	Af	CS	Nodo	N	M	Af	CS
			[N]	[N-m]	[cm²/cm]			[N]	[N-m]	[cm²/cm]			[N]	[N-m]	[cm²/cm]	
	I		-6,895	37	0.08044	NS		11,947	853	0.08044	NS		14,946	717	0.08044	NS
P	S	00573	0	0	0.08044	-	00574	0	0	0.08044	-	00575	0	0	0.08044	-
	I		-13	378	0.08044	NS		-1,719	370	0.08044	NS		-953	280	0.08044	NS
S	S		17,895	656	0.08044	NS		3,035	134	0.08044	NS		0	0	0.08044	-
	I		0	0	0.08044	-		-20,482	109	0.08044	NS		3,728	604	0.08044	NS
P	S	00576	0	0	0.08044	-	00577	-1,237	288	0.08044	NS	00578	0	0	0.08044	-
	I		-1,645	46	0.08044	NS		0	0	0.08044	-		-2,165	270	0.08044	NS
S	S		0	0	0.08044	-		8,200	408	0.08044	NS		18,901	678	0.08044	NS
	I		-17,580	677	0.08044	NS		0	0	0.08044	-		-45,307	56	0.08044	NS
P	S	00579	0	0	0.08044	-	00580	-148	62	0.08044	NS	00581	0	0	0.08044	-
	I		-2,035	291	0.08044	NS		0	0	0.08044	-		-873	251	0.08044	NS
S	S		0	0	0.08044	-		-10,942	239	0.08044	NS		-96	254	0.08044	NS
	I		5,847	776	0.08044	NS		1,886	45	0.08044	NS		0	0	0.08044	-
P	S	00582	0	0	0.08044	-	00583	0	0	0.08044	-	00584	0	0	0.08044	-
	I		204	67	0.08044	NS		1,740	135	0.08044	NS		-159	167	0.08044	NS
S	S		-49	365	0.08044	NS		-1,939	474	0.08044	NS		-4,909	517	0.08044	NS
	I		0	0	0.08044	-		0	0	0.08044	-		0	0	0.08044	-
P	S	00585	-366	45	0.08044	NS	00586	1,461	67	0.08044	NS	00587	0	0	0.08044	-
	I		1,923	33	0.08044	NS		-5,137	167	0.08044	NS		-721	280	0.08044	NS
S	S		-7,295	599	0.08044	NS		0	0	0.08044	-		-9,672	2,262	0.08044	65.15
	I		0	0	0.08044	-		-29,688	297	0.08044	NS		0	0	0.08044	-
P	S	00588	-1,052	761	0.08044	NS	00589	0	0	0.08044	-	00590	399	560	0.08044	NS
	I		0	0	0.08044	-		-790	357	0.08044	NS		0	0	0.08044	-
S	S		-13,693	2,079	0.08044	71.32		-23,879	2,155	0.08044	69.87		-28,190	1,672	0.08044	90.64
	I		0	0	0.08044	-		0	0	0.08044	-		0	0	0.08044	-
P	S	00591	0	0	0.08044	-	00592	87,633	5,632	0.08044	22.26	00593	69,140	2,747	0.08044	47.17
	I		10,527	584	0.08044	NS		0	0	0.08044	-		0	0	0.08044	-
S	S		18,012	2,890	0.08044	48.83		32,573	1,196	0.08044	NS		0	0	0.08044	-
	I		0	0	0.08044	-		0	0	0.08044	-		562	241	0.08044	NS
P	S	00594	55,762	707	0.08044	NS	00595	-24,453	226	0.08044	NS	00596	0	0	0.08044	-
	I		26,459	27	0.08044	NS		58,237	746	0.08044	NS		51,635	1,425	0.08044	93.70
S	S		0	0	0.08044	-		-302	115	0.08044	NS		0	0	0.08044	-
	I		2,200	305	0.08044	NS		47	10	0.08044	NS		2,116	392	0.08044	NS
P	S	00597	0	0	0.08044	-	00598	0	0	0.08044	-	00599	0	0	0.08044	-
	I		54,551	2,234	0.08044	59.48		51,696	1,942	0.08044	68.75		54,653	1,957	0.08044	67.88
S	S		-611	191	0.08044	NS		0	0	0.08044	-		-590	147	0.08044	NS
	I		0	0	0.08044	-		2,333	398	0.08044	NS		0	0	0.08044	-
P	S	00600	0	0	0.08044	-	00601	1,019	179	0.08044	NS	00602	55,423	714	0.08044	NS
	I		51,524	1,336	0.08044	99.97		57,936	774	0.08044	NS		0	0	0.08044	-
S	S		0	0	0.08044	-		-361	102	0.08044	NS		0	0	0.08044	-
	I		2,233	357	0.08044	NS		0	0	0.08044	-		2,167	298	0.08044	NS
P	S	00603	68,630	2,692	0.08044	48.17	00604	87,002	5,529	0.08044	22.70	00605	0	0	0.08044	-
	I		0	0	0.08044	-		0	0	0.08044	-		4,407	654	0.08044	NS
S	S		0	0	0.08044	-		32,696	1,197	0.08044	NS		19,932	2,696	0.08044	52.19
	I		607	254	0.08044	NS		0	0	0.08044	-		0	0	0.08044	-
P	S	00606	575	424	0.08044	NS	00607	0	0	0.08044	-	00608	-621	731	0.08044	NS
	I		0	0	0.08044	-		6,100	320	0.08044	NS		0	0	0.08044	-
S	S		-12,919	1,627	0.08044	91.03		-4,026	1,651	0.08044	88.49		-1,977	1,552	0.08044	93.84
	I		0	0	0.08044	-		-45,212	14	0.08044	NS		0	0	0.08044	-
P	S	00609	0	0	0.08044	-	00610	-257	858	0.08044	NS	00611	0	0	0.08044	-
	I		-1,150	1,016	0.08044	NS		0	0	0.08044	-		-2,587	1,399	0.08044	NS
S	S		1,996	2,709	0.08044	53.43		-3,826	1,001	0.08044	NS		11,312	470	0.08044	NS
	I		0	0	0.08044	-		-30,900	78	0.08044	NS		0	0	0.08044	-
P	S	00612	5,007	710	0.08044	NS	00613	0	0	0.08044	-	00614	-2,027	12	0.08044	NS
	I		-265	138	0.08044	NS		5,749	503	0.08044	NS		1,456	102	0.08044	NS
S	S		28,166	1,124	0.08044	NS		-60,489	257	0.08044	NS		-66,897	206	0.08044	NS
	I		0	0	0.08044	-		31,767	300	0.08044	NS		41,503	260	0.08044	NS
P	S	00615	0	0	0.08044	-	00616	-2,390	63	0.08044	NS	00617	0	0	0.08044	-
	I		-848	332	0.08044	NS		0	0	0.08044	-		-2,037	300	0.08044	NS
S	S		-60,403	240	0.08044	NS		-62,204	260	0.08044	NS		0	0	0.08044	-
	I		36,173	238	0.08044	NS		37,279	176	0.08044	NS		32,453	810	0.08044	NS
P	S	00618	0	0	0.08044	-	00619	-3,663	307	0.08044	NS	00620	0	0	0.08044	-
	I		-2,096	273	0.08044	NS		0	0	0.08044	-		-1,625	56	0.08044	NS
S	S		39,066	623	0.08044	NS		32,286	424	0.08044	NS		0	0	0.08044	-
	I		-59,550	98	0.08044	NS		-41,344	43	0.08044	NS		20,805	330	0.08044	NS
P	S	00621	0	0	0.08044	-	00622	0	0	0.08044	-	00623	0	0	0.08044	-
	I		-982	263	0.08044	NS		-1,778	375	0.08044	NS		0	373	0.08044	NS
S	S		0	0	0.08044	-		29,005	134	0.08044	NS		35,472	660	0.08044	NS
	I		25,915	470	0.08044	NS		-43,805	88	0.08044	NS		0	0	0.08044	-
P	S	00624	-775	87	0.08044	NS	00625	0	0	0.08044	-	00626	-599	31	0.08044	NS
	I		0	0	0.08044	-		-17	434	0.08044	NS		960	247	0.08044	NS
S	S		0	0	0.08044	-		-23,218	382	0.08044	NS		24,170	340	0.08044	NS
	I		31,654	649	0.08044	NS		26,205	818	0.08044	NS		-18,250	28	0.08044	NS
P	S	00627	0	0	0.08044	-	00628	310	204	0.08044	NS	00629	357	155	0.08044	NS
	I		-353	506	0.08044	NS		0	0	0.08044	-		3,461	145	0.08044	NS
S	S		27,776	400	0.08044	NS		0	0	0.08044	-		17,198	679	0.08044	NS
	I		0	0	0.08044	-		24,549	473	0.08044	NS		0	0	0.08044	-
P	S	00630	-269	32	0.08044	NS	00631	0	0	0.08044	-	00632	0	0	0.08044	-
	I		228	143	0.08044	NS		945	284	0.08044	NS		-381	213	0.08044	NS
S	S		11,278	622	0.08044	NS		0	0	0.08044	-		12,527	938	0.08044	NS

Platee - Verifiche pressoflessione retta allo stato limite ultimo																
D	P	Nodo	N	M	Af	CS	Nodo	N	M	Af	CS	Nodo	N	M	Af	CS
			[N]	[N-m]	[cm²/cm]			[N]	[N-m]	[cm²/cm]			[N]	[N-m]	[cm²/cm]	
	I		-28,051	261	0.08044	NS		-11,977	576	0.08044	NS		-29,512	458	0.08044	NS
P	S	00633	0	0	0.08044	-	00634	0	0	0.08044	-	00635	-63	19	0.08044	NS
	I		-1,025	328	0.08044	NS		242	161	0.08044	NS		-1,051	351	0.08044	NS
S	S	00636	17,521	2,052	0.08044	68.83	00637	14,894	1,710	0.08044	82.94	00638	13,359	1,847	0.08044	76.98
	I		0	0	0.08044	-		0	0	0.08044	-		0	0	0.08044	-
P	S	00639	0	0	0.08044	-	00640	825	187	0.08044	NS	00641	263	65	0.08044	NS
	I		2	265	0.08044	NS		739	97	0.08044	NS		253	273	0.08044	NS
S	S	00642	20,854	3,727	0.08044	37.69	00643	26,283	5,089	0.08044	27.36	00644	26,622	5,870	0.08044	23.71
	I		0	0	0.08044	-		0	0	0.08044	-		0	0	0.08044	-
P	S	00645	1,059	311	0.08044	NS	00646	-188	43	0.08044	NS	00647	14,222	394	0.08044	NS
	I		3,284	112	0.08044	NS		735	336	0.08044	NS		3,734	350	0.08044	NS
S	S	00648	22,743	5,522	0.08044	25.36	00649	35,837	6,914	0.08044	19.83	00650	27,872	8,923	0.08044	15.57
	I		0	0	0.08044	-		0	0	0.08044	-		-490	772	0.08044	NS
P	S	00651	-2,379	405	0.08044	NS	00652	-57,222	4,157	0.08044	38.03	00653	-51,639	1,313	0.08044	NS
	I		12,678	813	0.08044	NS		64,058	1,072	0.08044	NS		52,884	1,864	0.08044	71.48
S	S	00654	58,614	2,300	0.08044	57.37	00655	-3,560	590	0.08044	NS	00656	-2,160	1,329	0.08044	NS
	I		31,422	6,500	0.08044	21.25		2,809	623	0.08044	NS		-3,850	1,006	0.08044	NS
P	S	00657	-57,629	5,013	0.08044	31.56	00658	-63,431	4,129	0.08044	38.63	00659	-4,411	4,485	0.08044	32.60
	I		42,010	2,033	0.08044	66.75		37,970	2,101	0.08044	65.03		1,987	2,848	0.08044	50.82
S	S	00660	-3,655	114	0.08044	NS	00661	8,876	265	0.08044	NS	00662	526	441	0.08044	NS
	I		2,832	788	0.08044	NS		-3,092	507	0.08044	NS		3,386	642	0.08044	NS
P	S	00663	-4,414	2,498	0.08044	58.52	00664	-3,641	5,724	0.08044	25.51	00665	18,556	2,197	0.08044	64.18
	I		7,265	1,091	0.08044	NS		-337	3,288	0.08044	44.18		13,969	968	0.08044	NS
S	S	00666	8,851	451	0.08044	NS	00667	5,422	402	0.08044	NS	00668	6,664	296	0.08044	NS
	I		864	957	0.08044	NS		4,734	911	0.08044	NS		1,016	669	0.08044	NS
P	S	00669	52,568	1,744	0.08044	76.44	00670	-52,610	2,159	0.08044	72.74	00671	-90,610	3,824	0.08044	43.31
	I		56,398	1,154	0.08044	NS		51,687	760	0.08044	NS		60,130	2,077	0.08044	63.36
S	S	00672	666	1,092	0.08044	NS	00673	3,432	620	0.08044	NS	00674	-3,919	709	0.08044	NS
	I		8,375	195	0.08044	NS		-2,028	637	0.08044	NS		2,597	567	0.08044	NS
P	S	00675	-55,269	2,345	0.08044	67.23	00676	88,977	1,527	0.08044	81.91	00677	7,541	5,654	0.08044	25.38
	I		56,235	1,891	0.08044	70.06		0	0	0.08044	-		-614	12,424	0.08044	11.70
S	S	00678	0	0	0.08044	-	00679	0	0	0.08044	-	00680	0	0	0.08044	-
	I		4,415	2,686	0.08044	53.68		36,586	1,260	0.08044	NS		48,672	3,637	0.08044	36.90
P	S	00681	8,379	8,855	0.08044	16.18	00682	-3,027	8,007	0.08044	18.22	00683	6,549	1,584	0.08044	90.73
	I		-8,240	10,866	0.08044	13.53		-10,316	10,564	0.08044	13.96		-3,133	7,132	0.08044	20.46
S	S	00684	-11,740	2,298	0.08044	64.34	00685	-29,645	5,194	0.08044	29.24	00686	-42,477	6,958	0.08044	22.24
	I		5,814	755	0.08044	NS		125	569	0.08044	NS		-330	273	0.08044	NS
P	S	00687	2,866	2,167	0.08044	66.70	00688	0	0	0.08044	-	00689	0	0	0.08044	-
	I		-7,083	6,278	0.08044	23.38		-1,489	3,874	0.08044	37.57		-8,086	8,260	0.08044	17.80
S	S	00690	-42,432	6,094	0.08044	25.40	00691	-73,909	9,906	0.08044	16.34	00692	-51,109	2,412	0.08044	64.97
	I		12,656	976	0.08044	NS		28,442	3,169	0.08044	43.79		35,394	2,203	0.08044	62.28
P	S	00693	4,129	9,584	0.08044	15.05	00694	2,697	11,188	0.08044	12.92	00695	4,128	11,337	0.08044	12.72
	I		-5,400	13,419	0.08044	10.91		-8,621	11,147	0.08044	13.20		-9,295	9,870	0.08044	14.92
S	S	00696	0	0	0.08044	-	00697	31,163	1,385	0.08044	99.75	00698	17,584	4,851	0.08044	29.11
	I		68,486	5,562	0.08044	23.32		26,055	3,423	0.08044	40.70		9,383	285	0.08044	NS
P	S	00699	4,597	8,016	0.08044	17.98	00700	3,847	12,160	0.08044	11.87	00701	-997	6,926	0.08044	21.00
	I		-8,055	9,284	0.08044	15.83		-6,332	10,035	0.08044	14.61		-8,810	10,771	0.08044	13.66
S	S	00702	13,601	3,587	0.08044	39.62	00703	21,964	5,186	0.08044	27.04	00704	-18,788	2,822	0.08044	52.95
	I		7,076	416	0.08044	NS		9,573	31	0.08044	NS		16,644	3,787	0.08044	37.35
P	S	00705	3,754	12,625	0.08044	11.43	00706	3,800	7,574	0.08044	19.06	00707	4,123	12,304	0.08044	11.72
	I		-8,332	14,071	0.08044	10.45		-9,497	12,971	0.08044	11.36		-7,488	11,965	0.08044	12.28
S	S	00708	507	60	0.08044	NS	00709	3,951	574	0.08044	NS	00710	-12,658	4,020	0.08044	36.83
	I		74,876	3,316	0.08044	38.68		51,965	2,856	0.08044	46.73		22,310	3,642	0.08044	38.48
P	S	00711	5,242	11,525	0.08044	12.50	00712	5,013	6,539	0.08044	22.03	00713	4,290	11,877	0.08044	12.14
	I		-7,956	10,773	0.08044	13.64		-6,252	9,733	0.08044	15.06		-10,026	10,513	0.08044	14.03
S	S	00714	6,983	3,873	0.08044	37.08	00715	4,072	4,848	0.08044	29.76	00716	16,316	4,271	0.08044	33.13
	I		16,796	1,183	0.08044	NS		0	0	0.08044	-		20,263	850	0.08044	NS
P	S	00717	9,567	12,861	0.08044	11.12	00718	7,123	7,118	0.08044	20.17	00719	-996	9,736	0.08044	14.94
	I		-4,226	11,446	0.08044	12.77		-5,050	12,221	0.08044	11.97		-895	14,388	0.08044	10.11
S	S	00720	48,685	1,759	0.08044	76.29	00721	0	0	0.08044	-	00722	0	0	0.08044	-
	I		38,193	1,346	0.08044	NS		77,737	3,784	0.08044	33.73		44,419	4,742	0.08044	28.50
P	S	00723	-332	3,934	0.08044	36.93	00724	6,477	9,138	0.08044	15.73	00725	2,381	3,572	0.08044	40.50
	I		-10,290	10,386	0.08044	14.20		-12,047	10,287	0.08044	14.38		-6,429	7,656	0.08044	19.15
S	S	00726	-24,654	2,807	0.08044	53.71	00727	-23,961	5,937	0.08044	25.37	00728	-52,165	7,707	0.08044	20.37
	I		24,573	575	0.08044	NS		10,164	324	0.08044	NS		3,730	147	0.08044	NS
P	S	00729	0	0	0.08044	-	00730	0	0	0.08044	-	00731	0	0	0.08044	-
	I		-7,758	6,023	0.08044	24.40		-2,046	4,435	0.08044	32.84		-575	5,438	0.08044	26.72
S	S	00732	-69,014	8,573	0.08044	18.75	00733	-62,213	7,864	0.08044	20.25	00734	-39,073	2,130	0.08044	72.30
	I		13,859	1,365	0.08044	NS		22,483	3,295	0.08044	42.52		28,670	1,576	0.08044	88.02</

Platee - Verifiche pressoflessione retta allo stato limite ultimo																
D	P	Nodo	N	M	Af	CS	Nodo	N	M	Af	CS	Nodo	N	M	Af	CS
			[N]	[N-m]	[cm²/cm]			[N]	[N-m]	[cm²/cm]			[N]	[N-m]	[cm²/cm]	
	I		39,802	4,639	0.08044	29.36		-5,952	6,769	0.08044	21.65		-8,551	5,599	0.08044	26.28
P	S	00693	-	10,778	0.08044	16.02	00694	-82,440	6,018	0.08044	27.21	00695	-85,943	6,280	0.08044	26.20
	I		122,160					22,713	1,137	0.08044	NS		14,977	1,476	0.08044	96.08
S	S		38,915	3,112	0.08044	43.83		0	0	0.08044	-		0	0	0.08044	-
	I		0	0	0.08044	-		-9,172	5,474	0.08044	26.90		-6,648	4,779	0.08044	30.70
P	S	00696	-5,834	5,404	0.08044	27.11	00697	-67,918	3,021	0.08044	53.13	00698	-63,439	3,313	0.08044	48.14
	I		11,108	856	0.08044	NS		8,793	1,188	0.08044	NS		9,352	533	0.08044	NS
S	S		1,379	1,518	0.08044	95.44		2,439	1,917	0.08044	75.45		2,542	1,732	0.08044	83.50
	I		-6,630	5,047	0.08044	29.06		-7,949	4,820	0.08044	30.50		-5,741	4,348	0.08044	33.69
P	S	00699	-59,654	3,021	0.08044	52.51	00700	-55,422	2,679	0.08044	58.86	00701	-63,340	3,267	0.08044	48.81
	I		5,869	1,193	0.08044	NS		-84	473	0.08044	NS		5,418	1,131	0.08044	NS
S	S		2,312	2,520	0.08044	57.41		2,117	1,362	0.08044	NS		2,651	2,118	0.08044	68.27
	I		-6,307	4,690	0.08044	31.26		-4,900	4,277	0.08044	34.21		-7,207	4,779	0.08044	30.72
P	S	00702	-68,748	4,583	0.08044	35.06	00703	-73,637	4,375	0.08044	36.98	00704	-73,415	6,422	0.08044	25.19
	I		5,743	1,040	0.08044	NS		14,197	346	0.08044	NS		21,258	1,582	0.08044	88.74
S	S		714	1,539	0.08044	94.24		0	0	0.08044	-		0	0	0.08044	-
	I		-7,043	5,087	0.08044	28.85		-5,941	4,962	0.08044	29.53		-6,217	5,185	0.08044	28.27
P	S	00705	-	9,875	0.08044	17.41	00706	-	12,878	0.08044	13.13	00707	-78,186	5,641	0.08044	28.86
	I		118,622					106,008								
S	S		35,791	3,322	0.08044	41.27		40,307	3,742	0.08044	36.37		40,536	3,066	0.08044	44.37
	I		0	0	0.08044	-		0	0	0.08044	-		0	0	0.08044	-
P	S	00708	-5,248	5,825	0.08044	25.13	00709	-9,097	5,011	0.08044	29.38		-6,611	6,944	0.08044	21.12
	I		-69,031	5,474	0.08044	29.37		-	10,110	0.08044	17.11	00710	-	10,784	0.08044	16.08
S	S		31,891	1,810	0.08044	76.24		123,618					125,218			
	I		0	0	0.08044	-		44,033	4,002	0.08044	33.80		31,891	2,498	0.08044	55.24
P	S	00711	-4,844	6,664	0.08044	21.95	00712	-6,926	7,001	0.08044	20.96		0	0	0.08044	-
	I		-75,619	5,363	0.08044	30.25		0	0	0.08044	-	00713	-3,151	5,132	0.08044	28.43
S	S		28,340	864	0.08044	NS		-7,992	8,243	0.08044	17.83		0	0	0.08044	-
	I		0	0	0.08044	-		-24,423	1,529	0.08044	98.56		-2,636	3,920	0.08044	37.19
P	S	00714	12,114	6,500	0.08044	21.92	00715	34,157	2,094	0.08044	65.65		-72,716	9,911	0.08044	16.30
	I		4,365	2,221	0.08044	64.93		7,242	1,651	0.08044	86.95	00716	27,805	3,146	0.08044	44.16
S	S		-8,611	6,239	0.08044	23.58		-3,892	7,115	0.08044	20.53		-3,453	7,907	0.08044	18.46
	I		-41,826	6,073	0.08044	25.46		-41,798	6,921	0.08044	22.34		-8,177	10,222	0.08044	14.38
P	S	00717	12,118	904	0.08044	NS	00718	-1,031	282	0.08044	NS	00719	-28,975	5,150	0.08044	29.46
	I		8,412	8,795	0.08044	16.29		6,909	5,621	0.08044	25.55		-460	592	0.08044	NS
S	S		-8,266	10,828	0.08044	13.58		-458	12,500	0.08044	11.62		-33,804	3,332	0.08044	45.86
	I		15,483	993	0.08044	NS		0	0	0.08044	-		33,044	2,307	0.08044	59.70
P	S	00720	7,382	752	0.08044	NS	00721	49,499	3,680	0.08044	36.42		0	0	0.08044	-
	I		-	12,028	0.08044	14.42		-	9,633	0.08044	17.84	00722	-2,660	7,027	0.08044	20.75
S	S		125,299					118,620					-	8,132	0.08044	20.87
	I		44,116	3,914	0.08044	34.55		26,576	1,941	0.08044	71.71		108,789			
P	S	00723	0	0	0.08044	-	00724	0	0	0.08044	-	00725	20,417	2,091	0.08044	67.23
	I		-7,592	6,138	0.08044	23.93		-7,629	5,961	0.08044	24.65		0	0	0.08044	-
S	S		4,034	7,509	0.08044	19.21		1,932	12,100	0.08044	11.96		11,954	6,045	0.08044	23.57
	I		-9,346	12,803	0.08044	11.51		-5,410	11,907	0.08044	12.30		1,342	9,925	0.08044	14.60
P	S	00726	-5,162	301	0.08044	NS	00727	-6,448	3,043	0.08044	48.19		-5,140	10,974	0.08044	13.34
	I		44,853	4,971	0.08044	27.17		28,142	3,625	0.08044	38.30		2,216	4,056	0.08044	35.67
S	S		4,127	9,613	0.08044	15.01		2,541	11,226	0.08044	12.88	00728	30,469	1,178	0.08044	NS
	I		-5,398	13,476	0.08044	10.86		-8,414	11,228	0.08044	13.10		4,156	11,352	0.08044	12.71
P	S	00729	0	0	0.08044	-	00730	32,190	1,312	0.08044	NS		-9,306	9,924	0.08044	14.84
	I		69,461	5,616	0.08044	23.06		16,980	3,516	0.08044	40.20		18,651	4,769	0.08044	29.56
S	S		4,721	8,052	0.08044	17.90		0	0	0.08044	-		9,666	285	0.08044	NS
	I		-8,184	9,342	0.08044	15.74		-6,277	10,093	0.08044	14.53	00731	0	0	0.08044	-
P	S	00732	14,658	3,492	0.08044	40.63	00733	22,901	5,079	0.08044	27.57		-290	6,921	0.08044	20.99
	I		7,678	445	0.08044	NS		19,721	83	0.08044	NS		-9,507	10,744	0.08044	13.71
S	S		3,902	12,604	0.08044	11.45		7,284	7,100	0.08044	20.22	00734	-24,014	2,358	0.08044	63.87
	I		-8,439	14,040	0.08044	10.48		-5,704	12,239	0.08044	11.97		38,410	3,802	0.08044	35.91
P	S	00735	0	0	0.08044	-	00736	0	0	0.08044	-	00737	7,510	12,535	0.08044	11.45
	I		75,411	3,446	0.08044	37.19		77,330	4,096	0.08044	31.18		-3,496	11,515	0.08044	12.68
S	S		1,415	10,095	0.08044	14.35		-40,994	1,896	0.08044	81.45		47,467	1,386	0.08044	97.02
	I		-6,369	10,693	0.08044	13.71		18,881	1,202	0.08044	NS		43,245	1,057	0.08044	NS
P	S	00738	12,812	4,205	0.08044	33.84	00739	5,653	209	0.08044	NS		-37,572	1,745	0.08044	88.06
	I		30,057	789	0.08044	NS		-1,693	1,443	0.08044	NS		14,317	1,141	0.08044	NS
S	S		-	3,944	0.08044	45.22		22,433	824	0.08044	NS	00740	18,479	143	0.08044	NS
	I		147,369					0	0	0.08044	-		-4,100	1,404	0.08044	NS
S	S		21,476	2,295	0.08044	61.15		0	0	0.08044	-		-	2,755	0.08044	62.73
	I		0	0	0.08044	-		0	0	0.08044	-		122,727			
P	S	00741	375	1,783	0.08044	81.38	00742	14,619	5,464	0.08044	25.97	01397	30,312	2,135	0.08044	64.80
	I		-72,543	3,713	0.08044	43.51		-	4,369	0.08044	39.73		0	0	0.08044	-
S	S		19,109	685	0.08044	NS		126,213					-344	1,858	0.08044	78.19
	I		0	0	0.08044	-		22,786	1,770	0.08044	79.12		-10,680	4,299	0.08044	34.33
P	S	01398	8,421	3,370	0.08044	42.52	01399	1,887	140	0.08044	NS	01400	12,090	594	0.08044	NS
	I		-29,577	12,812	0.08044	11.85		1,397	1,206	0.08044	NS		-19,086	5,171	0.08044	28.91
S	S		0	0	0.08044	-		-16,270	7,857	0.08044	18.95		17,952	351	0.08044	NS
	I		-13,588	9,844	0.08044	15.06		0	0	0.08044	-		-15,828	7,860	0.08044	18.93
P	S	01401	-6,162	797	0.08044	NS	01402	-26,241	7,769	0.08044	19.45	01403	0	0	0.08044	-
	I		-30,189	12,969	0.08044	11.72		336	4,889	0.08044	29.68		-24,281	7,866	0.08044	19.15
								-10,156	4,409	0.08044	33.45		1,506	4,854	0.08044	29.84
													-11,305	18,705	0.08044	7.90

Platee - Verifiche pressoflessione retta allo stato limite ultimo																
D	P	Nodo	N	M	Af	CS	Nodo	N	M	Af	CS	Nodo	N	M	Af	CS
			[N]	[N-m]	[cm²/cm]			[N]	[N-m]	[cm²/cm]			[N]	[N-m]	[cm²/cm]	
	I		0	0	0.08044	-		11,954	743	0.08044	NS		0	0	0.08044	-
S	S		-17,087	9,803	0.08044	15.20		-19,562	5,027	0.08044	29.76		-25,461	12,060	0.08044	12.52
	I		-3,269	707	0.08044	NS		17,208	239	0.08044	NS		0	0	0.08044	-
P	S	01404	-3,855	11,295	0.08044	12.93	01405	-4,403	11,324	0.08044	12.91	01406	-9,326	18,734	0.08044	7.86
	I		0	0	0.08044	-		0	0	0.08044	-		0	0	0.08044	-
S	S		-12,752	10,230	0.08044	14.47		-12,671	10,192	0.08044	14.53		-25,416	12,019	0.08044	12.56
	I		0	0	0.08044	-		0	0	0.08044	-		0	0	0.08044	-
P	S	01407	1,649	18,825	0.08044	7.69	01408	2,025	18,747	0.08044	7.72	01409	9,664	4,841	0.08044	29.54
	I		-11,325	7,505	0.08044	19.69		0	0	0.08044	-		0	0	0.08044	-
S	S		-29,783	10,025	0.08044	15.15		-15,870	9,259	0.08044	16.07		-11,430	6,170	0.08044	23.95
	I		0	0	0.08044	-		0	0	0.08044	-		0	0	0.08044	-
P	S	01410	10,025	4,816	0.08044	29.68	01411	3,345	18,792	0.08044	7.69	01412	839	19,416	0.08044	7.47
	I		0	0	0.08044	-		0	0	0.08044	-		-13,687	7,688	0.08044	19.29
S	S		84	4,753	0.08044	30.54		-15,776	9,229	0.08044	16.12		-29,324	9,981	0.08044	15.21
	I		0	0	0.08044	-		0	0	0.08044	-		0	0	0.08044	-
P	S	01413	11,036	25,938	0.08044	5.50	01414	12,674	11,225	0.08044	12.68	01415	12,957	11,231	0.08044	12.67
	I		-17,082	2,970	0.08044	50.18		0	0	0.08044	-		0	0	0.08044	-
S	S		-4,789	8,006	0.08044	18.27		-5,063	4,620	0.08044	31.67		-3,633	4,628	0.08044	31.55
	I		0	0	0.08044	-		0	0	0.08044	-		0	0	0.08044	-
P	S	01416	11,319	26,022	0.08044	5.48	01417	6,060	34,350	0.08044	4.19	01418	17,520	20,446	0.08044	6.91
	I		-17,340	3,112	0.08044	47.91		-12,987	20,227	0.08044	7.32		0	0	0.08044	-
S	S		-4,413	7,973	0.08044	18.34		31,047	1,092	0.08044	NS		-10,788	5,459	0.08044	27.04
	I		0	0	0.08044	-		17,874	5,615	0.08044	25.14		1,004	1,371	0.08044	NS
P	S	01419	12,321	4,021	0.08044	35.42	01420	11,860	4,016	0.08044	35.49	01421	17,594	20,461	0.08044	6.90
	I		0	0	0.08044	-		0	0	0.08044	-		0	0	0.08044	-
S	S		598	1,848	0.08044	78.50		4,003	1,859	0.08044	77.62		-9,290	5,447	0.08044	27.04
	I		-16,863	29	0.08044	NS		-20,461	43	0.08044	NS		-654	1,404	0.08044	NS
P	S	01422	6,143	34,464	0.08044	4.17	01423	17,606	29,804	0.08044	4.74	01424	14,972	11,188	0.08044	12.68
	I		-13,104	20,409	0.08044	7.26		-11,249	5,041	0.08044	29.31		0	0	0.08044	-
S	S		31,687	1,050	0.08044	NS		20,994	3,532	0.08044	39.77		-833	2,660	0.08044	54.65
	I		17,037	5,711	0.08044	24.75		14,091	2,687	0.08044	52.85		-7,678	34	0.08044	NS
P	S	01425	14,595	11,154	0.08044	12.72	01426	16,807	30,008	0.08044	4.71	01427	12,194	29,309	0.08044	4.86
	I		0	0	0.08044	-		-11,411	5,174	0.08044	28.56		-16,978	13,539	0.08044	11.01
S	S		3,116	2,653	0.08044	54.46		21,548	3,489	0.08044	40.22		19,570	7,167	0.08044	19.64
	I		-10,299	45	0.08044	NS		12,640	2,730	0.08044	52.14		10,910	279	0.08044	NS
P	S	01428	12,386	20,650	0.08044	6.90	01429	10,541	4,203	0.08044	33.98	01430	10,002	4,171	0.08044	34.27
	I		0	0	0.08044	-		0	0	0.08044	-		0	0	0.08044	-
S	S		-4,597	4,194	0.08044	34.87		4,205	808	0.08044	NS		13,185	813	0.08044	NS
	I		0	0	0.08044	-		0	0	0.08044	-		0	0	0.08044	-
P	S	01431	12,031	20,559	0.08044	6.93	01432	12,294	29,374	0.08044	4.85	01433	6,460	28,468	0.08044	5.05
	I		0	0	0.08044	-		-17,133	13,701	0.08044	10.88		-18,064	3,581	0.08044	41.68
S	S		-4,375	4,166	0.08044	35.09		20,348	7,091	0.08044	19.83		9,824	7,397	0.08044	19.33
	I		0	0	0.08044	-		10,199	332	0.08044	NS		0	0	0.08044	-
P	S	01434	11,349	11,008	0.08044	12.96	01435	10,880	10,870	0.08044	13.13	01436	6,556	28,421	0.08044	5.06
	I		0	0	0.08044	-		0	0	0.08044	-		-18,073	3,708	0.08044	40.26
S	S		3,551	1,979	0.08044	72.96		10,118	1,966	0.08044	72.69		10,376	7,328	0.08044	19.49
	I		0	0	0.08044	-		0	0	0.08044	-		0	0	0.08044	-
P	S	01437	19,105	30,899	0.08044	4.56	01438	12,924	21,085	0.08044	6.75	01439	13,866	4,042	0.08044	35.15
	I		-13,821	13,161	0.08044	11.27		0	0	0.08044	-		0	0	0.08044	-
S	S		33,148	6,908	0.08044	19.93		-2,759	4,257	0.08044	34.25		3,688	553	0.08044	NS
	I		12,892	351	0.08044	NS		0	0	0.08044	-		0	0	0.08044	-
P	S	01440	13,102	3,998	0.08044	35.58	01441	13,205	20,927	0.08044	6.80	01442	19,519	30,866	0.08044	4.56
	I		0	0	0.08044	-		0	0	0.08044	-		-14,397	13,204	0.08044	11.24
S	S		15,875	576	0.08044	NS		-2,614	4,217	0.08044	34.57		33,716	6,798	0.08044	20.24
	I		0	0	0.08044	-		0	0	0.08044	-		20,538	378	0.08044	NS
P	S	01443	16,920	31,107	0.08044	4.54	01444	15,378	11,611	0.08044	12.21	01445	15,319	11,434	0.08044	12.40
	I		-8,570	4,340	0.08044	33.90		0	0	0.08044	-		0	0	0.08044	-
S	S		27,774	3,310	0.08044	41.97		-5	2,459	0.08044	59.05		10,370	2,493	0.08044	57.30
	I		11,336	2,966	0.08044	48.09		-13,583	17	0.08044	NS		-24,220	42	0.08044	NS
P	S	01446	17,371	30,849	0.08044	4.58	01447	9,453	37,312	0.08044	3.83	01448	16,880	21,699	0.08044	6.52
	I		-8,456	4,343	0.08044	33.87		-12,048	20,959	0.08044	7.06		0	0	0.08044	-
S	S		27,752	3,226	0.08044	43.06		50,107	1,095	0.08044	NS		-6,431	4,419	0.08044	33.19
	I		14,945	3,006	0.08044	47.18		29,776	5,182	0.08044	26.72		-196	1,237	0.08044	NS
P	S	01449	12,166	4,039	0.08044	35.27	01450	4,070	5,090	0.08044	28.34	01451	16,836	21,144	0.08044	6.69
	I		0	0	0.08044	-		0	0	0.08044	-		0	0	0.08044	-
S	S		-1,875	851	0.08044	NS		15,499	822	0.08044	NS		-2,602	4,445	0.08044	32.80
	I		-17,658	259	0.08044	NS		-27,057	274	0.08044	NS		-3,310	1,292	0.08044	NS
P	S	01452	10,067	36,938	0.08044	3.87	01453	11,755	29,778	0.08044	4.79	01454	14,233	11,377	0.08044	12.48
	I		-11,459	21,114	0.08044	7.00		-17,868	4,129	0.08044	36.14		0	0	0.08044	-
S	S		49,468	908	0.08044	NS		15,432	6,537	0.08044	21.68		-3,918	2,076	0.08044	70.37
	I		33,402	5,278	0.08044	26.08		0	0	0.08044	-		0	0	0.08044	-
P	S	01455	13,219	10,972	0.08044	12.96	01456	9,311	28,528	0.08044	5.02	01457	6,756	29,296	0.08044	4.90
	I		0	0	0.08044	-		-12,370	3,787	0.08044	39.08		-17,624	12,305	0.08044	12.12
S	S		8,545	1,918	0.08044	74.69		13,340	6,198	0.08044	22.94		9,311	8,261	0.08044	17.32
	I		0	0	0.08044	-		0	0	0.08044	-		0	0	0.08044	-
P	S	01458	10,430	20,650	0.08044	6.92	01459	14,783	4,243	0.08044	33.43	01460	8,729	3,652	0.08044	39.22
	I		0	0	0.08044	-		0	0	0.08044	-		0	0	0.08044	-
S	S		-2,449	5,014	0.08044	29.07		-9,370	948	0.08044	NS		-28,074	915	0.08044	NS
	I		0	0	0.08044	-		0	0	0.08044	-		17,164	17	0.08044	NS
P	S	01461	4,826	19,289	0.08044	7.47	01462	567	26,127	0.08044	5.55	01463	12,792	28,913	0.08044	4.92

Platee - Verifiche pressoflessione retta allo stato limite ultimo																
D	P	Nodo	N	M	Af	CS	Nodo	N	M	Af	CS	Nodo	N	M	Af	CS
			[N]	[N-m]	[cm²/cm]			[N]	[N-m]	[cm²/cm]			[N]	[N-m]	[cm²/cm]	
	I		0	0	0.08044	-		-12,562	12,991	0.08044	11.39		-17,492	4,043	0.08044	36.89
S	S	01464	-3,751	4,675	0.08044	31.24		5,577	7,355	0.08044	19.57		9,490	6,891	0.08044	20.76
	I		0	0	0.08044	-	0	0	0.08044	-	0	0	0.08044	-		
P	S	01464	15,786	11,427	0.08044	12.39	01465	3,951	10,653	0.08044	13.55	01466	6,339	27,615	0.08044	5.21
	I		0	0	0.08044	-		0	0	0.08044	-		-12,667	3,652	0.08044	40.54
S	S	01467	-16,092	2,719	0.08044	54.73	01468	16	2,906	0.08044	49.96	01469	7,222	6,355	0.08044	22.59
	I		0	0	0.08044	-		0	0	0.08044	-		0	0	0.08044	-
P	S	01467	11,330	35,308	0.08044	4.04	01468	18,683	21,400	0.08044	6.59	01469	14,822	4,413	0.08044	32.14
	I		-11,651	19,955	0.08044	7.41		0	0	0.08044	-		0	0	0.08044	-
S	S	01470	31,511	2,114	0.08044	65.32	01471	-20,450	5,081	0.08044	29.48	01472	-19,999	1,972	0.08044	75.92
	I		28,118	4,249	0.08044	32.68		1,766	1,239	0.08044	NS		-18,376	90	0.08044	NS
P	S	01470	2,167	4,281	0.08044	33.80	01471	12,913	20,579	0.08044	6.91	01472	14,576	34,329	0.08044	4.13
	I		0	0	0.08044	-		0	0	0.08044	-		-12,856	18,998	0.08044	7.80
S	S	01473	-5,180	1,908	0.08044	76.71	01474	-15,708	5,241	0.08044	28.38	01475	29,648	1,483	0.08044	93.39
	I		-29,333	78	0.08044	NS		-3,895	1,521	0.08044	96.04		31,253	4,112	0.08044	33.59
P	S	01473	17,017	29,697	0.08044	4.76	01474	17,312	12,649	0.08044	11.17	01475	13,477	11,862	0.08044	11.98
	I		-12,554	4,186	0.08044	35.36		0	0	0.08044	-		0	0	0.08044	-
S	S	01476	-16,766	7,520	0.08044	19.81	01477	-11,300	3,105	0.08044	47.58	01478	-10,130	3,374	0.08044	43.71
	I		16,198	3,531	0.08044	40.08		0	0	0.08044	-		0	0	0.08044	-
P	S	01476	13,894	29,877	0.08044	4.75	01477	18,301	26,598	0.08044	5.30	01478	11,155	20,793	0.08044	6.86
	I		-12,368	4,699	0.08044	31.49		-18,328	11,899	0.08044	12.55		0	0	0.08044	-
S	S	01479	3,003	4,631	0.08044	31.21	01480	-7,761	7,767	0.08044	18.92	01481	-12,186	6,320	0.08044	23.41
	I		15,215	1,820	0.08044	77.89		14,668	233	0.08044	NS		0	0	0.08044	-
P	S	01479	29,933	9,001	0.08044	15.38	01480	29,692	8,785	0.08044	15.76	01481	13,939	18,715	0.08044	7.59
	I		0	0	0.08044	-		0	0	0.08044	-		0	0	0.08044	-
S	S	01482	-9,714	3,154	0.08044	46.73	01483	-9,201	3,125	0.08044	47.13	01484	-12,176	6,104	0.08044	24.24
	I		0	0	0.08044	-		0	0	0.08044	-		0	0	0.08044	-
P	S	01482	17,194	26,568	0.08044	5.32	01483	-4,242	23,874	0.08044	6.12	01484	8,176	14,265	0.08044	10.05
	I		-17,152	11,999	0.08044	12.42		-18,153	1,077	0.08044	NS		0	0	0.08044	-
S	S	01485	-8,463	7,477	0.08044	19.67	01486	-25,123	10,802	0.08044	13.97	01487	-13,397	7,884	0.08044	18.80
	I		13,577	143	0.08044	NS		0	0	0.08044	-		0	0	0.08044	-
P	S	01485	19,215	7,014	0.08044	20.08	01486	23,006	1,236	0.08044	NS	01487	0	0	0.08044	-
	I		0	0	0.08044	-		0	0	0.08044	-		25,768	1,091	0.08044	NS
S	S	01488	5,544	3,303	0.08044	43.58	01489	9,046	1,900	0.08044	75.34	01490	13,837	1,074	0.08044	NS
	I		0	0	0.08044	-		0	0	0.08044	-		0	0	0.08044	-
P	S	01488	0	0	0.08044	-	01489	22,952	1,229	0.08044	NS	01490	18,984	6,934	0.08044	20.32
	I		23,589	1,045	0.08044	NS		0	0	0.08044	-		0	0	0.08044	-
S	S	01491	13,458	1,068	0.08044	NS	01492	11,155	1,882	0.08044	75.81	01493	5,699	3,318	0.08044	43.37
	I		0	0	0.08044	-		0	0	0.08044	-		0	0	0.08044	-
P	S	01491	8,145	14,035	0.08044	10.21	01492	-7,139	23,781	0.08044	6.17	01493	-11,984	14,482	0.08044	10.21
	I		0	0	0.08044	-		-15,061	1,243	0.08044	NS		-8,636	4,825	0.08044	30.50
S	S	01494	-5,790	6,864	0.08044	21.34	01495	-25,063	10,691	0.08044	14.11	01496	-38,158	10,896	0.08044	14.12
	I		0	0	0.08044	-		0	0	0.08044	-		0	0	0.08044	-
P	S	01494	-15,118	17,302	0.08044	8.59	01495	-14,891	10,306	0.08044	14.41	01496	-12,515	4,234	0.08044	34.96
	I		0	0	0.08044	-		0	0	0.08044	-		0	0	0.08044	-
S	S	01497	-14,506	10,977	0.08044	13.53	01498	-9,062	8,698	0.08044	16.93	01499	-969	5,949	0.08044	24.44
	I		0	0	0.08044	-		0	0	0.08044	-		0	0	0.08044	-
P	S	01497	-7,408	1,135	0.08044	NS	01498	-40,243	833	0.08044	NS	01499	-7,448	1,104	0.08044	NS
	I		0	0	0.08044	-		1,349	199	0.08044	NS		0	0	0.08044	-
S	S	01500	7,724	4,246	0.08044	33.78	01501	9,983	3,650	0.08044	39.16	01502	8,865	4,232	0.08044	33.84
	I		-14,193	108	0.08044	NS		-14,081	143	0.08044	NS		-15,385	35	0.08044	NS
P	S	01500	-12,554	4,232	0.08044	34.98	01501	-14,852	10,223	0.08044	14.53	01502	-14,965	17,139	0.08044	8.67
	I		0	0	0.08044	-		0	0	0.08044	-		0	0	0.08044	-
S	S	01503	4,194	5,941	0.08044	24.28	01504	-2,248	8,748	0.08044	16.66	01505	-10,902	11,103	0.08044	13.30
	I		0	0	0.08044	-		0	0	0.08044	-		0	0	0.08044	-
P	S	01503	-12,474	14,480	0.08044	10.22	01504	-28,467	12,380	0.08044	12.25	01505	-45,245	11,657	0.08044	13.33
	I		-8,037	4,893	0.08044	30.04		0	0	0.08044	-		0	0	0.08044	-
S	S	01506	-43,809	11,688	0.08044	13.27	01507	-22,230	8,587	0.08044	17.49	01508	-7,235	9,403	0.08044	15.61
	I		0	0	0.08044	-		0	0	0.08044	-		-10,515	1,130	0.08044	NS
P	S	01506	-44,732	6,728	0.08044	23.08	01507	-36,473	3,744	0.08044	40.98	01508	-50,457	2,843	0.08044	55.07
	I		0	0	0.08044	-		1,648	58	0.08044	NS		2,216	282	0.08044	NS
S	S	01509	-1,505	8,089	0.08044	17.99	01510	2,779	6,756	0.08044	21.40	01511	4,817	6,091	0.08044	23.66
	I		-13,960	2,666	0.08044	55.64		-14,450	3,366	0.08044	44.10		-14,150	3,619	0.08044	41.00
P	S	01509	-50,973	3,005	0.08044	52.14	01510	-36,513	3,574	0.08044	42.93	01511	-44,694	6,763	0.08044	22.96
	I		3,750	348	0.08044	NS		6,036	92	0.08044	NS		0	0	0.08044	-
S	S	01512	5,240	5,973	0.08044	24.11	01513	3,844	6,822	0.08044	21.16					

Platee - Verifiche pressoflessione retta allo stato limite ultimo																
D	P	Nodo	N	M	Af	CS	Nodo	N	M	Af	CS	Nodo	N	M	Af	CS
			[N]	[N-m]	[cm²/cm]			[N]	[N-m]	[cm²/cm]			[N]	[N-m]	[cm²/cm]	
	I		-3,407	19,991	0.08044	7.30		-7,331	24,806	0.08044	5.92		-4,276	12,930	0.08044	11.30
S	S		0	0	0.08044	-		-1,097	452	0.08044	NS		14,019	690	0.08044	NS
	I		68,975	13,740	0.08044	9.43		85,992	14,002	0.08044	8.98		10,152	11,881	0.08044	12.03
P	S	01601	70,840	3,236	0.08044	39.92	01602	59,704	9,144	0.08044	14.40	01603	59,458	9,003	0.08044	14.64
	I		0	0	0.08044	-		0	0	0.08044	-		0	0	0.08044	-
S	S		-	1,485	0.08044	NS		21,368	1,759	0.08044	79.80		22,060	1,795	0.08044	78.11
	I		115,631													
	I		34,813	16,963	0.08044	8.10		0	0	0.08044	-		0	0	0.08044	-
P	S	01604	32,380	1,893	0.08044	72.84										
	I		0	0	0.08044	-										
S	S		-86,084	1,707	0.08044	96.42										
	I		16,423	14,180	0.08044	9.98										
Fondazione			Platea1													
P	S	00016	1,878	106	0.08044	NS	00017	0	0	0.08044	-	00018	0	0	0.08044	-
	I		967	587	0.08044	NS		1,922	543	0.08044	NS		943	619	0.08044	NS
S	S		-1,746	311	0.08044	NS		0	0	0.08044	-		0	0	0.08044	-
	I		-908	610	0.08044	NS		-1,789	513	0.08044	NS		-890	553	0.08044	NS
P	S	00019	829	86	0.08044	NS	00024	75	1,007	0.08044	NS	00025	0	0	0.08044	-
	I		1,790	590	0.08044	NS		-135	1,472	0.08044	98.66		-136	3,169	0.08044	45.83
S	S		-783	245	0.08044	NS		98	1,194	0.08044	NS		12	241	0.08044	NS
	I		-1,672	549	0.08044	NS		122	2,939	0.08044	49.39		54	3,019	0.08044	48.09
P	S	00026	0	0	0.08044	-	00027	87	1,009	0.08044	NS	00031	0	0	0.08044	-
	I		-15	3,760	0.08044	38.62		-141	1,744	0.08044	83.27		3	28,909	0.08044	5.02
S	S		9	238	0.08044	NS		92	1,191	0.08044	NS		0	0	0.08044	-
	I		88	3,025	0.08044	47.99		138	3,326	0.08044	43.64		1	24,781	0.08044	5.86
P	S	00032	0	0	0.08044	-	00494	463	1,135	0.08044	NS	00495	131	376	0.08044	NS
	I		-1	19,264	0.08044	7.54		-1,332	236	0.08044	NS		0	0	0.08044	-
S	S		0	0	0.08044	-		29	2,572	0.08044	56.45		-9	1,906	0.08044	76.18
	I		2	12,479	0.08044	11.63		-229	1,521	0.08044	95.49		-82	632	0.08044	NS
P	S	00496	-3,682	196	0.08044	NS	00497	2,785	396	0.08044	NS	00498	5,888	336	0.08044	NS
	I		-1,486	75	0.08044	NS		322	244	0.08044	NS		495	197	0.08044	NS
S	S		-191	2,424	0.08044	59.92		368	2,139	0.08044	67.84		95	1,773	0.08044	81.88
	I		-208	1,634	0.08044	88.89		303	1,141	0.08044	NS		12	458	0.08044	NS
P	S	00499	-11,348	204	0.08044	NS	00500	3,953	809	0.08044	NS	00501	4,059	531	0.08044	NS
	I		-841	261	0.08044	NS		4,985	92	0.08044	NS		3,993	111	0.08044	NS
S	S		-614	1,439	0.08044	NS		241	1,794	0.08044	80.90		-425	4,394	0.08044	33.07
	I		0	0	0.08044	-		383	1,790	0.08044	81.07		-173	1,566	0.08044	92.74
P	S	00502	-9,819	376	0.08044	NS	00503	5,551	806	0.08044	NS	00504	0	0	0.08044	-
	I		70	136	0.08044	NS		0	0	0.08044	-		874	557	0.08044	NS
S	S		-441	2,987	0.08044	48.64		224	1,589	0.08044	91.34		-818	3,410	0.08044	42.63
	I		-46	1,886	0.08044	76.99		436	1,544	0.08044	93.97		-556	1,260	0.08044	NS
P	S	00505	-5,874	1,008	0.08044	NS	00506	0	0	0.08044	-	00507	-8,989	1,090	0.08044	NS
	I		0	0	0.08044	-		5,626	1,067	0.08044	NS		0	0	0.08044	-
S	S		-352	2,488	0.08044	58.39		415	2,285	0.08044	63.50		5	725	0.08044	NS
	I		-235	693	0.08044	NS		220	385	0.08044	NS		-307	720	0.08044	NS
P	S	00508	2,620	287	0.08044	NS	00509	3,737	386	0.08044	NS	00510	-7,025	796	0.08044	NS
	I		58	74	0.08044	NS		4,956	170	0.08044	NS		0	0	0.08044	-
S	S		-75	2,226	0.08044	65.23		390	3,805	0.08044	38.14		-176	758	0.08044	NS
	I		14	671	0.08044	NS		211	822	0.08044	NS		-447	1,503	0.08044	96.67
P	S	00511	5,413	424	0.08044	NS	00512	2,824	423	0.08044	NS	00513	-4,206	376	0.08044	NS
	I		328	52	0.08044	NS		261	216	0.08044	NS		0	0	0.08044	-
S	S		245	2,860	0.08044	50.75		411	3,418	0.08044	42.45		-117	631	0.08044	NS
	I		124	315	0.08044	NS		324	1,039	0.08044	NS		-253	778	0.08044	NS
P	S	00514	1,361	221	0.08044	NS	00515	424	910	0.08044	NS	00516	-6	2,857	0.08044	50.82
	I		1,638	258	0.08044	NS		-2,734	205	0.08044	NS		194	2,845	0.08044	51.02
S	S		-41	2,028	0.08044	71.60		23	1,992	0.08044	72.89		-61	1,097	0.08044	NS
	I		-36	29	0.08044	NS		-228	1,983	0.08044	73.25		1,864	75	0.08044	NS
P	S	00517	111	4,422	0.08044	32.83	00518	-270	6,833	0.08044	21.26	00519	169	7,253	0.08044	20.01
	I		131	4,632	0.08044	31.34		-238	6,171	0.08044	23.54		181	6,735	0.08044	21.55
S	S		1,539	370	0.08044	NS		-3,523	315	0.08044	NS		2,029	746	0.08044	NS
	I		0	0	0.08044	-		-1,783	106	0.08044	NS		2,177	175	0.08044	NS
P	S	00520	186	7,669	0.08044	18.93	00521	-230	5,052	0.08044	28.75	00522	152	2,952	0.08044	49.17
	I		171	7,213	0.08044	20.12		-252	4,436	0.08044	32.74		118	3,194	0.08044	45.45
S	S		2,153	566	0.08044	NS		-3,168	336	0.08044	NS		1,573	478	0.08044	NS
	I		492	16	0.08044	NS		-1,723	105	0.08044	NS		1,538	86	0.08044	NS
P	S	00523	-6	2,855	0.08044	50.86	00524	394	908	0.08044	NS	00525	99	233	0.08044	NS
	I		127	3,724	0.08044	38.98		-1,745	365	0.08044	NS		1,795	104	0.08044	NS
S	S		-52	1,100	0.08044	NS		23	2,000	0.08044	72.59		-113	3,621	0.08044	40.10
	I		1,278	165	0.08044	NS		-160	3,415	0.08044	42.53		-3	1,896	0.08044	76.58
P	S	00526	-6,587	407	0.08044	NS	00527	3,269	436	0.08044	NS	00528	5,315	457	0.08044	NS
	I		0	0	0.08044	-		265	217	0.08044	NS		326	52	0.08044	NS
S	S		-358	2,320	0.08044	62.62		297	3,239	0.08044	44.81		114	1,632	0.08044	88.95
	I		-207	2,788	0.08044	52.09		409	860	0.08044	NS		0	0	0.08044	-
P	S	00529	-10,288	840	0.08044	NS	00530	4,222	286	0.08044	NS	00531	2,585	341	0.08044	NS
	I		0	0	0.08044	-		4,468	73	0.08044	NS		58	74	0.08044	NS
S	S		0	0	0.08044	-		388	2,022	0.08044	71.76		-78	1,586	0.08044	91.56
	I		-184	455	0.08044	NS		0	0	0.08044	-		14	672	0.08044	NS
P	S	00532	-8,988	1,089	0.08044	NS	00533	0	0	0.08044	-	00534	-5,324	935	0.08044	NS
	I		0	0	0.08044	-		5,047	849	0.08044	NS		0	0	0.08044	-
S	S		-202	453	0.08044	NS		342	1,464	0.08044	99.12		-311	2,125	0.08044	68.36

Platee - Verifiche pressoflessione retta allo stato limite ultimo																
D	P	Nodo	N	M	Af	CS	Nodo	N	M	Af	CS	Nodo	N	M	Af	CS
			[N]	[N-m]	[cm²/cm]			[N]	[N-m]	[cm²/cm]			[N]	[N-m]	[cm²/cm]	
	I		-101	449	0.08044	NS		0	0	0.08044	-		-276	331	0.08044	NS
P	S	00535	0	0	0.08044	-	00536	6,101	829	0.08044	NS	00537	-9,599	399	0.08044	NS
	I		846	471	0.08044	NS		0	0	0.08044	-		-10,748	178	0.08044	NS
S	S	00538	-723	2,678	0.08044	54.28	00539	306	706	0.08044	NS	00540	-290	1,161	0.08044	NS
	I		-651	529	0.08044	NS		354	661	0.08044	NS		-198	62	0.08044	NS
P	S	00541	3,991	495	0.08044	NS	00542	4,684	617	0.08044	NS	00543	-9,872	255	0.08044	NS
	I		4,058	74	0.08044	NS		0	0	0.08044	-		-842	261	0.08044	NS
S	S	00544	-322	2,472	0.08044	58.76	00545	278	427	0.08044	NS	00546	-426	1,974	0.08044	73.60
	I		17	13	0.08044	NS		-1	437	0.08044	NS		-695	496	0.08044	NS
P	S	00547	5,887	268	0.08044	NS	00548	2,942	487	0.08044	NS	00549	-4,447	441	0.08044	NS
	I		493	198	0.08044	NS		326	245	0.08044	NS		-4,763	121	0.08044	NS
S	S	00550	86	1,445	0.08044	NS	00551	342	1,341	0.08044	NS	00552	-209	2,622	0.08044	55.39
	I		11	458	0.08044	NS		302	355	0.08044	NS		-322	1,773	0.08044	81.93
P	S	00553	1,119	431	0.08044	NS	00554	452	1,132	0.08044	NS	00555	-5	2,014	0.08044	72.09
	I		726	135	0.08044	NS		-2,380	588	0.08044	NS		207	3,248	0.08044	44.69
S	S	00556	-30	2,034	0.08044	71.39	00557	30	2,583	0.08044	56.21	00558	21	1,183	0.08044	NS
	I		-137	707	0.08044	NS		-245	1,757	0.08044	82.67		2,129	295	0.08044	NS
P	S	00559	93	3,569	0.08044	40.68	00560	-298	4,681	0.08044	31.03	00561	231	6,740	0.08044	21.53
	I		137	3,210	0.08044	45.22		-270	4,241	0.08044	34.25		261	5,882	0.08044	24.67
S	S	00562	1,356	328	0.08044	NS	00563	-3,912	268	0.08044	NS	00564	3,585	108	0.08044	NS
	I		0	0	0.08044	-		-2,096	143	0.08044	NS		853	258	0.08044	NS
P	S	00565	262	5,223	0.08044	27.79	00566	-284	4,198	0.08044	34.60	00567	112	3,659	0.08044	39.67
	I		230	4,325	0.08044	33.56		-314	3,704	0.08044	39.22		83	3,298	0.08044	44.02
S	S	00568	2,951	211	0.08044	NS	00569	-3,866	344	0.08044	NS	00570	1,232	267	0.08044	NS
	I		857	257	0.08044	NS		-2,162	144	0.08044	NS		0	0	0.08044	-
P	S	00571	-5	2,018	0.08044	71.95	00572	0	0	0.08044	-	00573	0	0	0.08044	-
	I		184	2,540	0.08044	57.15		908	4,938	0.08044	29.36		393	10,071	0.08044	14.41
S	S	00574	17	1,180	0.08044	NS	00575	-157	1,565	0.08044	92.80	00576	-12	804	0.08044	NS
	I		1,151	115	0.08044	NS		117	2,844	0.08044	51.04		-111	2,944	0.08044	49.33
P	S	00577	0	0	0.08044	-	00578	0	0	0.08044	-	00579	0	0	0.08044	-
	I		-426	14,040	0.08044	10.35		-2,942	17,250	0.08044	8.46		1,132	18,195	0.08044	7.97
S	S	00580	52	247	0.08044	NS	00581	0	0	0.08044	-	00582	0	0	0.08044	-
	I		137	4,014	0.08044	36.16		-838	3,300	0.08044	44.06		-88	3,955	0.08044	36.72
P	S	00583	0	0	0.08044	-	00584	0	0	0.08044	-	00585	0	0	0.08044	-
	I		1,480	20,027	0.08044	7.23		-1,596	22,427	0.08044	6.49		-89	21,432	0.08044	6.78
S	S	00586	0	0	0.08044	-	00587	0	0	0.08044	-	00588	0	0	0.08044	-
	I		721	5,336	0.08044	27.18		-798	4,399	0.08044	33.05		-550	3,574	0.08044	40.66
P	S	00589	0	0	0.08044	-	00590	0	0	0.08044	-	00591	0	0	0.08044	-
	I		3,240	25,332	0.08044	5.70		-464	25,928	0.08044	5.60		-2,239	23,541	0.08044	6.19
S	S	00592	0	0	0.08044	-	00593	0	0	0.08044	-	00594	0	0	0.08044	-
	I		1,091	5,675	0.08044	25.54		-616	5,285	0.08044	27.50		-695	4,496	0.08044	32.33
P	S	00595	0	0	0.08044	-	00596	0	0	0.08044	-	00597	0	0	0.08044	-
	I		5,374	32,359	0.08044	4.45		-838	25,785	0.08044	5.64		321	24,750	0.08044	5.86
S	S	00598	0	0	0.08044	-	00599	0	0	0.08044	-	00600	0	0	0.08044	-
	I		1,113	6,763	0.08044	21.43		-782	6,692	0.08044	21.72		1,129	5,563	0.08044	26.05
P	S	00601	0	0	0.08044	-	00602	0	0	0.08044	-	00603	0	0	0.08044	-
	I		-621	20,413	0.08044	7.12		-393	22,171	0.08044	6.55		-425	20,211	0.08044	7.19
S	S	00604	0	0	0.08044	-	00605	0	0	0.08044	-	00606	0	0	0.08044	-
	I		17	4,219	0.08044	34.41		-749	4,910	0.08044	29.61		900	5,196	0.08044	27.90
P	S	00607	0	0	0.08044	-	00608	0	0	0.08044	-	00609	0	0	0.08044	-
	I		-650	17,270	0.08044	8.42		2,064	14,345	0.08044	10.09		-706	13,284	0.08044	10.94
S	S	00610	0	0	0.08044	-	00611	237	198	0.08044	NS	00612	505	210	0.08044	NS
	I		193	4,299	0.08044	33.76		96	3,286	0.08044	44.18		391	5,463	0.08044	26.56
P	S	00613	0	0	0.08044	-	00614	0	0	0.08044	-	00615	-67	1,576	0.08044	92.14
	I		79	8,916	0.08044	16.28		822	5,913	0.08044	24.52		-333	4,595	0.08044	31.61
S	S	00616	97	825	0.08044	NS	00617	44	1,086	0.08044	NS	00618	-100	641	0.08044	NS
	I		295	4,830	0.08044	30.05		114	4,817	0.08044	30.14		103	2,649	0.08044	54.80
P	S	00619	196	3,408	0.08044	42.59	00620	86	3,826	0.08044	37.94	00621	-401	5,075	0.08044	28.63
	I		218	5,074	0.08044	28.61		62	5,924	0.08044	24.51		-401	6,739	0.08044	21.56
S	S	00622	0	0	0.08044	-	00623	0	0	0.08044	-	00624	0	0	0.08044	-
	I		203	4,552	0.08044	31.89		-560	6,566	0.08044	22.13		25	6,557	0.08044	22.14
P	S	00625	65	2,602	0.08044	55.80	00626	234	1,438	0.08044	NS	00627	-77	1,550	0.08044	93.68
	I		92	4,667	0.08044	31.11		209	3,149	0.08044	46.09		-223	3,247	0.08044	44.73
S	S	00628	0	0	0.08044	-	00629	0	0	0.08044	-	00630	123	508	0.08044	NS
	I		-593	6,579	0.08044	22.09		93	4,523	0.08044	32.10		-101	2,559	0.08044	56.75
P	S	00631	0	0	0.08044	-	00632	0	0	0.08044	-	00633	0	0	0.08044	-
	I		746	4,863	0.08044	29.82		259	10,432	0.08044	13.91		-303	14,163	0.08044	10.26
S	S	00634	-146	1,583	0.08044	91.74	00635	-4	811	0.08044	NS	00636	51	243	0.08044	NS
	I		138	2,693	0.08044	53.90		-128	4,579	0.08044	31.71		83	4,880	0.08044	29.75
P	S	00637	0	0	0.08044	-	00638	0	0	0.08044	-	00639	0	0	0.08044	-
	I		-2,458	17,661	0.08044	8.25		1,238	18,882	0.08044	7.67		1,476	20,458	0.08044	7.08
S	S	00640	-758	220	0.08044	NS	00641	0	0	0.08044	-	00642	0	0	0.08044	-
	I		-822	4,094	0.08044	35.51		-88	4,843	0.08044	29.98		725	5,110	0.08044	

Platee - Verifiche pressoflessione retta allo stato limite ultimo																
D	P	Nodo	N	M	Af	CS	Nodo	N	M	Af	CS	Nodo	N	M	Af	CS
			[N]	[N-m]	[cm²/cm]			[N]	[N-m]	[cm²/cm]			[N]	[N-m]	[cm²/cm]	
	I		-923	4,997	0.08044	29.10		-741	4,167	0.08044	34.88		977	6,250	0.08044	23.20
P	S	00855	0	0	0.08044	-	00856	0	0	0.08044	-	00857	0	0	0.08044	-
	I		-844	25,868	0.08044	5.62		321	24,522	0.08044	5.92		-621	20,694	0.08044	7.02
S	S	00858	0	0	0.08044	-	00859	0	0	0.08044	-	00860	0	0	0.08044	-
	I		-781	6,139	0.08044	23.68		1,591	4,694	0.08044	30.86		17	4,219	0.08044	34.41
P	S	00861	0	0	0.08044	-	00862	0	0	0.08044	-	00863	0	0	0.08044	-
	I		-398	22,172	0.08044	6.55		-428	20,037	0.08044	7.25		-653	17,865	0.08044	8.14
S	S	00864	0	0	0.08044	-	00865	0	0	0.08044	-	00866	0	0	0.08044	-
	I		-996	4,552	0.08044	31.95		1,311	5,030	0.08044	28.81		192	4,306	0.08044	33.71
P	S	00867	0	0	0.08044	-	00868	0	0	0.08044	-	00869	0	0	0.08044	-
	I		1,238	14,825	0.08044	9.77		-644	13,275	0.08044	10.95		-223	9,316	0.08044	15.59
S	S	00870	0	0	0.08044	-	00871	0	0	0.08044	-	00872	0	0	0.08044	-
	I		234	2,762	0.08044	52.55		408	3,511	0.08044	41.33		101	838	0.08044	NS
P	S	00873	0	0	0.08044	-	00874	0	0	0.08044	-	00875	0	0	0.08044	-
	I		330	6,362	0.08044	22.81		-84	1,861	0.08044	78.03		332	3,115	0.08044	46.59
S	S	00876	0	0	0.08044	-	00877	0	0	0.08044	-	00878	0	0	0.08044	-
	I		44	1,100	0.08044	NS		-232	5,160	0.08044	28.15		110	5,376	0.08044	27.00
P	S	00879	0	0	0.08044	-	00880	0	0	0.08044	-	00881	0	0	0.08044	-
	I		141	2,679	0.08044	54.19		-79	2,361	0.08044	61.50		4	5,188	0.08044	27.99
P	S	00882	0	0	0.08044	-	00883	0	0	0.08044	-	00884	0	0	0.08044	-
	I		99	4,175	0.08044	34.77		-245	7,487	0.08044	19.40		119	5,716	0.08044	25.40
S	S	00885	0	0	0.08044	-	00886	0	0	0.08044	-	00887	0	0	0.08044	-
	I		108	6,325	0.08044	22.95		-245	8,808	0.08044	16.49		101	7,814	0.08044	18.58
P	S	00888	0	0	0.08044	-	00889	0	0	0.08044	-	00890	0	0	0.08044	-
	I		-87	4,631	0.08044	31.36		1,148	5,256	0.08044	27.58		-93	4,639	0.08044	31.30
P	S	00891	0	0	0.08044	-	00892	0	0	0.08044	-	00893	0	0	0.08044	-
	I		119	3,327	0.08044	43.63		-89	1,838	0.08044	79.01		-2	27,787	0.08044	5.23
S	S	00894	0	0	0.08044	-	00895	0	0	0.08044	-	00896	0	0	0.08044	-
	I		122	5,150	0.08044	28.19		-265	3,214	0.08044	45.19		0	15,995	0.08044	9.08
P	S	00897	0	0	0.08044	-	00898	0	0	0.08044	-	00899	0	0	0.08044	-
	I		13	5,194	0.08044	27.95		-84	2,387	0.08044	60.83		0	15,995	0.08044	9.08
P	S	00900	0	0	0.08044	-	00901	0	0	0.08044	-	00902	0	0	0.08044	-
	I		0	15,058	0.08044	9.64		2	17,111	0.08044	8.49		2	12,269	0.08044	11.83
S	S	00903	0	0	0.08044	-	00904	0	0	0.08044	-	00905	0	0	0.08044	-
	I		0	5,682	0.08044	25.55		0	6,200	0.08044	23.42		0	3,823	0.08044	37.98
P	S	00906	0	0	0.08044	-	00907	0	0	0.08044	-	00908	0	0	0.08044	-
	I		3	10,790	0.08044	13.46		1	15,460	0.08044	9.39		3	11,207	0.08044	12.96
S	S	00909	0	0	0.08044	-	00910	0	0	0.08044	-	00911	0	0	0.08044	-
	I		3	3,250	0.08044	44.67		0	4,748	0.08044	30.58		-3	4,284	0.08044	33.89
P	S	00912	0	0	0.08044	-	00913	0	0	0.08044	-	00914	0	0	0.08044	-
	I		3	11,259	0.08044	12.90		1	16,490	0.08044	8.80		-1	12,419	0.08044	11.69
S	S	00915	0	0	0.08044	-	00916	0	0	0.08044	-	00917	0	0	0.08044	-
	I		0	3,594	0.08044	40.40		0	4,447	0.08044	32.65		0	3,789	0.08044	38.32
P	S	00918	0	0	0.08044	-	00919	0	0	0.08044	-	00920	0	0	0.08044	-
	I		0	14,165	0.08044	10.25		0	21,340	0.08044	6.80		-1	19,941	0.08044	7.28
S	S	00921	0	0	0.08044	-	00922	0	0	0.08044	-	00923	0	0	0.08044	-
	I		3	4,881	0.08044	29.75		0	6,816	0.08044	21.30		0	11,138	0.08044	13.04
P	S	00924	-240	4,013	0.08044	36.19	00925	-219	8,520	0.08044	17.05	00926	479	8,398	0.08044	17.28
	I		-384	8,075	0.08044	17.99		-146	3,251	0.08044	44.67		479	5,474	0.08044	26.50
S	S	00927	39	5,949	0.08044	24.40	00928	525	10,626	0.08044	13.65	00929	-221	11,505	0.08044	12.62
	I		0	4,153	0.08044	34.96		511	2,108	0.08044	68.82		0	0	0.08044	-
P	S	00930	-158	10,203	0.08044	14.23	00931	-228	4,020	0.08044	36.13	00932	148	12,005	0.08044	12.09
	I		-248	4,962	0.08044	29.27		-382	4,814	0.08044	30.18		744	6,379	0.08044	22.73
S	S	00933	301	9,573	0.08044	15.16	00934	10	4,370	0.08044	33.22	00935	-121	8,645	0.08044	16.80
	I		0	0	0.08044	-		-16	1,443	0.08044	NS		-600	2,236	0.08044	65.00
P	S	00936	8	6,682	0.08044	21.73	00937	-757	12,534	0.08044	11.60	00938	143	12,007	0.08044	12.09
	I		0	0	0.08044	-		774	9,310	0.08044	15.58		652	3,801	0.08044	38.16
S	S	00939	-10	12,837	0.08044	11.31	00940	-11	12,838	0.08044	11.31	00941	-117	8,648	0.08044	16.79
	I		0	0	0.08044	-		0	0	0.08044	-		0	0	0.08044	-
P	S	00942	-120	6,875	0.08044	21.12	00943	-3	14,058	0.08044	10.33	00944	586	14,073	0.08044	10.31
	I		-1,958	20,331	0.08044	7.16		0	0	0.08044	-		-545	4,377	0.08044	33.20
S	S	00945	12	3,755	0.08044	38.67	00946	3	4,946	0.08044	29.36	00947	3	4,946	0.08044	29.36
	I		299	5,321	0.08044	27.27		-1,098	514	0.08044	NS		1,045	3,116	0.08044	46.52
P	S	00948	-118	6,875	0.08044	21.12	00949	33	14,503	0.08044	10.01	00950	-75	14,561	0.08044	9.97
	I		-2,742	16,272	0.08044	8.96		1,123	9,715	0.08044	14.92		73	15,012	0.08044	9.67
S	S	00951	13	3,751	0.08044	38.71	00952	-31	3,901	0.08044	37.22	00953	28	2,951	0.08044	49.20
	I		333	3,173	0.08044	45.74		-971	1,399	0.08044	NS		-23	3,240	0.08044	44.81
P	S	00954	-75	21,677	0.08044	6.70	00955	33	14,503	0.08044	10.01	00956	-31	7,203	0.08044	20.16
	I		73	22,127	0.08044	6.56		1,438	6,289	0.08044	23.04		-1,098	31,064	0.08044	4.68
S	S	00957	28	5,534	0.08044	26.24	00958	-31	3,900	0.08044	37.23	00959	0	2,940	0.08044	49.39
	I		-23	5,826	0.08044	24.92		-1,152	2,411	0.08044	60.33		166	5,574	0.08044	26.04
P	S	00960	-1	13,521	0.08044	10.74	00961	-1	13,521	0.08044	10.74	00962	-31	7,202	0.08044	20.16
	I		24	835	0.08044	NS		24	6,785	0.08044	21.40		-1,093	27,557	0.08044</	

Platee - Verifiche pressoflessione retta allo stato limite ultimo																
D	P	Nodo	N	M	Af	CS	Nodo	N	M	Af	CS	Nodo	N	M	Af	CS
			[N]	[N-m]	[cm²/cm]			[N]	[N-m]	[cm²/cm]			[N]	[N-m]	[cm²/cm]	
	I		73	599	0.08044	NS		149	5,054	0.08044	28.72		762	2,689	0.08044	53.93
P	S	01544	-412	17,524	0.08044	8.29	01545	-412	21,508	0.08044	6.76	01546	-2	14,756	0.08044	9.84
	I		411	17,504	0.08044	8.29		411	21,489	0.08044	6.75		-577	12,316	0.08044	11.80
S	S		49	4,506	0.08044	32.22		49	5,076	0.08044	28.60		0	3,746	0.08044	38.76
	I		-53	2,417	0.08044	60.08		-53	2,987	0.08044	48.61		821	1,925	0.08044	75.33
P	S	01547	-3	8,270	0.08044	17.56	01548	0	13,369	0.08044	10.86	01549	0	13,369	0.08044	10.86
	I		-535	38,041	0.08044	3.82		36	2,002	0.08044	72.52		36	6,340	0.08044	22.90
S	S		1	2,781	0.08044	52.21		0	3,293	0.08044	44.09		0	3,293	0.08044	44.09
	I		-454	7,459	0.08044	19.48		35	165	0.08044	NS		119	651	0.08044	NS
P	S	01550	-3	8,270	0.08044	17.56	01551	-2	14,613	0.08044	9.94	01552	-466	16,347	0.08044	8.89
	I		-534	35,323	0.08044	4.11		-368	14,901	0.08044	9.75		462	16,544	0.08044	8.77
S	S		1	2,781	0.08044	52.21		2	3,466	0.08044	41.89		-57	3,917	0.08044	37.07
	I		-454	5,722	0.08044	25.39		405	2,001	0.08044	72.51		58	2,924	0.08044	49.65
P	S	01553	-466	20,895	0.08044	6.95	01554	-2	14,612	0.08044	9.94	01555	-12	8,137	0.08044	17.84
	I		462	21,092	0.08044	6.88		-545	11,739	0.08044	12.38		1,040	34,626	0.08044	4.19
S	S		-57	4,795	0.08044	30.28		2	3,466	0.08044	41.89		3	2,048	0.08044	70.89
	I		58	3,814	0.08044	38.07		587	1,596	0.08044	90.89		6	7,147	0.08044	20.32
P	S	01556	2	13,539	0.08044	10.72	01557	2	13,539	0.08044	10.72	01558	-12	8,136	0.08044	17.85
	I		1	154	0.08044	NS		-127	5,190	0.08044	27.98		1,037	31,048	0.08044	4.67
S	S		-2	1,150	0.08044	NS		-151	2,305	0.08044	63.01		3	2,047	0.08044	70.93
	I		149	2,968	0.08044	48.91		150	4,572	0.08044	31.75		-26	6,147	0.08044	23.62
P	S	01559	-35	14,176	0.08044	10.24	01560	-3,590	10,524	0.08044	13.87	01561	-3,590	17,096	0.08044	8.54
	I		-468	13,293	0.08044	10.93		3,592	6,342	0.08044	22.77		3,592	12,914	0.08044	11.18
S	S		19	3,116	0.08044	46.59		0	0	0.08044	-		-1,103	1,155	0.08044	NS
	I		190	2,694	0.08044	53.88		1,101	9,193	0.08044	15.77		1,101	10,963	0.08044	13.22
P	S	01562	-35	14,175	0.08044	10.24	01563	193	6,115	0.08044	23.74	01564	1	13,542	0.08044	10.72
	I		-669	8,955	0.08044	16.23		2,967	26,626	0.08044	5.43		-138	680	0.08044	NS
S	S		19	3,115	0.08044	46.61		35	2,943	0.08044	49.33		-1	5,320	0.08044	27.29
	I		247	2,129	0.08044	68.17		412	6,556	0.08044	22.13		174	1,609	0.08044	90.21
P	S	01565	0	3,772	0.08044	38.49	01566	1	13,542	0.08044	10.72	01567	192	6,113	0.08044	23.74
	I		0	5,570	0.08044	26.07		116	2,230	0.08044	65.10		3,504	22,419	0.08044	6.44
S	S		0	7,399	0.08044	19.62		-1	5,320	0.08044	27.29		35	2,942	0.08044	49.35
	I		0	0	0.08044	-		0	0	0.08044	-		410	4,469	0.08044	32.47
P	S	01568	-76	11,924	0.08044	12.18	01569	0	11,333	0.08044	12.81	01570	-129	11,479	0.08044	12.65
	I		-463	10,712	0.08044	13.56		0	0	0.08044	-		132	617	0.08044	NS
S	S		2	7,837	0.08044	18.53		0	12,277	0.08044	11.83		0	12,277	0.08044	11.83
	I		-82	1,869	0.08044	77.70		0	0	0.08044	-		0	0	0.08044	-
P	S	01571	-75	11,924	0.08044	12.18	01572	394	3,218	0.08044	45.09	01573	1	11,946	0.08044	12.15
	I		-634	5,303	0.08044	27.41		1,535	15,301	0.08044	9.47		-13	2,897	0.08044	50.12
S	S		1	7,836	0.08044	18.53		-74	5,328	0.08044	27.25		-1	11,955	0.08044	12.15
	I		0	0	0.08044	-		-311	3,301	0.08044	44.01		0	0	0.08044	-
P	S	01574	-39	11,645	0.08044	12.47	01575	0	11,945	0.08044	12.16	01576	383	3,229	0.08044	44.94
	I		0	0	0.08044	-		-16	797	0.08044	NS		1,717	12,290	0.08044	11.78
S	S		17	14,262	0.08044	10.18		-1	11,957	0.08044	12.14		-72	5,330	0.08044	27.24
	I		0	0	0.08044	-		0	0	0.08044	-		-260	1,213	0.08044	NS
P	S	01577	-128	7,853	0.08044	18.49	01578	-202	9,519	0.08044	15.26	01579	-187	8,712	0.08044	16.67
	I		-419	5,413	0.08044	26.84		-181	2,871	0.08044	50.59		-217	2,089	0.08044	69.53
S	S		-138	6,773	0.08044	21.44		212	8,962	0.08044	16.20		224	8,957	0.08044	16.20
	I		-90	91	0.08044	NS		0	0	0.08044	-		0	0	0.08044	-
P	S	01580	-111	7,837	0.08044	18.53										
	I		-194	2,712	0.08044	53.55										
S	S		-162	6,780	0.08044	21.42										
	I		0	0	0.08044	-										

LEGENDA Platee - Verifiche pressoflessione retta allo stato limite ultimo

D Direzione [P] = principale - [S] = secondaria.
P Posizione [S] = superiore - [I] = inferiore.
N, M Coppia N-M che dà origine alla massima armatura.
Af Area delle armature per centimetro.
CS Coefficienti di sicurezza: [NS] = Non Significativo - Per valori di CS maggiori o uguali a 100.

PLATEE - VERIFICHE PRESSOFLESSIONE RETTA ALLO STATO LIMITE DI DANNO (Fondazione)

Platee - Verifiche pressoflessione retta allo stato limite di danno																
D	P	Nodo	N	M	Af	CS	Nodo	N	M	Af	CS	Nodo	N	M	Af	CS
			[N]	[N-m]	[cm²/cm]			[N]	[N-m]	[cm²/cm]			[N]	[N-m]	[cm²/cm]	
Piano Fondo Vasca			Platea1													
P	S	00058	-40,711	3,993	0.08044	44.41	00059	-	3,857	0.08044	50.03	00060	-	2,657	0.08044	73.43
	I		-4,749	72	0.08044	NS		109,849	218	0.08044	NS		119,344	410	0.08044	NS
S	S		0	0	0.08044	-		0	0	0.08044	-		0	0	0.08044	-
	I		4,361	6,480	0.08044	25.79		3,361	1,323	0.08044	NS		6,567	760	0.08044	NS
P	S	00061	-87,329	3,457	0.08044	54.34	00062	-84,335	2,079	0.08044	90.04	00063	-	2,762	0.08044	70.45
	I		-2,547	721	0.08044	NS		-4,303	698	0.08044	NS		117,081	507	0.08044	NS
S	S		2,839	71	0.08044	NS		0	0	0.08044	-		0	0	0.08044	-
	I		461	980	0.08044	NS		349	1,054	0.08044	NS		-438	883	0.08044	NS
P	S	00064	-	4,105	0.08044	47.97	00065	-94,719	4,981	0.08044	38.05	00066	-1,585	3,917	0.08044	43.01
	I		127.379													

Platee - Verifiche pressoflessione retta allo stato limite di danno																
D	P	Nodo	N	M	Af	CS	Nodo	N	M	Af	CS	Nodo	N	M	Af	CS
			[N]	[N-m]	[cm²/cm]			[N]	[N-m]	[cm²/cm]			[N]	[N-m]	[cm²/cm]	
	I		-16,972	512	0.08044	NS		-10,042	274	0.08044	NS		0	0	0.08044	-
S	S		0	0	0.08044	-		0	0	0.08044	-		-54,330	3,405	0.08044	52.98
	I		187	1,907	0.08044	88.13		1,084	7,635	0.08044	21.99		2,282	5,224	0.08044	32.08
P	S	00067	2,520	1,834	0.08044	91.35	00068	5,652	1,789	0.08044	93.25	00069	2,658	1,157	0.08044	NS
	I		0	0	0.08044	-		0	0	0.08044	-		0	0	0.08044	-
S	S		1,773	6,206	0.08044	27.02		6,268	5,820	0.08044	28.64		7,525	3,494	0.08044	47.63
	I		0	0	0.08044	-		0	0	0.08044	-		0	0	0.08044	-
P	S	00070	3,285	960	0.08044	NS	00071	4,049	1,307	0.08044	NS	00072	1,300	885	0.08044	NS
	I		0	0	0.08044	-		0	0	0.08044	-		0	0	0.08044	-
S	S		5,528	1,654	0.08044	NS		3,858	769	0.08044	NS		6,268	500	0.08044	NS
	I		0	0	0.08044	-		-20,402	79	0.08044	NS		0	0	0.08044	-
P	S	00073	7,583	1,556	0.08044	NS	00074	1,914	844	0.08044	NS	00075	4,174	1,110	0.08044	NS
	I		0	0	0.08044	-		0	0	0.08044	-		0	0	0.08044	-
S	S		9,962	241	0.08044	NS		2,078	423	0.08044	NS		3,052	202	0.08044	NS
	I		-22,117	129	0.08044	NS		0	0	0.08044	-		5,657	198	0.08044	NS
P	S	00076	3,736	1,035	0.08044	NS	00077	2,969	960	0.08044	NS	00078	5,878	1,239	0.08044	NS
	I		0	0	0.08044	-		0	0	0.08044	-		0	0	0.08044	-
S	S		8,870	121	0.08044	NS		11,778	121	0.08044	NS		7,599	28	0.08044	NS
	I		-26,531	50	0.08044	NS		-26,858	255	0.08044	NS		-9,690	177	0.08044	NS
P	S	00079	3,788	1,038	0.08044	NS	00080	3,343	804	0.08044	NS	00081	5,670	10,407	0.08044	16.03
	I		0	0	0.08044	-		0	0	0.08044	-		0	0	0.08044	-
S	S		7,970	233	0.08044	NS		-40,618	335	0.08044	NS		-1,668	2,149	0.08044	78.40
	I		0	0	0.08044	-		14,666	327	0.08044	NS		0	0	0.08044	-
P	S	00082	-1,823	21,523	0.08044	7.83	00083	311	2,593	0.08044	64.81	00084	12,045	22,994	0.08044	7.19
	I		0	0	0.08044	-		-676	7,707	0.08044	21.83		0	0	0.08044	-
S	S		-16,524	4,962	0.08044	34.63		-29,728	4,327	0.08044	40.41		-9,669	6,227	0.08044	27.35
	I		0	0	0.08044	-		0	0	0.08044	-		7,329	3,210	0.08044	51.85
P	S	00085	8,087	12,488	0.08044	13.32	00086	2,708	1,554	0.08044	NS	00087	-6,785	3,411	0.08044	49.74
	I		0	0	0.08044	-		0	0	0.08044	-		0	0	0.08044	-
S	S		-15,662	2,512	0.08044	68.34		-18,233	1,135	0.08044	NS		-32,903	1,487	0.08044	NS
	I		0	0	0.08044	-		0	0	0.08044	-		0	0	0.08044	-
P	S	00088	-9,084	7,008	0.08044	24.28	00089	-11,896	1,940	0.08044	88.04	00090	-3,426	17	0.08044	NS
	I		0	0	0.08044	-		0	0	0.08044	-		-9,581	657	0.08044	NS
S	S		-8,109	934	0.08044	NS		72	426	0.08044	NS		-1,162	173	0.08044	NS
	I		0	0	0.08044	-		-4,306	16	0.08044	NS		1,212	137	0.08044	NS
P	S	00091	0	0	0.08044	-	00092	0	0	0.08044	-	00093	-18,817	46	0.08044	NS
	I		-14,780	1,237	0.08044	NS		5,952	1,225	0.08044	NS		8,387	668	0.08044	NS
S	S		-4,551	41	0.08044	NS		-1,110	22	0.08044	NS		-1,440	189	0.08044	NS
	I		4,302	116	0.08044	NS		3,254	112	0.08044	NS		1,406	144	0.08044	NS
P	S	00094	11,717	1,594	0.08044	NS	00095	15,296	7,079	0.08044	23.26	00096	755	3,390	0.08044	49.54
	I		0	0	0.08044	-		0	0	0.08044	-		0	0	0.08044	-
S	S		-1,909	436	0.08044	NS		-17,474	951	0.08044	NS		-31,049	1,595	0.08044	NS
	I		-2,307	37	0.08044	NS		0	0	0.08044	-		0	0	0.08044	-
P	S	00097	3,948	1,432	0.08044	NS	00098	4,002	1,501	0.08044	NS	00099	4,622	1,143	0.08044	NS
	I		0	0	0.08044	-		0	0	0.08044	-		0	0	0.08044	-
S	S		-23,086	1,825	0.08044	94.98		-16,575	897	0.08044	NS		-9,358	736	0.08044	NS
	I		0	0	0.08044	-		0	0	0.08044	-		0	0	0.08044	-
P	S	00100	3,089	807	0.08044	NS	00101	4,357	1,079	0.08044	NS	00102	6,039	1,262	0.08044	NS
	I		0	0	0.08044	-		0	0	0.08044	-		0	0	0.08044	-
S	S		-10,407	657	0.08044	NS		-4,998	453	0.08044	NS		0	0	0.08044	-
	I		0	0	0.08044	-		0	0	0.08044	-		-21,658	208	0.08044	NS
P	S	00103	3,506	937	0.08044	NS	00104	3,742	1,030	0.08044	NS	00105	4,079	1,086	0.08044	NS
	I		0	0	0.08044	-		0	0	0.08044	-		0	0	0.08044	-
S	S		-2,531	63	0.08044	NS		-3,041	94	0.08044	NS		-12,602	248	0.08044	NS
	I		-19,392	253	0.08044	NS		-8,513	76	0.08044	NS		1,208	244	0.08044	NS
P	S	00106	1,906	827	0.08044	NS	00107	7,936	1,520	0.08044	NS	00108	1,592	865	0.08044	NS
	I		0	0	0.08044	-		0	0	0.08044	-		0	0	0.08044	-
S	S		-2,511	409	0.08044	NS		3,477	225	0.08044	NS		1,630	476	0.08044	NS
	I		0	0	0.08044	-		-14,964	139	0.08044	NS		0	0	0.08044	-
P	S	00109	4,152	1,277	0.08044	NS	00110	3,445	932	0.08044	NS	00111	3,198	1,120	0.08044	NS
	I		0	0	0.08044	-		0	0	0.08044	-		0	0	0.08044	-
S	S		671	744	0.08044	NS		3,618	1,618	0.08044	NS		6,835	3,470	0.08044	48.00
	I		-16,836	86	0.08044	NS		0	0	0.08044	-		0	0	0.08044	-
P	S	00112	5,882	1,746	0.08044	95.52	00113	2,610	1,761	0.08044	95.13	00114	11,251	3,469	0.08044	47.73
	I		0	0	0.08044	-		0	0	0.08044	-		0	0	0.08044	-
S	S		11,428	5,084	0.08044	32.56		1,534	6,262	0.08044	26.79		-62,417	3,472	0.08044	52.49
	I		0	0	0.08044	-		0	0	0.08044	-		10,469	4,905	0.08044	33.79
P	S	00115	6,376	17	0.08044	NS	00116	5,224	19	0.08044	NS	00117	5,686	13	0.08044	NS
	I		-7,579	1,009	0.08044	NS		-10,999	1,099	0.08044	NS		-11,366	1,047	0.08044	NS
S	S		0	0	0.08044	-		0	0	0.08044	-		0	0	0.08044	-
	I		-16,045	2,003	0.08044	85.74		-20,120	1,994	0.08044	86.59		-18,705	1,951	0.08044	88.34
P	S	00118	6,486	18	0.08044	NS	00400	-6,355	2,143	0.08044	79.12	00401	2,101	1,144	0.08044	NS
	I		-8,123	1,025	0.08044	NS		0	0	0.08044	-		-2,775	27	0.08044	NS
S	S		0	0	0.08044	-		-2,279	555	0.08044	NS		-3,101	3,858	0.08044	43.76
	I		-17,208	2,007	0.08044	85.70		16,274	950	0.08044	NS		0	0	0.08044	-
P	S	00402	3,483	1,264	0.08044	NS	00403	3,133	285	0.08044	NS	00404	5,863	1,149	0.08044	NS
	I		0	0	0.08044	-		-4,643	32	0.08044	NS		0	0	0.08044	-
S	S		-71,760	7,033	0.08044	26.21		-72,596	5,668	0.08044	32.56		-59,443	6,813	0.08044	26.65
	I		0	0	0.08044	-		0	0	0.08044	-		0	0	0.08044	-
P	S	00405	1,156	868	0.08044	NS	00406	-3,034	1,285	0.08044	NS	00407	0	0	0.08044	-

Platee - Verifiche pressoflessione retta allo stato limite di danno																
D	P	Nodo	N	M	Af	CS	Nodo	N	M	Af	CS	Nodo	N	M	Af	CS
			[N]	[N-m]	[cm²/cm]			[N]	[N-m]	[cm²/cm]			[N]	[N-m]	[cm²/cm]	
	I		0	0	0.08044	-		-658	463	0.08044	NS		-3,094	590	0.08044	NS
S	S		5,480	1,756	0.08044	95.03		0	0	0.08044	-		0	0	0.08044	-
	I		0	0	0.08044	-		26,384	2,642	0.08044	61.37		40,075	5,013	0.08044	31.72
P	S	00408	-74	818	0.08044	NS	00409	4,709	518	0.08044	NS	00410	-3,463	1,075	0.08044	NS
	I		-2,054	538	0.08044	NS		0	0	0.08044	-		0	0	0.08044	-
S	S		-22,264	832	0.08044	NS		-5,354	3,384	0.08044	50.04		-7,253	2,287	0.08044	74.23
	I		33,610	2,562	0.08044	62.64		0	0	0.08044	-		0	0	0.08044	-
P	S	00411	4,702	1,346	0.08044	NS	00412	7,032	336	0.08044	NS	00413	-10	1,031	0.08044	NS
	I		0	0	0.08044	-		-2,448	722	0.08044	NS		-1,035	806	0.08044	NS
S	S		-15,304	2,500	0.08044	68.63		4,652	2,522	0.08044	66.24		-1,801	471	0.08044	NS
	I		0	0	0.08044	-		0	0	0.08044	-		30,992	3,177	0.08044	50.70
P	S	00414	0	0	0.08044	-	00415	-283	841	0.08044	NS	00416	3,529	834	0.08044	NS
	I		3,353	2,612	0.08044	64.07		-6,236	760	0.08044	NS		0	0	0.08044	-
S	S		0	0	0.08044	-		0	0	0.08044	-		10,311	1,461	0.08044	NS
	I		39,326	5,808	0.08044	27.41		41,520	3,678	0.08044	43.15		21,456	1,071	0.08044	NS
P	S	00417	1,510	644	0.08044	NS	00418	6,616	1,089	0.08044	NS	00419	2,733	1,042	0.08044	NS
	I		1,031	214	0.08044	NS		0	0	0.08044	-		0	0	0.08044	-
S	S		580	3,393	0.08044	49.51		6,024	2,420	0.08044	68.90		12,034	1,780	0.08044	92.91
	I		0	0	0.08044	-		0	0	0.08044	-		0	0	0.08044	-
P	S	00420	1,896	710	0.08044	NS	00421	0	0	0.08044	-	00422	-4,983	2,299	0.08044	73.61
	I		1,453	501	0.08044	NS		5,732	957	0.08044	NS		1,547	888	0.08044	NS
S	S		2,908	1,736	0.08044	96.46		0	0	0.08044	-		0	0	0.08044	-
	I		30,387	2,039	0.08044	79.07		39,899	4,713	0.08044	33.75		51,584	4,198	0.08044	37.26
P	S	00423	6,914	1,391	0.08044	NS	00424	1,450	1,391	0.08044	NS	00425	468	784	0.08044	NS
	I		0	0	0.08044	-		0	0	0.08044	-		3,761	168	0.08044	NS
S	S		25,762	1,786	0.08044	90.86		-8,644	4,486	0.08044	37.91		-45,980	6,212	0.08044	28.74
	I		0	0	0.08044	-		0	0	0.08044	-		0	0	0.08044	-
P	S	00426	10,122	260	0.08044	NS	00427	3,995	1,097	0.08044	NS	00428	-4,404	2,703	0.08044	62.56
	I		1,706	60	0.08044	NS		0	0	0.08044	-		0	0	0.08044	-
S	S		-38,653	6,623	0.08044	26.70		-5,596	4,158	0.08044	40.74		-6,376	374	0.08044	NS
	I		0	0	0.08044	-		18,405	155	0.08044	NS		23,173	1,624	0.08044	NS
P	S	00429	-8,893	264	0.08044	NS	00430	-46,829	5,828	0.08044	30.66	00431	-98,174	8,548	0.08044	22.26
	I		27,280	1,051	0.08044	NS		0	0	0.08044	-		19,829	94	0.08044	NS
S	S		-10,782	2,229	0.08044	76.52		7,745	509	0.08044	NS		2,758	453	0.08044	NS
	I		0	0	0.08044	-		-2,159	98	0.08044	NS		3,037	49	0.08044	NS
P	S	00432	-68,049	6,067	0.08044	30.25	00433	-79,137	5,637	0.08044	33.00	00434	-67,518	4,148	0.08044	44.21
	I		0	0	0.08044	-		0	0	0.08044	-		0	0	0.08044	-
S	S		2,197	80	0.08044	NS		1,111	163	0.08044	NS		-862	300	0.08044	NS
	I		1,687	109	0.08044	NS		-3,396	39	0.08044	NS		0	0	0.08044	-
P	S	00435	-56,310	3,804	0.08044	47.54	00436	-47,953	2,909	0.08044	61.52	00437	-30,032	1,820	0.08044	96.11
	I		0	0	0.08044	-		0	0	0.08044	-		0	0	0.08044	-
S	S		-3,012	126	0.08044	NS		-170	273	0.08044	NS		-1,239	319	0.08044	NS
	I		0	0	0.08044	-		0	0	0.08044	-		0	0	0.08044	-
P	S	00438	-36,791	2,641	0.08044	66.81	00439	-54,215	2,618	0.08044	68.90	00440	-53,554	3,511	0.08044	51.33
	I		0	0	0.08044	-		0	0	0.08044	-		0	0	0.08044	-
S	S		-4,052	203	0.08044	NS		-1,594	361	0.08044	NS		-1,891	176	0.08044	NS
	I		0	0	0.08044	-		0	0	0.08044	-		494	19	0.08044	NS
P	S	00441	-64,672	4,825	0.08044	37.88	00442	-78,812	4,884	0.08044	38.07	00443	-92,789	7,899	0.08044	23.94
	I		0	0	0.08044	-		0	0	0.08044	-		0	0	0.08044	-
S	S		-1,449	197	0.08044	NS		-1,887	330	0.08044	NS		2,236	158	0.08044	NS
	I		0	0	0.08044	-		2,491	29	0.08044	NS		1,207	181	0.08044	NS
P	S	00444	-99,466	8,025	0.08044	23.75	00445	-46,429	7,069	0.08044	25.27	00446	0	0	0.08044	-
	I		0	0	0.08044	-		0	0	0.08044	-		26,073	1,259	0.08044	NS
S	S		6,254	682	0.08044	NS		0	0	0.08044	-		-7,227	2,647	0.08044	64.13
	I		470	137	0.08044	NS		2,869	202	0.08044	NS		0	0	0.08044	-
P	S	00447	-3,861	2,720	0.08044	62.13	00448	3,465	1,141	0.08044	NS	00449	9,732	237	0.08044	NS
	I		0	0	0.08044	-		0	0	0.08044	-		2,077	64	0.08044	NS
S	S		-7,244	363	0.08044	NS		-3,241	4,051	0.08044	41.68		-17,209	5,178	0.08044	33.22
	I		23,386	1,518	0.08044	NS		17,821	267	0.08044	NS		0	0	0.08044	-
P	S	00450	1,138	839	0.08044	NS	00451	1,627	1,411	0.08044	NS	00452	8,409	1,360	0.08044	NS
	I		3,056	231	0.08044	NS		0	0	0.08044	-		0	0	0.08044	-
S	S		-42,590	6,056	0.08044	29.35		-23,593	5,175	0.08044	33.52		21,823	1,842	0.08044	88.58
	I		0	0	0.08044	-		0	0	0.08044	-		0	0	0.08044	-
P	S	00453	-5,023	1,934	0.08044	87.51	00454	0	0	0.08044	-	00455	1,246	680	0.08044	NS
	I		2,048	966	0.08044	NS		4,647	805	0.08044	NS		2,358	586	0.08044	NS
S	S		0	0	0.08044	-		0	0	0.08044	-		-4,688	1,490	0.08044	NS
	I		48,473	3,796	0.08044	41.39		45,549	4,703	0.08044	33.55		35,862	2,216	0.08044	72.19
P	S	00456	3,654	866	0.08044	NS	00457	8,783	1,455	0.08044	NS	00458	-1,123	929	0.08044	NS
	I		0	0	0.08044	-		0	0	0.08044	-		6,784	134	0.08044	NS
S	S		16,443	1,402	0.08044	NS		19,321	2,418	0.08044	67.71		18,044	2,997	0.08044	54.73
	I		0	0	0.08044	-		0	0	0.08044	-		0	0	0.08044	-
P	S	00459	3,885	751	0.08044	NS	00460	-212	796	0.08044	NS	00461	0	0	0.08044	-
	I		0	0	0.08044	-		-6,608	761	0.08044	NS		3,538	2,610	0.08044	64.10
S	S		20,829	1,266	0.08044	NS		0	0	0.08044	-		0	0	0.08044	-
	I		16,032	1,180	0.08044	NS		43,725	3,780	0.08044	41.85		31,308	8,174	0.08044	19.70
P	S	00462	-680	1,009	0.08044	NS	00463	6,155	324	0.08044	NS	00464	3,695	1,324	0.08044	NS
	I		-336	782	0.08044	NS		-1,527	712	0.08044	NS		0	0	0.08044	-
S	S		-10,182	380	0.08044	NS		18,160	1,760	0.08044	93.18		7,057	1,564	0.08044	NS
	I		43,138	2,954	0.08044	53.60		0	0	0.08044	-		0	0	0.08044	-
P	S	00465	-3,621	1,061	0.08044	NS	00466	4,506	519	0.08044	NS	00467	-278	822	0.08044	NS

Platee - Verifiche pressoflessione retta allo stato limite di danno																
D	P	Nodo	N	M	Af	CS	Nodo	N	M	Af	CS	Nodo	N	M	Af	CS
			[N]	[N-m]	[cm ² /cm]			[N]	[N-m]	[cm ² /cm]			[N]	[N-m]	[cm ² /cm]	
	I		0	0	0.08044	-		0	0	0.08044	-		-1,808	548	0.08044	NS
S	S		915	1,860	0.08044	90.27		38	3,319	0.08044	50.65		-15,633	842	0.08044	NS
	I		0	0	0.08044	-		0	0	0.08044	-		28,432	2,649	0.08044	61.03
P	S	00468	0	0	0.08044	-	00469	-3,161	1,296	0.08044	NS	00470	1,197	884	0.08044	NS
	I		-3,158	576	0.08044	NS		-511	472	0.08044	NS		0	0	0.08044	-
S	S		0	0	0.08044	-		0	0	0.08044	-		6,044	1,771	0.08044	94.15
	I		36,246	5,134	0.08044	31.14		27,595	2,650	0.08044	61.08		0	0	0.08044	-
P	S	00471	5,976	1,145	0.08044	NS	00472	2,931	293	0.08044	NS	00473	4,207	1,261	0.08044	NS
	I		0	0	0.08044	-		-4,496	42	0.08044	NS		0	0	0.08044	-
S	S		-59,003	6,778	0.08044	26.77		-71,735	5,710	0.08044	32.28		-70,833	6,865	0.08044	26.82
	I		0	0	0.08044	-		0	0	0.08044	-		0	0	0.08044	-
P	S	00474	2,257	1,184	0.08044	NS	00475	-6,756	2,109	0.08044	80.44	00476	-9,889	920	0.08044	NS
	I		-2,796	54	0.08044	NS		0	0	0.08044	-		4,405	1,132	0.08044	NS
S	S		-2,363	3,888	0.08044	43.38		-2,680	591	0.08044	NS		-11,327	2,244	0.08044	76.06
	I		0	0	0.08044	-		16,497	1,029	0.08044	NS		0	0	0.08044	-
P	S	00477	-93,232	7,432	0.08044	25.46	00478	-	8,569	0.08044	22.56	00479	-97,531	6,420	0.08044	29.62
	I		24,745	53	0.08044	NS		111,579	0	0.08044	-		0	0	0.08044	-
S	S		6,802	1,060	0.08044	NS		3,367	225	0.08044	NS		4,230	67	0.08044	NS
	I		-3,244	70	0.08044	NS		0	0	0.08044	-		0	0	0.08044	-
P	S	00480	-44,443	6,250	0.08044	28.51	00481	-16,540	4,078	0.08044	42.14	00482	4,313	1,426	0.08044	NS
	I		0	0	0.08044	-		0	0	0.08044	-		0	0	0.08044	-
S	S		9,484	63	0.08044	NS		18,461	765	0.08044	NS		5,345	544	0.08044	NS
	I		13,962	947	0.08044	NS		0	0	0.08044	-		0	0	0.08044	-
P	S	00483	-61,960	2,865	0.08044	63.57	00484	-	2,830	0.08044	74.03	00485	-	3,935	0.08044	53.02
	I		0	0	0.08044	-		183,329	0	0.08044	-		179,433	0	0.08044	-
S	S		-14,154	356	0.08044	NS		3,903	524	0.08044	NS		-1,228	473	0.08044	NS
	I		3,254	455	0.08044	NS		-19,860	262	0.08044	NS		-18,758	295	0.08044	NS
P	S	00486	-	2,021	0.08044	96.32	00487	-56,209	3,049	0.08044	59.31	00488	-33,752	5,959	0.08044	29.49
	I		117,421	0	0.08044	-		0	0	0.08044	-		0	0	0.08044	-
S	S		-1,528	215	0.08044	NS		-6,754	461	0.08044	NS		193	308	0.08044	NS
	I		-2,099	96	0.08044	NS		8,186	66	0.08044	NS		18,781	91	0.08044	NS
P	S	00489	-27,132	5,489	0.08044	31.75	00490	-71,923	5,498	0.08044	33.54	00491	-37,381	4,557	0.08044	38.75
	I		0	0	0.08044	-		0	0	0.08044	-		0	0	0.08044	-
S	S		26,441	664	0.08044	NS		6,060	339	0.08044	NS		-784	642	0.08044	NS
	I		2,949	480	0.08044	NS		2,624	471	0.08044	NS		504	12	0.08044	NS
P	S	00492	-45,745	6,030	0.08044	29.60	00493	-11,466	646	0.08044	NS	00554	2,703	383	0.08044	NS
	I		0	0	0.08044	-		5,381	1,693	0.08044	98.58		13,490	121	0.08044	NS
S	S		2,635	300	0.08044	NS		-8,261	2,623	0.08044	64.80		-	2,614	0.08044	74.19
	I		-599	109	0.08044	NS		0	0	0.08044	-		114,200	-	0.08044	-
P	S	00555	4,669	308	0.08044	NS	00556	0	0	0.08044	-	00557	29,971	4,492	0.08044	35.91
	I		3,139	216	0.08044	NS		477	235	0.08044	NS		1,505	207	0.08044	NS
S	S		16,483	6,525	0.08044	25.19		26,560	6,404	0.08044	25.31		2,920	42	0.08044	NS
	I		0	0	0.08044	-		0	0	0.08044	-		15,916	5,241	0.08044	31.39
P	S	00558	0	0	0.08044	-	00559	858	129	0.08044	NS	00560	0	0	0.08044	-
	I		312	193	0.08044	NS		0	0	0.08044	-		-143	217	0.08044	NS
S	S		18,933	5,543	0.08044	29.55		18,110	4,900	0.08044	33.47		13,540	3,527	0.08044	46.79
	I		0	0	0.08044	-		0	0	0.08044	-		0	0	0.08044	-
P	S	00561	0	0	0.08044	-	00562	0	0	0.08044	-	00563	0	0	0.08044	-
	I		1,062	230	0.08044	NS		201	122	0.08044	NS		990	200	0.08044	NS
S	S		6,468	1,713	0.08044	97.28		6,154	1,431	0.08044	NS		6,785	1,843	0.08044	90.38
	I		0	0	0.08044	-		0	0	0.08044	-		0	0	0.08044	-
P	S	00564	0	0	0.08044	-	00565	0	0	0.08044	-	00566	0	0	0.08044	-
	I		-290	168	0.08044	NS		524	246	0.08044	NS		128	108	0.08044	NS
S	S		2,007	689	0.08044	NS		0	0	0.08044	-		-770	438	0.08044	NS
	I		-18,454	241	0.08044	NS		-16,544	557	0.08044	NS		-15,323	120	0.08044	NS
P	S	00567	336	104	0.08044	NS	00568	254	157	0.08044	NS	00569	0	0	0.08044	-
	I		-1,106	110	0.08044	NS		0	0	0.08044	-		2,340	276	0.08044	NS
S	S		3,548	582	0.08044	NS		0	0	0.08044	-		2,254	616	0.08044	NS
	I		0	0	0.08044	-		4,287	643	0.08044	NS		0	0	0.08044	-
P	S	00570	0	0	0.08044	-	00571	0	0	0.08044	-	00572	681	70	0.08044	NS
	I		502	205	0.08044	NS		409	252	0.08044	NS		0	0	0.08044	-
S	S		4,471	278	0.08044	NS		-11,899	179	0.08044	NS		0	0	0.08044	-
	I		0	0	0.08044	-		6,144	676	0.08044	NS		4,873	692	0.08044	NS
P	S	00573	0	0	0.08044	-	00574	0	0	0.08044	-	00575	0	0	0.08044	-
	I		587	207	0.08044	NS		149	232	0.08044	NS		1,461	203	0.08044	NS
S	S		8,854	612	0.08044	NS		-587	99	0.08044	NS		0	0	0.08044	-
	I		0	0	0.08044	-		-16,860	73	0.08044	NS		-1,823	581	0.08044	NS
P	S	00576	0	0	0.08044	-	00577	-2,377	287	0.08044	NS	00578	0	0	0.08044	-
	I		-1,324	43	0.08044	NS		0	0	0.08044	-		2,790	156	0.08044	NS
S	S		0	0	0.08044	-		573	348	0.08044	NS		7,496	569	0.08044	NS
	I		-24,057	595	0.08044	NS		0	0	0.08044	-		0	0	0.08044	-
P	S	00579	0	0	0.08044	-	00580	-58	59	0.08044	NS	00581	0	0	0.08044	-
	I		-2,674	187	0.08044	NS		0	0	0.08044	-		2,826	107	0.08044	NS
S	S		0	0	0.08044	-		-10,929	201	0.08044	NS		-9,187	264	0.08044	NS
	I		-3,435	778	0.08044	NS		0	0	0.08044	-		0	0	0.08044	-
P	S	00582	0	0	0.08044	-	00583	0	0	0.08044	-	00584	0	0	0.08044	-

Platee - Verifiche pressoflessione retta allo stato limite di danno																
D	P	Nodo	N	M	Af	CS	Nodo	N	M	Af	CS	Nodo	N	M	Af	CS
			[N]	[N-m]	[cm ² /cm]			[N]	[N-m]	[cm ² /cm]			[N]	[N-m]	[cm ² /cm]	
	I		-315	56	0.08044	NS		1,353	116	0.08044	NS		-2,472	85	0.08044	NS
S	S		-4,016	341	0.08044	NS		-5,813	437	0.08044	NS		-7,939	475	0.08044	NS
	I		0	0	0.08044	-		0	0	0.08044	-		0	0	0.08044	-
P	S	00585	53	33	0.08044	NS	00586	352	31	0.08044	NS	00587	0	0	0.08044	-
	I		1,504	21	0.08044	NS		-4,028	132	0.08044	NS		3,295	169	0.08044	NS
S	S		-10,792	548	0.08044	NS		0	0	0.08044	-		-14,664	1,965	0.08044	87.24
	I		0	0	0.08044	-		-22,849	253	0.08044	NS		0	0	0.08044	-
P	S	00588	920	597	0.08044	NS	00589	0	0	0.08044	-	00590	358	418	0.08044	NS
	I		0	0	0.08044	-		2,310	281	0.08044	NS		0	0	0.08044	-
S	S		-17,900	1,830	0.08044	94.08		-25,494	1,843	0.08044	94.35		-27,816	1,472	0.08044	NS
	I		0	0	0.08044	-		0	0	0.08044	-		0	0	0.08044	-
P	S	00591	0	0	0.08044	-	00592	21,539	3,958	0.08044	41.24	00593	24,049	1,458	0.08044	NS
	I		8,407	547	0.08044	NS		0	0	0.08044	-		0	0	0.08044	-
S	S		-20,040	1,869	0.08044	92.38		4,488	734	0.08044	NS		0	0	0.08044	-
	I		0	0	0.08044	-		0	0	0.08044	-		812	205	0.08044	NS
P	S	00594	-25,730	812	0.08044	NS	00595	-21,061	36	0.08044	NS	00596	0	0	0.08044	-
	I		0	0	0.08044	-		16,095	889	0.08044	NS		10,089	1,053	0.08044	NS
S	S		0	0	0.08044	-		-129	137	0.08044	NS		0	0	0.08044	-
	I		2,960	245	0.08044	NS		0	0	0.08044	-		1,686	255	0.08044	NS
P	S	00597	0	0	0.08044	-	00598	0	0	0.08044	-	00599	0	0	0.08044	-
	I		7,722	1,486	0.08044	NS		3,723	1,155	0.08044	NS		-6,223	1,398	0.08044	NS
S	S		-307	128	0.08044	NS		0	0	0.08044	-		-226	128	0.08044	NS
	I		0	0	0.08044	-		1,822	232	0.08044	NS		0	0	0.08044	-
P	S	00600	0	0	0.08044	-	00601	0	0	0.08044	-	00602	-5,978	800	0.08044	NS
	I		-9,678	1,102	0.08044	NS		-3,777	871	0.08044	NS		0	0	0.08044	-
S	S		0	0	0.08044	-		-113	130	0.08044	NS		0	0	0.08044	-
	I		1,341	241	0.08044	NS		0	0	0.08044	-		2,521	230	0.08044	NS
P	S	00603	-7,542	2,100	0.08044	80.87	00604	-11,081	3,929	0.08044	43.43	00605	0	0	0.08044	-
	I		0	0	0.08044	-		0	0	0.08044	-		6,166	502	0.08044	NS
S	S		0	0	0.08044	-		-8,306	904	0.08044	NS		-41,255	2,029	0.08044	87.46
	I		339	210	0.08044	NS		0	0	0.08044	-		0	0	0.08044	-
P	S	00606	-776	339	0.08044	NS	00607	0	0	0.08044	-	00608	855	622	0.08044	NS
	I		0	0	0.08044	-		4,241	298	0.08044	NS		0	0	0.08044	-
S	S		-18,861	1,435	0.08044	NS		-13,408	1,410	0.08044	NS		-9,510	1,337	0.08044	NS
	I		0	0	0.08044	-		0	0	0.08044	-		0	0	0.08044	-
P	S	00609	0	0	0.08044	-	00610	-473	813	0.08044	NS	00611	0	0	0.08044	-
	I		951	753	0.08044	NS		0	0	0.08044	-		1,855	883	0.08044	NS
S	S		-7,471	2,443	0.08044	69.51		-10,556	850	0.08044	NS		143	457	0.08044	NS
	I		0	0	0.08044	-		0	0	0.08044	-		0	0	0.08044	-
P	S	00612	3,184	609	0.08044	NS	00613	0	0	0.08044	-	00614	0	0	0.08044	-
	I		0	0	0.08044	-		3,986	448	0.08044	NS		839	85	0.08044	NS
S	S		13,079	1,092	0.08044	NS		-43,841	173	0.08044	NS		-47,512	135	0.08044	NS
	I		0	0	0.08044	-		15,119	216	0.08044	NS		22,118	189	0.08044	NS
P	S	00615	0	0	0.08044	-	00616	-1,533	54	0.08044	NS	00617	0	0	0.08044	-
	I		-533	172	0.08044	NS		0	0	0.08044	-		-2,839	200	0.08044	NS
S	S		-43,100	167	0.08044	NS		-44,401	193	0.08044	NS		0	0	0.08044	-
	I		18,870	166	0.08044	NS		19,476	108	0.08044	NS		16,403	742	0.08044	NS
P	S	00618	0	0	0.08044	-	00619	-2,497	288	0.08044	NS	00620	0	0	0.08044	-
	I		3,819	152	0.08044	NS		0	0	0.08044	-		-962	49	0.08044	NS
S	S		20,473	519	0.08044	NS		16,173	358	0.08044	NS		0	0	0.08044	-
	I		0	0	0.08044	-		0	0	0.08044	-		8,298	350	0.08044	NS
P	S	00621	0	0	0.08044	-	00622	0	0	0.08044	-	00623	0	0	0.08044	-
	I		1,581	194	0.08044	NS		344	232	0.08044	NS		498	203	0.08044	NS
S	S		0	0	0.08044	-		12,934	113	0.08044	NS		20,098	615	0.08044	NS
	I		12,670	476	0.08044	NS		-31,164	55	0.08044	NS		0	0	0.08044	-
P	S	00624	1,045	61	0.08044	NS	00625	0	0	0.08044	-	00626	0	0	0.08044	-
	I		0	0	0.08044	-		297	251	0.08044	NS		681	205	0.08044	NS
S	S		0	0	0.08044	-		-16,828	191	0.08044	NS		14,043	285	0.08044	NS
	I		18,445	571	0.08044	NS		15,267	647	0.08044	NS		0	0	0.08044	-
P	S	00627	0	0	0.08044	-	00628	63	151	0.08044	NS	00629	125	107	0.08044	NS
	I		2,180	281	0.08044	NS		0	0	0.08044	-		-902	115	0.08044	NS
S	S		10,330	621	0.08044	NS		0	0	0.08044	-		8,829	587	0.08044	NS
	I		0	0	0.08044	-		7,461	623	0.08044	NS		0	0	0.08044	-
P	S	00630	0	0	0.08044	-	00631	0	0	0.08044	-	00632	0	0	0.08044	-
	I		125	116	0.08044	NS		551	241	0.08044	NS		-248	175	0.08044	NS
S	S		4,617	473	0.08044	NS		0	0	0.08044	-		5,445	713	0.08044	NS
	I		-21,390	112	0.08044	NS		-21,215	556	0.08044	NS		-22,430	233	0.08044	NS
P	S	00633	0	0	0.08044	-	00634	0	0	0.08044	-	00635	0	0	0.08044	-
	I		818	205	0.08044	NS		123	134	0.08044	NS		1,077	233	0.08044	NS
S	S		9,146	1,843	0.08044	90.09		8,247	1,471	0.08044	NS		7,840	1,736	0.08044	95.81
	I		0	0	0.08044	-		0	0	0.08044	-		0	0	0.08044	-
P	S	00636	0	0	0.08044	-	00637	709	144	0.08044	NS	00638	0	0	0.08044	-
	I		-75	231	0.08044	NS		0	0	0.08044	-		247	213	0.08044	NS
S	S		14,180	3,557	0.08044	46.36		18,003	4,907	0.08044	33.43		19,066	5,538	0.08044	29.58
	I		0	0	0.08044	-		0	0	0.08044	-		0	0	0.08044	-
P	S	00639	1,444	239	0.08044	NS	00640	0	0	0.08044	-	00641	3,887	387	0.08044	NS
	I		2,899	40	0.08044	NS		587	280	0.08044	NS		3,599	194	0.08044	NS
S	S		15,898	5,215	0.08044	31.55		26,341	6,371	0.08044	25.45		15,834	6,472	0.08044	25.42
	I		0	0	0.08044	-		0	0	0.08044	-		0	0	0.08044	-
P	S	00642	-65	224	0.08044	NS	00643	-	2,940	0.08044	74.76	00644	-	2,087	0.08044	97.27

Platee - Verifiche pressoflessione retta allo stato limite di danno

D	P	Nodo	N	M	Af	CS	Nodo	N	M	Af	CS	Nodo	N	M	Af	CS
			[N]	[N-m]	[cm²/cm]			[N]	[N-m]	[cm²/cm]			[N]	[N-m]	[cm²/cm]	
	I		10,365	632	0.08044	NS		229,201					154,467			
	S	S	-98,291	2,676	0.08044	71.13		-165	355	0.08044	NS		10,948	1,152	0.08044	NS
	I		13,477	4,288	0.08044	38.49		-2,291	347	0.08044	NS		-2,992	868	0.08044	NS
P	S	00645	-59,178	3,582	0.08044	50.67	00646	433	409	0.08044	NS	00647	379	518	0.08044	NS
	I		-13,860	1,995	0.08044	85.84		-52,431	3,150	0.08044	57.14		-2,756	3,215	0.08044	52.48
S	S		0	0	0.08044	-		16,405	1,088	0.08044	NS		-6,035	1,419	0.08044	NS
I			1,890	627	0.08044	NS		5,723	110	0.08044	NS		1,070	255	0.08044	NS
P	S	00648	1,384	1,888	0.08044	88.88	00649	-1,503	348	0.08044	NS	00650	2,842	456	0.08044	NS
	I		-1,608	466	0.08044	NS		2,522	4,067	0.08044	41.19		972	2,828	0.08044	59.37
S	S		3,480	264	0.08044	NS		-6,500	1,632	0.08044	NS		-8,274	300	0.08044	NS
I			1,254	708	0.08044	NS		5,643	177	0.08044	NS		5,678	91	0.08044	NS
P	S	00651	36,020	1,328	0.08044	NS	00652	4,513	686	0.08044	NS	00653	1,349	516	0.08044	NS
	I		5,786	2,318	0.08044	71.96		-42,731	1,677	0.08044	NS		-77,572	2,651	0.08044	70.03
S	S		949	818	0.08044	NS		8,057	638	0.08044	NS		8,886	1,967	0.08044	84.44
I			0	0	0.08044	-		2,775	377	0.08044	NS		-2,893	495	0.08044	NS
P	S	00654	-	3,355	0.08044	61.78	00655	1,736	378	0.08044	NS	00656	1,572	353	0.08044	NS
	I		173,362					18,860	1,153	0.08044	NS		5,755	2,836	0.08044	58.82
S	S		11,011	981	0.08044	NS		0	0	0.08044	-		536	9,658	0.08044	17.39
I			0	0	0.08044	-		0	0	0.08044	-		0	0	0.08044	-
P	S	00657	4,390	2,451	0.08044	68.18	00658	14,053	1,164	0.08044	NS	00659	16,314	3,652	0.08044	45.02
	I		5,627	5,799	0.08044	28.77		-4,568	5,105	0.08044	33.13		4,322	143	0.08044	NS
S	S		-5,488	7,809	0.08044	21.69		-8,774	7,661	0.08044	22.20		-1,922	5,792	0.08044	29.10
I			-12,963	1,828	0.08044	93.57		-50,328	5,266	0.08044	34.09		-67,577	7,672	0.08044	23.91
P	S	00660	-14,127	394	0.08044	NS	00661	0	0	0.08044	-	00662	0	0	0.08044	-
	I		121	852	0.08044	NS		-2,014	3,462	0.08044	48.69		-7,296	7,330	0.08044	23.16
S	S		-5,673	4,905	0.08044	34.54		-57,763	7,915	0.08044	22.89		-37,187	1,671	0.08044	NS
I			-70,692	7,556	0.08044	24.37		12,297	1,178	0.08044	NS		21,472	1,462	0.08044	NS
P	S	00663	2,431	6,055	0.08044	27.67	00664	720	7,764	0.08044	21.63	00665	1,734	8,080	0.08044	20.76
	I		-3,703	9,890	0.08044	17.08		-6,644	7,723	0.08044	21.96		-6,901	6,614	0.08044	25.65
S	S		0	0	0.08044	-		-33,201	3,516	0.08044	49.95		-27,590	4,312	0.08044	40.44
I			40,024	5,213	0.08044	30.51		15,271	2,233	0.08044	73.73		0	0	0.08044	-
P	S	00666	2,392	5,356	0.08044	31.29	00667	1,645	8,721	0.08044	19.23	00668	-2,337	4,214	0.08044	40.02
	I		-5,849	6,624	0.08044	25.58		-4,896	6,679	0.08044	25.34		-7,470	8,059	0.08044	21.07
S	S		-40,252	3,996	0.08044	44.35		-29,661	4,861	0.08044	35.97		-13,870	1,858	0.08044	92.17
I			0	0	0.08044	-		0	0	0.08044	-		11,725	2,823	0.08044	58.61
P	S	00669	1,637	8,549	0.08044	19.62	00670	1,668	4,457	0.08044	37.63	00671	2,215	8,608	0.08044	19.47
	I		-6,215	9,996	0.08044	16.96		-7,365	9,855	0.08044	17.23		-5,581	8,268	0.08044	20.49
S	S		0	0	0.08044	-		0	0	0.08044	-		-7,861	2,894	0.08044	58.70
I			30,981	3,325	0.08044	48.45		33,665	3,635	0.08044	44.15		17,513	2,516	0.08044	65.24
P	S	00672	2,890	8,148	0.08044	20.55	00673	2,837	4,051	0.08044	41.34	00674	1,865	8,472	0.08044	19.79
	I		-5,604	7,396	0.08044	22.90		-4,328	7,259	0.08044	23.29		-7,601	7,107	0.08044	23.90
S	S		-21,427	4,454	0.08044	38.83		-36,911	4,060	0.08044	43.47		-33,687	4,533	0.08044	38.77
I			6,305	182	0.08044	NS		0	0	0.08044	-		0	0	0.08044	-
P	S	00675	6,635	9,203	0.08044	18.10	00676	5,120	4,173	0.08044	40.01	00677	-1,709	6,040	0.08044	27.90
	I		-2,538	7,701	0.08044	21.90		-3,047	9,277	0.08044	18.20		-1,384	10,780	0.08044	15.62
S	S		-18,820	2,756	0.08044	62.54		0	0	0.08044	-		0	0	0.08044	-
I			27,857	667	0.08044	NS		41,512	4,022	0.08044	39.46		34,356	4,274	0.08044	37.51
P	S	00678	-1,967	1,764	0.08044	95.55	00679	3,029	6,147	0.08044	27.24	00680	758	1,832	0.08044	91.67
	I		-8,655	8,215	0.08044	20.70		-9,043	7,345	0.08044	23.17		-4,807	5,915	0.08044	28.61
S	S		-18,577	2,277	0.08044	75.68		-21,450	5,184	0.08044	33.37		-43,022	6,567	0.08044	27.08
I			9,356	274	0.08044	NS		0	0	0.08044	-		0	0	0.08044	-
P	S	00681	0	0	0.08044	-	00682	0	0	0.08044	-	00683	0	0	0.08044	-
	I		-6,239	5,225	0.08044	32.44		-3,648	3,920	0.08044	43.10		-8,799	5,680	0.08044	29.95
S	S		-56,206	7,120	0.08044	25.40		-49,091	6,180	0.08044	29.00		-28,531	1,553	0.08044	NS
I			0	0	0.08044	-		9,361	1,610	0.08044	NS		18,128	999	0.08044	NS
P	S	00684	0	0	0.08044	-	00685	0	0	0.08044	-	00686	0	0	0.08044	-
	I		-10,341	5,836	0.08044	29.21		-3,458	3,934	0.08044	42.93		-6,243	5,191	0.08044	32.66
S	S		-27,602	1,759	0.08044	99.13		-48,920	6,215	0.08044	28.83		-57,237	7,098	0.08044	25.51
I			18,329	1,029	0.08044	NS		9,637	1,687	0.08044	98.36		0	0	0.08044	-
P	S	00687	516	1,765	0.08044	95.18	00688	2,772	6,181	0.08044	27.10	00689	-2,461	1,778	0.08044	94.86
	I		-4,501	5,773	0.08044	29.30		-9,822	7,388	0.08044	23.06		-7,792	7,958	0.08044	21.35
S	S		-40,393	6,418	0.08044	27.62		-33,255	5,942	0.08044	29.56		-12,476	2,105	0.08044	81.20
I			0	0	0.08044	-		0	0	0.08044	-		3,281	316	0.08044	NS
P	S	00690	-2,943	5,976	0.08044	28.24	00691	-56,649	4,443	0.08044	40.72	00692	-82,495	8,891	0.08044	21.01
	I		-283	10,111	0.08044	16.63		20,804	1,295	0.08044	NS		19,131	1,836	0.08044	89.20
S	S		0	0	0.08044	-		0	0	0.08044	-		0	0	0.08044	-
I			31,198	4,240	0.08044	37.98		-5,113	5,963	0.08044	28.39		-7,084	3,986	0.08044	42.58
P	S	00693	-97,802	8,712	0.08044	21.84	00694	-78,705	5,455	0.08044	34.08	00695	-70,322	5,167	0.08044	35.62
	I		14,557	1,046	0.08044	NS		0	0	0.08044	-		-645	364	0.08044	NS
S	S		0	0	0.08044	-		0	0	0.08044	-		0	0	0.08044	-
I			-4,973	4,321	0.08044	39.17		-7,279	4,440	0.08044	38.23		-5,150	3,842	0.08044	44.06
P	S	00696	-60,736	3,361	0.08044	54.11	00697	-56,756	2,348	0.08044	77.07	00698	-53,027	2,746	0.08044	65.59
	I		-1,562	71	0.08044	NS		-2,369	515	0.08044	NS		0	0	0.08044	-
S	S		-382	188	0.08044	NS		303	541	0.08044	NS		886	513	0.08044	NS
I			-4,869	3,717	0.08044	45.52		-5,814	3,444	0.08044	49.20		-4,085	3,128	0.08044	54.04
P	S	00699	-50,550	2,328	0.08044	77.13	00700	-48,005	2,198	0.08044	81.43	00701	-53,913	2,559	0.08044	70.46
	I		-3,235	500	0.08044	NS		0	0	0.08044	-		-4,009	423	0.08044	NS
S	S		544	1,056	0.08044	NS		703	209	0.08044	NS		629	721	0.08044	NS

Platee - Verifiche pressoflessione retta allo stato limite di danno																
D	P	Nodo	N	M	Af	CS	Nodo	N	M	Af	CS	Nodo	N	M	Af	CS
			[N]	[N-m]	[cm²/cm]			[N]	[N-m]	[cm²/cm]			[N]	[N-m]	[cm²/cm]	
	I		-4,539	3,226	0.08044	52.43		-3,485	3,124	0.08044	54.07		-5,184	3,382	0.08044	50.05
P	S	00702	-57,734	3,751	0.08044	48.30	00703	-63,268	3,722	0.08044	49.01	00704	-77,650	6,176	0.08044	30.06
	I		-5,271	209	0.08044	NS		0	0	0.08044	-		4,024	229	0.08044	NS
S	S		-1,006	210	0.08044	NS		0	0	0.08044	-		0	0	0.08044	-
	I		-5,323	3,758	0.08044	45.05		-4,739	4,023	0.08044	42.05		-5,952	4,290	0.08044	39.50
P	S	00705	-95,735	7,906	0.08044	24.00	00706	-84,261	10,395	0.08044	18.01	00707	-60,269	4,365	0.08044	41.64
	I		12,904	1,352	0.08044	NS		18,560	1,259	0.08044	NS		22,619	1,790	0.08044	91.05
S	S		0	0	0.08044	-		0	0	0.08044	-		0	0	0.08044	-
	I		-4,701	4,562	0.08044	37.08		-4,328	3,567	0.08044	47.40		-5,494	6,136	0.08044	27.60
P	S	00708	-53,297	4,381	0.08044	41.13	00709	-97,449	7,966	0.08044	23.87	00710	-	8,797	0.08044	21.69
	I		16,157	717	0.08044	NS		17,865	1,858	0.08044	88.30		100,328	7,001	0.08044	NS
S	S		0	0	0.08044	-		0	0	0.08044	-		0	0	0.08044	-
	I		-4,456	5,926	0.08044	28.54		-4,742	5,168	0.08044	32.74		-7,510	4,956	0.08044	34.26
P	S	00711	-	6,331	0.08044	30.88	00712	0	0	0.08044	-	00713	0	0	0.08044	-
	I		121,209	0	0.08044	-		-7,203	7,312	0.08044	23.21		-2,633	3,490	0.08044	48.34
S	S		0	0	0.08044	-		-35,904	1,428	0.08044	NS		-56,928	7,924	0.08044	22.84
	I		8,942	5,953	0.08044	27.90		20,785	1,420	0.08044	NS		12,017	1,159	0.08044	NS
P	S	00714	1,837	868	0.08044	NS	00715	4,705	184	0.08044	NS	00716	-4,840	5,033	0.08044	33.62
	I		-6,525	4,879	0.08044	34.76		-4,518	6,086	0.08044	27.79		-8,479	7,612	0.08044	22.34
S	S		-69,927	7,497	0.08044	24.53		-66,674	7,639	0.08044	23.98		-49,971	5,209	0.08044	34.44
	I		0	0	0.08044	-		0	0	0.08044	-		0	0	0.08044	-
P	S	00717	5,638	5,752	0.08044	29.00	00718	5,358	2,806	0.08044	59.48	00719	-54,534	3,859	0.08044	46.76
	I		-5,492	7,785	0.08044	21.75		648	9,709	0.08044	17.30		17,068	1,198	0.08044	NS
S	S		-14,400	1,783	0.08044	96.11		0	0	0.08044	-		0	0	0.08044	-
	I		-11,784	404	0.08044	NS		17,950	3,638	0.08044	45.09		-2,490	6,251	0.08044	26.98
P	S	00720	-99,407	9,640	0.08044	19.77	00721	-96,625	7,958	0.08044	23.87	00722	-94,713	6,773	0.08044	27.98
	I		18,224	1,526	0.08044	NS		4,582	266	0.08044	NS		-3,765	399	0.08044	NS
S	S		0	0	0.08044	-		0	0	0.08044	-		0	0	0.08044	-
	I		-2,523	4,196	0.08044	40.20		-5,838	5,039	0.08044	33.62		1,030	7,052	0.08044	23.81
P	S	00723	1,884	4,431	0.08044	37.84	00724	776	8,440	0.08044	19.90	00725	110	6,743	0.08044	24.93
	I		-7,196	9,724	0.08044	17.46		-4,253	8,247	0.08044	20.50		-3,908	7,792	0.08044	21.69
S	S		0	0	0.08044	-		-14,150	2,742	0.08044	62.48		-29,208	4,454	0.08044	39.23
	I		37,535	4,178	0.08044	38.20		21,109	2,527	0.08044	64.63		14,698	142	0.08044	NS
P	S	00726	2,423	6,069	0.08044	27.61	00727	640	7,779	0.08044	21.59	00728	1,757	8,082	0.08044	20.75
	I		-3,694	9,932	0.08044	17.01		-6,512	7,781	0.08044	21.79		-6,907	6,654	0.08044	25.50
S	S		0	0	0.08044	-		-26,798	3,502	0.08044	49.74		-34,928	4,633	0.08044	37.99
	I		35,432	5,299	0.08044	30.21		10,288	2,304	0.08044	71.95		0	0	0.08044	-
P	S	00729	2,474	5,375	0.08044	31.17	00730	1,681	8,727	0.08044	19.22	00731	-1,893	4,213	0.08044	40.00
	I		-5,937	6,665	0.08044	25.42		-4,850	6,721	0.08044	25.18		-7,904	8,037	0.08044	21.14
S	S		-22,971	3,336	0.08044	51.95		-29,034	4,803	0.08044	36.37		-25,393	1,799	0.08044	96.64
	I		0	0	0.08044	-		0	0	0.08044	-		24,888	2,831	0.08044	57.39
P	S	00732	1,705	8,538	0.08044	19.64	00733	5,067	4,147	0.08044	40.26	00734	5,362	8,919	0.08044	18.71
	I		-6,242	9,974	0.08044	17.00		-3,487	9,286	0.08044	18.19		-2,026	7,797	0.08044	21.62
S	S		0	0	0.08044	-		0	0	0.08044	-		-15,441	2,473	0.08044	69.39
	I		41,666	3,610	0.08044	43.95		42,620	3,802	0.08044	41.68		24,495	836	0.08044	NS
P	S	00735	112	6,922	0.08044	24.28	00736	-	2,797	0.08044	68.66	00737	-	2,783	0.08044	68.75
	I		-5,065	7,520	0.08044	22.51		105,765	415	0.08044	NS		102,695	382	0.08044	NS
S	S		-41,716	4,383	0.08044	40.51		0	0	0.08044	-		0	0	0.08044	-
	I		0	0	0.08044	-		-1,000	1,127	0.08044	NS		-1,539	1,108	0.08044	NS
P	S	00738	-	2,906	0.08044	67.38	00739	-36,177	2,134	0.08044	82.62	00740	-	2,435	0.08044	81.02
	I		122,506	1,257	0.08044	NS		0	0	0.08044	-		129,103	1,110	0.08044	NS
S	S		-3,387	0	0.08044	-		0	0	0.08044	-		0	0	0.08044	-
	I		502	1,609	0.08044	NS		2,298	4,911	0.08044	34.13		521	1,504	0.08044	NS
P	S	00741	-98,835	3,711	0.08044	51.32	00742	-	3,339	0.08044	57.36	01397	-24,362	4,677	0.08044	37.12
	I		0	0	0.08044	-		103,478	740	0.08044	NS		0	0	0.08044	-
S	S		0	0	0.08044	-		51	0	0.08044	-		-32,230	5,627	0.08044	31.17
	I		2,410	3,153	0.08044	53.14		990	944	0.08044	NS		0	0	0.08044	-
P	S	01398	-57,036	13,736	0.08044	13.18	01399	-34,742	6,942	0.08044	25.35	01400	-33,917	6,911	0.08044	25.44
	I		0	0	0.08044	-		0	0	0.08044	-		0	0	0.08044	-
S	S		-14,280	8,095	0.08044	21.17		-22,813	5,391	0.08044	32.14		-21,142	5,424	0.08044	31.88
	I		0	0	0.08044	-		-3,092	2,510	0.08044	67.26		-3,270	2,584	0.08044	65.34
P	S	01401	-56,716	14,001	0.08044	12.92	01402	-23,756	4,869	0.08044	35.63	01403	-11,662	16,098	0.08044	10.61
	I		0	0	0.08044	-		0	0	0.08044	-		0	0	0.08044	-
S	S		-16,358	8,074	0.08044	21.28		-32,275	5,430	0.08044	32.31		-41,228	11,942	0.08044	14.86
	I		0	0	0.08044	-		0	0	0.08044	-		0	0	0.08044	-
P	S	01404	-6,104	10,136	0.08044	16.72	01405	-6,557	10,155	0.08044	16.70	01406	-10,671	16,111	0.08044	10.58
	I		0	0	0.08044	-		0	0	0.08044	-		0	0	0.08044	-
S	S		-26,034	9,816	0.08044	17.73		-25,371	9,736	0.08044	17.86		-41,520	11,918	0.08044	14.89
	I		0	0	0.08044	-		0	0	0.08044	-		0	0	0.08044	-
P	S	01407	-1,140	14,753	0.08044	11.41	01408	-968	16,265	0.08044	10.35	01409	5,745	4,407	0.08044	37.85
	I		-9,494	3,322	0.08044	51.25		0	0	0.08044	-		0	0	0.08044	-
S	S		-52,732	9,903	0.08044	18.18		-28,383	8,269	0.08044	21.11		-2,625	4,632	0.08044	36.42
	I		0	0	0.08044	-		0	0	0.08044	-		0	0	0.08044	-
P	S	01410	5,943	4,387	0.08044	38.01	01411	-214	16,289	0.08044	10.32	01412	-2,089	15,169	0.08044	11.11
	I		0	0	0.08044	-		0	0	0.08044	-		-10,759	3,441	0.08044	49.56

Platee - Verifiche pressoflessione retta allo stato limite di danno																
D	P	Nodo	N	M	Af	CS	Nodo	N	M	Af	CS	Nodo	N	M	Af	CS
			[N]	[N-m]	[cm²/cm]			[N]	[N-m]	[cm²/cm]			[N]	[N-m]	[cm²/cm]	
S	S		-2,354	4,642	0.08044	36.33		-27,709	8,249	0.08044	21.14		-51,810	9,882	0.08044	18.20
	I		0	0	0.08044	-		0	0	0.08044	-		0	0	0.08044	-
P	S	01413	6,187	21,507	0.08044	7.75	01414	8,040	9,935	0.08044	16.74	01415	8,203	9,934	0.08044	16.74
	I		0	0	0.08044	-		0	0	0.08044	-		0	0	0.08044	-
S	S		-22,572	7,347	0.08044	23.58		-6,722	4,226	0.08044	40.14		-5,647	4,226	0.08044	40.08
	I		0	0	0.08044	-		0	0	0.08044	-		0	0	0.08044	-
P	S	01416	6,356	21,552	0.08044	7.73	01417	2,497	25,991	0.08044	6.45	01418	12,398	17,628	0.08044	9.38
	I		0	0	0.08044	-		-9,424	11,868	0.08044	14.34		0	0	0.08044	-
S	S		-22,103	7,315	0.08044	23.67		-8,973	4,398	0.08044	38.69		-10,214	4,425	0.08044	38.51
	I		0	0	0.08044	-		11,293	3,805	0.08044	43.51		-2,112	323	0.08044	NS
P	S	01419	7,939	3,793	0.08044	43.85	01420	7,628	3,787	0.08044	43.94	01421	12,432	17,627	0.08044	9.38
	I		0	0	0.08044	-		0	0	0.08044	-		0	0	0.08044	-
S	S		-2,398	1,551	0.08044	NS		-50	1,557	0.08044	NS		-9,149	4,410	0.08044	38.59
	I		0	0	0.08044	-		0	0	0.08044	-		-3,213	349	0.08044	NS
P	S	01422	2,553	26,055	0.08044	6.43	01423	12,461	24,501	0.08044	6.75	01424	10,108	9,930	0.08044	16.70
	I		-9,515	12,000	0.08044	14.19		0	0	0.08044	-		0	0	0.08044	-
S	S		-9,276	4,362	0.08044	39.02		-5,236	4,861	0.08044	34.83		-3,115	2,250	0.08044	75.03
	I		11,139	3,871	0.08044	42.78		8,799	1,271	0.08044	NS		0	0	0.08044	-
P	S	01425	9,850	9,895	0.08044	16.76	01426	11,839	24,632	0.08044	6.72	01427	7,145	22,746	0.08044	7.32
	I		0	0	0.08044	-		0	0	0.08044	-		-11,930	6,977	0.08044	24.48
S	S		-452	2,241	0.08044	75.06		-5,375	4,829	0.08044	35.06		-15,448	6,503	0.08044	26.39
	I		0	0	0.08044	-		8,126	1,306	0.08044	NS		0	0	0.08044	-
P	S	01428	7,398	17,734	0.08044	9.39	01429	6,712	3,878	0.08044	42.96	01430	6,356	3,849	0.08044	43.30
	I		0	0	0.08044	-		0	0	0.08044	-		0	0	0.08044	-
S	S		-5,993	3,470	0.08044	48.84		1,365	760	0.08044	NS		6,586	762	0.08044	NS
	I		0	0	0.08044	-		0	0	0.08044	-		0	0	0.08044	-
P	S	01431	7,175	17,649	0.08044	9.43	01432	7,207	22,770	0.08044	7.31	01433	2,123	23,585	0.08044	7.11
	I		0	0	0.08044	-		-12,045	7,097	0.08044	24.07		0	0	0.08044	-
S	S		-4,380	3,445	0.08044	49.09		-21,827	7,219	0.08044	23.97		-14,745	5,892	0.08044	29.10
	I		0	0	0.08044	-		0	0	0.08044	-		0	0	0.08044	-
P	S	01434	6,682	9,724	0.08044	17.13	01435	6,250	9,641	0.08044	17.29	01436	2,185	23,518	0.08044	7.13
	I		0	0	0.08044	-		0	0	0.08044	-		0	0	0.08044	-
S	S		877	1,944	0.08044	86.37		4,778	1,932	0.08044	86.45		-15,757	5,834	0.08044	29.43
	I		0	0	0.08044	-		0	0	0.08044	-		0	0	0.08044	-
P	S	01437	13,216	24,175	0.08044	6.83	01438	7,890	18,128	0.08044	9.17	01439	8,847	3,780	0.08044	43.94
	I		-8,764	6,445	0.08044	26.39		0	0	0.08044	-		0	0	0.08044	-
S	S		-12,799	6,924	0.08044	24.70		-4,908	3,621	0.08044	46.73		-330	503	0.08044	NS
	I		0	0	0.08044	-		0	0	0.08044	-		0	0	0.08044	-
P	S	01440	8,484	3,719	0.08044	44.69	01441	8,046	17,977	0.08044	9.25	01442	13,442	24,113	0.08044	6.85
	I		0	0	0.08044	-		0	0	0.08044	-		-9,125	6,500	0.08044	26.18
S	S		7,950	515	0.08044	NS		-2,782	3,604	0.08044	46.82		-10,048	6,380	0.08044	26.71
	I		0	0	0.08044	-		0	0	0.08044	-		0	0	0.08044	-
P	S	01443	12,210	25,729	0.08044	6.43	01444	10,421	10,332	0.08044	16.04	01445	10,364	10,174	0.08044	16.29
	I		0	0	0.08044	-		0	0	0.08044	-		0	0	0.08044	-
S	S		-2,471	5,060	0.08044	33.33		-2,468	2,086	0.08044	80.86		4,232	2,113	0.08044	79.11
	I		8,285	1,527	0.08044	NS		0	0	0.08044	-		0	0	0.08044	-
P	S	01446	12,495	25,484	0.08044	6.49	01447	5,468	28,476	0.08044	5.86	01448	11,794	18,691	0.08044	8.85
	I		0	0	0.08044	-		-8,344	12,133	0.08044	14.01		0	0	0.08044	-
S	S		-4,400	5,036	0.08044	33.58		2,187	3,653	0.08044	45.88		-5,710	3,583	0.08044	47.28
	I		10,607	1,566	0.08044	NS		22,611	3,529	0.08044	46.18		-1,605	366	0.08044	NS
P	S	01449	8,115	3,829	0.08044	43.42	01450	7,580	3,713	0.08044	44.81	01451	11,748	18,222	0.08044	9.08
	I		0	0	0.08044	-		0	0	0.08044	-		0	0	0.08044	-
S	S		-4,867	685	0.08044	NS		6,351	663	0.08044	NS		-3,330	3,599	0.08044	46.92
	I		-14,665	93	0.08044	NS		-21,224	105	0.08044	NS		-3,893	406	0.08044	NS
P	S	01452	5,810	28,156	0.08044	5.92	01453	6,763	24,647	0.08044	6.76	01454	9,125	10,059	0.08044	16.51
	I		-7,978	12,281	0.08044	13.84		0	0	0.08044	-		0	0	0.08044	-
S	S		-6,351	3,939	0.08044	43.04		-13,661	5,729	0.08044	29.88		-5,589	1,922	0.08044	88.13
	I		24,833	3,619	0.08044	44.90		0	0	0.08044	-		0	0	0.08044	-
P	S	01455	8,373	9,701	0.08044	17.13	01456	5,011	23,629	0.08044	7.07	01457	2,517	22,988	0.08044	7.29
	I		0	0	0.08044	-		0	0	0.08044	-		-13,559	5,971	0.08044	28.67
S	S		2,336	1,806	0.08044	92.79		-15,183	5,440	0.08044	31.53		-24,066	7,527	0.08044	23.06
	I		0	0	0.08044	-		0	0	0.08044	-		0	0	0.08044	-
P	S	01458	5,519	17,769	0.08044	9.39	01459	9,372	3,904	0.08044	42.52	01460	5,678	3,350	0.08044	49.80
	I		0	0	0.08044	-		0	0	0.08044	-		0	0	0.08044	-
S	S		-10,885	3,835	0.08044	44.48		-9,693	896	0.08044	NS		-22,456	786	0.08044	NS
	I		0	0	0.08044	-		0	0	0.08044	-		0	0	0.08044	-
P	S	01461	1,577	16,553	0.08044	10.13	01462	-1,676	20,175	0.08044	8.35	01463	7,480	23,959	0.08044	6.95
	I		0	0	0.08044	-		-10,319	7,039	0.08044	24.21		0	0	0.08044	-
S	S		-8,193	3,226	0.08044	52.69		-32,982	6,472	0.08044	27.13		-15,065	6,034	0.08044	28.43
	I		0	0	0.08044	-		0	0	0.08044	-		0	0	0.08044	-
P	S	01464	10,255	10,104	0.08044	16.41	01465	2,286	9,409	0.08044	17.81	01466	3,044	22,916	0.08044	7.31
	I		0	0	0.08044	-		0	0	0.08044	-		0	0	0.08044	-
S	S		-11,841	2,107	0.08044	81.06		-4,993	2,624	0.08044	64.50		-16,972	5,731	0.08044	30.00
	I		0	0	0.08044	-		0	0	0.08044	-		0	0	0.08044	-
P	S	01467	7,226	26,980	0.08044	6.17	01468	12,899	18,472	0.08044	8.94	01469	10,060	4,155	0.08044	39.91
	I		-7,547	11,627	0.08044	14.61		0	0	0.08044	-		0	0	0.08044	-
S	S		-2,709	4,613	0.08044	36.58		-16,960	4,132	0.08044	41.61		-19,845	1,661	0.08044	NS
	I		22,043	2,653	0.08044	61.48		-1,724	291	0.08044	NS		0	0	0.08044	-
P	S	01470	3,641	3,622	0.08044	46.19	01471	8,958	17,706	0.08044	9.38	01472	9,683	26,289	0.08044	6.31
	I		0	0	0.08044	-		0	0	0.08044	-		-7,963	10,957	0.08044	15.51

Platee - Verifiche pressoflessione retta allo stato limite di danno																
D	P	Nodo	N	M	Af	CS	Nodo	N	M	Af	CS	Nodo	N	M	Af	CS
			[N]	[N-m]	[cm²/cm]			[N]	[N-m]	[cm²/cm]			[N]	[N-m]	[cm²/cm]	
S	S		-10,866	1,614	0.08044	NS		-14,207	4,225	0.08044	40.55		-7,161	3,830	0.08044	44.32
	I		0	0	0.08044	-		-5,396	504	0.08044	NS		24,055	2,675	0.08044	60.81
P	S	01473	12,015	24,594	0.08044	6.72	01474	10,933	11,322	0.08044	14.63	01475	5,691	10,651	0.08044	15.66
	I		0	0	0.08044	-		0	0	0.08044	-		0	0	0.08044	-
S	S		-11,361	5,871	0.08044	29.07		-21,530	3,233	0.08044	53.51		-23,150	3,357	0.08044	51.64
	I		10,793	1,882	0.08044	88.03		0	0	0.08044	-		0	0	0.08044	-
P	S	01476	9,432	24,679	0.08044	6.73	01477	12,351	20,770	0.08044	7.96	01478	2,948	18,661	0.08044	8.97
	I		0	0	0.08044	-		-12,377	6,070	0.08044	28.16		0	0	0.08044	-
S	S		-15,028	5,726	0.08044	29.95		-18,816	7,794	0.08044	22.12		-25,940	5,921	0.08044	29.38
	I		9,469	492	0.08044	NS		0	0	0.08044	-		0	0	0.08044	-
P	S	01479	8,589	7,308	0.08044	22.74	01480	-5,835	7,457	0.08044	22.72	01481	-456	18,325	0.08044	9.18
	I		0	0	0.08044	-		0	0	0.08044	-		0	0	0.08044	-
S	S		-28,244	2,634	0.08044	66.25		-18,031	2,647	0.08044	65.05		-23,878	5,854	0.08044	29.64
	I		0	0	0.08044	-		0	0	0.08044	-		0	0	0.08044	-
P	S	01482	11,624	20,733	0.08044	7.98	01483	-6,765	20,103	0.08044	8.44	01484	-3,131	12,504	0.08044	13.50
	I		-11,582	6,165	0.08044	27.69		0	0	0.08044	-		0	0	0.08044	-
S	S		-18,539	7,539	0.08044	22.86		-27,693	9,200	0.08044	18.95		-15,011	6,373	0.08044	26.91
	I		0	0	0.08044	-		0	0	0.08044	-		0	0	0.08044	-
P	S	01485	688	5,220	0.08044	32.18	01486	-26,138	1,160	0.08044	NS	01487	0	0	0.08044	-
	I		0	0	0.08044	-		0	0	0.08044	-		-3,973	695	0.08044	NS
S	S		-13,303	3,345	0.08044	51.16		4,559	1,666	0.08044	NS		8,666	930	0.08044	NS
	I		0	0	0.08044	-		0	0	0.08044	-		0	0	0.08044	-
P	S	01488	0	0	0.08044	-	01489	-12,951	1,144	0.08044	NS	01490	-10,804	5,181	0.08044	32.92
	I		-17,302	663	0.08044	NS		0	0	0.08044	-		0	0	0.08044	-
S	S		8,370	921	0.08044	NS		5,839	1,655	0.08044	NS		-5,512	3,345	0.08044	50.63
	I		0	0	0.08044	-		0	0	0.08044	-		0	0	0.08044	-
P	S	01491	-9,852	12,316	0.08044	13.83	01492	-8,628	19,994	0.08044	8.51	01493	-11,599	11,511	0.08044	14.83
	I		0	0	0.08044	-		0	0	0.08044	-		-9,020	1,853	0.08044	91.83
S	S		-10,475	6,396	0.08044	26.65		-26,751	9,186	0.08044	18.96		-38,867	10,237	0.08044	17.28
	I		0	0	0.08044	-		0	0	0.08044	-		0	0	0.08044	-
P	S	01494	-19,111	15,915	0.08044	10.84	01495	-22,008	8,531	0.08044	20.29	01496	-30,011	3,556	0.08044	49.19
	I		0	0	0.08044	-		0	0	0.08044	-		0	0	0.08044	-
S	S		-15,121	9,850	0.08044	17.41		-11,236	7,587	0.08044	22.49		-4,103	4,949	0.08044	34.16
	I		0	0	0.08044	-		0	0	0.08044	-		0	0	0.08044	-
P	S	01497	-35,947	1,271	0.08044	NS	01498	-34,327	636	0.08044	NS	01499	-33,392	1,258	0.08044	NS
	I		0	0	0.08044	-		0	0	0.08044	-		0	0	0.08044	-
S	S		3,501	3,367	0.08044	49.69		5,448	2,840	0.08044	58.76		4,185	3,365	0.08044	49.68
	I		0	0	0.08044	-		0	0	0.08044	-		0	0	0.08044	-
P	S	01500	-37,857	3,833	0.08044	46.10	01501	-25,542	8,461	0.08044	20.55	01502	-20,925	15,724	0.08044	10.99
	I		0	0	0.08044	-		0	0	0.08044	-		0	0	0.08044	-
S	S		-964	4,947	0.08044	34.03		-7,238	7,620	0.08044	22.28		-13,160	9,926	0.08044	17.24
	I		0	0	0.08044	-		0	0	0.08044	-		0	0	0.08044	-
P	S	01503	-11,890	11,491	0.08044	14.86	01504	-43,542	12,917	0.08044	13.78	01505	-50,619	10,616	0.08044	16.91
	I		-8,621	1,904	0.08044	89.32		0	0	0.08044	-		0	0	0.08044	-
S	S		-36,713	10,150	0.08044	17.38		-19,785	7,284	0.08044	23.69		-9,355	7,577	0.08044	22.47
	I		0	0	0.08044	-		0	0	0.08044	-		0	0	0.08044	-
P	S	01506	-51,592	6,303	0.08044	28.52	01507	-48,463	3,696	0.08044	48.45	01508	-43,480	2,267	0.08044	78.50
	I		0	0	0.08044	-		0	0	0.08044	-		0	0	0.08044	-
S	S		-4,726	6,034	0.08044	28.04		-941	4,719	0.08044	35.67		916	4,064	0.08044	41.31
	I		-12,783	634	0.08044	NS		-10,730	1,328	0.08044	NS		-10,249	1,592	0.08044	NS
P	S	01509	-43,899	2,405	0.08044	74.03	01510	-50,453	3,588	0.08044	50.04	01511	-54,858	6,420	0.08044	28.12
	I		0	0	0.08044	-		0	0	0.08044	-		0	0	0.08044	-
S	S		1,405	3,967	0.08044	42.30		-491	4,780	0.08044	35.19		-3,464	6,074	0.08044	27.81
	I		-9,445	1,572	0.08044	NS		-12,250	1,246	0.08044	NS		-12,532	561	0.08044	NS
P	S	01512	-63,992	11,845	0.08044	15.42	01513	-41,699	13,332	0.08044	13.32	01581	0	0	0.08044	-
	I		0	0	0.08044	-		0	0	0.08044	-		-11,103	11,556	0.08044	14.77
S	S		-6,402	7,665	0.08044	22.12		-19,980	7,316	0.08044	23.60		0	0	0.08044	-
	I		0	0	0.08044	-		0	0	0.08044	-		563	11,037	0.08044	15.22
P	S	01582	6,120	9,464	0.08044	17.62	01583	0	0	0.08044	-	01584	6,384	5,515	0.08044	30.22
	I		-4,963	17,774	0.08044	9.52		-10,602	11,524	0.08044	14.80		-1,469	15,248	0.08044	11.05
S	S		0	0	0.08044	-		0	0	0.08044	-		0	0	0.08044	-
	I		41,100	14,696	0.08044	10.81		32	11,003	0.08044	15.28		28,567	13,176	0.08044	12.27
P	S	01585	10,638	8,556	0.08044	19.37	01586	0	0	0.08044	-	01589	4,923	6,428	0.08044	25.98
	I		-4,041	18,814	0.08044	8.98		-6,063	11,015	0.08044	15.39		-3,960	15,690	0.08044	10.77
S	S		0	0	0.08044	-		0	0	0.08044	-		0	0	0.08044	-
	I		38,750	16,172	0.08044	9.85		8,306	10,009	0.08044	16.61		40,893	14,361	0.08044	11.06
P	S	01595	5,385	5,691	0.08044	29.33	01596	10,463	8,598	0.08044	19.28	01597	0	0	0.08044	-
	I		-1,469	15,338	0.08044	10.98		-3,941	18,807	0.08044	8.99		-4,132	11,099	0.08044	15.23
S	S		0	0	0.08044	-		0	0	0.08044	-		0	0	0.08044	-
	I		28,664	13,277	0.08044	12.17		42,490	16,264	0.08044	9.74		8,181	10,093	0.08044	16.47
P	S	01601	16,798	2,829	0.08044	58.08	01602	10,182	5,733	0.08044	28.92	01603	-18,147	6,354	0.08044	27.10
	I		0	0	0.08044	-		0	0	0.08044	-		0	0	0.08044	-
S	S		0	0	0.08044	-		-28,140	1,650	0.08044	NS		-24,757	1,759	0.08044	98.76
	I		12,592	13,322	0.08044	12.40		0	0	0.08044	-		0	0	0.08044	-
P	S	01604	-5,603	2,186	0.08044	77.48										
	I		0	0	0.08044	-										
S	S		0	0	0.08044	-										
	I		1,660	11,021	0.08044	15.22										
Fondazione			Platea1													
P	S	00016	0	0	0.08044	-	00017	0	0	0.08044	-	00018	0	0	0.08044	-

Platee - Verifiche pressoflessione retta allo stato limite di danno																
D	P	Nodo	N	M	Af	CS	Nodo	N	M	Af	CS	Nodo	N	M	Af	CS
			[N]	[N-m]	[cm²/cm]			[N]	[N-m]	[cm²/cm]			[N]	[N-m]	[cm²/cm]	
	I		1,191	428	0.08044	NS		1,717	453	0.08044	NS		1,161	497	0.08044	NS
S	S		-1,534	74	0.08044	NS		0	0	0.08044	-		0	0	0.08044	-
	I		-1,115	397	0.08044	NS		-1,600	420	0.08044	NS		-1,092	448	0.08044	NS
P	S	00019	0	0	0.08044	-	00024	0	0	0.08044	-	00025	0	0	0.08044	-
	I		1,559	430	0.08044	NS		-92	1,074	0.08044	NS		-137	2,631	0.08044	63.91
S	S		-997	62	0.08044	NS		0	0	0.08044	-		0	0	0.08044	-
	I		-1,458	366	0.08044	NS		112	2,296	0.08044	73.21		55	2,287	0.08044	73.50
P	S	00026	0	0	0.08044	-	00027	0	0	0.08044	-	00031	0	0	0.08044	-
	I		-46	3,138	0.08044	53.58		-146	1,290	0.08044	NS		3	22,674	0.08044	7.41
S	S		0	0	0.08044	-		0	0	0.08044	-		0	0	0.08044	-
	I		74	2,280	0.08044	73.73		138	2,518	0.08044	66.75		1	19,466	0.08044	8.64
P	S	00032	0	0	0.08044	-	00494	-2,192	301	0.08044	NS	00495	1,002	186	0.08044	NS
	I		-1	14,830	0.08044	11.34		-1,822	18	0.08044	NS		0	0	0.08044	-
S	S		0	0	0.08044	-		-156	35	0.08044	NS		-26	1,366	0.08044	NS
	I		2	9,284	0.08044	18.11		-223	1,029	0.08044	NS		-65	92	0.08044	NS
P	S	00496	-3,823	167	0.08044	NS	00497	2,827	280	0.08044	NS	00498	5,797	230	0.08044	NS
	I		0	0	0.08044	-		0	0	0.08044	-		5,612	17	0.08044	NS
S	S		-195	1,581	0.08044	NS		351	1,482	0.08044	NS		73	1,385	0.08044	NS
	I		-204	791	0.08044	NS		321	483	0.08044	NS		0	0	0.08044	-
P	S	00499	-11,152	153	0.08044	NS	00500	4,207	604	0.08044	NS	00501	4,159	373	0.08044	NS
	I		0	0	0.08044	-		0	0	0.08044	-		0	0	0.08044	-
S	S		-587	1,053	0.08044	NS		276	1,039	0.08044	NS		-368	3,136	0.08044	53.63
	I		0	0	0.08044	-		349	1,034	0.08044	NS		-231	309	0.08044	NS
P	S	00502	-9,963	236	0.08044	NS	00503	5,679	641	0.08044	NS	00504	0	0	0.08044	-
	I		-10,387	14	0.08044	NS		0	0	0.08044	-		867	403	0.08044	NS
S	S		-353	1,974	0.08044	85.20		272	944	0.08044	NS		-760	2,397	0.08044	70.21
	I		-135	873	0.08044	NS		388	899	0.08044	NS		-614	247	0.08044	NS
P	S	00505	-5,527	853	0.08044	NS	00506	0	0	0.08044	-	00507	-6,924	928	0.08044	NS
	I		0	0	0.08044	-		5,273	834	0.08044	NS		0	0	0.08044	-
S	S		-326	1,792	0.08044	93.85		371	1,696	0.08044	99.07		-65	409	0.08044	NS
	I		0	0	0.08044	-		0	0	0.08044	-		-236	310	0.08044	NS
P	S	00508	2,608	247	0.08044	NS	00509	4,024	257	0.08044	NS	00510	-7,473	746	0.08044	NS
	I		0	0	0.08044	-		4,669	41	0.08044	NS		0	0	0.08044	-
S	S		-123	1,717	0.08044	97.93		346	2,824	0.08044	59.50		-239	320	0.08044	NS
	I		0	0	0.08044	-		0	0	0.08044	-		-388	1,043	0.08044	NS
P	S	00511	5,376	325	0.08044	NS	00512	2,912	314	0.08044	NS	00513	-4,260	335	0.08044	NS
	I		0	0	0.08044	-		0	0	0.08044	-		0	0	0.08044	-
S	S		224	2,202	0.08044	76.32		389	2,409	0.08044	69.75		0	0	0.08044	-
	I		0	0	0.08044	-		0	0	0.08044	-		-223	440	0.08044	NS
P	S	00514	1,418	110	0.08044	NS	00515	-2,128	51	0.08044	NS	00516	0	0	0.08044	-
	I		1,580	151	0.08044	NS		-2,472	23	0.08044	NS		186	2,004	0.08044	83.87
S	S		0	1,203	0.08044	NS		0	0	0.08044	-		1,583	350	0.08044	NS
	I		0	0	0.08044	-		-217	1,389	0.08044	NS		0	0	0.08044	-
P	S	00517	115	2,390	0.08044	70.33	00518	-262	3,971	0.08044	42.35	00519	174	4,159	0.08044	40.41
	I		127	2,601	0.08044	64.62		-246	3,310	0.08044	50.81		180	3,658	0.08044	45.95
S	S		1,492	281	0.08044	NS		-3,451	263	0.08044	NS		2,070	535	0.08044	NS
	I		0	0	0.08044	-		0	0	0.08044	-		0	0	0.08044	-
P	S	00520	182	4,291	0.08044	39.17	00521	-236	2,844	0.08044	59.13	00522	144	1,525	0.08044	NS
	I		175	3,836	0.08044	43.81		-246	2,227	0.08044	75.51		126	1,768	0.08044	95.07
S	S		2,115	437	0.08044	NS		-3,223	275	0.08044	NS		1,571	352	0.08044	NS
	I		0	0	0.08044	-		0	0	0.08044	-		0	0	0.08044	-
P	S	00523	0	0	0.08044	-	00524	-2,355	175	0.08044	NS	00525	0	0	0.08044	-
	I		148	2,642	0.08044	63.62		-1,955	214	0.08044	NS		1,284	35	0.08044	NS
S	S		1,943	429	0.08044	NS		-247	163	0.08044	NS		-88	2,363	0.08044	71.15
	I		0	0	0.08044	-		-188	2,328	0.08044	72.23		-28	637	0.08044	NS
P	S	00526	-5,035	340	0.08044	NS	00527	3,124	339	0.08044	NS	00528	5,343	344	0.08044	NS
	I		0	0	0.08044	-		0	0	0.08044	-		0	0	0.08044	-
S	S		-323	1,163	0.08044	NS		325	2,277	0.08044	73.80		147	1,464	0.08044	NS
	I		-251	1,573	0.08044	NS		0	0	0.08044	-		0	0	0.08044	-
P	S	00529	-8,612	729	0.08044	NS	00530	4,276	192	0.08044	NS	00531	2,586	258	0.08044	NS
	I		0	0	0.08044	-		0	0	0.08044	-		0	0	0.08044	-
S	S		0	0	0.08044	-		344	1,518	0.08044	NS		-125	1,277	0.08044	NS
	I		-243	406	0.08044	NS		0	0	0.08044	-		0	0	0.08044	-
P	S	00532	-6,905	904	0.08044	NS	00533	0	0	0.08044	-	00534	-5,217	794	0.08044	NS
	I		0	0	0.08044	-		4,955	695	0.08044	NS		0	0	0.08044	-
S	S		-179	214	0.08044	NS		331	1,201	0.08044	NS		-303	1,469	0.08044	NS
	I		-124	211	0.08044	NS		0	0	0.08044	-		0	0	0.08044	-
P	S	00535	0	0	0.08044	-	00536	5,972	654	0.08044	NS	00537	-9,865	246	0.08044	NS
	I		859	309	0.08044	NS		0	0	0.08044	-		-10,482	25	0.08044	NS
S	S		-707	1,830	0.08044	91.95		316	344	0.08044	NS		-270	837	0.08044	NS
	I		0	0	0.08044	-		344	299	0.08044	NS		0	0	0.08044	-
P	S	00538	4,000	339	0.08044	NS	00539	4,574	476	0.08044	NS	00540	-10,371	180	0.08044	NS
	I		0	0	0.08044	-		0	0	0.08044	-		0	0	0.08044	-
S	S		-313	1,912	0.08044	87.96		295	203	0.08044	NS		-489	1,404	0.08044	NS
	I		0	0	0.08044	-		328	201	0.08044	NS		0	0	0.08044	-
P	S	00541	5,797	180	0.08044	NS	00542	2,886	335	0.08044	NS	00543	-4,510	312	0.08044	NS
	I		0	0	0.08044	-		0	0	0.08044	-		0	0	0.08044	-
S	S		81	1,110	0.08044	NS		332	946	0.08044	NS		-237	1,605	0.08044	NS
	I		0	0	0.08044	-		0	0	0.08044	-		-294	756	0.08044	NS
P	S	00544	1,033	301	0.08044	NS	00545	-1,657	453	0.08044	NS	00546	0	0	0.08044	-

Platee - Verifiche pressoflessione retta allo stato limite di danno																
D	P	Nodo	N	M	Af	CS	Nodo	N	M	Af	CS	Nodo	N	M	Af	CS
	I		[N]	[N-m]	[cm²/cm]			[N]	[N-m]	[cm²/cm]			[N]	[N-m]	[cm²/cm]	
			0	0	0.08044	-		-2,140	212	0.08044	NS		185	2,304	0.08044	72.95
S	S		-55	1,392	0.08044	NS		0	0	0.08044	-		1,474	502	0.08044	NS
	I		-111	65	0.08044	NS		-234	939	0.08044	NS		0	0	0.08044	-
P	S	00547	104	1,982	0.08044	84.81	00548	-291	2,631	0.08044	63.92	00549	238	3,842	0.08044	43.74
	I		126	1,623	0.08044	NS		-277	2,192	0.08044	76.72		253	2,984	0.08044	56.32
S	S		1,386	266	0.08044	NS		-3,877	223	0.08044	NS		2,677	58	0.08044	NS
	I		0	0	0.08044	-		0	0	0.08044	-		0	0	0.08044	-
P	S	00550	254	3,078	0.08044	54.60	00551	-291	2,415	0.08044	69.64	00552	105	2,070	0.08044	81.20
	I		238	2,179	0.08044	77.13		-307	1,864	0.08044	90.23		91	1,624	0.08044	NS
S	S		2,870	141	0.08044	NS		-3,914	270	0.08044	NS		1,255	228	0.08044	NS
	I		2,707	15	0.08044	NS		0	0	0.08044	-		0	0	0.08044	-
P	S	00553	0	0	0.08044	-	00814	0	0	0.08044	-	00815	0	0	0.08044	-
	I		131	1,638	0.08044	NS		824	3,996	0.08044	42.02		373	7,952	0.08044	21.13
S	S		1,935	384	0.08044	NS		0	0	0.08044	-		0	0	0.08044	-
	I		0	0	0.08044	-		141	2,079	0.08044	80.85		-121	2,555	0.08044	65.81
P	S	00816	0	0	0.08044	-	00817	0	0	0.08044	-	00818	0	0	0.08044	-
	I		-301	11,757	0.08044	14.30		-2,381	15,051	0.08044	11.21		1,068	15,568	0.08044	10.78
S	S		0	0	0.08044	-		0	0	0.08044	-		0	0	0.08044	-
	I		112	3,177	0.08044	52.91		-821	2,673	0.08044	62.96		-108	3,543	0.08044	47.46
P	S	00819	0	0	0.08044	-	00820	0	0	0.08044	-	00821	0	0	0.08044	-
	I		1,338	18,145	0.08044	9.25		-1,593	20,094	0.08044	8.38		-331	19,444	0.08044	8.65
S	S		0	0	0.08044	-		0	0	0.08044	-		0	0	0.08044	-
	I		674	4,732	0.08044	35.49		-811	3,986	0.08044	42.22		-419	3,209	0.08044	52.42
P	S	00822	0	0	0.08044	-	00823	0	0	0.08044	-	00824	0	0	0.08044	-
	I		2,944	22,516	0.08044	7.44		-584	23,069	0.08044	7.29		-2,466	21,349	0.08044	7.90
S	S		0	0	0.08044	-		0	0	0.08044	-		0	0	0.08044	-
	I		1,003	5,052	0.08044	33.23		-664	4,737	0.08044	35.52		-680	3,991	0.08044	42.16
P	S	00825	0	0	0.08044	-	00826	0	0	0.08044	-	00827	0	0	0.08044	-
	I		5,034	28,663	0.08044	5.83		-675	22,976	0.08044	7.32		526	22,004	0.08044	7.63
S	S		0	0	0.08044	-		0	0	0.08044	-		0	0	0.08044	-
	I		1,027	5,921	0.08044	28.35		-767	5,925	0.08044	28.40		1,184	4,839	0.08044	34.69
P	S	00828	0	0	0.08044	-	00829	0	0	0.08044	-	00830	0	0	0.08044	-
	I		-448	18,334	0.08044	9.17		-339	19,881	0.08044	8.46		-272	18,094	0.08044	9.29
S	S		0	0	0.08044	-		0	0	0.08044	-		0	0	0.08044	-
	I		21	3,586	0.08044	46.88		-760	4,406	0.08044	38.19		957	4,591	0.08044	36.57
P	S	00831	0	0	0.08044	-	00832	0	0	0.08044	-	00833	0	0	0.08044	-
	I		-463	15,676	0.08044	10.73		1,431	12,493	0.08044	13.43		-583	11,744	0.08044	14.33
S	S		0	0	0.08044	-		0	0	0.08044	-		0	0	0.08044	-
	I		139	3,848	0.08044	43.68		127	2,485	0.08044	67.64		418	4,139	0.08044	40.59
P	S	00834	0	0	0.08044	-	00835	0	0	0.08044	-	00836	0	0	0.08044	-
	I		-6	7,111	0.08044	23.64		713	4,899	0.08044	34.28		-292	3,324	0.08044	50.59
S	S		0	0	0.08044	-		0	0	0.08044	-		0	0	0.08044	-
	I		309	3,591	0.08044	46.79		131	3,461	0.08044	48.56		53	1,890	0.08044	88.94
P	S	00837	201	1,433	0.08044	NS	00838	80	1,600	0.08044	NS	00839	-401	2,399	0.08044	70.11
	I		213	3,099	0.08044	54.23		68	3,697	0.08044	45.47		-401	4,006	0.08044	41.99
S	S		0	0	0.08044	-		0	0	0.08044	-		0	0	0.08044	-
	I		204	3,848	0.08044	43.68		-400	5,203	0.08044	32.33		20	5,021	0.08044	33.48
P	S	00840	72	993	0.08044	NS	00841	227	424	0.08044	NS	00842	0	0	0.08044	-
	I		86	3,039	0.08044	55.31		213	2,115	0.08044	79.46		-163	2,109	0.08044	79.73
S	S		0	0	0.08044	-		0	0	0.08044	-		0	0	0.08044	-
	I		-422	5,381	0.08044	31.26		204	3,774	0.08044	44.53		-48	1,858	0.08044	90.49
P	S	00843	0	0	0.08044	-	00844	0	0	0.08044	-	00845	0	0	0.08044	-
	I		668	4,302	0.08044	39.04		200	9,208	0.08044	18.25		-326	12,725	0.08044	13.22
S	S		0	0	0.08044	-		0	0	0.08044	-		0	0	0.08044	-
	I		92	2,180	0.08044	77.11		-136	3,501	0.08044	48.03		86	3,793	0.08044	44.32
P	S	00846	0	0	0.08044	-	00847	0	0	0.08044	-	00848	0	0	0.08044	-
	I		-2,372	15,867	0.08044	10.63		1,073	16,937	0.08044	9.91		1,334	18,390	0.08044	9.12
S	S		0	0	0.08044	-		0	0	0.08044	-		0	0	0.08044	-
	I		-809	3,194	0.08044	52.69		-107	4,133	0.08044	40.68		676	4,619	0.08044	36.36
P	S	00849	0	0	0.08044	-	00850	0	0	0.08044	-	00851	0	0	0.08044	-
	I		-1,590	20,193	0.08044	8.34		-323	19,762	0.08044	8.51		2,945	22,339	0.08044	7.50
S	S		0	0	0.08044	-		0	0	0.08044	-		0	0	0.08044	-
	I		-832	4,060	0.08044	41.45		-458	3,825	0.08044	43.98		795	4,776	0.08044	35.16
P	S	00852	0	0	0.08044	-	00853	0	0	0.08044	-	00854	0	0	0.08044	-
	I		-580	23,002	0.08044	7.31		-2,462	21,586	0.08044	7.81		5,039	28,626	0.08044	5.83
S	S		0	0	0.08044	-		0	0	0.08044	-		0	0	0.08044	-
	I		-741	4,204	0.08044	40.03		-731	3,768	0.08044	44.66		951	5,523	0.08044	30.40
P	S	00855	0	0	0.08044	-	00856	0	0	0.08044	-	00857	0	0	0.08044	-
	I		-679	23,001	0.08044	7.32		521	21,929	0.08044	7.66		-453	18,496	0.08044	9.09
S	S		0	0	0.08044	-		0	0	0.08044	-		0	0	0.08044	-
	I		-766	5,599	0.08044	30.06		1,233	4,308	0.08044	38.96		14	3,527	0.08044	47.66
P	S	00858	0	0	0.08044	-	00859	0	0	0.08044	-	00860	0	0	0.08044	-
	I		-341	19,849	0.08044	8.47		-274	17,999	0.08044	9.34		-466	15,970	0.08044	10.53
S	S		0	0	0.08044	-		0	0	0.08044	-		0	0	0.08044	-
	I		-795	3,934	0.08044	42.78		1,092	4,388	0.08044	38.26		189	3,622	0.08044	46.40
P	S	00861	0	0	0.08044	-	00862	0	0	0.08044	-	00863	0	0	0.08044	-
	I		1,416	13,289	0.08044	12.63		-600	12,021	0.08044	14.00		-159	8,187	0.08044	20.54
S	S		0	0	0.08044	-		0	0	0.08044	-		0	0	0.08044	-
	I		204	2,225	0.08044	75.53		387	3,001	0.08044	55.99		262	2,651	0.08044	63.39
P	S	00864	0	0	0.08044	-	00865	-262	30	0.08044	NS	00866	108	1,478	0.08044	NS

Platee - Verifiche pressoflessione retta allo stato limite di danno																
D	P	Nodo	N	M	Af	CS	Nodo	N	M	Af	CS	Nodo	N	M	Af	CS
			[N]	[N-m]	[cm²/cm]			[N]	[N-m]	[cm²/cm]			[N]	[N-m]	[cm²/cm]	
	I		361	5,495	0.08044	30.58		-241	3,534	0.08044	47.58		110	3,303	0.08044	50.89
S	S		0	0	0.08044	-		0	0	0.08044	-		0	0	0.08044	-
	I		132	2,062	0.08044	81.51		-106	1,427	0.08044	NS		-162	3,153	0.08044	53.33
P	S	00867	102	1,742	0.08044	96.49	00868	-245	3,807	0.08044	44.17	00869	114	2,790	0.08044	60.25
	I		105	3,892	0.08044	43.19		-245	5,176	0.08044	32.49		108	4,835	0.08044	34.76
S	S		0	0	0.08044	-		0	0	0.08044	-		0	0	0.08044	-
	I		-59	3,785	0.08044	44.42		836	4,121	0.08044	40.75		-67	3,345	0.08044	50.26
P	S	00870	120	1,455	0.08044	NS	00871	0	0	0.08044	-	00872	0	0	0.08044	-
	I		120	3,207	0.08044	52.41		-259	2,533	0.08044	66.39		-2	22,352	0.08044	7.52
S	S		0	0	0.08044	-		0	0	0.08044	-		0	0	0.08044	-
	I		-170	3,282	0.08044	51.23		-109	1,628	0.08044	NS		0	12,699	0.08044	13.24
P	S	00873	0	0	0.08044	-	00874	0	0	0.08044	-	00875	0	0	0.08044	-
	I		0	11,607	0.08044	14.48		2	14,091	0.08044	11.93		2	10,364	0.08044	16.22
S	S		0	0	0.08044	-		0	0	0.08044	-		0	0	0.08044	-
	I		0	4,435	0.08044	37.91		0	5,318	0.08044	31.61		-1	3,006	0.08044	55.93
P	S	00876	0	0	0.08044	-	00877	0	0	0.08044	-	00878	0	0	0.08044	-
	I		2	9,453	0.08044	17.78		1	12,940	0.08044	12.99		2	9,608	0.08044	17.50
S	S		0	0	0.08044	-		0	0	0.08044	-		0	0	0.08044	-
	I		2	2,494	0.08044	67.41		0	4,034	0.08044	41.67		-3	3,250	0.08044	51.73
P	S	00879	0	0	0.08044	-	00880	0	0	0.08044	-	00881	0	0	0.08044	-
	I		2	9,781	0.08044	17.19		1	14,059	0.08044	11.96		-1	10,805	0.08044	15.56
S	S		0	0	0.08044	-		0	0	0.08044	-		0	0	0.08044	-
	I		3	2,969	0.08044	56.62		0	3,765	0.08044	44.65		0	3,167	0.08044	53.08
P	S	00882	0	0	0.08044	-	00883	0	0	0.08044	-	00884	0	0	0.08044	-
	I		0	11,725	0.08044	14.34		0	17,689	0.08044	9.50		-1	15,855	0.08044	10.60
S	S		0	0	0.08044	-		0	0	0.08044	-		0	0	0.08044	-
	I		3	4,062	0.08044	41.39		0	5,590	0.08044	30.07		0	8,778	0.08044	19.15
P	S	01514	0	0	0.08044	-	01515	-203	5,687	0.08044	29.57	01516	479	5,251	0.08044	31.99
	I		-389	5,677	0.08044	29.63		-162	418	0.08044	NS		479	2,328	0.08044	72.17
S	S		30	3,611	0.08044	46.55		525	7,686	0.08044	21.86		-890	7,949	0.08044	21.17
	I		9	1,814	0.08044	92.67		0	0	0.08044	-		0	0	0.08044	-
P	S	01517	-178	6,822	0.08044	24.65	01518	0	0	0.08044	-	01519	743	4,703	0.08044	35.71
	I		-228	1,581	0.08044	NS		-258	3,919	0.08044	42.91		744	2,909	0.08044	57.73
S	S		559	6,207	0.08044	27.06		-17	2,206	0.08044	76.21		-589	6,050	0.08044	27.81
	I		0	0	0.08044	-		-17	252	0.08044	NS		0	0	0.08044	-
P	S	01520	-457	2,008	0.08044	83.77	01521	-457	7,941	0.08044	21.18	01522	685	3,467	0.08044	48.44
	I		0	0	0.08044	-		474	4,670	0.08044	35.98		661	1,655	0.08044	NS
S	S		-1,200	9,553	0.08044	17.63		346	7,463	0.08044	22.52		-548	4,627	0.08044	36.36
	I		0	0	0.08044	-		0	0	0.08044	-		0	0	0.08044	-
P	S	01523	0	0	0.08044	-	01524	121	6,260	0.08044	26.85	01525	364	10,129	0.08044	16.59
	I		-2,049	16,501	0.08044	10.22		0	0	0.08044	-		-322	433	0.08044	NS
S	S		322	516	0.08044	NS		628	1,146	0.08044	NS		-678	2,751	0.08044	61.16
	I		305	3,551	0.08044	47.32		0	0	0.08044	-		624	1,496	0.08044	NS
P	S	01526	0	0	0.08044	-	01527	1,125	844	0.08044	NS	01528	-42	9,024	0.08044	18.63
	I		-2,019	13,512	0.08044	12.48		1,120	6,375	0.08044	26.33		40	9,475	0.08044	17.74
S	S		0	0	0.08044	-		-1,115	281	0.08044	NS		15	1,816	0.08044	92.57
	I		326	2,407	0.08044	69.81		-1,009	784	0.08044	NS		-10	2,105	0.08044	79.86
P	S	01529	-42	12,810	0.08044	13.12	01530	0	0	0.08044	-	01531	0	0	0.08044	-
	I		40	13,260	0.08044	12.68		1,120	3,829	0.08044	43.84		-1,037	26,271	0.08044	6.41
S	S		15	3,206	0.08044	52.44		-1,008	993	0.08044	NS		0	0	0.08044	-
	I		-10	3,498	0.08044	48.06		-1,114	1,429	0.08044	NS		167	4,417	0.08044	38.05
P	S	01532	37	5,321	0.08044	31.59	01533	37	8,436	0.08044	19.93	01534	0	0	0.08044	-
	I		0	0	0.08044	-		28	2,839	0.08044	59.21		-1,034	24,448	0.08044	6.89
S	S		-76	1,019	0.08044	NS		-76	1,869	0.08044	89.96		0	0	0.08044	-
	I		0	0	0.08044	-		-8	508	0.08044	NS		170	3,228	0.08044	52.07
P	S	01535	0	0	0.08044	-	01536	-134	10,565	0.08044	15.91	01537	-134	12,953	0.08044	12.98
	I		635	10,648	0.08044	15.77		132	10,777	0.08044	15.60		132	13,212	0.08044	12.72
S	S		0	0	0.08044	-		14	3,117	0.08044	53.93		14	3,519	0.08044	47.77
	I		-199	1,774	0.08044	94.79		-12	973	0.08044	NS		-12	1,376	0.08044	NS
P	S	01538	0	0	0.08044	-	01539	0	0	0.08044	-	01540	8	4,592	0.08044	36.61
	I		635	8,093	0.08044	20.75		-887	32,105	0.08044	5.24		-39	890	0.08044	NS
S	S		0	0	0.08044	-		0	0	0.08044	-		-12	1,408	0.08044	NS
	I		-185	1,242	0.08044	NS		140	5,369	0.08044	31.31		0	0	0.08044	-
P	S	01541	8	6,852	0.08044	24.53	01542	0	0	0.08044	-	01543	0	0	0.08044	-
	I		-39	3,153	0.08044	53.32		-887	30,764	0.08044	5.47		-432	11,683	0.08044	14.40
S	S		-13	1,501	0.08044	NS		0	0	0.08044	-		892	153	0.08044	NS
	I		0	0	0.08044	-		140	4,459	0.08044	37.69		799	1,798	0.08044	93.40
P	S	01544	-242	10,826	0.08044	15.53	01545	-242	12,867	0.08044	13.07	01546	0	0	0.08044	-
	I		241	10,875	0.08044	15.45		241	12,848	0.08044	13.08		-432	9,578	0.08044	17.56
S	S		28	3,132	0.08044	53.67		28	3,399	0.08044	49.46		0	0	0.08044	-
	I		-32	1,043	0.08044	NS		-32	1,310	0.08044	NS		832	1,340	0.08044	NS
P	S	01547	0	0	0.08044	-	01548	-21	4,100	0.08044	41.00	01549	-21	6,255	0.08044	26.88
	I		-352	32,291	0.08044	5.21		22	969	0.08044	NS		22	3,032	0.08044	55.44
S	S		0	0	0.08044	-		-22	1,165	0.08044	NS		-71	1,511	0.08044	NS
	I		-444	6,053	0.08044	27.79		0	0	0.08044	-		69	58	0.08044	NS
P	S	01550	0	0	0.08044	-	01551	0	0	0.08044	-	01552	-273	10,108	0.08044	16.64
	I		-354	30,894	0.08044	5.44		-395	11,344	0.08044	14.83		269	10,304	0.08044	16.31
S	S		0	0	0.08044	-		0	0	0.08044	-		-35	2,601	0.08044	64.64
	I		-444	5,112	0.08044	32.91		431	1,406	0.08044	NS		36	1,661	0.08044	NS
P	S	01553	-273	12,397	0.08044	13.57	01554	0	0	0.08044	-	01555	0	0	0.08044	-

LEGENDA Platee - Verifiche pressoflessione retta allo stato limite di danno

**PLATEE - VERIFICHE PRESSOFLESSIONE RETTA ALLO STATO LIMITE DI ESERCIZIO
(Fondazione)**

29

D	Nod o	σ ct	σ cc	σ at	Nod o	σ ct	σ cc	σ at	Nod o	σ ct	σ cc	σ at	Nod o	σ ct	σ cc	σ at
		[N/mm ²]	[N/mm ²]	[N/mm ²]		[N/mm ²]	[N/mm ²]	[N/mm ²]		[N/mm ²]	[N/mm ²]	[N/mm ²]		[N/mm ²]	[N/mm ²]	[N/mm ²]
SHELL: [00465-00728-00729]AA= PCA					CA=FRQ	$\epsilon_{sm}=0.00000$	$A_e=0.0\text{ cm}^2$	$S_m=0\text{ mm}$	$W_k=0.00\text{ mm}$	CA=QPR	$\epsilon_{sm}=0.00000$	$A_e=0.0\text{ cm}^2$				
$S_m=0\text{ mm}$ $W_k=0.00\text{ mm}$																
SHELL: [01457-00673-00672]AA= PCA					CA=FRQ	$\epsilon_{sm}=0.00000$	$A_e=0.0\text{ cm}^2$	$S_m=0\text{ mm}$	$W_k=0.00\text{ mm}$	CA=QPR	$\epsilon_{sm}=0.00000$	$A_e=0.0\text{ cm}^2$				
$S_m=0\text{ mm}$ $W_k=0.00\text{ mm}$																
SHELL: [00683-00428-01597]AA= PCA					CA=FRQ	$\epsilon_{sm}=0.00000$	$A_e=0.0\text{ cm}^2$	$S_m=0\text{ mm}$	$W_k=0.00\text{ mm}$	CA=QPR	$\epsilon_{sm}=0.00000$	$A_e=0.0\text{ cm}^2$				
$S_m=0\text{ mm}$ $W_k=0.00\text{ mm}$																
SHELL: [00463-00730-00731]AA= PCA					CA=FRQ	$\epsilon_{sm}=0.00000$	$A_e=0.0\text{ cm}^2$	$S_m=0\text{ mm}$	$W_k=0.00\text{ mm}$	CA=QPR	$\epsilon_{sm}=0.00000$	$A_e=0.0\text{ cm}^2$				
$S_m=0\text{ mm}$ $W_k=0.00\text{ mm}$																
SHELL: [00676-00415-00675]AA= PCA					CA=FRQ	$\epsilon_{sm}=0.00000$	$A_e=0.0\text{ cm}^2$	$S_m=0\text{ mm}$	$W_k=0.00\text{ mm}$	CA=QPR	$\epsilon_{sm}=0.00000$	$A_e=0.0\text{ cm}^2$				
$S_m=0\text{ mm}$ $W_k=0.00\text{ mm}$																
SHELL: [00463-00464-00730]AA= PCA					CA=FRQ	$\epsilon_{sm}=0.00000$	$A_e=0.0\text{ cm}^2$	$S_m=0\text{ mm}$	$W_k=0.00\text{ mm}$	CA=QPR	$\epsilon_{sm}=0.00000$	$A_e=0.0\text{ cm}^2$				
$S_m=0\text{ mm}$ $W_k=0.00\text{ mm}$																
SHELL: [00675-00416-00674]AA= PCA					CA=FRQ	$\epsilon_{sm}=0.00000$	$A_e=0.0\text{ cm}^2$	$S_m=0\text{ mm}$	$W_k=0.00\text{ mm}$	CA=QPR	$\epsilon_{sm}=0.00000$	$A_e=0.0\text{ cm}^2$				
$S_m=0\text{ mm}$ $W_k=0.00\text{ mm}$																
SHELL: [00462-00731-00732]AA= PCA					CA=FRQ	$\epsilon_{sm}=0.00000$	$A_e=0.0\text{ cm}^2$	$S_m=0\text{ mm}$	$W_k=0.00\text{ mm}$	CA=QPR	$\epsilon_{sm}=0.00000$	$A_e=0.0\text{ cm}^2$				
$S_m=0\text{ mm}$ $W_k=0.00\text{ mm}$																
SHELL: [00432-00705-00431]AA= PCA					CA=FRQ	$\epsilon_{sm}=0.00000$	$A_e=0.0\text{ cm}^2$	$S_m=0\text{ mm}$	$W_k=0.00\text{ mm}$	CA=QPR	$\epsilon_{sm}=0.00000$	$A_e=0.0\text{ cm}^2$				
$S_m=0\text{ mm}$ $W_k=0.00\text{ mm}$																
SHELL: [00462-00463-00731]AA= PCA					CA=FRQ	$\epsilon_{sm}=0.00000$	$A_e=0.0\text{ cm}^2$	$S_m=0\text{ mm}$	$W_k=0.00\text{ mm}$	CA=QPR	$\epsilon_{sm}=0.00000$	$A_e=0.0\text{ cm}^2$				
$S_m=0\text{ mm}$ $W_k=0.00\text{ mm}$																
SHELL: [00462-00732-00461]AA= PCA					CA=FRQ	$\epsilon_{sm}=0.00000$	$A_e=0.0\text{ cm}^2$	$S_m=0\text{ mm}$	$W_k=0.00\text{ mm}$	CA=QPR	$\epsilon_{sm}=0.00000$	$A_e=0.0\text{ cm}^2$				
$S_m=0\text{ mm}$ $W_k=0.00\text{ mm}$																
SHELL: [01597-00428-00117]AA= PCA					CA=FRQ	$\epsilon_{sm}=0.00000$	$A_e=0.0\text{ cm}^2$	$S_m=0\text{ mm}$	$W_k=0.00\text{ mm}$	CA=QPR	$\epsilon_{sm}=0.00000$	$A_e=0.0\text{ cm}^2$				
$S_m=0\text{ mm}$ $W_k=0.00\text{ mm}$																
SHELL: [00464-00729-00730]AA= PCA					CA=FRQ	$\epsilon_{sm}=0.00000$	$A_e=0.0\text{ cm$									

D	Nod o	σ ct	σ cc	σ at	Nod o	σ ct	σ cc	σ at	Nod o	σ ct	σ cc	σ at	Nod o	σ ct	σ cc	σ at
		[N/mm ²]	[N/mm ²]	[N/mm ²]		[N/mm ²]	[N/mm ²]	[N/mm ²]		[N/mm ²]	[N/mm ²]	[N/mm ²]		[N/mm ²]	[N/mm ²]	[N/mm ²]
SHELL: [01397-00662-00661]AA= PCA					CA=FRQ	$\epsilon_{sm}=0.00000$	$A_e=0.0$ cm ²	$S_m=0$ mm	$W_k=0.00$ mm	CA=QPR	$\epsilon_{sm}=0.00000$	$A_e=0.0$ cm ²				
$S_m=0$ mm $W_k=0.00$ mm																
SHELL: [00099-01464-00098]AA= PCA					CA=FRQ	$\epsilon_{sm}=0.00000$	$A_e=0.0$ cm ²	$S_m=0$ mm	$W_k=0.00$ mm	CA=QPR	$\epsilon_{sm}=0.00000$	$A_e=0.0$ cm ²				
$S_m=0$ mm $W_k=0.00$ mm																
SHELL: [00449-00686-00685]AA= PCA					CA=FRQ	$\epsilon_{sm}=0.00000$	$A_e=0.0$ cm ²	$S_m=0$ mm	$W_k=0.00$ mm	CA=QPR	$\epsilon_{sm}=0.00000$	$A_e=0.0$ cm ²				
$S_m=0$ mm $W_k=0.00$ mm																
SHELL: [00449-00685-00448]AA= PCA					CA=FRQ	$\epsilon_{sm}=0.00000$	$A_e=0.0$ cm ²	$S_m=0$ mm	$W_k=0.00$ mm	CA=QPR	$\epsilon_{sm}=0.00000$	$A_e=0.0$ cm ²				
$S_m=0$ mm $W_k=0.00$ mm																
SHELL: [00669-00414-01585]AA= PCA					CA=FRQ	$\epsilon_{sm}=0.00000$	$A_e=0.0$ cm ²	$S_m=0$ mm	$W_k=0.00$ mm	CA=QPR	$\epsilon_{sm}=0.00000$	$A_e=0.0$ cm ²				
$S_m=0$ mm $W_k=0.00$ mm																
SHELL: [00711-00490-00710]AA= PCA					CA=FRQ	$\epsilon_{sm}=0.00000$	$A_e=0.0$ cm ²	$S_m=0$ mm	$W_k=0.00$ mm	CA=QPR	$\epsilon_{sm}=0.00000$	$A_e=0.0$ cm ²				
$S_m=0$ mm $W_k=0.00$ mm																
SHELL: [00683-00427-00428]AA= PCA					CA=FRQ	$\epsilon_{sm}=0.00000$	$A_e=0.0$ cm ²	$S_m=0$ mm	$W_k=0.00$ mm	CA=QPR	$\epsilon_{sm}=0.00000$	$A_e=0.0$ cm ²				
$S_m=0$ mm $W_k=0.00$ mm																
SHELL: [01467-00670-01589]AA= PCA					CA=FRQ	$\epsilon_{sm}=0.00000$	$A_e=0.0$ cm ²	$S_m=0$ mm	$W_k=0.00$ mm	CA=QPR	$\epsilon_{sm}=0.00000$	$A_e=0.0$ cm ²				
$S_m=0$ mm $W_k=0.00$ mm																
SHELL: [00682-00426-00427]AA= PCA					CA=FRQ	$\epsilon_{sm}=0.00000$	$A_e=0.0$ cm ²	$S_m=0$ mm	$W_k=0.00$ mm	CA=QPR	$\epsilon_{sm}=0.00000$	$A_e=0.0$ cm ²				
$S_m=0$ mm $W_k=0.00$ mm																
SHELL: [01493-00680-00681]AA= PCA					CA=FRQ	$\epsilon_{sm}=0.00000$	$A_e=0.0$ cm ²	$S_m=0$ mm	$W_k=0.00$ mm	CA=QPR	$\epsilon_{sm}=0.00000$	$A_e=0.0$ cm ²				
$S_m=0$ mm $W_k=0.00$ mm																
SHELL: [00681-00426-00682]AA= PCA					CA=FRQ	$\epsilon_{sm}=0.00000$	$A_e=0.0$ cm ²	$S_m=0$ mm	$W_k=0.00$ mm	CA=QPR	$\epsilon_{sm}=0.00000$	$A_e=0.0$ cm ²				
$S_m=0$ mm $W_k=0.00$ mm																
SHELL: [00681-00425-00426]AA= PCA					CA=FRQ	$\epsilon_{sm}=0.00000$	$A_e=0.0$ cm ²	$S_m=0$ mm	$W_k=0.00$ mm	CA=QPR	$\epsilon_{sm}=0.00000$	$A_e=0.0$ cm ²				
$S_m=0$ mm $W_k=0.00$ mm																
SHELL: [00680-00424-00425]AA= PCA					CA=FRQ	$\epsilon_{sm}=0.00000$	$A_e=0.0$ cm ²	$S_m=0$ mm	$W_k=0.00$ mm	CA=QPR	$\epsilon_{sm}=0.00000$	$A_e=0.0$ cm<				

[illegible]

D	Nod o	σ ct	σ cc	σ at	Nod o	σ ct	σ cc	σ at	Nod o	σ ct	σ cc	σ at	Nod o	σ ct	σ cc	σ at
		[N/mm ²]	[N/mm ²]	[N/mm ²]		[N/mm ²]	[N/mm ²]	[N/mm ²]		[N/mm ²]	[N/mm ²]	[N/mm ²]		[N/mm ²]	[N/mm ²]	[N/mm ²]
SHELL: [01398-00709-00708]AA= PCA					CA=FRQ	$\epsilon_{sm}=0.00000$	$A_e=0.0\text{ cm}^2$	$S_m=0\text{ mm}$	$W_k=0.00\text{ mm}$	CA=QPR	$\epsilon_{sm}=0.00000$	$A_e=0.0\text{ cm}^2$				
$S_m=0\text{ mm}$ $W_k=0.00\text{ mm}$																
SHELL: [01457-00674-00673]AA= PCA					CA=FRQ	$\epsilon_{sm}=0.00000$	$A_e=0.0\text{ cm}^2$	$S_m=0\text{ mm}$	$W_k=0.00\text{ mm}$	CA=QPR	$\epsilon_{sm}=0.00000$	$A_e=0.0\text{ cm}^2$				
$S_m=0\text{ mm}$ $W_k=0.00\text{ mm}$																
SHELL: [01403-00661-00660]AA= PCA					CA=FRQ	$\epsilon_{sm}=0.00000$	$A_e=0.0\text{ cm}^2$	$S_m=0\text{ mm}$	$W_k=0.00\text{ mm}$	CA=QPR	$\epsilon_{sm}=0.00000$	$A_e=0.0\text{ cm}^2$				
$S_m=0\text{ mm}$ $W_k=0.00\text{ mm}$																
SHELL: [01413-00657-01417]AA= PCA					CA=FRQ	$\epsilon_{sm}=0.00000$	$A_e=0.0\text{ cm}^2$	$S_m=0\text{ mm}$	$W_k=0.00\text{ mm}$	CA=QPR	$\epsilon_{sm}=0.00000$	$A_e=0.0\text{ cm}^2$				
$S_m=0\text{ mm}$ $W_k=0.00\text{ mm}$																
SHELL: [01467-00671-00670]AA= PCA					CA=FRQ	$\epsilon_{sm}=0.00000$	$A_e=0.0\text{ cm}^2$	$S_m=0\text{ mm}$	$W_k=0.00\text{ mm}$	CA=QPR	$\epsilon_{sm}=0.00000$	$A_e=0.0\text{ cm}^2$				
$S_m=0\text{ mm}$ $W_k=0.00\text{ mm}$																
SHELL: [01493-00681-00682]AA= PCA					CA=FRQ	$\epsilon_{sm}=0.00000$	$A_e=0.0\text{ cm}^2$	$S_m=0\text{ mm}$	$W_k=0.00\text{ mm}$	CA=QPR	$\epsilon_{sm}=0.00000$	$A_e=0.0\text{ cm}^2$				
$S_m=0\text{ mm}$ $W_k=0.00\text{ mm}$																
SHELL: [01504-01493-00682]AA= PCA					CA=FRQ	$\epsilon_{sm}=0.00000$	$A_e=0.0\text{ cm}^2$	$S_m=0\text{ mm}$	$W_k=0.00\text{ mm}$	CA=QPR	$\epsilon_{sm}=0.00000$	$A_e=0.0\text{ cm}^2$				
$S_m=0\text{ mm}$ $W_k=0.00\text{ mm}$																
SHELL: [01504-00682-00683]AA= PCA					CA=FRQ	$\epsilon_{sm}=0.00000$	$A_e=0.0\text{ cm}^2$	$S_m=0\text{ mm}$	$W_k=0.00\text{ mm}$	CA=QPR	$\epsilon_{sm}=0.00000$	$A_e=0.0\text{ cm}^2$				
$S_m=0\text{ mm}$ $W_k=0.00\text{ mm}$																
SHELL: [01477-00677-00678]AA= PCA					CA=FRQ	$\epsilon_{sm}=0.00000$	$A_e=0.0\text{ cm}^2$	$S_m=0\text{ mm}$	$W_k=0.00\text{ mm}$	CA=QPR	$\epsilon_{sm}=0.00000$	$A_e=0.0\text{ cm}^2$				
$S_m=0\text{ mm}$ $W_k=0.00\text{ mm}$																
SHELL: [01453-01447-00675]AA= PCA					CA=FRQ	$\epsilon_{sm}=0.00000$	$A_e=0.0\text{ cm}^2$	$S_m=0\text{ mm}$	$W_k=0.00\text{ mm}$	CA=QPR	$\epsilon_{sm}=0.00000$	$A_e=0.0\text{ cm}^2$				
$S_m=0\text{ mm}$ $W_k=0.00\text{ mm}$																
SHELL: [01477-00678-00679]AA= PCA					CA=FRQ	$\epsilon_{sm}=0.00000$	$A_e=0.0\text{ cm}^2$	$S_m=0\text{ mm}$	$W_k=0.00\text{ mm}$	CA=QPR	$\epsilon_{sm}=0.00000$	$A_e=0.0\text{ cm}^2$				
$S_m=0\text{ mm}$ $W_k=0.00\text{ mm}$																
SHELL: [00448-00685-00684]AA= PCA					CA=FRQ	$\epsilon_{sm}=0.00000$	$A_e=0.0\text{ cm}^2$	$S_m=0\text{ mm}$	$W_k=0.00\text{ mm}$	CA=QPR	$\epsilon_{sm}=0.00000$	$A_e=0.0\text{ cm}^2$				
$S_m=0\text{ mm}$ $W_k=0.00\text{ mm}$																
SHELL: [00116-01586-00446]AA= PCA					CA=FRQ	$\epsilon_{sm}=0.00000$	$A_e=0.0\text{ cm$									

D	Nod o	σ ct	σ cc	σ at	Nod o	σ ct	σ cc	σ at	Nod o	σ ct	σ cc	σ at	Nod o	σ ct	σ cc	σ at
		[N/mm ²]	[N/mm ²]	[N/mm ²]		[N/mm ²]	[N/mm ²]	[N/mm ²]		[N/mm ²]	[N/mm ²]	[N/mm ²]		[N/mm ²]	[N/mm ²]	[N/mm ²]
SHELL: [00709-00492-00708]AA= PCA					CA=FRQ	$\epsilon_{sm}=0.00000$	$A_e=0.0\text{ cm}^2$	$S_m=0\text{ mm}$	$W_k=0.00\text{ mm}$	CA=QPR	$\epsilon_{sm}=0.00000$	$A_e=0.0\text{ cm}^2$				
$S_m=0\text{ mm}$ $W_k=0.00\text{ mm}$																
SHELL: [01428-01427-01433]AA= PCA					CA=FRQ	$\epsilon_{sm}=0.00000$	$A_e=0.0\text{ cm}^2$	$S_m=0\text{ mm}$	$W_k=0.00\text{ mm}$	CA=QPR	$\epsilon_{sm}=0.00000$	$A_e=0.0\text{ cm}^2$				
$S_m=0\text{ mm}$ $W_k=0.00\text{ mm}$																
SHELL: [00490-00491-00710]AA= PCA					CA=FRQ	$\epsilon_{sm}=0.00000$	$A_e=0.0\text{ cm}^2$	$S_m=0\text{ mm}$	$W_k=0.00\text{ mm}$	CA=QPR	$\epsilon_{sm}=0.00000$	$A_e=0.0\text{ cm}^2$				
$S_m=0\text{ mm}$ $W_k=0.00\text{ mm}$																
SHELL: [00653-00740-00654]AA= PCA					CA=FRQ	$\epsilon_{sm}=0.00000$	$A_e=0.0\text{ cm}^2$	$S_m=0\text{ mm}$	$W_k=0.00\text{ mm}$	CA=QPR	$\epsilon_{sm}=0.00000$	$A_e=0.0\text{ cm}^2$				
$S_m=0\text{ mm}$ $W_k=0.00\text{ mm}$																
SHELL: [01398-01397-01403]AA= PCA					CA=FRQ	$\epsilon_{sm}=0.00000$	$A_e=0.0\text{ cm}^2$	$S_m=0\text{ mm}$	$W_k=0.00\text{ mm}$	CA=QPR	$\epsilon_{sm}=0.00000$	$A_e=0.0\text{ cm}^2$				
$S_m=0\text{ mm}$ $W_k=0.00\text{ mm}$																
SHELL: [01398-00708-01397]AA= PCA					CA=FRQ	$\epsilon_{sm}=0.00000$	$A_e=0.0\text{ cm}^2$	$S_m=0\text{ mm}$	$W_k=0.00\text{ mm}$	CA=QPR	$\epsilon_{sm}=0.00000$	$A_e=0.0\text{ cm}^2$				
$S_m=0\text{ mm}$ $W_k=0.00\text{ mm}$																
SHELL: [01438-01437-01443]AA= PCA					CA=FRQ	$\epsilon_{sm}=0.00000$	$A_e=0.0\text{ cm}^2$	$S_m=0\text{ mm}$	$W_k=0.00\text{ mm}$	CA=QPR	$\epsilon_{sm}=0.00000$	$A_e=0.0\text{ cm}^2$				
$S_m=0\text{ mm}$ $W_k=0.00\text{ mm}$																
SHELL: [01438-01433-01437]AA= PCA					CA=FRQ	$\epsilon_{sm}=0.00000$	$A_e=0.0\text{ cm}^2$	$S_m=0\text{ mm}$	$W_k=0.00\text{ mm}$	CA=QPR	$\epsilon_{sm}=0.00000$	$A_e=0.0\text{ cm}^2$				
$S_m=0\text{ mm}$ $W_k=0.00\text{ mm}$																
SHELL: [00590-00589-00097]AA= PCA					CA=FRQ	$\epsilon_{sm}=0.00000$	$A_e=0.0\text{ cm}^2$	$S_m=0\text{ mm}$	$W_k=0.00\text{ mm}$	CA=QPR	$\epsilon_{sm}=0.00000$	$A_e=0.0\text{ cm}^2$				
$S_m=0\text{ mm}$ $W_k=0.00\text{ mm}$																
SHELL: [01418-01413-01417]AA= PCA					CA=FRQ	$\epsilon_{sm}=0.00000$	$A_e=0.0\text{ cm}^2$	$S_m=0\text{ mm}$	$W_k=0.00\text{ mm}$	CA=QPR	$\epsilon_{sm}=0.00000$	$A_e=0.0\text{ cm}^2$				
$S_m=0\text{ mm}$ $W_k=0.00\text{ mm}$																
SHELL: [01418-01417-01423]AA= PCA					CA=FRQ	$\epsilon_{sm}=0.00000$	$A_e=0.0\text{ cm}^2$	$S_m=0\text{ mm}$	$W_k=0.00\text{ mm}$	CA=QPR	$\epsilon_{sm}=0.00000$	$A_e=0.0\text{ cm}^2$				
$S_m=0\text{ mm}$ $W_k=0.00\text{ mm}$																
SHELL: [01448-01447-01453]AA= PCA					CA=FRQ	$\epsilon_{sm}=0.00000$	$A_e=0.0\text{ cm}^2$	$S_m=0\text{ mm}$	$W_k=0.00\text{ mm}$	CA=QPR	$\epsilon_{sm}=0.00000$	$A_e=0.0\text{ cm}^2$				
$S_m=0\text{ mm}$ $W_k=0.00\text{ mm}$																
SHELL: [01478-01473-01477]AA= PCA					CA=FRQ	$\epsilon_{sm}=0.00000$	$A_e=0.0\text{ cm$									

D	Nod o	σ ct	σ cc	σ at	Nod o	σ ct	σ cc	σ at	Nod o	σ ct	σ cc	σ at	Nod o	σ ct	σ cc	σ at
		[N/mm ²]	[N/mm ²]	[N/mm ²]		[N/mm ²]	[N/mm ²]	[N/mm ²]		[N/mm ²]	[N/mm ²]	[N/mm ²]		[N/mm ²]	[N/mm ²]	[N/mm ²]
SHELL: [01424-01418-01423]AA= PCA S _m =0 mm W _k =0.00 mm					CA=FRQ ε _{sm} =0.00000 A _e =0.0 cm ² S _m =0 mm W _k =0.00 mm CA=QPR ε _{sm} =0.00000 A _e =0.0 cm ²											
SHELL: [01424-01423-01428]AA= PCA S _m =0 mm W _k =0.00 mm					CA=FRQ ε _{sm} =0.00000 A _e =0.0 cm ² S _m =0 mm W _k =0.00 mm CA=QPR ε _{sm} =0.00000 A _e =0.0 cm ²											
SHELL: [01505-00706-00705]AA= PCA S _m =0 mm W _k =0.00 mm					CA=FRQ ε _{sm} =0.00000 A _e =0.0 cm ² S _m =0 mm W _k =0.00 mm CA=QPR ε _{sm} =0.00000 A _e =0.0 cm ²											
SHELL: [01414-01413-01418]AA= PCA S _m =0 mm W _k =0.00 mm					CA=FRQ ε _{sm} =0.00000 A _e =0.0 cm ² S _m =0 mm W _k =0.00 mm CA=QPR ε _{sm} =0.00000 A _e =0.0 cm ²											
SHELL: [01414-01408-01413]AA= PCA S _m =0 mm W _k =0.00 mm					CA=FRQ ε _{sm} =0.00000 A _e =0.0 cm ² S _m =0 mm W _k =0.00 mm CA=QPR ε _{sm} =0.00000 A _e =0.0 cm ²											
SHELL: [00451-00689-00688]AA= PCA S _m =0 mm W _k =0.00 mm					CA=FRQ ε _{sm} =0.00000 A _e =0.0 cm ² S _m =0 mm W _k =0.00 mm CA=QPR ε _{sm} =0.00000 A _e =0.0 cm ²											
SHELL: [01404-01398-01403]AA= PCA S _m =0 mm W _k =0.00 mm					CA=FRQ ε _{sm} =0.00000 A _e =0.0 cm ² S _m =0 mm W _k =0.00 mm CA=QPR ε _{sm} =0.00000 A _e =0.0 cm ²											
SHELL: [00704-00705-00432]AA= PCA S _m =0 mm W _k =0.00 mm					CA=FRQ ε _{sm} =0.00000 A _e =0.0 cm ² S _m =0 mm W _k =0.00 mm CA=QPR ε _{sm} =0.00000 A _e =0.0 cm ²											
SHELL: [01464-01458-01463]AA= PCA S _m =0 mm W _k =0.00 mm					CA=FRQ ε _{sm} =0.00000 A _e =0.0 cm ² S _m =0 mm W _k =0.00 mm CA=QPR ε _{sm} =0.00000 A _e =0.0 cm ²											
SHELL: [01484-01478-01483]AA= PCA S _m =0 mm W _k =0.00 mm					CA=FRQ ε _{sm} =0.00000 A _e =0.0 cm ² S _m =0 mm W _k =0.00 mm CA=QPR ε _{sm} =0.00000 A _e =0.0 cm ²											
SHELL: [01484-01483-01494]AA= PCA S _m =0 mm W _k =0.00 mm					CA=FRQ ε _{sm} =0.00000 A _e =0.0 cm ² S _m =0 mm W _k =0.00 mm CA=QPR ε _{sm} =0.00000 A _e =0.0 cm ²											
SHELL: [01505-01494-01504]AA= PCA S _m =0 mm W _k =0.00 mm					CA=FRQ ε _{sm} =0.00000 A _e =0.0 cm ² S _m =0 mm W _k =0.00 mm CA=QPR ε _{sm} =0.00000 A _e =0.0 cm ²											
SHELL: [01505-01504-00706]AA= PCA S _m =0 mm W _k =0.00 mm					CA=FRQ ε _{sm} =0.00000 A _e =0.0 cm ² S _m =0 mm W _k =0.00 mm CA=QPR ε _{sm} =0.00000 A _e =0.0 cm ²											
SHELL: [01434-01433-01438]AA= PCA S _m =0 mm W _k =0.00 mm					CA=FRQ ε _{sm} =0.00000 A _e =0.0 cm ² S _m =0 mm W _k =0.00 mm CA=QPR ε _{sm} =0.00000 A _e =0.0 cm ²											
SHELL: [01399-00711-00710]AA= PCA S _m =0 mm W _k =0.00 mm					CA=FRQ ε _{sm} =0.00000 A _e =0.0 cm ² S _m =0 mm W _k =0.00 mm CA=QPR ε _{sm} =0.00000 A _e =0.0 cm ²											
SHELL: [00110-00111-01414]AA= PCA S _m =0 mm W _k =0.00 mm					CA=FRQ ε _{sm} =0.00000 A _e =0.0 cm ² S _m =0 mm W _k =0.00 mm CA=QPR ε _{sm} =0.00000 A _e =0.0 cm ²											
SHELL: [00451-00452-00689]AA= PCA S _m =0 mm W _k =0.00 mm					CA=FRQ ε _{sm} =0.00000 A _e =0.0 cm ² S _m =0 mm W _k =0.00 mm CA=QPR ε _{sm} =0.00000 A _e =0.0 cm ²											
SHELL: [01459-01454-01458]AA= PCA S _m =0 mm W _k =0.00 mm					CA=FRQ ε _{sm} =0.00000 A _e =0.0 cm ² S _m =0 mm W _k =0											

D	Nod o	σ ct	σ cc	σ at	Nod o	σ ct	σ cc	σ at	Nod o	σ ct	σ cc	σ at	Nod o	σ ct	σ cc	σ at
		[N/mm ²]	[N/mm ²]	[N/mm ²]		[N/mm ²]	[N/mm ²]	[N/mm ²]		[N/mm ²]	[N/mm ²]	[N/mm ²]		[N/mm ²]	[N/mm ²]	[N/mm ²]
SHELL: [00570-00569-00106]AA= PCA					CA=FRQ	$\epsilon_{sm}=0.00000$	$A_e=0.0\text{ cm}^2$	$S_m=0\text{ mm}$	$W_k=0.00\text{ mm}$	CA=QPR	$\epsilon_{sm}=0.00000$	$A_e=0.0\text{ cm}^2$				
$S_m=0\text{ mm}$ $W_k=0.00\text{ mm}$																
SHELL: [01469-01468-01474]AA= PCA					CA=FRQ	$\epsilon_{sm}=0.00000$	$A_e=0.0\text{ cm}^2$	$S_m=0\text{ mm}$	$W_k=0.00\text{ mm}$	CA=QPR	$\epsilon_{sm}=0.00000$	$A_e=0.0\text{ cm}^2$				
$S_m=0\text{ mm}$ $W_k=0.00\text{ mm}$																
SHELL: [00590-00097-00096]AA= PCA					CA=FRQ	$\epsilon_{sm}=0.00000$	$A_e=0.0\text{ cm}^2$	$S_m=0\text{ mm}$	$W_k=0.00\text{ mm}$	CA=QPR	$\epsilon_{sm}=0.00000$	$A_e=0.0\text{ cm}^2$				
$S_m=0\text{ mm}$ $W_k=0.00\text{ mm}$																
SHELL: [00105-01434-01439]AA= PCA					CA=FRQ	$\epsilon_{sm}=0.00000$	$A_e=0.0\text{ cm}^2$	$S_m=0\text{ mm}$	$W_k=0.00\text{ mm}$	CA=QPR	$\epsilon_{sm}=0.00000$	$A_e=0.0\text{ cm}^2$				
$S_m=0\text{ mm}$ $W_k=0.00\text{ mm}$																
SHELL: [00098-01464-01469]AA= PCA					CA=FRQ	$\epsilon_{sm}=0.00000$	$A_e=0.0\text{ cm}^2$	$S_m=0\text{ mm}$	$W_k=0.00\text{ mm}$	CA=QPR	$\epsilon_{sm}=0.00000$	$A_e=0.0\text{ cm}^2$				
$S_m=0\text{ mm}$ $W_k=0.00\text{ mm}$																
SHELL: [00110-01414-01419]AA= PCA					CA=FRQ	$\epsilon_{sm}=0.00000$	$A_e=0.0\text{ cm}^2$	$S_m=0\text{ mm}$	$W_k=0.00\text{ mm}$	CA=QPR	$\epsilon_{sm}=0.00000$	$A_e=0.0\text{ cm}^2$				
$S_m=0\text{ mm}$ $W_k=0.00\text{ mm}$																
SHELL: [00101-00102-01454]AA= PCA					CA=FRQ	$\epsilon_{sm}=0.00000$	$A_e=0.0\text{ cm}^2$	$S_m=0\text{ mm}$	$W_k=0.00\text{ mm}$	CA=QPR	$\epsilon_{sm}=0.00000$	$A_e=0.0\text{ cm}^2$				
$S_m=0\text{ mm}$ $W_k=0.00\text{ mm}$																
SHELL: [01601-00114-00554]AA= PCA					CA=FRQ	$\epsilon_{sm}=0.00000$	$A_e=0.0\text{ cm}^2$	$S_m=0\text{ mm}$	$W_k=0.00\text{ mm}$	CA=QPR	$\epsilon_{sm}=0.00000$	$A_e=0.0\text{ cm}^2$				
$S_m=0\text{ mm}$ $W_k=0.00\text{ mm}$																
SHELL: [00102-01449-01454]AA= PCA					CA=FRQ	$\epsilon_{sm}=0.00000$	$A_e=0.0\text{ cm}^2$	$S_m=0\text{ mm}$	$W_k=0.00\text{ mm}$	CA=QPR	$\epsilon_{sm}=0.00000$	$A_e=0.0\text{ cm}^2$				
$S_m=0\text{ mm}$ $W_k=0.00\text{ mm}$																
SHELL: [00099-01459-01464]AA= PCA					CA=FRQ	$\epsilon_{sm}=0.00000$	$A_e=0.0\text{ cm}^2$	$S_m=0\text{ mm}$	$W_k=0.00\text{ mm}$	CA=QPR	$\epsilon_{sm}=0.00000$	$A_e=0.0\text{ cm}^2$				
$S_m=0\text{ mm}$ $W_k=0.00\text{ mm}$																
SHELL: [00058-00711-01601]AA= PCA					CA=FRQ	$\epsilon_{sm}=0.00000$	$A_e=0.0\text{ cm}^2$	$S_m=0\text{ mm}$	$W_k=0.00\text{ mm}$	CA=QPR	$\epsilon_{sm}=0.00000$	$A_e=0.0\text{ cm}^2$				
$S_m=0\text{ mm}$ $W_k=0.00\text{ mm}$																
SHELL: [00096-01474-01479]AA= PCA					CA=FRQ	$\epsilon_{sm}=0.00000$	$A_e=0.0\text{ cm}^2$	$S_m=0\text{ mm}$	$W_k=0.00\text{ mm}$	CA=QPR	$\epsilon_{sm}=0.00000$	$A_e=0.0\text{ cm}^2$				
$S_m=0\text{ mm}$ $W_k=0.00\text{ mm}$																
SHELL: [00101-01454-01459]AA= PCA					CA=FRQ	$\epsilon_{sm}=0.00000$	$A_e=0.0\text{ cm$									

D	Nod o	σ ct	σ cc	σ at	Nod o	σ ct	σ cc	σ at	Nod o	σ ct	σ cc	σ at	Nod o	σ ct	σ cc	σ at
		[N/mm ²]	[N/mm ²]	[N/mm ²]		[N/mm ²]	[N/mm ²]	[N/mm ²]		[N/mm ²]	[N/mm ²]	[N/mm ²]		[N/mm ²]	[N/mm ²]	[N/mm ²]
SHELL: [00569-00107-01429]AA= PCA					CA=FRQ	$\epsilon_{sm}=0.00000$	$A_e=0.0$ cm ²	$S_m=0$ mm	$W_k=0.00$ mm	CA=QPR	$\epsilon_{sm}=0.00000$	$A_e=0.0$ cm ²				
$S_m=0$ mm $W_k=0.00$ mm																
SHELL: [00569-01429-00106]AA= PCA					CA=FRQ	$\epsilon_{sm}=0.00000$	$A_e=0.0$ cm ²	$S_m=0$ mm	$W_k=0.00$ mm	CA=QPR	$\epsilon_{sm}=0.00000$	$A_e=0.0$ cm ²				
$S_m=0$ mm $W_k=0.00$ mm																
SHELL: [00568-00107-00569]AA= PCA					CA=FRQ	$\epsilon_{sm}=0.00000$	$A_e=0.0$ cm ²	$S_m=0$ mm	$W_k=0.00$ mm	CA=QPR	$\epsilon_{sm}=0.00000$	$A_e=0.0$ cm ²				
$S_m=0$ mm $W_k=0.00$ mm																
SHELL: [00567-00108-01429]AA= PCA					CA=FRQ	$\epsilon_{sm}=0.00000$	$A_e=0.0$ cm ²	$S_m=0$ mm	$W_k=0.00$ mm	CA=QPR	$\epsilon_{sm}=0.00000$	$A_e=0.0$ cm ²				
$S_m=0$ mm $W_k=0.00$ mm																
SHELL: [00567-01429-00107]AA= PCA					CA=FRQ	$\epsilon_{sm}=0.00000$	$A_e=0.0$ cm ²	$S_m=0$ mm	$W_k=0.00$ mm	CA=QPR	$\epsilon_{sm}=0.00000$	$A_e=0.0$ cm ²				
$S_m=0$ mm $W_k=0.00$ mm																
SHELL: [00575-00104-00103]AA= PCA					CA=FRQ	$\epsilon_{sm}=0.00000$	$A_e=0.0$ cm ²	$S_m=0$ mm	$W_k=0.00$ mm	CA=QPR	$\epsilon_{sm}=0.00000$	$A_e=0.0$ cm ²				
$S_m=0$ mm $W_k=0.00$ mm																
SHELL: [00450-00451-00687]AA= PCA					CA=FRQ	$\epsilon_{sm}=0.00000$	$A_e=0.0$ cm ²	$S_m=0$ mm	$W_k=0.00$ mm	CA=QPR	$\epsilon_{sm}=0.00000$	$A_e=0.0$ cm ²				
$S_m=0$ mm $W_k=0.00$ mm																
SHELL: [00571-00105-00572]AA= PCA					CA=FRQ	$\epsilon_{sm}=0.00000$	$A_e=0.0$ cm ²	$S_m=0$ mm	$W_k=0.00$ mm	CA=QPR	$\epsilon_{sm}=0.00000$	$A_e=0.0$ cm ²				
$S_m=0$ mm $W_k=0.00$ mm																
SHELL: [00571-00106-00105]AA= PCA					CA=FRQ	$\epsilon_{sm}=0.00000$	$A_e=0.0$ cm ²	$S_m=0$ mm	$W_k=0.00$ mm	CA=QPR	$\epsilon_{sm}=0.00000$	$A_e=0.0$ cm ²				
$S_m=0$ mm $W_k=0.00$ mm																
SHELL: [00574-00573-00104]AA= PCA					CA=FRQ	$\epsilon_{sm}=0.00000$	$A_e=0.0$ cm ²	$S_m=0$ mm	$W_k=0.00$ mm	CA=QPR	$\epsilon_{sm}=0.00000$	$A_e=0.0$ cm ²				
$S_m=0$ mm $W_k=0.00$ mm																
SHELL: [00579-00578-00102]AA= PCA					CA=FRQ	$\epsilon_{sm}=0.00000$	$A_e=0.0$ cm ²	$S_m=0$ mm	$W_k=0.00$ mm	CA=QPR	$\epsilon_{sm}=0.00000$	$A_e=0.0$ cm ²				
$S_m=0$ mm $W_k=0.00$ mm																
SHELL: [00579-00102-00101]AA= PCA					CA=FRQ	$\epsilon_{sm}=0.00000$	$A_e=0.0$ cm ²	$S_m=0$ mm	$W_k=0.00$ mm	CA=QPR	$\epsilon_{sm}=0.00000$	$A_e=0.0$ cm ²				
$S_m=0$ mm $W_k=0.00$ mm																
SHELL: [00577-00103-01449]AA= PCA					CA=FRQ	$\epsilon_{sm}=0.00000$	$A_e=0.0$ cm ²	$S_m=0$ mm	$W_k=0.00$ mm	CA=QPR	$\epsilon_{sm}=0.00000$	$A_e=0.0$ cm ²				

D	Nod o	σ ct	σ cc	σ at	Nod o	σ ct	σ cc	σ at	Nod o	σ ct	σ cc	σ at	Nod o	σ ct	σ cc	σ at
		[N/mm ²]	[N/mm ²]	[N/mm ²]		[N/mm ²]	[N/mm ²]	[N/mm ²]		[N/mm ²]	[N/mm ²]	[N/mm ²]		[N/mm ²]	[N/mm ²]	[N/mm ²]
SHELL: [00565-00109-00108]AA= PCA					CA=FRQ	$\epsilon_{sm}=0.00000$	$A_e=0.0$ cm ²	$S_m=0$ mm	$W_k=0.00$ mm	CA=QPR	$\epsilon_{sm}=0.00000$	$A_e=0.0$ cm ²				
$S_m=0$ mm $W_k=0.00$ mm																
SHELL: [00565-00564-00109]AA= PCA					CA=FRQ	$\epsilon_{sm}=0.00000$	$A_e=0.0$ cm ²	$S_m=0$ mm	$W_k=0.00$ mm	CA=QPR	$\epsilon_{sm}=0.00000$	$A_e=0.0$ cm ²				
$S_m=0$ mm $W_k=0.00$ mm																
SHELL: [00584-00583-00100]AA= PCA					CA=FRQ	$\epsilon_{sm}=0.00000$	$A_e=0.0$ cm ²	$S_m=0$ mm	$W_k=0.00$ mm	CA=QPR	$\epsilon_{sm}=0.00000$	$A_e=0.0$ cm ²				
$S_m=0$ mm $W_k=0.00$ mm																
SHELL: [00566-00108-00567]AA= PCA					CA=FRQ	$\epsilon_{sm}=0.00000$	$A_e=0.0$ cm ²	$S_m=0$ mm	$W_k=0.00$ mm	CA=QPR	$\epsilon_{sm}=0.00000$	$A_e=0.0$ cm ²				
$S_m=0$ mm $W_k=0.00$ mm																
SHELL: [00561-00111-00110]AA= PCA					CA=FRQ	$\epsilon_{sm}=0.00000$	$A_e=0.0$ cm ²	$S_m=0$ mm	$W_k=0.00$ mm	CA=QPR	$\epsilon_{sm}=0.00000$	$A_e=0.0$ cm ²				
$S_m=0$ mm $W_k=0.00$ mm																
SHELL: [00561-00560-00111]AA= PCA					CA=FRQ	$\epsilon_{sm}=0.00000$	$A_e=0.0$ cm ²	$S_m=0$ mm	$W_k=0.00$ mm	CA=QPR	$\epsilon_{sm}=0.00000$	$A_e=0.0$ cm ²				
$S_m=0$ mm $W_k=0.00$ mm																
SHELL: [00584-00100-00099]AA= PCA					CA=FRQ	$\epsilon_{sm}=0.00000$	$A_e=0.0$ cm ²	$S_m=0$ mm	$W_k=0.00$ mm	CA=QPR	$\epsilon_{sm}=0.00000$	$A_e=0.0$ cm ²				
$S_m=0$ mm $W_k=0.00$ mm																
SHELL: [00563-01419-00109]AA= PCA					CA=FRQ	$\epsilon_{sm}=0.00000$	$A_e=0.0$ cm ²	$S_m=0$ mm	$W_k=0.00$ mm	CA=QPR	$\epsilon_{sm}=0.00000$	$A_e=0.0$ cm ²				
$S_m=0$ mm $W_k=0.00$ mm																
SHELL: [01508-00701-00700]AA= PCA					CA=FRQ	$\epsilon_{sm}=0.00000$	$A_e=0.0$ cm ²	$S_m=0$ mm	$W_k=0.00$ mm	CA=QPR	$\epsilon_{sm}=0.00000$	$A_e=0.0$ cm ²				
$S_m=0$ mm $W_k=0.00$ mm																
SHELL: [00588-00097-00589]AA= PCA					CA=FRQ	$\epsilon_{sm}=0.00000$	$A_e=0.0$ cm ²	$S_m=0$ mm	$W_k=0.00$ mm	CA=QPR	$\epsilon_{sm}=0.00000$	$A_e=0.0$ cm ²				
$S_m=0$ mm $W_k=0.00$ mm																
SHELL: [00588-01469-00097]AA= PCA					CA=FRQ	$\epsilon_{sm}=0.00000$	$A_e=0.0$ cm ²	$S_m=0$ mm	$W_k=0.00$ mm	CA=QPR	$\epsilon_{sm}=0.00000$	$A_e=0.0$ cm ²				
$S_m=0$ mm $W_k=0.00$ mm																
SHELL: [00587-00098-01469]AA= PCA					CA=FRQ	$\epsilon_{sm}=0.00000$	$A_e=0.0$ cm ²	$S_m=0$ mm	$W_k=0.00$ mm	CA=QPR	$\epsilon_{sm}=0.00000$	$A_e=0.0$ cm ²				
$S_m=0$ mm $W_k=0.00$ mm																
SHELL: [00587-01469-00588]AA= PCA					CA=FRQ	$\epsilon_{sm}=0.00000$	$A_e=0.0$ cm ²	$S_m=0$ mm	$W_k=0.00$ mm	CA=QPR	$\epsilon_{sm}=0.00000$	$A_e=0.0$ cm<				

D	Nod o	σ ct	σ cc	σ at	Nod o	σ ct	σ cc	σ at	Nod o	σ ct	σ cc	σ at	Nod o	σ ct	σ cc	σ at
		[N/mm ²]	[N/mm ²]	[N/mm ²]		[N/mm ²]	[N/mm ²]	[N/mm ²]		[N/mm ²]	[N/mm ²]	[N/mm ²]		[N/mm ²]	[N/mm ²]	[N/mm ²]
SHELL: [00459-00460-00734]AA= PCA					CA=FRQ	ε _{sm} =0.00000	A _e =0.0 cm ²	S _m =0 mm	W _k =0.00 mm	CA=QPR	ε _{sm} =0.00000	A _e =0.0 cm ²				
S _m =0 mm W _k =0.00 mm																
SHELL: [00701-00702-00435]AA= PCA					CA=FRQ	ε _{sm} =0.00000	A _e =0.0 cm ²	S _m =0 mm	W _k =0.00 mm	CA=QPR	ε _{sm} =0.00000	A _e =0.0 cm ²				
S _m =0 mm W _k =0.00 mm																
SHELL: [00059-00488-00741]AA= PCA					CA=FRQ	ε _{sm} =0.00000	A _e =0.0 cm ²	S _m =0 mm	W _k =0.00 mm	CA=QPR	ε _{sm} =0.00000	A _e =0.0 cm ²				
S _m =0 mm W _k =0.00 mm																
SHELL: [00654-00741-00655]AA= PCA					CA=FRQ	ε _{sm} =0.00000	A _e =0.0 cm ²	S _m =0 mm	W _k =0.00 mm	CA=QPR	ε _{sm} =0.00000	A _e =0.0 cm ²				
S _m =0 mm W _k =0.00 mm																
SHELL: [00654-00059-00741]AA= PCA					CA=FRQ	ε _{sm} =0.00000	A _e =0.0 cm ²	S _m =0 mm	W _k =0.00 mm	CA=QPR	ε _{sm} =0.00000	A _e =0.0 cm ²				
S _m =0 mm W _k =0.00 mm																
SHELL: [00486-00487-00060]AA= PCA					CA=FRQ	ε _{sm} =0.00000	A _e =0.0 cm ²	S _m =0 mm	W _k =0.00 mm	CA=QPR	ε _{sm} =0.00000	A _e =0.0 cm ²				
S _m =0 mm W _k =0.00 mm																
SHELL: [00740-00059-00654]AA= PCA					CA=FRQ	ε _{sm} =0.00000	A _e =0.0 cm ²	S _m =0 mm	W _k =0.00 mm	CA=QPR	ε _{sm} =0.00000	A _e =0.0 cm ²				
S _m =0 mm W _k =0.00 mm																
SHELL: [00455-00724-00723]AA= PCA					CA=FRQ	ε _{sm} =0.00000	A _e =0.0 cm ²	S _m =0 mm	W _k =0.00 mm	CA=QPR	ε _{sm} =0.00000	A _e =0.0 cm ²				
S _m =0 mm W _k =0.00 mm																
SHELL: [00455-00456-00724]AA= PCA					CA=FRQ	ε _{sm} =0.00000	A _e =0.0 cm ²	S _m =0 mm	W _k =0.00 mm	CA=QPR	ε _{sm} =0.00000	A _e =0.0 cm ²				
S _m =0 mm W _k =0.00 mm																
SHELL: [01508-01507-00701]AA= PCA					CA=FRQ	ε _{sm} =0.00000	A _e =0.0 cm ²	S _m =0 mm	W _k =0.00 mm	CA=QPR	ε _{sm} =0.00000	A _e =0.0 cm ²				
S _m =0 mm W _k =0.00 mm																
SHELL: [00595-00594-00093]AA= PCA					CA=FRQ	ε _{sm} =0.00000	A _e =0.0 cm ²	S _m =0 mm	W _k =0.00 mm	CA=QPR	ε _{sm} =0.00000	A _e =0.0 cm ²				
S _m =0 mm W _k =0.00 mm																
SHELL: [00435-00702-00434]AA= PCA					CA=FRQ	ε _{sm} =0.00000	A _e =0.0 cm ²	S _m =0 mm	W _k =0.00 mm	CA=QPR	ε _{sm} =0.00000	A _e =0.0 cm ²				
S _m =0 mm W _k =0.00 mm																
SHELL: [00093-00594-00094]AA= PCA					CA=FRQ	ε _{sm} =0.00000	A _e =0.0 cm ²	S _m =0 mm	W _k =0.00 mm	CA=QPR	ε _{sm} =0.00000	A _e =0.0 cm ²				
S _m =0 mm W _k =0.00 mm																
SHELL: [00456-00725-00724]AA= PCA		</														

D	Nod o	σ ct	σ cc	σ at	Nod o	σ ct	σ cc	σ at	Nod o	σ ct	σ cc	σ at	Nod o	σ ct	σ cc	σ at
		[N/mm ²]	[N/mm ²]	[N/mm ²]		[N/mm ²]	[N/mm ²]	[N/mm ²]		[N/mm ²]	[N/mm ²]	[N/mm ²]		[N/mm ²]	[N/mm ²]	[N/mm ²]
SHELL: [00485-00486-00742]AA= PCA					CA=FRQ	$\epsilon_{sm}=0.00000$	$A_e=0.0\text{ cm}^2$	$S_m=0\text{ mm}$	$W_k=0.00\text{ mm}$	CA=QPR	$\epsilon_{sm}=0.00000$	$A_e=0.0\text{ cm}^2$				
$S_m=0\text{ mm}$ $W_k=0.00\text{ mm}$																
SHELL: [01498-01487-01497]AA= PCA					CA=FRQ	$\epsilon_{sm}=0.00000$	$A_e=0.0\text{ cm}^2$	$S_m=0\text{ mm}$	$W_k=0.00\text{ mm}$	CA=QPR	$\epsilon_{sm}=0.00000$	$A_e=0.0\text{ cm}^2$				
$S_m=0\text{ mm}$ $W_k=0.00\text{ mm}$																
SHELL: [00458-00735-00083]AA= PCA					CA=FRQ	$\epsilon_{sm}=0.00000$	$A_e=0.0\text{ cm}^2$	$S_m=0\text{ mm}$	$W_k=0.00\text{ mm}$	CA=QPR	$\epsilon_{sm}=0.00000$	$A_e=0.0\text{ cm}^2$				
$S_m=0\text{ mm}$ $W_k=0.00\text{ mm}$																
SHELL: [00091-00598-00092]AA= PCA					CA=FRQ	$\epsilon_{sm}=0.00000$	$A_e=0.0\text{ cm}^2$	$S_m=0\text{ mm}$	$W_k=0.00\text{ mm}$	CA=QPR	$\epsilon_{sm}=0.00000$	$A_e=0.0\text{ cm}^2$				
$S_m=0\text{ mm}$ $W_k=0.00\text{ mm}$																
SHELL: [00597-00596-00092]AA= PCA					CA=FRQ	$\epsilon_{sm}=0.00000$	$A_e=0.0\text{ cm}^2$	$S_m=0\text{ mm}$	$W_k=0.00\text{ mm}$	CA=QPR	$\epsilon_{sm}=0.00000$	$A_e=0.0\text{ cm}^2$				
$S_m=0\text{ mm}$ $W_k=0.00\text{ mm}$																
SHELL: [01498-01497-01508]AA= PCA					CA=FRQ	$\epsilon_{sm}=0.00000$	$A_e=0.0\text{ cm}^2$	$S_m=0\text{ mm}$	$W_k=0.00\text{ mm}$	CA=QPR	$\epsilon_{sm}=0.00000$	$A_e=0.0\text{ cm}^2$				
$S_m=0\text{ mm}$ $W_k=0.00\text{ mm}$																
SHELL: [00646-00736-00647]AA= PCA					CA=FRQ	$\epsilon_{sm}=0.00000$	$A_e=0.0\text{ cm}^2$	$S_m=0\text{ mm}$	$W_k=0.00\text{ mm}$	CA=QPR	$\epsilon_{sm}=0.00000$	$A_e=0.0\text{ cm}^2$				
$S_m=0\text{ mm}$ $W_k=0.00\text{ mm}$																
SHELL: [00454-00723-01582]AA= PCA					CA=FRQ	$\epsilon_{sm}=0.00000$	$A_e=0.0\text{ cm}^2$	$S_m=0\text{ mm}$	$W_k=0.00\text{ mm}$	CA=QPR	$\epsilon_{sm}=0.00000$	$A_e=0.0\text{ cm}^2$				
$S_m=0\text{ mm}$ $W_k=0.00\text{ mm}$																
SHELL: [00649-00061-00650]AA= PCA					CA=FRQ	$\epsilon_{sm}=0.00000$	$A_e=0.0\text{ cm}^2$	$S_m=0\text{ mm}$	$W_k=0.00\text{ mm}$	CA=QPR	$\epsilon_{sm}=0.00000$	$A_e=0.0\text{ cm}^2$				
$S_m=0\text{ mm}$ $W_k=0.00\text{ mm}$																
SHELL: [00091-00092-01487]AA= PCA					CA=FRQ	$\epsilon_{sm}=0.00000$	$A_e=0.0\text{ cm}^2$	$S_m=0\text{ mm}$	$W_k=0.00\text{ mm}$	CA=QPR	$\epsilon_{sm}=0.00000$	$A_e=0.0\text{ cm}^2$				
$S_m=0\text{ mm}$ $W_k=0.00\text{ mm}$																
SHELL: [01511-01500-01510]AA= PCA					CA=FRQ	$\epsilon_{sm}=0.00000$	$A_e=0.0\text{ cm}^2$	$S_m=0\text{ mm}$	$W_k=0.00\text{ mm}$	CA=QPR	$\epsilon_{sm}=0.00000$	$A_e=0.0\text{ cm}^2$				
$S_m=0\text{ mm}$ $W_k=0.00\text{ mm}$																
SHELL: [00643-00064-00644]AA= PCA					CA=FRQ	$\epsilon_{sm}=0.00000$	$A_e=0.0\text{ cm}^2$	$S_m=0\text{ mm}$	$W_k=0.00\text{ mm}$	CA=QPR	$\epsilon_{sm}=0.00000$	$A_e=0.0\text{ cm}^2$				
$S_m=0\text{ mm}$ $W_k=0.00\text{ mm}$																
SHELL: [00698-01509-00699]AA= PCA					CA=FRQ	$\epsilon_{sm}=0.00000$	$A_e=0.0\text{ cm$									

D	Nod o	σ_{ct}	σ_{cc}	σ_{at}	Nod o	σ_{ct}	σ_{cc}	σ_{at}	Nod o	σ_{ct}	σ_{cc}	σ_{at}	Nod o	σ_{ct}	σ_{cc}	σ_{at}
		[N/mm ²]	[N/mm ²]	[N/mm ²]		[N/mm ²]	[N/mm ²]	[N/mm ²]		[N/mm ²]	[N/mm ²]	[N/mm ²]		[N/mm ²]	[N/mm ²]	[N/mm ²]
SHELL: [00696-00697-00440]AA= PCA					CA=FRQ	$\epsilon_{sm}=0.00000$	$A_e=0.0\text{ cm}^2$	$S_m=0\text{ mm}$	$W_k=0.00\text{ mm}$	CA=QPR	$\epsilon_{sm}=0.00000$	$A_e=0.0\text{ cm}^2$				
SHELL: [01476-00084-00085]AA= PCA					CA=FRQ	$\epsilon_{sm}=0.00000$	$A_e=0.0\text{ cm}^2$	$S_m=0\text{ mm}$	$W_k=0.00\text{ mm}$	CA=QPR	$\epsilon_{sm}=0.00000$	$A_e=0.0\text{ cm}^2$				
SHELL: [00089-00603-00602]AA= PCA					CA=FRQ	$\epsilon_{sm}=0.00000$	$A_e=0.0\text{ cm}^2$	$S_m=0\text{ mm}$	$W_k=0.00\text{ mm}$	CA=QPR	$\epsilon_{sm}=0.00000$	$A_e=0.0\text{ cm}^2$				
SHELL: [00063-00736-00646]AA= PCA					CA=FRQ	$\epsilon_{sm}=0.00000$	$A_e=0.0\text{ cm}^2$	$S_m=0\text{ mm}$	$W_k=0.00\text{ mm}$	CA=QPR	$\epsilon_{sm}=0.00000$	$A_e=0.0\text{ cm}^2$				
SHELL: [00090-00091-01488]AA= PCA					CA=FRQ	$\epsilon_{sm}=0.00000$	$A_e=0.0\text{ cm}^2$	$S_m=0\text{ mm}$	$W_k=0.00\text{ mm}$	CA=QPR	$\epsilon_{sm}=0.00000$	$A_e=0.0\text{ cm}^2$				
SHELL: [00090-00600-00091]AA= PCA					CA=FRQ	$\epsilon_{sm}=0.00000$	$A_e=0.0\text{ cm}^2$	$S_m=0\text{ mm}$	$W_k=0.00\text{ mm}$	CA=QPR	$\epsilon_{sm}=0.00000$	$A_e=0.0\text{ cm}^2$				
SHELL: [00063-00483-00736]AA= PCA					CA=FRQ	$\epsilon_{sm}=0.00000$	$A_e=0.0\text{ cm}^2$	$S_m=0\text{ mm}$	$W_k=0.00\text{ mm}$	CA=QPR	$\epsilon_{sm}=0.00000$	$A_e=0.0\text{ cm}^2$				
SHELL: [00601-00600-00090]AA= PCA					CA=FRQ	$\epsilon_{sm}=0.00000$	$A_e=0.0\text{ cm}^2$	$S_m=0\text{ mm}$	$W_k=0.00\text{ mm}$	CA=QPR	$\epsilon_{sm}=0.00000$	$A_e=0.0\text{ cm}^2$				
SHELL: [00645-00063-00646]AA= PCA					CA=FRQ	$\epsilon_{sm}=0.00000$	$A_e=0.0\text{ cm}^2$	$S_m=0\text{ mm}$	$W_k=0.00\text{ mm}$	CA=QPR	$\epsilon_{sm}=0.00000$	$A_e=0.0\text{ cm}^2$				
SHELL: [00440-00697-00439]AA= PCA					CA=FRQ	$\epsilon_{sm}=0.00000$	$A_e=0.0\text{ cm}^2$	$S_m=0\text{ mm}$	$W_k=0.00\text{ mm}$	CA=QPR	$\epsilon_{sm}=0.00000$	$A_e=0.0\text{ cm}^2$				
SHELL: [00482-00063-00738]AA= PCA					CA=FRQ	$\epsilon_{sm}=0.00000$	$A_e=0.0\text{ cm}^2$	$S_m=0\text{ mm}$	$W_k=0.00\text{ mm}$	CA=QPR	$\epsilon_{sm}=0.00000$	$A_e=0.0\text{ cm}^2$				
SHELL: [00602-00601-00090]AA= PCA					CA=FRQ	$\epsilon_{sm}=0.00000$	$A_e=0.0\text{ cm}^2$	$S_m=0\text{ mm}$	$W_k=0.00\text{ mm}$	CA=QPR	$\epsilon_{sm}=0.00000$	$A_e=0.0\text{ cm}^2$				
SHELL: [00715-01412-00716]AA= PCA					CA=FRQ	$\epsilon_{sm}=0.00000$	$A_e=0.0\text{ cm}^2$	$S_m=0\text{ mm}$	$W_k=0.00\text{ mm}$	CA=QPR	$\epsilon_{sm}=0.00000$	$A_e=0.0\text{ cm}^2$				
SHELL: [00644-00738-00645]AA= PCA					CA=FRQ	$\epsilon_{sm}=0.00000$	$A_e=0.0\text{ cm}^2$	$S_m=0\text{ mm}$	$W_k=0.00\text{ mm}$	CA=QPR	$\epsilon_{sm}=0.00000$	$A_e=0.0\text{ cm}^2$				
SHELL: [01476-00085-01475]AA= PCA					CA=FRQ	$\epsilon_{sm}=0.00000$	$A_e=0.0\text{ cm}^2$	$S_m=0\text{ mm}$	$W_k=0.00\text{ mm}$	CA=QPR	$\epsilon_{sm}=0.00000$	$A_e=0.0\text{ cm}^2$				
SHELL: [00482-00483-00063]AA= PCA					CA=FRQ	$\epsilon_{sm}=0.00000$	$A_e=0.0\text{ cm}^2$	$S_m=0\text{ mm}$	$W_k=0.00\text{ mm}$	CA=QPR	$\epsilon_{sm}=0.00000$	$A_e=0.0\text{ cm}^2$				
SHELL: [00738-00063-00645]AA= PCA					CA=FRQ	$\epsilon_{sm}=0.00000$	$A_e=0.0\text{ cm}^2$	$S_m=0\text{ mm}$	$W_k=0.00\text{ mm}$	CA=QPR	$\epsilon_{sm}=0.00000$	$A_e=0.0\text{ cm}^2$				
SHELL: [00442-00695-00441]AA= PCA					CA=FRQ	$\epsilon_{sm}=0.00000$	$A_e=0.0\text{ cm}^2$	$S_m=0\text{ mm}$	$W_k=0.00\text{ mm}$	CA=QPR	$\epsilon_{sm}=0.00000$	$A_e=0.0\text{ cm}^2$				
SHELL: [00064-00482-00738]AA= PCA					CA=FRQ	$\epsilon_{sm}=0.00000$	$A_e=0.0\text{ cm}^2$ </									

D	Nod o	σ_{ct}	σ_{cc}	σ_{at}	Nod o	σ_{ct}	σ_{cc}	σ_{at}	Nod o	σ_{ct}	σ_{cc}	σ_{at}	Nod o	σ_{ct}	σ_{cc}	σ_{at}
		[N/mm ²]	[N/mm ²]	[N/mm ²]		[N/mm ²]	[N/mm ²]	[N/mm ²]		[N/mm ²]	[N/mm ²]	[N/mm ²]		[N/mm ²]	[N/mm ²]	[N/mm ²]
SHELL: [01420-00070-00633]AA= PCA					CA=FRQ	$\epsilon_{sm}=0.00000$	$A_e=0.0\text{ cm}^2$	$S_m=0\text{ mm}$	$W_k=0.00\text{ mm}$	CA=QPR	$\epsilon_{sm}=0.00000$	$A_e=0.0\text{ cm}^2$				
$S_m=0\text{ mm}$ $W_k=0.00\text{ mm}$																
SHELL: [01461-01455-00081]AA= PCA					CA=FRQ	$\epsilon_{sm}=0.00000$	$A_e=0.0\text{ cm}^2$	$S_m=0\text{ mm}$	$W_k=0.00\text{ mm}$	CA=QPR	$\epsilon_{sm}=0.00000$	$A_e=0.0\text{ cm}^2$				
$S_m=0\text{ mm}$ $W_k=0.00\text{ mm}$																
SHELL: [00604-00603-00089]AA= PCA					CA=FRQ	$\epsilon_{sm}=0.00000$	$A_e=0.0\text{ cm}^2$	$S_m=0\text{ mm}$	$W_k=0.00\text{ mm}$	CA=QPR	$\epsilon_{sm}=0.00000$	$A_e=0.0\text{ cm}^2$				
$S_m=0\text{ mm}$ $W_k=0.00\text{ mm}$																
SHELL: [01511-01510-00696]AA= PCA					CA=FRQ	$\epsilon_{sm}=0.00000$	$A_e=0.0\text{ cm}^2$	$S_m=0\text{ mm}$	$W_k=0.00\text{ mm}$	CA=QPR	$\epsilon_{sm}=0.00000$	$A_e=0.0\text{ cm}^2$				
$S_m=0\text{ mm}$ $W_k=0.00\text{ mm}$																
SHELL: [00739-00064-00643]AA= PCA					CA=FRQ	$\epsilon_{sm}=0.00000$	$A_e=0.0\text{ cm}^2$	$S_m=0\text{ mm}$	$W_k=0.00\text{ mm}$	CA=QPR	$\epsilon_{sm}=0.00000$	$A_e=0.0\text{ cm}^2$				
$S_m=0\text{ mm}$ $W_k=0.00\text{ mm}$																
SHELL: [00739-00481-00064]AA= PCA					CA=FRQ	$\epsilon_{sm}=0.00000$	$A_e=0.0\text{ cm}^2$	$S_m=0\text{ mm}$	$W_k=0.00\text{ mm}$	CA=QPR	$\epsilon_{sm}=0.00000$	$A_e=0.0\text{ cm}^2$				
$S_m=0\text{ mm}$ $W_k=0.00\text{ mm}$																
SHELL: [00695-00696-00441]AA= PCA					CA=FRQ	$\epsilon_{sm}=0.00000$	$A_e=0.0\text{ cm}^2$	$S_m=0\text{ mm}$	$W_k=0.00\text{ mm}$	CA=QPR	$\epsilon_{sm}=0.00000$	$A_e=0.0\text{ cm}^2$				
$S_m=0\text{ mm}$ $W_k=0.00\text{ mm}$																
SHELL: [00087-00605-01603]AA= PCA					CA=FRQ	$\epsilon_{sm}=0.00000$	$A_e=0.0\text{ cm}^2$	$S_m=0\text{ mm}$	$W_k=0.00\text{ mm}$	CA=QPR	$\epsilon_{sm}=0.00000$	$A_e=0.0\text{ cm}^2$				
$S_m=0\text{ mm}$ $W_k=0.00\text{ mm}$																
SHELL: [01420-00633-00071]AA= PCA					CA=FRQ	$\epsilon_{sm}=0.00000$	$A_e=0.0\text{ cm}^2$	$S_m=0\text{ mm}$	$W_k=0.00\text{ mm}$	CA=QPR	$\epsilon_{sm}=0.00000$	$A_e=0.0\text{ cm}^2$				
$S_m=0\text{ mm}$ $W_k=0.00\text{ mm}$																
SHELL: [01604-00739-00643]AA= PCA					CA=FRQ	$\epsilon_{sm}=0.00000$	$A_e=0.0\text{ cm}^2$	$S_m=0\text{ mm}$	$W_k=0.00\text{ mm}$	CA=QPR	$\epsilon_{sm}=0.00000$	$A_e=0.0\text{ cm}^2$				
$S_m=0\text{ mm}$ $W_k=0.00\text{ mm}$																
SHELL: [00087-00086-00606]AA= PCA					CA=FRQ	$\epsilon_{sm}=0.00000$	$A_e=0.0\text{ cm}^2$	$S_m=0\text{ mm}$	$W_k=0.00\text{ mm}$	CA=QPR	$\epsilon_{sm}=0.00000$	$A_e=0.0\text{ cm}^2$				
$S_m=0\text{ mm}$ $W_k=0.00\text{ mm}$																
SHELL: [00087-00606-00605]AA= PCA					CA=FRQ	$\epsilon_{sm}=0.00000$	$A_e=0.0\text{ cm}^2$	$S_m=0\text{ mm}$	$W_k=0.00\text{ mm}$	CA=QPR	$\epsilon_{sm}=0.00000$	$A_e=0.0\text{ cm}^2$				
$S_m=0\text{ mm}$ $W_k=0.00\text{ mm}$																
SHELL: [00088-00604-00089]AA= PCA					CA=FRQ	$\epsilon_{sm}=0.00000$	$A_e=0.0\text{ cm}^2$									

[illegible]

D	Nod o	σ ct	σ cc	σ at	Nod o	σ ct	σ cc	σ at	Nod o	σ ct	σ cc	σ at	Nod o	σ ct	σ cc	σ at
		[N/mm ²]	[N/mm ²]	[N/mm ²]		[N/mm ²]	[N/mm ²]	[N/mm ²]		[N/mm ²]	[N/mm ²]	[N/mm ²]		[N/mm ²]	[N/mm ²]	[N/mm ²]
SHELL: [01470-00609-00608]AA= PCA					CA=FRQ	$\epsilon_{sm}=0.00000$	$A_e=0.0$ cm ²	$S_m=0$ mm	$W_k=0.00$ mm	CA=QPR	$\epsilon_{sm}=0.00000$	$A_e=0.0$ cm ²				
$S_m=0$ mm $W_k=0.00$ mm																
SHELL: [01480-01603-00088]AA= PCA					CA=FRQ	$\epsilon_{sm}=0.00000$	$A_e=0.0$ cm ²	$S_m=0$ mm	$W_k=0.00$ mm	CA=QPR	$\epsilon_{sm}=0.00000$	$A_e=0.0$ cm ²				
$S_m=0$ mm $W_k=0.00$ mm																
SHELL: [01440-00075-00623]AA= PCA					CA=FRQ	$\epsilon_{sm}=0.00000$	$A_e=0.0$ cm ²	$S_m=0$ mm	$W_k=0.00$ mm	CA=QPR	$\epsilon_{sm}=0.00000$	$A_e=0.0$ cm ²				
$S_m=0$ mm $W_k=0.00$ mm																
SHELL: [01410-00068-00637]AA= PCA					CA=FRQ	$\epsilon_{sm}=0.00000$	$A_e=0.0$ cm ²	$S_m=0$ mm	$W_k=0.00$ mm	CA=QPR	$\epsilon_{sm}=0.00000$	$A_e=0.0$ cm ²				
$S_m=0$ mm $W_k=0.00$ mm																
SHELL: [01430-00073-00627]AA= PCA					CA=FRQ	$\epsilon_{sm}=0.00000$	$A_e=0.0$ cm ²	$S_m=0$ mm	$W_k=0.00$ mm	CA=QPR	$\epsilon_{sm}=0.00000$	$A_e=0.0$ cm ²				
$S_m=0$ mm $W_k=0.00$ mm																
SHELL: [01430-00627-00074]AA= PCA					CA=FRQ	$\epsilon_{sm}=0.00000$	$A_e=0.0$ cm ²	$S_m=0$ mm	$W_k=0.00$ mm	CA=QPR	$\epsilon_{sm}=0.00000$	$A_e=0.0$ cm ²				
$S_m=0$ mm $W_k=0.00$ mm																
SHELL: [01430-00629-00073]AA= PCA					CA=FRQ	$\epsilon_{sm}=0.00000$	$A_e=0.0$ cm ²	$S_m=0$ mm	$W_k=0.00$ mm	CA=QPR	$\epsilon_{sm}=0.00000$	$A_e=0.0$ cm ²				
$S_m=0$ mm $W_k=0.00$ mm																
SHELL: [01451-01445-01450]AA= PCA					CA=FRQ	$\epsilon_{sm}=0.00000$	$A_e=0.0$ cm ²	$S_m=0$ mm	$W_k=0.00$ mm	CA=QPR	$\epsilon_{sm}=0.00000$	$A_e=0.0$ cm ²				
$S_m=0$ mm $W_k=0.00$ mm																
SHELL: [00081-01455-01460]AA= PCA					CA=FRQ	$\epsilon_{sm}=0.00000$	$A_e=0.0$ cm ²	$S_m=0$ mm	$W_k=0.00$ mm	CA=QPR	$\epsilon_{sm}=0.00000$	$A_e=0.0$ cm ²				
$S_m=0$ mm $W_k=0.00$ mm																
SHELL: [01460-00079-00080]AA= PCA					CA=FRQ	$\epsilon_{sm}=0.00000$	$A_e=0.0$ cm ²	$S_m=0$ mm	$W_k=0.00$ mm	CA=QPR	$\epsilon_{sm}=0.00000$	$A_e=0.0$ cm ²				
$S_m=0$ mm $W_k=0.00$ mm																
SHELL: [00081-01460-01465]AA= PCA					CA=FRQ	$\epsilon_{sm}=0.00000$	$A_e=0.0$ cm ²	$S_m=0$ mm	$W_k=0.00$ mm	CA=QPR	$\epsilon_{sm}=0.00000$	$A_e=0.0$ cm ²				
$S_m=0$ mm $W_k=0.00$ mm																
SHELL: [01501-01500-01511]AA= PCA					CA=FRQ	$\epsilon_{sm}=0.00000$	$A_e=0.0$ cm ²	$S_m=0$ mm	$W_k=0.00$ mm	CA=QPR	$\epsilon_{sm}=0.00000$	$A_e=0.0$ cm ²				
$S_m=0$ mm $W_k=0.00$ mm																
SHELL: [01501-01490-01500]AA= PCA					CA=FRQ	$\epsilon_{sm}=0.00000$	$A_e=0.0$ cm ²	$S_m=0$ mm	$W_k=0.00$ mm	CA=QPR	$\epsilon_{sm}=0.00000$	$A_e=0.0$ cm<				

D	Nod o	σ ct	σ cc	σ at	Nod o	σ ct	σ cc	σ at	Nod o	σ ct	σ cc	σ at	Nod o	σ ct	σ cc	σ at
		[N/mm ²]	[N/mm ²]	[N/mm ²]		[N/mm ²]	[N/mm ²]	[N/mm ²]		[N/mm ²]	[N/mm ²]	[N/mm ²]		[N/mm ²]	[N/mm ²]	[N/mm ²]
SHELL: [01435-00075-01440]AA= PCA					CA=FRQ	$\epsilon_{sm}=0.00000$	$A_e=0.0$ cm ²	$S_m=0$ mm	$W_k=0.00$ mm	CA=QPR	$\epsilon_{sm}=0.00000$	$A_e=0.0$ cm ²				
$S_m=0$ mm $W_k=0.00$ mm																
SHELL: [01435-01430-00074]AA= PCA					CA=FRQ	$\epsilon_{sm}=0.00000$	$A_e=0.0$ cm ²	$S_m=0$ mm	$W_k=0.00$ mm	CA=QPR	$\epsilon_{sm}=0.00000$	$A_e=0.0$ cm ²				
$S_m=0$ mm $W_k=0.00$ mm																
SHELL: [01425-00072-01430]AA= PCA					CA=FRQ	$\epsilon_{sm}=0.00000$	$A_e=0.0$ cm ²	$S_m=0$ mm	$W_k=0.00$ mm	CA=QPR	$\epsilon_{sm}=0.00000$	$A_e=0.0$ cm ²				
$S_m=0$ mm $W_k=0.00$ mm																
SHELL: [00692-01512-00693]AA= PCA					CA=FRQ	$\epsilon_{sm}=0.00000$	$A_e=0.0$ cm ²	$S_m=0$ mm	$W_k=0.00$ mm	CA=QPR	$\epsilon_{sm}=0.00000$	$A_e=0.0$ cm ²				
$S_m=0$ mm $W_k=0.00$ mm																
SHELL: [01405-01400-00067]AA= PCA					CA=FRQ	$\epsilon_{sm}=0.00000$	$A_e=0.0$ cm ²	$S_m=0$ mm	$W_k=0.00$ mm	CA=QPR	$\epsilon_{sm}=0.00000$	$A_e=0.0$ cm ²				
$S_m=0$ mm $W_k=0.00$ mm																
SHELL: [01405-00067-00068]AA= PCA					CA=FRQ	$\epsilon_{sm}=0.00000$	$A_e=0.0$ cm ²	$S_m=0$ mm	$W_k=0.00$ mm	CA=QPR	$\epsilon_{sm}=0.00000$	$A_e=0.0$ cm ²				
$S_m=0$ mm $W_k=0.00$ mm																
SHELL: [01581-00719-01402]AA= PCA					CA=FRQ	$\epsilon_{sm}=0.00000$	$A_e=0.0$ cm ²	$S_m=0$ mm	$W_k=0.00$ mm	CA=QPR	$\epsilon_{sm}=0.00000$	$A_e=0.0$ cm ²				
$S_m=0$ mm $W_k=0.00$ mm																
SHELL: [01512-01501-01511]AA= PCA					CA=FRQ	$\epsilon_{sm}=0.00000$	$A_e=0.0$ cm ²	$S_m=0$ mm	$W_k=0.00$ mm	CA=QPR	$\epsilon_{sm}=0.00000$	$A_e=0.0$ cm ²				
$S_m=0$ mm $W_k=0.00$ mm																
SHELL: [01512-01511-00694]AA= PCA					CA=FRQ	$\epsilon_{sm}=0.00000$	$A_e=0.0$ cm ²	$S_m=0$ mm	$W_k=0.00$ mm	CA=QPR	$\epsilon_{sm}=0.00000$	$A_e=0.0$ cm ²				
$S_m=0$ mm $W_k=0.00$ mm																
SHELL: [01491-01490-01501]AA= PCA					CA=FRQ	$\epsilon_{sm}=0.00000$	$A_e=0.0$ cm ²	$S_m=0$ mm	$W_k=0.00$ mm	CA=QPR	$\epsilon_{sm}=0.00000$	$A_e=0.0$ cm ²				
$S_m=0$ mm $W_k=0.00$ mm																
SHELL: [01491-01480-01490]AA= PCA					CA=FRQ	$\epsilon_{sm}=0.00000$	$A_e=0.0$ cm ²	$S_m=0$ mm	$W_k=0.00$ mm	CA=QPR	$\epsilon_{sm}=0.00000$	$A_e=0.0$ cm ²				
$S_m=0$ mm $W_k=0.00$ mm																
SHELL: [00693-00694-00443]AA= PCA					CA=FRQ	$\epsilon_{sm}=0.00000$	$A_e=0.0$ cm ²	$S_m=0$ mm	$W_k=0.00$ mm	CA=QPR	$\epsilon_{sm}=0.00000$	$A_e=0.0$ cm ²				
$S_m=0$ mm $W_k=0.00$ mm																
SHELL: [00478-00479-00721]AA= PCA					CA=FRQ	$\epsilon_{sm}=0.00000$	$A_e=0.0$ cm ²	$S_m=0$ mm	$W_k=0.00$ mm	CA=QPR	$\epsilon_{sm}=0.00000$	$A_e=0.0$ cm<				

D	Nod o	σ ct	σ cc	σ at	Nod o	σ ct	σ cc	σ at	Nod o	σ ct	σ cc	σ at	Nod o	σ ct	σ cc	σ at
		[N/mm ²]	[N/mm ²]	[N/mm ²]		[N/mm ²]	[N/mm ²]	[N/mm ²]		[N/mm ²]	[N/mm ²]	[N/mm ²]		[N/mm ²]	[N/mm ²]	[N/mm ²]
SHELL: [00477-00478-00720]AA= PCA					CA=FRQ	$\epsilon_{sm}=0.00000$	$A_e=0.0$ cm ²	$S_m=0$ mm	$W_k=0.00$ mm	CA=QPR	$\epsilon_{sm}=0.00000$	$A_e=0.0$ cm ²				
$S_m=0$ mm $W_k=0.00$ mm																
SHELL: [01441-01440-01445]AA= PCA					CA=FRQ	$\epsilon_{sm}=0.00000$	$A_e=0.0$ cm ²	$S_m=0$ mm	$W_k=0.00$ mm	CA=QPR	$\epsilon_{sm}=0.00000$	$A_e=0.0$ cm ²				
$S_m=0$ mm $W_k=0.00$ mm																
SHELL: [01441-01435-01440]AA= PCA					CA=FRQ	$\epsilon_{sm}=0.00000$	$A_e=0.0$ cm ²	$S_m=0$ mm	$W_k=0.00$ mm	CA=QPR	$\epsilon_{sm}=0.00000$	$A_e=0.0$ cm ²				
$S_m=0$ mm $W_k=0.00$ mm																
SHELL: [01426-01425-01431]AA= PCA					CA=FRQ	$\epsilon_{sm}=0.00000$	$A_e=0.0$ cm ²	$S_m=0$ mm	$W_k=0.00$ mm	CA=QPR	$\epsilon_{sm}=0.00000$	$A_e=0.0$ cm ²				
$S_m=0$ mm $W_k=0.00$ mm																
SHELL: [00457-00083-00725]AA= PCA					CA=FRQ	$\epsilon_{sm}=0.00000$	$A_e=0.0$ cm ²	$S_m=0$ mm	$W_k=0.00$ mm	CA=QPR	$\epsilon_{sm}=0.00000$	$A_e=0.0$ cm ²				
$S_m=0$ mm $W_k=0.00$ mm																
SHELL: [00720-00478-00721]AA= PCA					CA=FRQ	$\epsilon_{sm}=0.00000$	$A_e=0.0$ cm ²	$S_m=0$ mm	$W_k=0.00$ mm	CA=QPR	$\epsilon_{sm}=0.00000$	$A_e=0.0$ cm ²				
$S_m=0$ mm $W_k=0.00$ mm																
SHELL: [01456-01461-00082]AA= PCA					CA=FRQ	$\epsilon_{sm}=0.00000$	$A_e=0.0$ cm ²	$S_m=0$ mm	$W_k=0.00$ mm	CA=QPR	$\epsilon_{sm}=0.00000$	$A_e=0.0$ cm ²				
$S_m=0$ mm $W_k=0.00$ mm																
SHELL: [01446-01445-01451]AA= PCA					CA=FRQ	$\epsilon_{sm}=0.00000$	$A_e=0.0$ cm ²	$S_m=0$ mm	$W_k=0.00$ mm	CA=QPR	$\epsilon_{sm}=0.00000$	$A_e=0.0$ cm ²				
$S_m=0$ mm $W_k=0.00$ mm																
SHELL: [00084-01471-00085]AA= PCA					CA=FRQ	$\epsilon_{sm}=0.00000$	$A_e=0.0$ cm ²	$S_m=0$ mm	$W_k=0.00$ mm	CA=QPR	$\epsilon_{sm}=0.00000$	$A_e=0.0$ cm ²				
$S_m=0$ mm $W_k=0.00$ mm																
SHELL: [01426-01421-01425]AA= PCA					CA=FRQ	$\epsilon_{sm}=0.00000$	$A_e=0.0$ cm ²	$S_m=0$ mm	$W_k=0.00$ mm	CA=QPR	$\epsilon_{sm}=0.00000$	$A_e=0.0$ cm ²				
$S_m=0$ mm $W_k=0.00$ mm																
SHELL: [01581-00476-00719]AA= PCA					CA=FRQ	$\epsilon_{sm}=0.00000$	$A_e=0.0$ cm ²	$S_m=0$ mm	$W_k=0.00$ mm	CA=QPR	$\epsilon_{sm}=0.00000$	$A_e=0.0$ cm ²				
$S_m=0$ mm $W_k=0.00$ mm																
SHELL: [00446-00691-00445]AA= PCA					CA=FRQ	$\epsilon_{sm}=0.00000$	$A_e=0.0$ cm ²	$S_m=0$ mm	$W_k=0.00$ mm	CA=QPR	$\epsilon_{sm}=0.00000$	$A_e=0.0$ cm ²				
$S_m=0$ mm $W_k=0.00$ mm																
SHELL: [00730-01436-01442]AA= PCA					CA=FRQ	$\epsilon_{sm}=0.00000$	$A_e=0.0$ cm ²	$S_m=0$ mm	$W_k=0.00$ mm	CA=QPR	$\epsilon_{sm}=0.00000$	$A_e=0.0$ cm<				

D	Nod o	σ ct	σ cc	σ at	Nod o	σ ct	σ cc	σ at	Nod o	σ ct	σ cc	σ at	Nod o	σ ct	σ cc	σ at
		[N/mm ²]	[N/mm ²]	[N/mm ²]		[N/mm ²]	[N/mm ²]	[N/mm ²]		[N/mm ²]	[N/mm ²]	[N/mm ²]		[N/mm ²]	[N/mm ²]	[N/mm ²]
SHELL: [01503-01502-01513]AA= PCA					CA=FRQ	$\epsilon_{sm}=0.00000$	$A_e=0.0\text{ cm}^2$	$S_m=0\text{ mm}$	$W_k=0.00\text{ mm}$	CA=QPR	$\epsilon_{sm}=0.00000$	$A_e=0.0\text{ cm}^2$				
$S_m=0\text{ mm}$ $W_k=0.00\text{ mm}$																
SHELL: [01462-00082-01466]AA= PCA					CA=FRQ	$\epsilon_{sm}=0.00000$	$A_e=0.0\text{ cm}^2$	$S_m=0\text{ mm}$	$W_k=0.00\text{ mm}$	CA=QPR	$\epsilon_{sm}=0.00000$	$A_e=0.0\text{ cm}^2$				
$S_m=0\text{ mm}$ $W_k=0.00\text{ mm}$																
SHELL: [01462-01456-00082]AA= PCA					CA=FRQ	$\epsilon_{sm}=0.00000$	$A_e=0.0\text{ cm}^2$	$S_m=0\text{ mm}$	$W_k=0.00\text{ mm}$	CA=QPR	$\epsilon_{sm}=0.00000$	$A_e=0.0\text{ cm}^2$				
$S_m=0\text{ mm}$ $W_k=0.00\text{ mm}$																
SHELL: [01472-01471-00084]AA= PCA					CA=FRQ	$\epsilon_{sm}=0.00000$	$A_e=0.0\text{ cm}^2$	$S_m=0\text{ mm}$	$W_k=0.00\text{ mm}$	CA=QPR	$\epsilon_{sm}=0.00000$	$A_e=0.0\text{ cm}^2$				
$S_m=0\text{ mm}$ $W_k=0.00\text{ mm}$																
SHELL: [01472-01466-01471]AA= PCA					CA=FRQ	$\epsilon_{sm}=0.00000$	$A_e=0.0\text{ cm}^2$	$S_m=0\text{ mm}$	$W_k=0.00\text{ mm}$	CA=QPR	$\epsilon_{sm}=0.00000$	$A_e=0.0\text{ cm}^2$				
$S_m=0\text{ mm}$ $W_k=0.00\text{ mm}$																
SHELL: [00732-01446-01596]AA= PCA					CA=FRQ	$\epsilon_{sm}=0.00000$	$A_e=0.0\text{ cm}^2$	$S_m=0\text{ mm}$	$W_k=0.00\text{ mm}$	CA=QPR	$\epsilon_{sm}=0.00000$	$A_e=0.0\text{ cm}^2$				
$S_m=0\text{ mm}$ $W_k=0.00\text{ mm}$																
SHELL: [01503-01492-01502]AA= PCA					CA=FRQ	$\epsilon_{sm}=0.00000$	$A_e=0.0\text{ cm}^2$	$S_m=0\text{ mm}$	$W_k=0.00\text{ mm}$	CA=QPR	$\epsilon_{sm}=0.00000$	$A_e=0.0\text{ cm}^2$				
$S_m=0\text{ mm}$ $W_k=0.00\text{ mm}$																
SHELL: [00451-00688-00687]AA= PCA					CA=FRQ	$\epsilon_{sm}=0.00000$	$A_e=0.0\text{ cm}^2$	$S_m=0\text{ mm}$	$W_k=0.00\text{ mm}$	CA=QPR	$\epsilon_{sm}=0.00000$	$A_e=0.0\text{ cm}^2$				
$S_m=0\text{ mm}$ $W_k=0.00\text{ mm}$																
SHELL: [01412-01411-01416]AA= PCA					CA=FRQ	$\epsilon_{sm}=0.00000$	$A_e=0.0\text{ cm}^2$	$S_m=0\text{ mm}$	$W_k=0.00\text{ mm}$	CA=QPR	$\epsilon_{sm}=0.00000$	$A_e=0.0\text{ cm}^2$				
$S_m=0\text{ mm}$ $W_k=0.00\text{ mm}$																
SHELL: [01412-01406-01411]AA= PCA					CA=FRQ	$\epsilon_{sm}=0.00000$	$A_e=0.0\text{ cm}^2$	$S_m=0\text{ mm}$	$W_k=0.00\text{ mm}$	CA=QPR	$\epsilon_{sm}=0.00000$	$A_e=0.0\text{ cm}^2$				
$S_m=0\text{ mm}$ $W_k=0.00\text{ mm}$																
SHELL: [00461-00732-01596]AA= PCA					CA=FRQ	$\epsilon_{sm}=0.00000$	$A_e=0.0\text{ cm}^2$	$S_m=0\text{ mm}$	$W_k=0.00\text{ mm}$	CA=QPR	$\epsilon_{sm}=0.00000$	$A_e=0.0\text{ cm}^2$				
$S_m=0\text{ mm}$ $W_k=0.00\text{ mm}$																
SHELL: [00713-01406-00714]AA= PCA					CA=FRQ	$\epsilon_{sm}=0.00000$	$A_e=0.0\text{ cm}^2$	$S_m=0\text{ mm}$	$W_k=0.00\text{ mm}$	CA=QPR	$\epsilon_{sm}=0.00000$	$A_e=0.0\text{ cm}^2$				
$S_m=0\text{ mm}$ $W_k=0.00\text{ mm}$																
SHELL: [01402-01401-01406]AA= PCA					CA=FRQ	$\epsilon_{sm}=0.00000$	$A_e=0.0\text{ cm$									

Platee - Verifiche pressoflessione retta allo stato limite di esercizio

D	Nod o	σ ct	σ cc	σ at	Nod o	σ ct	σ cc	σ at	Nod o	σ ct	σ cc	σ at	Nod o	σ ct	σ cc	σ at
		[N/mm ²]	[N/mm ²]	[N/mm ²]		[N/mm ²]	[N/mm ²]	[N/mm ²]		[N/mm ²]	[N/mm ²]	[N/mm ²]		[N/mm ²]	[N/mm ²]	[N/mm ²]
SHELL: [01582-00084-01476]AA= PCA CA=FRQ ε _{sm} =0.00000 A _e =0.0 cm ² S _m =0 mm W _k =0.00 mm CA=QPR ε _{sm} =0.00000 A _e =0.0 cm ²																
S _m =0 mm W _k =0.00 mm CA=FRQ ε _{sm} =0.00000 A _e =0.0 cm ² S _m =0 mm W _k =0.00 mm CA=QPR ε _{sm} =0.00000 A _e =0.0 cm ²																
SHELL: [00733-01452-00734]AA= PCA CA=FRQ ε _{sm} =0.00000 A _e =0.0 cm ² S _m =0 mm W _k =0.00 mm CA=QPR ε _{sm} =0.00000 A _e =0.0 cm ²																
S _m =0 mm W _k =0.00 mm CA=FRQ ε _{sm} =0.00000 A _e =0.0 cm ² S _m =0 mm W _k =0.00 mm CA=QPR ε _{sm} =0.00000 A _e =0.0 cm ²																
SHELL: [00723-01472-01582]AA= PCA CA=FRQ ε _{sm} =0.00000 A _e =0.0 cm ² S _m =0 mm W _k =0.00 mm CA=QPR ε _{sm} =0.00000 A _e =0.0 cm ²																
S _m =0 mm W _k =0.00 mm CA=FRQ ε _{sm} =0.00000 A _e =0.0 cm ² S _m =0 mm W _k =0.00 mm CA=QPR ε _{sm} =0.00000 A _e =0.0 cm ²																
SHELL: [00724-01466-01472]AA= PCA CA=FRQ ε _{sm} =0.00000 A _e =0.0 cm ² S _m =0 mm W _k =0.00 mm CA=QPR ε _{sm} =0.00000 A _e =0.0 cm ²																
S _m =0 mm W _k =0.00 mm CA=FRQ ε _{sm} =0.00000 A _e =0.0 cm ² S _m =0 mm W _k =0.00 mm CA=QPR ε _{sm} =0.00000 A _e =0.0 cm ²																
SHELL: [00725-01466-00724]AA= PCA CA=FRQ ε _{sm} =0.00000 A _e =0.0 cm ² S _m =0 mm W _k =0.00 mm CA=QPR ε _{sm} =0.00000 A _e =0.0 cm ²																
S _m =0 mm W _k =0.00 mm CA=FRQ ε _{sm} =0.00000 A _e =0.0 cm ² S _m =0 mm W _k =0.00 mm CA=QPR ε _{sm} =0.00000 A _e =0.0 cm ²																
SHELL: [00725-01462-01466]AA= PCA CA=FRQ ε _{sm} =0.00000 A _e =0.0 cm ² S _m =0 mm W _k =0.00 mm CA=QPR ε _{sm} =0.00000 A _e =0.0 cm ²																
S _m =0 mm W _k =0.00 mm CA=FRQ ε _{sm} =0.00000 A _e =0.0 cm ² S _m =0 mm W _k =0.00 mm CA=QPR ε _{sm} =0.00000 A _e =0.0 cm ²																
SHELL: [00083-01462-00725]AA= PCA CA=FRQ ε _{sm} =0.00000 A _e =0.0 cm ² S _m =0 mm W _k =0.00 mm CA=QPR ε _{sm} =0.00000 A _e =0.0 cm ²																
S _m =0 mm W _k =0.00 mm CA=FRQ ε _{sm} =0.00000 A _e =0.0 cm ² S _m =0 mm W _k =0.00 mm CA=QPR ε _{sm} =0.00000 A _e =0.0 cm ²																
SHELL: [00713-01402-01406]AA= PCA CA=FRQ ε _{sm} =0.00000 A _e =0.0 cm ² S _m =0 mm W _k =0.00 mm CA=QPR ε _{sm} =0.00000 A _e =0.0 cm ²																
S _m =0 mm W _k =0.00 mm CA=FRQ ε _{sm} =0.00000 A _e =0.0 cm ² S _m =0 mm W _k =0.00 mm CA=QPR ε _{sm} =0.00000 A _e =0.0 cm ²																
SHELL: [00735-01456-01462]AA= PCA CA=FRQ ε _{sm} =0.00000 A _e =0.0 cm ² S _m =0 mm W _k =0.00 mm CA=QPR ε _{sm} =0.00000 A _e =0.0 cm ²																
S _m =0 mm W _k =0.00 mm CA=FRQ ε _{sm} =0.00000 A _e =0.0 cm ² S _m =0 mm W _k =0.00 mm CA=QPR ε _{sm} =0.00000 A _e =0.0 cm ²																
SHELL: [00735-01462-00083]AA= PCA CA=FRQ ε _{sm} =0.00000 A _e =0.0 cm ² S _m =0 mm W _k =0.00 mm CA=QPR ε _{sm} =0.00000 A _e =0.0 cm ²																
S _m =0 mm W _k =0.00 mm CA=FRQ ε _{sm} =0.00000 A _e =0.0 cm ² S _m =0 mm W _k =0.00 mm CA=QPR ε _{sm} =0.00000 A _e =0.0 cm ²																
SHELL: [00714-01406-01412]AA= PCA CA=FRQ ε _{sm} =0.00000 A _e =0.0 cm ² S _m =0 mm W _k =0.00 mm CA=QPR ε _{sm} =0.00000 A _e =0.0 cm ²																
S _m =0 mm W _k =0.00 mm CA=FRQ ε _{sm} =0.00000 A _e =0.0 cm ² S _m =0 mm W _k =0.00 mm CA=QPR ε _{sm} =0.00000 A _e =0.0 cm ²																
SHELL: [00734-01456-00735]AA= PCA CA=FRQ ε _{sm} =0.00000 A _e =0.0 cm ² S _m =0 mm W _k =0.00 mm CA=QPR ε _{sm} =0.00000 A _e =0.0 cm ²																
S _m =0 mm W _k =0.00 mm CA=FRQ ε _{sm} =0.00000 A _e =0.0 cm ² S _m =0 mm W _k =0.00 mm CA=QPR ε _{sm} =0.00000 A _e =0.0 cm ²																
SHELL: [00734-01452-01456]AA= PCA CA=FRQ ε _{sm} =0.00000 A _e =0.0 cm ² S _m =0 mm W _k =0.00 mm CA=QPR ε _{sm} =0.00000 A _e =0.0 cm ²																
S _m =0 mm W _k =0.00 mm																
P	00058	0.000	-0.254	0.000	00059	0.000	-0.182	0.000	00060	0.000	-0.151	0.000	00061	0.000	-0.127	0.000
S		0.084	-0.149	1.088		0.020	-0.033	0.256		0.022	-0.012	0.304		0.012	-0.007	0.159
P	00062	0.000	-0.115	0.000	00063	0.000	-0.149	0.000	00064	0.000	-0.195	0.000	00065	0.000	-0.213	0.000
S		0.020	-0.015	0.277		0.019	-0.010	0.269		0.038	-0.039	0.519		0.109	-0.157	1.442
P	00066	0.018	-0.208	0.102	00067	0.030	-0.031	0.408	00068	0.034	-0.031	0.459	00069	0.021	-0.022	0.289
S		0.000	-0.040	0.000		0.115	-0.126	1.542		0.109	-0.122	1.468		0.059	-0.090	0.788
P	00070	0.020	-0.018	0.267	00071	0.030	-0.029	0.404	00072	0.019	-0.018	0.251	00073	0.036	-0.038	0.481
S		0.009	-0.054	0.091		0.000	-0.045	0.000		0.000	-0.042	0.000		0.000	-0.041	0.000
P	00074	0.015	-0.016	0.202	00075	0.021	-0.023	0.275	00076	0.023	-0.023	0.313	00077	0.022	-0.021	0.297
S		0.000	-0.040	0.000		0.000	-0.037	0.000		0.000	-0.043	0.000		0.000	-0.047	0.000
P	00078	0.027	-0.027	0.360	00079	0.021	-0.021	0.280	00080	0.016	-0.015	0.214	00081	0.176	-0.182	2.368
S		0.000	-0.042	0.000		0.000	-0.049	0.000		0.000	-0.042	0.000		0.031	-0.075	0.380
P	00082	0.297	-0.316	3.993	00083	0.049	-0.051	0.667	00084	0.351	-0.325	4.753	00085	0.228	-0.215	3.085
S		0.092	-0.108	1.233		0.068	-0.132	0.865		0.055	-0.046	0.747		0.014	-0.073	0.148
P	00086	0.032	-0.031	0.439	00087	0.068	-0.074	0.915	00088	0.172	-0.153	2.341	00089	0.057	-0.048	0.793
S		0.000	-0.071	0.000		0.000	-0.077	0.000		0.000	-0.036	0.000		0.002	-0.006	0.029
P	00090	0.022	-0.007	0.311	00091	0.040	-0.024	0.563	00092	0.046	-0.023	0.641	00093	0.021	-0.007	0.306
S		0.003	-0.001	0.042		0.003	-0.003	0.040		0.003	-0.003	0.044		0.003	-0.001	0.039
P	00094	0.058	-0.048	0.808	00095	0.175	-0.154	2.386	00096	0.070	-0.076	0.944	00097	0.031	-0.030	0.424
S		0.002	-0.006	0.028		0.000	-0.036	0.000		0.000	-0.080	0.000		0.000	-0.082	0.000
P	00098	0.030	-0.031	0.408	00099	0.024	-0.024	0.320	00100	0.020	-0.018	0.272	00101	0.023	-0.023	0.309
S		0.000	-0.062	0.000		0.000	-0.059	0.000		0.000	-0.057	0.000		0.000	-0.051	0.000
P	00102	0.027	-0.027	0.366	00103	0.021	-0.020	0.290	00104	0.023	-0.023	0.309	00105	0.020	-0.022	0.269
S		0.000	-0.044	0.000		0.000	-0.048	0.000		0.000	-0.042	0.000		0.000	-0.036	0.000
P	00106	0.015	-0.016	0.197	00107	0.035	-0.037	0.471	00108	0.018	-0.017	0.245	00109	0.029	-0.029	0.397
S		0.000	-0.039	0.000		0.000	-0.040	0.000		0.000	-0.041	0.000		0.000	-0.044	0.000
P	00110	0.019	-0.018	0.261	00111	0.021	-0.022	0.283	00112	0.033	-0.030	0.451	00113	0.029	-0.029	0.391
S		0.008	-0.053	0.089		0.060	-0.090	0.791		0.110	-0.121	1.474		0.116	-0.126	1.558
P	00114	0.007	-0.193	0.000	00115	0.007	-0.023	0.079	00116	0.004	-0.029	0.037	00117	0.004	-0.028	0.040
S		0.000	-0.036	0.000		0.017	-0.041	0.217		0.014	-0.043	0.166		0.014	-0.041	0.175
P	00118	0.006	-0.024	0.071	00400	0.023	-0.044	0.301	00401	0.014	-0.013	0.187	00402	0.028	-0.013	0.387
S		0.016	-0.043	0.199		0.007	-0.009	0.099		0.054	-0.123	0.670		0.027	-0.167	0.257
P	00403	0.003	-0.003	0.039	00404	0.026	-0.010	0.356	00405	0.012	-0.014	0.161	00406	0.004	-0.011	0.042
S		0.014	-0.180	0.059		0.051	-0.178	0.599		0.031	-0.036	0.423		0.096	0.000	1.371

Platee - Verifiche pressoflessione retta allo stato limite di esercizio

D	Nod o	σ_{ct}	σ_{cc}	σ_{at}	Nod o	σ_{ct}	σ_{cc}	σ_{at}	Nod o	σ_{ct}	σ_{cc}	σ_{at}	Nod o	σ_{ct}	σ_{cc}	σ_{at}
		[N/mm ²]	[N/mm ²]	[N/mm ²]		[N/mm ²]	[N/mm ²]	[N/mm ²]		[N/mm ²]	[N/mm ²]	[N/mm ²]		[N/mm ²]	[N/mm ²]	[N/mm ²]
P	0040 7	0.004	-0.021	0.037	0040 8	0.003	-0.004	0.043	0040 9	0.021	0.000	0.310	0041 0	0.018	-0.017	0.245
S		0.212	-0.064	2.979		0.065	0.000	0.940		0.069	-0.086	0.915		0.037	-0.088	0.457
P	0041 1	0.032	-0.017	0.439	0041 2	0.012	-0.001	0.174	0041 3	0.001	-0.004	0.015	0041 4	0.061	-0.072	0.811
S		0.039	-0.084	0.488		0.049	-0.039	0.679		0.098	0.000	1.421		0.284	-0.092	3.983
P	0041 5	0.000	-0.007	0.000	0041 6	0.018	-0.012	0.244	0041 7	0.010	-0.001	0.141	0041 8	0.030	-0.007	0.418
S		0.120	-0.006	1.708		0.029	-0.007	0.410		0.075	-0.111	0.983		0.043	-0.095	0.537
P	0041 9	0.020	-0.010	0.275	0042 0	0.006	0.000	0.082	0042 1	0.020	-0.025	0.266	0042 2	0.008	-0.018	0.107
S		0.052	-0.044	0.709		0.054	0.000	0.801		0.220	-0.048	3.100		0.123	0.000	1.760
P	0042 3	0.028	-0.014	0.388	0042 4	0.027	-0.019	0.368	0042 5	0.011	-0.002	0.149	0042 6	0.014	0.000	0.211
S		0.052	-0.035	0.713		0.060	-0.144	0.752		0.036	-0.166	0.392		0.062	-0.182	0.744
P	0042 7	0.019	-0.013	0.262	0042 8	0.034	-0.050	0.447	0042 9	0.000	-0.058	0.000	0043 0	0.028	-0.179	0.273
S		0.049	-0.092	0.627		0.027	-0.019	0.367		0.019	-0.049	0.229		0.010	0.000	0.150
P	0043 1	0.011	-0.200	0.031	0043 2	0.003	-0.199	0.000	0043 3	0.000	-0.178	0.000	0043 4	0.000	-0.149	0.000
S		0.009	0.000	0.131		0.005	0.000	0.067		0.000	-0.004	0.000		0.003	-0.006	0.037
P	0043 5	0.000	-0.144	0.000	0043 6	0.000	-0.121	0.000	0043 7	0.000	-0.109	0.000	0043 8	0.000	-0.122	0.000
S		0.000	-0.006	0.000		0.000	-0.007	0.000		0.002	-0.008	0.017		0.000	-0.010	0.000
P	0043 9	0.000	-0.117	0.000	0044 0	0.000	-0.137	0.000	0044 1	0.000	-0.157	0.000	0044 2	0.000	-0.170	0.000
S		0.001	-0.008	0.012		0.000	-0.005	0.000		0.000	-0.006	0.000		0.002	-0.004	0.022
P	0044 3	0.004	-0.202	0.000	0044 4	0.009	-0.198	0.007	0044 5	0.051	-0.192	0.585	0044 6	0.010	-0.076	0.090
S		0.004	0.000	0.060		0.013	0.000	0.181		0.007	-0.002	0.093		0.028	-0.052	0.359
P	0044 7	0.034	-0.050	0.452	0044 8	0.019	-0.014	0.266	0044 9	0.014	0.000	0.206	0045 0	0.010	-0.001	0.146
S		0.025	-0.018	0.346		0.048	-0.090	0.610		0.061	-0.180	0.733		0.036	-0.164	0.389
P	0045 1	0.027	-0.019	0.363	0045 2	0.027	-0.014	0.371	0045 3	0.004	-0.013	0.049	0045 4	0.017	-0.023	0.224
S		0.058	-0.141	0.722		0.049	-0.033	0.673		0.114	0.000	1.635		0.210	-0.047	2.960
P	0045 5	0.004	0.000	0.060	0045 6	0.015	-0.007	0.209	0045 7	0.037	-0.010	0.524	0045 8	0.015	-0.006	0.210
S		0.057	0.000	0.839		0.039	-0.038	0.521		0.058	-0.123	0.727		0.081	-0.128	1.058
P	0045 9	0.016	-0.010	0.219	0046 0	0.000	-0.007	0.000	0046 1	0.061	-0.072	0.812	0046 2	0.001	-0.004	0.015
S		0.019	-0.003	0.283		0.119	-0.006	1.705		0.287	-0.093	4.021		0.102	0.000	1.467
P	0046 3	0.012	-0.001	0.175	0046 4	0.032	-0.017	0.437	0046 5	0.018	-0.017	0.244	0046 6	0.021	0.000	0.310
S		0.049	-0.036	0.682		0.039	-0.080	0.497		0.037	-0.084	0.468		0.069	-0.084	0.925
P	0046 7	0.003	-0.003	0.043	0046 8	0.004	-0.021	0.039	0046 9	0.004	-0.011	0.043	0047 0	0.012	-0.014	0.161
S		0.068	0.000	0.977		0.214	-0.063	3.007		0.098	0.000	1.399		0.032	-0.035	0.432
P	0047 1	0.025	-0.010	0.356	0047 2	0.003	-0.003	0.038	0047 3	0.028	-0.013	0.387	0047 4	0.014	-0.013	0.192
S		0.052	-0.176	0.605		0.014	-0.178	0.064		0.027	-0.166	0.264		0.054	-0.122	0.681
P	0047 5	0.023	-0.043	0.288	0047 6	0.000	-0.037	0.000	0047 7	0.008	-0.164	0.000	0047 8	0.000	-0.218	0.000
S		0.009	-0.009	0.127		0.021	-0.049	0.258		0.017	-0.007	0.238		0.003	-0.001	0.042
P	0047 9	0.000	-0.203	0.000	0048 0	0.013	-0.178	0.070	0048 1	0.000	-0.165	0.000	0048 2	0.000	-0.180	0.000
S		0.004	0.000	0.059		0.023	0.000	0.332		0.024	0.000	0.350		0.002	-0.010	0.022
P	0048 3	0.000	-0.209	0.000	0048 4	0.000	-0.204	0.000	0048 5	0.000	-0.216	0.000	0048 6	0.000	-0.199	0.000
S		0.000	-0.011	0.000		0.000	-0.013	0.000		0.000	-0.016	0.000		0.000	-0.010	0.000
P	0048 7	0.000	-0.180	0.000	0048 8	0.003	-0.171	0.000	0048 9	0.023	-0.182	0.213	0049 0	0.000	-0.208	0.000
S		0.004	-0.003	0.052		0.012	0.000	0.174		0.025	0.000	0.366		0.004	0.000	0.063
P	0049 1	0.000	-0.219	0.000	0049 2	0.026	-0.176	0.238	0049 3	0.000	-0.051	0.000	0055 4	0.013	0.000	0.187
S		0.007	-0.007	0.091		0.004	0.000	0.064		0.029	-0.052	0.370		0.000	-0.060	0.000
P	0055 5	0.010	0.000	0.142	0055 6	0.004	-0.003	0.049	0055 7	0.004	0.000	0.064	0055 8	0.003	-0.002	0.036
S		0.130	-0.110	1.768		0.141	-0.101	1.936		0.109	-0.097	1.487		0.114	-0.105	1.545
P	0055 9	0.002	0.000	0.035	0056 0	0.004	-0.004	0.056	0056 1	0.006	-0.005	0.081	0056 2	0.001	-0.002	0.017
S		0.100	-0.112	1.338		0.065	-0.084	0.867		0.019	-0.053	0.232		0.003	-0.049	0.013
P	0056 3	0.005	-0.006	0.066	0056 4	0.003	-0.004	0.037	0056 5	0.004	-0.007	0.053	0056 6	0.001	-0.001	0.016
S		0.012	-0.069	0.128		0.000	-0.047	0.000		0.000	-0.052	0.000		0.000	-0.046	0.000
P	0056 7	0.002	-0.004	0.025	0056 8	0.004	-0.004	0.061	0056 9	0.008	-0.009	0.106	0057 0	0.003	-0.003	0.047
S		0.000	-0.047	0.000		0.000	-0.054	0.000		0.000	-0.047	0.000		0.000	-0.038	0.000

Platee - Verifiche pressoflessione retta allo stato limite di esercizio

D	Nod o	σ_{ct}	σ_{cc}	σ_{at}	Nod o	σ_{ct}	σ_{cc}	σ_{at}	Nod o	σ_{ct}	σ_{cc}	σ_{at}	Nod o	σ_{ct}	σ_{cc}	σ_{at}
		[N/mm ²]	[N/mm ²]	[N/mm ²]		[N/mm ²]	[N/mm ²]	[N/mm ²]		[N/mm ²]	[N/mm ²]	[N/mm ²]		[N/mm ²]	[N/mm ²]	[N/mm ²]
P	0057 1	0.007	-0.008	0.096	0057 2	0.001	-0.003	0.008	0057 3	0.006	-0.007	0.086	0057 4	0.004	-0.008	0.050
S		0.000	-0.044	0.000		0.000	-0.050	0.000		0.000	-0.059	0.000		0.000	-0.048	0.000
P	0057 5	0.004	-0.006	0.049	0057 6	0.000	-0.002	0.000	0057 7	0.002	-0.006	0.028	0057 8	0.003	-0.006	0.041
S		0.000	-0.064	0.000		0.000	-0.068	0.000		0.000	-0.060	0.000		0.000	-0.064	0.000
P	0057 9	0.003	-0.008	0.031	0058 0	0.001	-0.001	0.013	0058 1	0.004	-0.006	0.048	0058 2	0.001	-0.001	0.009
S		0.000	-0.065	0.000		0.000	-0.051	0.000		0.000	-0.046	0.000		0.000	-0.053	0.000
P	0058 3	0.003	-0.002	0.035	0058 4	0.001	-0.005	0.012	0058 5	0.001	0.000	0.021	0058 6	0.000	-0.005	0.000
S		0.000	-0.055	0.000		0.000	-0.052	0.000		0.000	-0.062	0.000		0.000	-0.055	0.000
P	0058 7	0.004	-0.006	0.054	0058 8	0.010	-0.014	0.132	0058 9	0.005	-0.007	0.064	0059 0	0.009	-0.010	0.115
S		0.000	-0.094	0.000		0.000	-0.091	0.000		0.000	-0.089	0.000		0.000	-0.079	0.000
P	0059 1	0.014	-0.012	0.199	0059 2	0.115	-0.087	1.589	0059 3	0.077	-0.035	1.091	0059 4	0.035	-0.010	0.503
S		0.000	-0.111	0.000		0.023	-0.027	0.312		0.005	-0.004	0.063		0.008	-0.001	0.117
P	0059 5	0.037	0.000	0.542	0059 6	0.042	-0.014	0.603	0059 7	0.060	-0.022	0.843	0059 8	0.051	-0.022	0.726
S		0.001	-0.002	0.018		0.009	-0.004	0.124		0.002	-0.004	0.032		0.009	-0.004	0.127
P	0059 9	0.055	-0.017	0.778	0060 0	0.041	-0.013	0.578	0060 1	0.037	0.000	0.544	0060 2	0.035	-0.010	0.498
S		0.002	-0.003	0.021		0.008	-0.003	0.117		0.001	-0.002	0.014		0.008	-0.001	0.116
P	0060 3	0.077	-0.035	1.081	0060 4	0.113	-0.086	1.557	0060 5	0.014	-0.012	0.196	0060 6	0.006	-0.008	0.081
S		0.005	-0.004	0.066		0.022	-0.027	0.307		0.000	-0.109	0.000		0.000	-0.077	0.000
P	0060 7	0.005	-0.007	0.066	0060 8	0.010	-0.013	0.134	0060 9	0.015	-0.018	0.197	0061 0	0.006	-0.010	0.078
S		0.000	-0.083	0.000		0.000	-0.080	0.000		0.000	-0.103	0.000		0.000	-0.057	0.000
P	0061 1	0.020	-0.028	0.265	0061 2	0.001	-0.002	0.012	0061 3	0.009	-0.009	0.120	0061 4	0.001	-0.001	0.011
S		0.000	-0.057	0.000		0.000	-0.060	0.000		0.000	-0.044	0.000		0.000	-0.048	0.000
P	0061 5	0.005	-0.007	0.064	0061 6	0.001	0.000	0.011	0061 7	0.003	-0.008	0.033	0061 8	0.003	-0.006	0.043
S		0.000	-0.043	0.000		0.000	-0.049	0.000		0.000	-0.063	0.000		0.000	-0.064	0.000
P	0061 9	0.002	-0.006	0.028	0062 0	0.000	-0.002	0.000	0062 1	0.003	-0.006	0.046	0062 2	0.004	-0.008	0.051
S		0.000	-0.060	0.000		0.000	-0.067	0.000		0.000	-0.064	0.000		0.000	-0.049	0.000
P	0062 3	0.006	-0.006	0.085	0062 4	0.001	-0.003	0.006	0062 5	0.007	-0.008	0.095	0062 6	0.003	-0.003	0.047
S		0.000	-0.059	0.000		0.000	-0.050	0.000		0.000	-0.044	0.000		0.000	-0.040	0.000
P	0062 7	0.008	-0.009	0.106	0062 8	0.004	-0.003	0.057	0062 9	0.002	-0.004	0.024	0063 0	0.001	-0.001	0.018
S		0.000	-0.048	0.000		0.000	-0.054	0.000		0.000	-0.048	0.000		0.000	-0.047	0.000
P	0063 1	0.004	-0.007	0.051	0063 2	0.003	-0.004	0.038	0063 3	0.005	-0.006	0.066	0063 4	0.002	-0.002	0.021
S		0.000	-0.052	0.000		0.000	-0.048	0.000		0.011	-0.069	0.119		0.003	-0.050	0.012
P	0063 5	0.006	-0.005	0.079	0063 6	0.004	-0.004	0.059	0063 7	0.002	0.000	0.033	0063 8	0.003	-0.002	0.041
S		0.018	-0.054	0.229		0.064	-0.085	0.863		0.099	-0.113	1.329		0.114	-0.106	1.542
P	0063 9	0.005	0.000	0.067	0064 0	0.004	-0.003	0.060	0064 1	0.009	0.000	0.130	0064 2	0.018	0.000	0.256
S		0.109	-0.098	1.476		0.141	-0.102	1.929		0.127	-0.110	1.732		0.000	-0.062	0.000
P	0064 3	0.000	-0.305	0.000	0064 4	0.000	-0.175	0.000	0064 5	0.000	-0.147	0.000	0064 6	0.000	-0.100	0.000
S		0.000	-0.008	0.000		0.000	-0.008	0.000		0.009	-0.009	0.118		0.007	0.000	0.099
P	0064 7	0.000	-0.071	0.000	0064 8	0.000	-0.046	0.000	0064 9	0.014	-0.058	0.167	0065 0	0.009	-0.058	0.099
S		0.007	-0.001	0.100		0.010	-0.002	0.137		0.015	0.000	0.217		0.010	-0.002	0.134
P	0065 1	0.006	-0.050	0.066	0065 2	0.000	-0.091	0.000	0065 3	0.000	-0.132	0.000	0065 4	0.000	-0.190	0.000
S		0.015	-0.003	0.210		0.003	0.000	0.036		0.000	-0.001	0.000		0.046	-0.034	0.628
P	0065 5	0.000	-0.312	0.000	0065 6	0.080	-0.064	1.099	0065 7	0.020	-0.018	0.270	0065 8	0.012	-0.036	0.147
S		0.000	-0.084	0.000		0.094	-0.033	1.317		0.004	-0.033	0.035		0.014	-0.144	0.085
P	0065 9	0.062	-0.061	0.844	0066 0	0.038	-0.049	0.510	0066 1	0.052	-0.065	0.688	0066 2	0.115	-0.138	1.530
S		0.032	-0.193	0.311		0.023	-0.173	0.191		0.033	-0.131	0.377		0.000	-0.018	0.000
P	0066 3	0.039	-0.040	0.521	0066 4	0.013	-0.021	0.164	0066 5	0.033	-0.040	0.437	0066 6	0.009	-0.015	0.121
S		0.144	-0.038	2.025		0.022	-0.023	0.301		0.056	-0.092	0.729		0.031	-0.084	0.375
P	0066 7	0.039	-0.046	0.519	0066 8	0.029	-0.046	0.381	0066 9	0.008	-0.015	0.106	0067 0	0.049	-0.058	0.652
S		0.067	-0.093	0.889		0.033	-0.001	0.482		0.118	-0.005	1.688		0.106	0.000	1.525
P	0067 1	0.022	-0.024	0.301	0067 2	0.025	-0.030	0.334	0067 3	0.029	-0.032	0.387	0067 4	0.032	-0.041	0.426
S		0.028	0.000	0.408		0.043	-0.077	0.558		0.050	-0.102	0.635		0.053	-0.075	0.699

Platee - Verifiche pressoflessione retta allo stato limite di esercizio

D	Nod o	σ_{ct}	σ_{cc}	σ_{at}	Nod o	σ_{ct}	σ_{cc}	σ_{at}	Nod o	σ_{ct}	σ_{cc}	σ_{at}	Nod o	σ_{ct}	σ_{cc}	σ_{at}
		[N/mm ²]	[N/mm ²]	[N/mm ²]		[N/mm ²]	[N/mm ²]	[N/mm ²]		[N/mm ²]	[N/mm ²]	[N/mm ²]		[N/mm ²]	[N/mm ²]	[N/mm ²]
P	0067 5	0.043	-0.039	0.585	0067 6	0.054	-0.049	0.737	0067 7	0.045	-0.052	0.603	0067 8	0.057	-0.075	0.754
S		0.058	-0.003	0.825		0.132	-0.005	1.884		0.119	-0.051	1.655		0.016	-0.039	0.198
P	0067 9	0.004	-0.015	0.050	0068 0	0.039	-0.045	0.524	0068 1	0.069	-0.080	0.930	0068 2	0.048	-0.080	0.627
S		0.050	-0.132	0.621		0.038	-0.158	0.425		0.026	-0.161	0.245		0.009	-0.105	0.043
P	0068 3	0.082	-0.106	1.095	0068 4	0.084	-0.110	1.114	0068 5	0.050	-0.081	0.656	0068 6	0.069	-0.080	0.923
S		0.000	-0.017	0.000		0.000	-0.018	0.000		0.008	-0.104	0.040		0.025	-0.160	0.241
P	0068 7	0.038	-0.044	0.514	0068 8	0.003	-0.013	0.037	0068 9	0.054	-0.072	0.717	0069 0	0.038	-0.046	0.504
S		0.038	-0.156	0.419		0.048	-0.129	0.594		0.012	-0.036	0.142		0.116	-0.052	1.612
P	0069 1	0.000	-0.082	0.000	0069 2	0.015	-0.166	0.086	0069 3	0.000	-0.199	0.000	0069 4	0.000	-0.161	0.000
S		0.093	-0.108	1.238		0.078	-0.102	1.035		0.079	-0.095	1.056		0.057	-0.073	0.753
P	0069 5	0.000	-0.151	0.000	0069 6	0.000	-0.122	0.000	0069 7	0.000	-0.098	0.000	0069 8	0.000	-0.103	0.000
S		0.047	-0.057	0.624		0.030	-0.038	0.405		0.023	-0.031	0.306		0.023	-0.027	0.306
P	0069 9	0.000	-0.091	0.000	0070 0	0.000	-0.097	0.000	0070 1	0.000	-0.101	0.000	0070 2	0.000	-0.126	0.000
S		0.016	-0.022	0.217		0.027	-0.030	0.358		0.021	-0.028	0.282		0.030	-0.039	0.393
P	0070 3	0.000	-0.141	0.000	0070 4	0.000	-0.168	0.000	0070 5	0.000	-0.184	0.000	0070 6	0.038	-0.195	0.396
S		0.052	-0.061	0.695		0.054	-0.069	0.720		0.087	-0.101	1.159		0.068	-0.093	0.896
P	0070 7	0.000	-0.078	0.000	0070 8	0.000	-0.082	0.000	0070 9	0.000	-0.161	0.000	0071 0	0.000	-0.201	0.000
S		0.097	-0.112	1.293		0.092	-0.108	1.234		0.103	-0.122	1.372		0.076	-0.086	1.019
P	0071 1	0.000	-0.212	0.000	0071 2	0.114	-0.138	1.524	0071 3	0.052	-0.065	0.688	0071 4	0.038	-0.048	0.509
S		0.114	-0.103	1.551		0.000	-0.019	0.000		0.034	-0.130	0.392		0.023	-0.172	0.198
P	0071 5	0.062	-0.061	0.845	0071 6	0.013	-0.036	0.151	0071 7	0.020	-0.018	0.274	0071 8	0.081	-0.065	1.103
S		0.032	-0.192	0.316		0.014	-0.143	0.088		0.004	-0.031	0.042		0.096	-0.033	1.342
P	0071 9	0.000	-0.070	0.000	0072 0	0.007	-0.190	0.000	0072 1	0.000	-0.191	0.000	0072 2	0.000	-0.216	0.000
S		0.100	-0.111	1.340		0.088	-0.109	1.170		0.078	-0.090	1.051		0.115	-0.103	1.561
P	0072 3	0.048	-0.057	0.648	0072 4	0.020	-0.022	0.270	0072 5	0.004	-0.011	0.054	0072 6	0.039	-0.040	0.526
S		0.114	-0.006	1.615		0.021	0.000	0.311		0.040	-0.086	0.512		0.146	-0.037	2.057
P	0072 7	0.012	-0.021	0.157	0072 8	0.032	-0.040	0.431	0072 9	0.010	-0.015	0.124	0073 0	0.038	-0.045	0.512
S		0.022	-0.020	0.309		0.056	-0.089	0.736		0.031	-0.080	0.381		0.067	-0.090	0.891
P	0073 1	0.029	-0.046	0.378	0073 2	0.008	-0.015	0.104	0073 3	0.054	-0.049	0.733	0073 4	0.038	-0.034	0.521
S		0.036	-0.001	0.524		0.121	-0.005	1.731		0.137	-0.008	1.956		0.051	0.000	0.737
P	0073 5	0.007	-0.014	0.086	0073 6	0.000	-0.146	0.000	0073 7	0.000	-0.135	0.000	0073 8	0.000	-0.151	0.000
S		0.049	-0.078	0.638		0.016	-0.010	0.226		0.025	-0.003	0.358		0.030	-0.027	0.405
P	0073 9	0.000	-0.221	0.000	0074 0	0.000	-0.148	0.000	0074 1	0.000	-0.202	0.000	0074 2	0.000	-0.137	0.000
S		0.042	-0.141	0.498		0.030	-0.031	0.406		0.038	-0.083	0.476		0.014	-0.009	0.192
P	0139 7	0.041	-0.081	0.519	0139 8	0.147	-0.259	1.896	0139 9	0.079	-0.171	0.991	0140 0	0.080	-0.169	1.009
S		0.046	-0.109	0.571		0.081	-0.140	1.048		0.020	-0.064	0.236		0.021	-0.062	0.253
P	0140 1	0.149	-0.263	1.928	0140 2	0.043	-0.082	0.553	0140 3	0.227	-0.275	3.023	0140 4	0.156	-0.191	2.081
S		0.081	-0.142	1.044		0.043	-0.107	0.529		0.144	-0.235	1.879		0.129	-0.187	1.692
P	0140 5	0.156	-0.191	2.080	0140 6	0.226	-0.274	3.020	0140 7	0.152	-0.174	2.033	0140 8	0.246	-0.268	3.309
S		0.128	-0.186	1.686		0.144	-0.234	1.871		0.096	-0.216	1.211		0.116	-0.181	1.513
P	0140 9	0.076	-0.080	1.027	0141 0	0.076	-0.079	1.024	0141 1	0.246	-0.267	3.303	0141 2	0.151	-0.174	2.027
S		0.082	-0.120	1.079		0.082	-0.120	1.073		0.115	-0.180	1.510		0.096	-0.215	1.210
P	0141 3	0.293	-0.298	3.947	0141 4	0.166	-0.165	2.248	0141 5	0.166	-0.165	2.243	0141 6	0.292	-0.297	3.937
S		0.103	-0.152	1.355		0.055	-0.104	0.709		0.055	-0.104	0.707		0.103	-0.151	1.356
P	0141 7	0.210	-0.217	2.826	0141 8	0.291	-0.272	3.942	0141 9	0.079	-0.076	1.063	0142 0	0.078	-0.076	1.059
S		0.027	-0.004	0.394		0.034	-0.069	0.432		0.000	-0.050	0.000		0.000	-0.050	0.000
P	0142 1	0.290	-0.272	3.930	0142 2	0.209	-0.216	2.814	0142 3	0.340	-0.319	4.603	0142 4	0.177	-0.168	2.389
S		0.034	-0.069	0.433		0.028	-0.003	0.399		0.061	-0.045	0.839		0.012	-0.056	0.132
P	0142 5	0.176	-0.167	2.380	0142 6	0.339	-0.318	4.588	0142 7	0.226	-0.229	3.042	0142 8	0.280	-0.285	3.783
S		0.011	-0.056	0.129		0.061	-0.044	0.843		0.105	-0.114	1.413		0.053	-0.077	0.702
P	0142 9	0.076	-0.076	1.028	0143 0	0.076	-0.076	1.022	0143 1	0.279	-0.283	3.764	0143 2	0.224	-0.228	3.025
S		0.000	-0.047	0.000		0.000	-0.047	0.000		0.053	-0.076	0.702		0.105	-0.112	1.415

Platee - Verifiche pressoflessione retta allo stato limite di esercizio

D	Nod o	σ_{ct}	σ_{cc}	σ_{at}	Nod o	σ_{ct}	σ_{cc}	σ_{at}	Nod o	σ_{ct}	σ_{cc}	σ_{at}	Nod o	σ_{ct}	σ_{cc}	σ_{at}
		[N/mm ²]	[N/mm ²]	[N/mm ²]		[N/mm ²]	[N/mm ²]	[N/mm ²]		[N/mm ²]	[N/mm ²]	[N/mm ²]		[N/mm ²]	[N/mm ²]	[N/mm ²]
P	01433	0.319	-0.340	4.296	01434	0.164	-0.169	2.206	01435	0.162	-0.168	2.189	01436	0.317	-0.338	4.268
S		0.105	-0.124	1.408		0.026	-0.067	0.329		0.026	-0.067	0.325		0.105	-0.122	1.407
P	01437	0.262	-0.248	3.545	01438	0.289	-0.292	3.894	01439	0.076	-0.074	1.034	01440	0.075	-0.073	1.021
S		0.117	-0.092	1.601		0.057	-0.074	0.758		0.000	-0.039	0.000		0.000	-0.039	0.000
P	01441	0.286	-0.288	3.854	01442	0.260	-0.245	3.514	01443	0.367	-0.344	4.977	01444	0.186	-0.178	2.522
S		0.057	-0.073	0.753		0.117	-0.089	1.595		0.067	-0.030	0.929		0.010	-0.054	0.108
P	01445	0.184	-0.175	2.486	01446	0.363	-0.339	4.917	01447	0.247	-0.247	3.334	01448	0.309	-0.293	4.177
S		0.009	-0.054	0.103		0.066	-0.029	0.914		0.050	0.000	0.732		0.035	-0.050	0.459
P	01449	0.084	-0.079	1.138	01450	0.083	-0.077	1.118	01451	0.302	-0.287	4.085	01452	0.242	-0.241	3.269
S		0.000	-0.044	0.000		0.000	-0.044	0.000		0.034	-0.049	0.442		0.047	0.000	0.687
P	01453	0.336	-0.343	4.537	01454	0.173	-0.173	2.334	01455	0.167	-0.168	2.254	01456	0.324	-0.332	4.364
S		0.103	-0.099	1.398		0.015	-0.062	0.173		0.015	-0.062	0.175		0.096	-0.096	1.292
P	01457	0.236	-0.255	3.174	01458	0.276	-0.290	3.721	01459	0.073	-0.076	0.986	01460	0.061	-0.061	0.826
S		0.112	-0.138	1.499		0.066	-0.090	0.876		0.000	-0.052	0.000		0.000	-0.046	0.000
P	01461	0.254	-0.272	3.422	01462	0.185	-0.205	2.476	01463	0.325	-0.332	4.383	01464	0.172	-0.172	2.325
S		0.060	-0.088	0.789		0.094	-0.129	1.250		0.105	-0.110	1.407		0.016	-0.070	0.179
P	01465	0.158	-0.161	2.132	01466	0.313	-0.323	4.221	01467	0.236	-0.225	3.189	01468	0.303	-0.287	4.102
S		0.019	-0.074	0.215		0.093	-0.104	1.246		0.059	-0.001	0.841		0.034	-0.065	0.431
P	01469	0.088	-0.083	1.197	01470	0.069	-0.066	0.933	01471	0.290	-0.277	3.920	01472	0.235	-0.220	3.186
S		0.000	-0.066	0.000		0.000	-0.066	0.000		0.032	-0.065	0.409		0.046	0.000	0.667
P	01473	0.346	-0.321	4.686	01474	0.205	-0.197	2.778	01475	0.190	-0.183	2.573	01476	0.341	-0.323	4.619
S		0.059	-0.050	0.798		0.018	-0.082	0.193		0.021	-0.087	0.241		0.068	-0.073	0.919
P	01477	0.216	-0.203	2.925	01478	0.295	-0.300	3.978	01479	0.145	-0.144	1.959	01480	0.141	-0.141	1.907
S		0.106	-0.128	1.409		0.074	-0.125	0.957		0.015	-0.089	0.153		0.015	-0.089	0.147
P	01481	0.289	-0.294	3.894	01482	0.215	-0.202	2.907	01483	0.271	-0.307	3.638	01484	0.212	-0.240	2.840
S		0.070	-0.122	0.900		0.100	-0.124	1.334		0.131	-0.205	1.712		0.094	-0.156	1.229
P	01485	0.105	-0.124	1.402	01486	0.010	-0.040	0.123	01487	0.010	-0.029	0.127	01488	0.007	-0.030	0.086
S		0.034	-0.072	0.434		0.016	-0.024	0.209		0.008	-0.010	0.111		0.007	-0.008	0.092
P	01489	0.010	-0.040	0.120	01490	0.103	-0.122	1.383	01491	0.208	-0.237	2.791	01492	0.268	-0.304	3.597
S		0.016	-0.024	0.204		0.034	-0.072	0.435		0.094	-0.156	1.222		0.129	-0.203	1.688
P	01493	0.112	-0.151	1.477	01494	0.237	-0.304	3.154	01495	0.128	-0.200	1.672	01496	0.029	-0.105	0.340
S		0.114	-0.217	1.461		0.142	-0.206	1.866		0.098	-0.144	1.282		0.053	-0.077	0.704
P	01497	0.000	-0.053	0.000	01498	0.000	-0.041	0.000	01499	0.000	-0.052	0.000	01500	0.029	-0.105	0.341
S		0.033	-0.042	0.442		0.028	-0.033	0.371		0.034	-0.043	0.448		0.054	-0.077	0.711
P	01501	0.127	-0.198	1.658	01502	0.235	-0.301	3.122	01503	0.111	-0.150	1.468	01504	0.143	-0.233	1.869
S		0.098	-0.145	1.286		0.142	-0.206	1.869		0.113	-0.215	1.451		0.075	-0.138	0.966
P	01505	0.114	-0.248	1.438	01506	0.035	-0.169	0.372	01507	0.000	-0.114	0.000	01508	0.000	-0.085	0.000
S		0.075	-0.124	0.982		0.048	-0.076	0.627		0.028	-0.046	0.367		0.021	-0.035	0.277
P	01509	0.000	-0.088	0.000	01510	0.000	-0.111	0.000	01511	0.036	-0.170	0.382	01512	0.113	-0.249	1.428
S		0.021	-0.033	0.279		0.029	-0.049	0.376		0.049	-0.078	0.644		0.077	-0.122	1.011
P	01513	0.152	-0.236	1.986	01514	0.145	-0.184	1.923	01515	0.086	-0.080	1.164	01516	0.143	-0.184	1.904
S		0.072	-0.138	0.918		0.161	-0.162	2.180		0.265	-0.136	3.673		0.162	-0.163	2.187
P	01518	0.108	-0.093	1.470	01519	0.115	-0.096	1.569	01520	0.150	-0.172	2.010	01521	0.098	-0.091	1.330
S		0.282	-0.164	3.896		0.311	-0.148	4.327		0.149	-0.138	2.020		0.306	-0.162	4.234
P	01525	0.108	-0.093	1.475	01526	0.114	-0.095	1.559	01527	0.154	-0.173	2.059	01601	0.000	-0.264	0.000
S		0.284	-0.163	3.921		0.313	-0.149	4.349		0.149	-0.137	2.024		0.094	-0.223	1.169
P	01602	0.155	-0.146	2.101	01603	0.152	-0.144	2.057	01604	0.000	-0.270	0.000				
S		0.000	-0.084	0.000		0.000	-0.084	0.000		0.065	-0.182	0.797				

Platea 1 AA= PCA	CA=FRQ $\epsilon_{sm}=0.00000$ $A_e=0.0$ cm² $S_m=0$ mm $W_k=0.00$ mm	CA=QPR $\epsilon_{sm}=0.00000$ $A_e=0.0$ cm² $S_m=0$ mm $W_k=0.00$ mm
Fondazione	Platea1	
SHELL: [00837-00836-00547]AA= PCA	CA=FRQ $\epsilon_{sm}=0.00000$ $A_e=0.0$ cm² $S_m=0$ mm $W_k=0.00$ mm	CA=QPR $\epsilon_{sm}=0.00000$ $A_e=0.0$ cm²
S_m=0 mm W_k=0.00 mm		
SHELL: [00830-00530-00829]AA= PCA	CA=FRQ $\epsilon_{sm}=0.00000$ $A_e=0.0$ cm² $S_m=0$ mm $W_k=0.00$ mm	CA=QPR $\epsilon_{sm}=0.00000$ $A_e=0.0$ cm²
S_m=0 mm W_k=0.00 mm		

D	Nod o	σ ct	σ cc	σ at	Nod o	σ ct	σ cc	σ at	Nod o	σ ct	σ cc	σ at	Nod o	σ ct	σ cc	σ at
		[N/mm ²]	[N/mm ²]	[N/mm ²]		[N/mm ²]	[N/mm ²]	[N/mm ²]		[N/mm ²]	[N/mm ²]	[N/mm ²]		[N/mm ²]	[N/mm ²]	[N/mm ²]
SHELL: [00018-00026-00515]AA= PCA					CA=FRQ	$\epsilon_{sm}=0.00000$	$A_e=0.0$ cm ²	$S_m=0$ mm	$W_k=0.00$ mm	CA=QPR	$\epsilon_{sm}=0.00000$	$A_e=0.0$ cm ²				
$S_m=0$ mm $W_k=0.00$ mm																
SHELL: [01523-00833-00832]AA= PCA					CA=FRQ	$\epsilon_{sm}=0.00000$	$A_e=0.0$ cm ²	$S_m=0$ mm	$W_k=0.00$ mm	CA=QPR	$\epsilon_{sm}=0.00000$	$A_e=0.0$ cm ²				
$S_m=0$ mm $W_k=0.00$ mm																
SHELL: [00018-00516-00026]AA= PCA					CA=FRQ	$\epsilon_{sm}=0.00000$	$A_e=0.0$ cm ²	$S_m=0$ mm	$W_k=0.00$ mm	CA=QPR	$\epsilon_{sm}=0.00000$	$A_e=0.0$ cm ²				
$S_m=0$ mm $W_k=0.00$ mm																
SHELL: [00515-00026-00864]AA= PCA					CA=FRQ	$\epsilon_{sm}=0.00000$	$A_e=0.0$ cm ²	$S_m=0$ mm	$W_k=0.00$ mm	CA=QPR	$\epsilon_{sm}=0.00000$	$A_e=0.0$ cm ²				
$S_m=0$ mm $W_k=0.00$ mm																
SHELL: [00514-00864-00863]AA= PCA					CA=FRQ	$\epsilon_{sm}=0.00000$	$A_e=0.0$ cm ²	$S_m=0$ mm	$W_k=0.00$ mm	CA=QPR	$\epsilon_{sm}=0.00000$	$A_e=0.0$ cm ²				
$S_m=0$ mm $W_k=0.00$ mm																
SHELL: [00514-00863-00513]AA= PCA					CA=FRQ	$\epsilon_{sm}=0.00000$	$A_e=0.0$ cm ²	$S_m=0$ mm	$W_k=0.00$ mm	CA=QPR	$\epsilon_{sm}=0.00000$	$A_e=0.0$ cm ²				
$S_m=0$ mm $W_k=0.00$ mm																
SHELL: [00512-00861-00511]AA= PCA					CA=FRQ	$\epsilon_{sm}=0.00000$	$A_e=0.0$ cm ²	$S_m=0$ mm	$W_k=0.00$ mm	CA=QPR	$\epsilon_{sm}=0.00000$	$A_e=0.0$ cm ²				
$S_m=0$ mm $W_k=0.00$ mm																
SHELL: [00024-00545-00016]AA= PCA					CA=FRQ	$\epsilon_{sm}=0.00000$	$A_e=0.0$ cm ²	$S_m=0$ mm	$W_k=0.00$ mm	CA=QPR	$\epsilon_{sm}=0.00000$	$A_e=0.0$ cm ²				
$S_m=0$ mm $W_k=0.00$ mm																
SHELL: [00512-00862-00861]AA= PCA					CA=FRQ	$\epsilon_{sm}=0.00000$	$A_e=0.0$ cm ²	$S_m=0$ mm	$W_k=0.00$ mm	CA=QPR	$\epsilon_{sm}=0.00000$	$A_e=0.0$ cm ²				
$S_m=0$ mm $W_k=0.00$ mm																
SHELL: [00814-00545-00024]AA= PCA					CA=FRQ	$\epsilon_{sm}=0.00000$	$A_e=0.0$ cm ²	$S_m=0$ mm	$W_k=0.00$ mm	CA=QPR	$\epsilon_{sm}=0.00000$	$A_e=0.0$ cm ²				
$S_m=0$ mm $W_k=0.00$ mm																
SHELL: [00513-00863-00862]AA= PCA					CA=FRQ	$\epsilon_{sm}=0.00000$	$A_e=0.0$ cm ²	$S_m=0$ mm	$W_k=0.00$ mm	CA=QPR	$\epsilon_{sm}=0.00000$	$A_e=0.0$ cm ²				
$S_m=0$ mm $W_k=0.00$ mm																
SHELL: [00815-00544-00814]AA= PCA					CA=FRQ	$\epsilon_{sm}=0.00000$	$A_e=0.0$ cm ²	$S_m=0$ mm	$W_k=0.00$ mm	CA=QPR	$\epsilon_{sm}=0.00000$	$A_e=0.0$ cm ²				
$S_m=0$ mm $W_k=0.00$ mm																
SHELL: [00512-00513-00862]AA= PCA					CA=FRQ	$\epsilon_{sm}=0.00000$	$A_e=0.0$ cm ²	$S_m=0$ mm	$W_k=0.00$ mm	CA=QPR	$\epsilon_{sm}=0.00000$	$A_e=0.0$ cm<				

D	Nod o	σ_{ct}	σ_{cc}	σ_{at}	Nod o	σ_{ct}	σ_{cc}	σ_{at}	Nod o	σ_{ct}	σ_{cc}	σ_{at}	Nod o	σ_{ct}	σ_{cc}	σ_{at}
		[N/mm ²]	[N/mm ²]	[N/mm ²]		[N/mm ²]	[N/mm ²]	[N/mm ²]		[N/mm ²]	[N/mm ²]	[N/mm ²]		[N/mm ²]	[N/mm ²]	[N/mm ²]
SHELL: [00503-00852-00851]AA= PCA					CA=FRQ	$\epsilon_{sm}=0.00000$	$A_e=0.0\text{ cm}^2$	$S_m=0\text{ mm}$	$W_k=0.00\text{ mm}$	CA=QPR	$\epsilon_{sm}=0.00000$	$A_e=0.0\text{ cm}^2$				
$S_m=0\text{ mm}$ $W_k=0.00\text{ mm}$																
SHELL: [00550-00839-00549]AA= PCA					CA=FRQ	$\epsilon_{sm}=0.00000$	$A_e=0.0\text{ cm}^2$	$S_m=0\text{ mm}$	$W_k=0.00\text{ mm}$	CA=QPR	$\epsilon_{sm}=0.00000$	$A_e=0.0\text{ cm}^2$				
$S_m=0\text{ mm}$ $W_k=0.00\text{ mm}$																
SHELL: [00502-00851-00850]AA= PCA					CA=FRQ	$\epsilon_{sm}=0.00000$	$A_e=0.0\text{ cm}^2$	$S_m=0\text{ mm}$	$W_k=0.00\text{ mm}$	CA=QPR	$\epsilon_{sm}=0.00000$	$A_e=0.0\text{ cm}^2$				
$S_m=0\text{ mm}$ $W_k=0.00\text{ mm}$																
SHELL: [01555-00832-00821]AA= PCA					CA=FRQ	$\epsilon_{sm}=0.00000$	$A_e=0.0\text{ cm}^2$	$S_m=0\text{ mm}$	$W_k=0.00\text{ mm}$	CA=QPR	$\epsilon_{sm}=0.00000$	$A_e=0.0\text{ cm}^2$				
$S_m=0\text{ mm}$ $W_k=0.00\text{ mm}$																
SHELL: [00814-00544-00545]AA= PCA					CA=FRQ	$\epsilon_{sm}=0.00000$	$A_e=0.0\text{ cm}^2$	$S_m=0\text{ mm}$	$W_k=0.00\text{ mm}$	CA=QPR	$\epsilon_{sm}=0.00000$	$A_e=0.0\text{ cm}^2$				
$S_m=0\text{ mm}$ $W_k=0.00\text{ mm}$																
SHELL: [01539-00827-00826]AA= PCA					CA=FRQ	$\epsilon_{sm}=0.00000$	$A_e=0.0\text{ cm}^2$	$S_m=0\text{ mm}$	$W_k=0.00\text{ mm}$	CA=QPR	$\epsilon_{sm}=0.00000$	$A_e=0.0\text{ cm}^2$				
$S_m=0\text{ mm}$ $W_k=0.00\text{ mm}$																
SHELL: [00815-00543-00544]AA= PCA					CA=FRQ	$\epsilon_{sm}=0.00000$	$A_e=0.0\text{ cm}^2$	$S_m=0\text{ mm}$	$W_k=0.00\text{ mm}$	CA=QPR	$\epsilon_{sm}=0.00000$	$A_e=0.0\text{ cm}^2$				
$S_m=0\text{ mm}$ $W_k=0.00\text{ mm}$																
SHELL: [01519-00833-01523]AA= PCA					CA=FRQ	$\epsilon_{sm}=0.00000$	$A_e=0.0\text{ cm}^2$	$S_m=0\text{ mm}$	$W_k=0.00\text{ mm}$	CA=QPR	$\epsilon_{sm}=0.00000$	$A_e=0.0\text{ cm}^2$				
$S_m=0\text{ mm}$ $W_k=0.00\text{ mm}$																
SHELL: [01543-00825-01547]AA= PCA					CA=FRQ	$\epsilon_{sm}=0.00000$	$A_e=0.0\text{ cm}^2$	$S_m=0\text{ mm}$	$W_k=0.00\text{ mm}$	CA=QPR	$\epsilon_{sm}=0.00000$	$A_e=0.0\text{ cm}^2$				
$S_m=0\text{ mm}$ $W_k=0.00\text{ mm}$																
SHELL: [00816-00542-00543]AA= PCA					CA=FRQ	$\epsilon_{sm}=0.00000$	$A_e=0.0\text{ cm}^2$	$S_m=0\text{ mm}$	$W_k=0.00\text{ mm}$	CA=QPR	$\epsilon_{sm}=0.00000$	$A_e=0.0\text{ cm}^2$				
$S_m=0\text{ mm}$ $W_k=0.00\text{ mm}$																
SHELL: [00817-00542-00816]AA= PCA					CA=FRQ	$\epsilon_{sm}=0.00000$	$A_e=0.0\text{ cm}^2$	$S_m=0\text{ mm}$	$W_k=0.00\text{ mm}$	CA=QPR	$\epsilon_{sm}=0.00000$	$A_e=0.0\text{ cm}^2$				
$S_m=0\text{ mm}$ $W_k=0.00\text{ mm}$																
SHELL: [00817-00541-00542]AA= PCA					CA=FRQ	$\epsilon_{sm}=0.00000$	$A_e=0.0\text{ cm}^2$	$S_m=0\text{ mm}$	$W_k=0.00\text{ mm}$	CA=QPR	$\epsilon_{sm}=0.00000$	$A_e=0.0\text{ cm}^2$				
$S_m=0\text{ mm}$ $W_k=0.00\text{ mm}$																
SHELL: [00818-00541-00817]AA= PCA					CA=FRQ	$\epsilon_{sm}=0.00000$	$A_e=0.0\text{ cm$									

[illegible]

D	Nod o	σ_{ct}	σ_{cc}	σ_{at}	Nod o	σ_{ct}	σ_{cc}	σ_{at}	Nod o	σ_{ct}	σ_{cc}	σ_{at}	Nod o	σ_{ct}	σ_{cc}	σ_{at}
		[N/mm ²]	[N/mm ²]	[N/mm ²]		[N/mm ²]	[N/mm ²]	[N/mm ²]		[N/mm ²]	[N/mm ²]	[N/mm ²]		[N/mm ²]	[N/mm ²]	[N/mm ²]
SHELL: [01568-01563-00817]AA= PCA					CA=FRQ	$\epsilon_{sm}=0.00000$	$A_e=0.0\text{ cm}^2$	$S_m=0\text{ mm}$	$W_k=0.00\text{ mm}$	CA=QPR	$\epsilon_{sm}=0.00000$	$A_e=0.0\text{ cm}^2$				
$S_m=0\text{ mm}$ $W_k=0.00\text{ mm}$																
SHELL: [01551-00822-01555]AA= PCA					CA=FRQ	$\epsilon_{sm}=0.00000$	$A_e=0.0\text{ cm}^2$	$S_m=0\text{ mm}$	$W_k=0.00\text{ mm}$	CA=QPR	$\epsilon_{sm}=0.00000$	$A_e=0.0\text{ cm}^2$				
$S_m=0\text{ mm}$ $W_k=0.00\text{ mm}$																
SHELL: [01551-00823-00822]AA= PCA					CA=FRQ	$\epsilon_{sm}=0.00000$	$A_e=0.0\text{ cm}^2$	$S_m=0\text{ mm}$	$W_k=0.00\text{ mm}$	CA=QPR	$\epsilon_{sm}=0.00000$	$A_e=0.0\text{ cm}^2$				
$S_m=0\text{ mm}$ $W_k=0.00\text{ mm}$																
SHELL: [01535-00828-00827]AA= PCA					CA=FRQ	$\epsilon_{sm}=0.00000$	$A_e=0.0\text{ cm}^2$	$S_m=0\text{ mm}$	$W_k=0.00\text{ mm}$	CA=QPR	$\epsilon_{sm}=0.00000$	$A_e=0.0\text{ cm}^2$				
$S_m=0\text{ mm}$ $W_k=0.00\text{ mm}$																
SHELL: [01535-00827-01539]AA= PCA					CA=FRQ	$\epsilon_{sm}=0.00000$	$A_e=0.0\text{ cm}^2$	$S_m=0\text{ mm}$	$W_k=0.00\text{ mm}$	CA=QPR	$\epsilon_{sm}=0.00000$	$A_e=0.0\text{ cm}^2$				
$S_m=0\text{ mm}$ $W_k=0.00\text{ mm}$																
SHELL: [00866-00522-00865]AA= PCA					CA=FRQ	$\epsilon_{sm}=0.00000$	$A_e=0.0\text{ cm}^2$	$S_m=0\text{ mm}$	$W_k=0.00\text{ mm}$	CA=QPR	$\epsilon_{sm}=0.00000$	$A_e=0.0\text{ cm}^2$				
$S_m=0\text{ mm}$ $W_k=0.00\text{ mm}$																
SHELL: [01527-01523-00831]AA= PCA					CA=FRQ	$\epsilon_{sm}=0.00000$	$A_e=0.0\text{ cm}^2$	$S_m=0\text{ mm}$	$W_k=0.00\text{ mm}$	CA=QPR	$\epsilon_{sm}=0.00000$	$A_e=0.0\text{ cm}^2$				
$S_m=0\text{ mm}$ $W_k=0.00\text{ mm}$																
SHELL: [01527-00831-00830]AA= PCA					CA=FRQ	$\epsilon_{sm}=0.00000$	$A_e=0.0\text{ cm}^2$	$S_m=0\text{ mm}$	$W_k=0.00\text{ mm}$	CA=QPR	$\epsilon_{sm}=0.00000$	$A_e=0.0\text{ cm}^2$				
$S_m=0\text{ mm}$ $W_k=0.00\text{ mm}$																
SHELL: [01517-00869-01516]AA= PCA					CA=FRQ	$\epsilon_{sm}=0.00000$	$A_e=0.0\text{ cm}^2$	$S_m=0\text{ mm}$	$W_k=0.00\text{ mm}$	CA=QPR	$\epsilon_{sm}=0.00000$	$A_e=0.0\text{ cm}^2$				
$S_m=0\text{ mm}$ $W_k=0.00\text{ mm}$																
SHELL: [00842-01580-00841]AA= PCA					CA=FRQ	$\epsilon_{sm}=0.00000$	$A_e=0.0\text{ cm}^2$	$S_m=0\text{ mm}$	$W_k=0.00\text{ mm}$	CA=QPR	$\epsilon_{sm}=0.00000$	$A_e=0.0\text{ cm}^2$				
$S_m=0\text{ mm}$ $W_k=0.00\text{ mm}$																
SHELL: [01532-01527-01531]AA= PCA					CA=FRQ	$\epsilon_{sm}=0.00000$	$A_e=0.0\text{ cm}^2$	$S_m=0\text{ mm}$	$W_k=0.00\text{ mm}$	CA=QPR	$\epsilon_{sm}=0.00000$	$A_e=0.0\text{ cm}^2$				
$S_m=0\text{ mm}$ $W_k=0.00\text{ mm}$																
SHELL: [00522-00523-00865]AA= PCA					CA=FRQ	$\epsilon_{sm}=0.00000$	$A_e=0.0\text{ cm}^2$	$S_m=0\text{ mm}$	$W_k=0.00\text{ mm}$	CA=QPR	$\epsilon_{sm}=0.00000$	$A_e=0.0\text{ cm}^2$				
$S_m=0\text{ mm}$ $W_k=0.00\text{ mm}$																
SHELL: [00520-00521-00867]AA= PCA					CA=FRQ	$\epsilon_{sm}=0.00000$	$A_e=0.0\text{ cm$									

D	Nod o	σ ct	σ cc	σ at	Nod o	σ ct	σ cc	σ at	Nod o	σ ct	σ cc	σ at	Nod o	σ ct	σ cc	σ at
		[N/mm ²]	[N/mm ²]	[N/mm ²]		[N/mm ²]	[N/mm ²]	[N/mm ²]		[N/mm ²]	[N/mm ²]	[N/mm ²]		[N/mm ²]	[N/mm ²]	[N/mm ²]
SHELL: [00874-01552-00873]AA= PCA					CA=FRQ	$\epsilon_{sm}=0.00000$	$A_e=0.0\text{ cm}^2$	$S_m=0\text{ mm}$	$W_k=0.00\text{ mm}$	CA=QPR	$\epsilon_{sm}=0.00000$	$A_e=0.0\text{ cm}^2$				
$S_m=0\text{ mm}$ $W_k=0.00\text{ mm}$																
SHELL: [01553-00874-00873]AA= PCA					CA=FRQ	$\epsilon_{sm}=0.00000$	$A_e=0.0\text{ cm}^2$	$S_m=0\text{ mm}$	$W_k=0.00\text{ mm}$	CA=QPR	$\epsilon_{sm}=0.00000$	$A_e=0.0\text{ cm}^2$				
$S_m=0\text{ mm}$ $W_k=0.00\text{ mm}$																
SHELL: [00031-01560-01565]AA= PCA					CA=FRQ	$\epsilon_{sm}=0.00000$	$A_e=0.0\text{ cm}^2$	$S_m=0\text{ mm}$	$W_k=0.00\text{ mm}$	CA=QPR	$\epsilon_{sm}=0.00000$	$A_e=0.0\text{ cm}^2$				
$S_m=0\text{ mm}$ $W_k=0.00\text{ mm}$																
SHELL: [01560-01559-01564]AA= PCA					CA=FRQ	$\epsilon_{sm}=0.00000$	$A_e=0.0\text{ cm}^2$	$S_m=0\text{ mm}$	$W_k=0.00\text{ mm}$	CA=QPR	$\epsilon_{sm}=0.00000$	$A_e=0.0\text{ cm}^2$				
$S_m=0\text{ mm}$ $W_k=0.00\text{ mm}$																
SHELL: [01528-01524-01527]AA= PCA					CA=FRQ	$\epsilon_{sm}=0.00000$	$A_e=0.0\text{ cm}^2$	$S_m=0\text{ mm}$	$W_k=0.00\text{ mm}$	CA=QPR	$\epsilon_{sm}=0.00000$	$A_e=0.0\text{ cm}^2$				
$S_m=0\text{ mm}$ $W_k=0.00\text{ mm}$																
SHELL: [01528-01527-01532]AA= PCA					CA=FRQ	$\epsilon_{sm}=0.00000$	$A_e=0.0\text{ cm}^2$	$S_m=0\text{ mm}$	$W_k=0.00\text{ mm}$	CA=QPR	$\epsilon_{sm}=0.00000$	$A_e=0.0\text{ cm}^2$				
$S_m=0\text{ mm}$ $W_k=0.00\text{ mm}$																
SHELL: [01544-01543-01548]AA= PCA					CA=FRQ	$\epsilon_{sm}=0.00000$	$A_e=0.0\text{ cm}^2$	$S_m=0\text{ mm}$	$W_k=0.00\text{ mm}$	CA=QPR	$\epsilon_{sm}=0.00000$	$A_e=0.0\text{ cm}^2$				
$S_m=0\text{ mm}$ $W_k=0.00\text{ mm}$																
SHELL: [01544-01540-01543]AA= PCA					CA=FRQ	$\epsilon_{sm}=0.00000$	$A_e=0.0\text{ cm}^2$	$S_m=0\text{ mm}$	$W_k=0.00\text{ mm}$	CA=QPR	$\epsilon_{sm}=0.00000$	$A_e=0.0\text{ cm}^2$				
$S_m=0\text{ mm}$ $W_k=0.00\text{ mm}$																
SHELL: [01569-01568-01573]AA= PCA					CA=FRQ	$\epsilon_{sm}=0.00000$	$A_e=0.0\text{ cm}^2$	$S_m=0\text{ mm}$	$W_k=0.00\text{ mm}$	CA=QPR	$\epsilon_{sm}=0.00000$	$A_e=0.0\text{ cm}^2$				
$S_m=0\text{ mm}$ $W_k=0.00\text{ mm}$																
SHELL: [01536-01532-01535]AA= PCA					CA=FRQ	$\epsilon_{sm}=0.00000$	$A_e=0.0\text{ cm}^2$	$S_m=0\text{ mm}$	$W_k=0.00\text{ mm}$	CA=QPR	$\epsilon_{sm}=0.00000$	$A_e=0.0\text{ cm}^2$				
$S_m=0\text{ mm}$ $W_k=0.00\text{ mm}$																
SHELL: [01536-01535-01540]AA= PCA					CA=FRQ	$\epsilon_{sm}=0.00000$	$A_e=0.0\text{ cm}^2$	$S_m=0\text{ mm}$	$W_k=0.00\text{ mm}$	CA=QPR	$\epsilon_{sm}=0.00000$	$A_e=0.0\text{ cm}^2$				
$S_m=0\text{ mm}$ $W_k=0.00\text{ mm}$																
SHELL: [01520-01519-01524]AA= PCA					CA=FRQ	$\epsilon_{sm}=0.00000$	$A_e=0.0\text{ cm}^2$	$S_m=0\text{ mm}$	$W_k=0.00\text{ mm}$	CA=QPR	$\epsilon_{sm}=0.00000$	$A_e=0.0\text{ cm}^2$				
$S_m=0\text{ mm}$ $W_k=0.00\text{ mm}$																
SHELL: [01569-01564-01568]AA= PCA					CA=FRQ	$\epsilon_{sm}=0.00000$	$A_e=0.0\text{ cm$									

D	Nod o	σ ct	σ cc	σ at	Nod o	σ ct	σ cc	σ at	Nod o	σ ct	σ cc	σ at	Nod o	σ ct	σ cc	σ at
		[N/mm ²]	[N/mm ²]	[N/mm ²]		[N/mm ²]	[N/mm ²]	[N/mm ²]		[N/mm ²]	[N/mm ²]	[N/mm ²]		[N/mm ²]	[N/mm ²]	[N/mm ²]
SHELL: [00876-01544-01548]AA= PCA					CA=FRQ	$\epsilon_{sm}=0.00000$	$A_e=0.0\text{ cm}^2$	$S_m=0\text{ mm}$	$W_k=0.00\text{ mm}$	CA=QPR	$\epsilon_{sm}=0.00000$	$A_e=0.0\text{ cm}^2$				
S _m =0 mm W _k =0.00 mm																
SHELL: [00877-01544-00876]AA= PCA					CA=FRQ	$\epsilon_{sm}=0.00000$	$A_e=0.0\text{ cm}^2$	$S_m=0\text{ mm}$	$W_k=0.00\text{ mm}$	CA=QPR	$\epsilon_{sm}=0.00000$	$A_e=0.0\text{ cm}^2$				
S _m =0 mm W _k =0.00 mm																
SHELL: [00878-01540-01544]AA= PCA					CA=FRQ	$\epsilon_{sm}=0.00000$	$A_e=0.0\text{ cm}^2$	$S_m=0\text{ mm}$	$W_k=0.00\text{ mm}$	CA=QPR	$\epsilon_{sm}=0.00000$	$A_e=0.0\text{ cm}^2$				
S _m =0 mm W _k =0.00 mm																
SHELL: [00878-01544-00877]AA= PCA					CA=FRQ	$\epsilon_{sm}=0.00000$	$A_e=0.0\text{ cm}^2$	$S_m=0\text{ mm}$	$W_k=0.00\text{ mm}$	CA=QPR	$\epsilon_{sm}=0.00000$	$A_e=0.0\text{ cm}^2$				
S _m =0 mm W _k =0.00 mm																
SHELL: [00495-00843-00494]AA= PCA					CA=FRQ	$\epsilon_{sm}=0.00000$	$A_e=0.0\text{ cm}^2$	$S_m=0\text{ mm}$	$W_k=0.00\text{ mm}$	CA=QPR	$\epsilon_{sm}=0.00000$	$A_e=0.0\text{ cm}^2$				
S _m =0 mm W _k =0.00 mm																
SHELL: [00879-01536-01540]AA= PCA					CA=FRQ	$\epsilon_{sm}=0.00000$	$A_e=0.0\text{ cm}^2$	$S_m=0\text{ mm}$	$W_k=0.00\text{ mm}$	CA=QPR	$\epsilon_{sm}=0.00000$	$A_e=0.0\text{ cm}^2$				
S _m =0 mm W _k =0.00 mm																
SHELL: [00879-01540-00878]AA= PCA					CA=FRQ	$\epsilon_{sm}=0.00000$	$A_e=0.0\text{ cm}^2$	$S_m=0\text{ mm}$	$W_k=0.00\text{ mm}$	CA=QPR	$\epsilon_{sm}=0.00000$	$A_e=0.0\text{ cm}^2$				
S _m =0 mm W _k =0.00 mm																
SHELL: [00839-00838-00549]AA= PCA					CA=FRQ	$\epsilon_{sm}=0.00000$	$A_e=0.0\text{ cm}^2$	$S_m=0\text{ mm}$	$W_k=0.00\text{ mm}$	CA=QPR	$\epsilon_{sm}=0.00000$	$A_e=0.0\text{ cm}^2$				
S _m =0 mm W _k =0.00 mm																
SHELL: [00880-01536-00879]AA= PCA					CA=FRQ	$\epsilon_{sm}=0.00000$	$A_e=0.0\text{ cm}^2$	$S_m=0\text{ mm}$	$W_k=0.00\text{ mm}$	CA=QPR	$\epsilon_{sm}=0.00000$	$A_e=0.0\text{ cm}^2$				
S _m =0 mm W _k =0.00 mm																
SHELL: [00881-01536-00880]AA= PCA					CA=FRQ	$\epsilon_{sm}=0.00000$	$A_e=0.0\text{ cm}^2$	$S_m=0\text{ mm}$	$W_k=0.00\text{ mm}$	CA=QPR	$\epsilon_{sm}=0.00000$	$A_e=0.0\text{ cm}^2$				
S _m =0 mm W _k =0.00 mm																
SHELL: [00881-01532-01536]AA= PCA					CA=FRQ	$\epsilon_{sm}=0.00000$	$A_e=0.0\text{ cm}^2$	$S_m=0\text{ mm}$	$W_k=0.00\text{ mm}$	CA=QPR	$\epsilon_{sm}=0.00000$	$A_e=0.0\text{ cm}^2$				
S _m =0 mm W _k =0.00 mm																
SHELL: [00882-01532-00881]AA= PCA					CA=FRQ	$\epsilon_{sm}=0.00000$	$A_e=0.0\text{ cm}^2$	$S_m=0\text{ mm}$	$W_k=0.00\text{ mm}$	CA=QPR	$\epsilon_{sm}=0.00000$	$A_e=0.0\text{ cm}^2$				
S _m =0 mm W _k =0.00 mm																
SHELL: [00882-01528-01532]AA= PCA					CA=FRQ	$\epsilon_{sm}=0.00000$	$A_e=0.0\text{ cm}^2$	$S_m=0\text{ mm}$	$W_k=0.00\text{ mm}$	CA=QPR	$\epsilon_{sm}=0.00000$	$A_e=0.0\text{ cm}^2$	</			

D	Nod o	σ ct	σ cc	σ at	Nod o	σ ct	σ cc	σ at	Nod o	σ ct	σ cc	σ at	Nod o	σ ct	σ cc	σ at
		[N/mm ²]	[N/mm ²]	[N/mm ²]		[N/mm ²]	[N/mm ²]	[N/mm ²]		[N/mm ²]	[N/mm ²]	[N/mm ²]		[N/mm ²]	[N/mm ²]	[N/mm ²]
SHELL: [01545-00878-00877]AA= PCA					CA=FRQ	ε _{sm} =0.00000	A _e =0.0 cm ²	S _m =0 mm	W _k =0.00 mm	CA=QPR	ε _{sm} =0.00000	A _e =0.0 cm ²				
S _m =0 mm W _k =0.00 mm																
SHELL: [01542-01541-01546]AA= PCA					CA=FRQ	ε _{sm} =0.00000	A _e =0.0 cm ²	S _m =0 mm	W _k =0.00 mm	CA=QPR	ε _{sm} =0.00000	A _e =0.0 cm ²				
S _m =0 mm W _k =0.00 mm																
SHELL: [00870-00869-01517]AA= PCA					CA=FRQ	ε _{sm} =0.00000	A _e =0.0 cm ²	S _m =0 mm	W _k =0.00 mm	CA=QPR	ε _{sm} =0.00000	A _e =0.0 cm ²				
S _m =0 mm W _k =0.00 mm																
SHELL: [01541-00879-00878]AA= PCA					CA=FRQ	ε _{sm} =0.00000	A _e =0.0 cm ²	S _m =0 mm	W _k =0.00 mm	CA=QPR	ε _{sm} =0.00000	A _e =0.0 cm ²				
S _m =0 mm W _k =0.00 mm																
SHELL: [00869-00519-00868]AA= PCA					CA=FRQ	ε _{sm} =0.00000	A _e =0.0 cm ²	S _m =0 mm	W _k =0.00 mm	CA=QPR	ε _{sm} =0.00000	A _e =0.0 cm ²				
S _m =0 mm W _k =0.00 mm																
SHELL: [00517-00518-00870]AA= PCA					CA=FRQ	ε _{sm} =0.00000	A _e =0.0 cm ²	S _m =0 mm	W _k =0.00 mm	CA=QPR	ε _{sm} =0.00000	A _e =0.0 cm ²				
S _m =0 mm W _k =0.00 mm																
SHELL: [00869-00868-01516]AA= PCA					CA=FRQ	ε _{sm} =0.00000	A _e =0.0 cm ²	S _m =0 mm	W _k =0.00 mm	CA=QPR	ε _{sm} =0.00000	A _e =0.0 cm ²				
S _m =0 mm W _k =0.00 mm																
SHELL: [00509-00858-00508]AA= PCA					CA=FRQ	ε _{sm} =0.00000	A _e =0.0 cm ²	S _m =0 mm	W _k =0.00 mm	CA=QPR	ε _{sm} =0.00000	A _e =0.0 cm ²				
S _m =0 mm W _k =0.00 mm																
SHELL: [00551-00840-00550]AA= PCA					CA=FRQ	ε _{sm} =0.00000	A _e =0.0 cm ²	S _m =0 mm	W _k =0.00 mm	CA=QPR	ε _{sm} =0.00000	A _e =0.0 cm ²				
S _m =0 mm W _k =0.00 mm																
SHELL: [01557-00873-01561]AA= PCA					CA=FRQ	ε _{sm} =0.00000	A _e =0.0 cm ²	S _m =0 mm	W _k =0.00 mm	CA=QPR	ε _{sm} =0.00000	A _e =0.0 cm ²				
S _m =0 mm W _k =0.00 mm																
SHELL: [01557-01553-00873]AA= PCA					CA=FRQ	ε _{sm} =0.00000	A _e =0.0 cm ²	S _m =0 mm	W _k =0.00 mm	CA=QPR	ε _{sm} =0.00000	A _e =0.0 cm ²				
S _m =0 mm W _k =0.00 mm																
SHELL: [01525-00884-01529]AA= PCA					CA=FRQ	ε _{sm} =0.00000	A _e =0.0 cm ²	S _m =0 mm	W _k =0.00 mm	CA=QPR	ε _{sm} =0.00000	A _e =0.0 cm ²				
S _m =0 mm W _k =0.00 mm																
SHELL: [01525-00032-00884]AA= PCA					CA=FRQ	ε _{sm} =0.00000	A _e =0.0 cm ²	S _m =0 mm	W _k =0.00 mm	CA=QPR	ε _{sm} =0.00000	A _e =0.0 cm ²				
S _m =0 mm W _k =0.00 mm																
SHELL: [01525-01521-00032]AA= PCA		</														

[illegible]

D	Nod o	σ_{ct}	σ_{cc}	σ_{at}	Nod o	σ_{ct}	σ_{cc}	σ_{at}	Nod o	σ_{ct}	σ_{cc}	σ_{at}	Nod o	σ_{ct}	σ_{cc}	σ_{at}
		[N/mm ²]	[N/mm ²]	[N/mm ²]		[N/mm ²]	[N/mm ²]	[N/mm ²]		[N/mm ²]	[N/mm ²]	[N/mm ²]		[N/mm ²]	[N/mm ²]	[N/mm ²]
SHELL: [00844-01576-01580]AA= PCA S _m =0 mm W _k =0.00 mm						CA=FRQ	$\epsilon_{sm}=0.00000$	A _e =0.0 cm ²	S _m =0 mm	W _k =0.00 mm	CA=QPR	$\epsilon_{sm}=0.00000$	A _e =0.0 cm ²			
SHELL: [00845-01571-01576]AA= PCA S _m =0 mm W _k =0.00 mm						CA=FRQ	$\epsilon_{sm}=0.00000$	A _e =0.0 cm ²	S _m =0 mm	W _k =0.00 mm	CA=QPR	$\epsilon_{sm}=0.00000$	A _e =0.0 cm ²			
SHELL: [00860-01530-00859]AA= PCA S _m =0 mm W _k =0.00 mm						CA=FRQ	$\epsilon_{sm}=0.00000$	A _e =0.0 cm ²	S _m =0 mm	W _k =0.00 mm	CA=QPR	$\epsilon_{sm}=0.00000$	A _e =0.0 cm ²			
SHELL: [00510-00859-00509]AA= PCA S _m =0 mm W _k =0.00 mm						CA=FRQ	$\epsilon_{sm}=0.00000$	A _e =0.0 cm ²	S _m =0 mm	W _k =0.00 mm	CA=QPR	$\epsilon_{sm}=0.00000$	A _e =0.0 cm ²			
SHELL: [00846-01571-00845]AA= PCA S _m =0 mm W _k =0.00 mm						CA=FRQ	$\epsilon_{sm}=0.00000$	A _e =0.0 cm ²	S _m =0 mm	W _k =0.00 mm	CA=QPR	$\epsilon_{sm}=0.00000$	A _e =0.0 cm ²			
SHELL: [00846-01567-01571]AA= PCA S _m =0 mm W _k =0.00 mm						CA=FRQ	$\epsilon_{sm}=0.00000$	A _e =0.0 cm ²	S _m =0 mm	W _k =0.00 mm	CA=QPR	$\epsilon_{sm}=0.00000$	A _e =0.0 cm ²			
SHELL: [00019-00027-00553]AA= PCA S _m =0 mm W _k =0.00 mm						CA=FRQ	$\epsilon_{sm}=0.00000$	A _e =0.0 cm ²	S _m =0 mm	W _k =0.00 mm	CA=QPR	$\epsilon_{sm}=0.00000$	A _e =0.0 cm ²			
SHELL: [00848-01567-00847]AA= PCA S _m =0 mm W _k =0.00 mm						CA=FRQ	$\epsilon_{sm}=0.00000$	A _e =0.0 cm ²	S _m =0 mm	W _k =0.00 mm	CA=QPR	$\epsilon_{sm}=0.00000$	A _e =0.0 cm ²			
SHELL: [00848-01562-01567]AA= PCA S _m =0 mm W _k =0.00 mm						CA=FRQ	$\epsilon_{sm}=0.00000$	A _e =0.0 cm ²	S _m =0 mm	W _k =0.00 mm	CA=QPR	$\epsilon_{sm}=0.00000$	A _e =0.0 cm ²			
SHELL: [00849-01562-00848]AA= PCA S _m =0 mm W _k =0.00 mm						CA=FRQ	$\epsilon_{sm}=0.00000$	A _e =0.0 cm ²	S _m =0 mm	W _k =0.00 mm	CA=QPR	$\epsilon_{sm}=0.00000$	A _e =0.0 cm ²			
SHELL: [00849-01558-01562]AA= PCA S _m =0 mm W _k =0.00 mm						CA=FRQ	$\epsilon_{sm}=0.00000$	A _e =0.0 cm ²	S _m =0 mm	W _k =0.00 mm	CA=QPR	$\epsilon_{sm}=0.00000$	A _e =0.0 cm ²			
SHELL: [00859-01530-01534]AA= PCA S _m =0 mm W _k =0.00 mm						CA=FRQ	$\epsilon_{sm}=0.00000$	A _e =0.0 cm ²	S _m =0 mm	W _k =0.00 mm	CA=QPR	$\epsilon_{sm}=0.00000$	A _e =0.0 cm ²			
SHELL: [00850-01558-00849]AA= PCA S _m =0 mm W _k =0.00 mm						CA=FRQ	$\epsilon_{sm}=0.00000$	A _e =0.0 cm ²	S _m =0 mm	W _k =0.00 mm	CA=QPR	$\epsilon_{sm}=0.00000$	A _e =0.0 cm ²			
SHELL: [00851-01554-01558]AA= PCA S _m =0 mm W _k =0.00 mm						CA=FRQ	$\epsilon_{sm}=0.00000$	A _e =0.0 cm ²	S _m =0 mm	W _k =0.00 mm	CA=QPR	$\epsilon_{sm}=0.00000$	A _e =0.0 cm ²			
SHELL: [00851-01558-00850]AA= PCA S _m =0 mm W _k =0.00 mm						CA=FRQ	$\epsilon_{sm}=0.00000$	A _e =0.0 cm ²	S _m =0 mm	W _k =0.00 mm	CA=QPR	$\epsilon_{sm}=0.00000$	A _e =0.0 cm ²			
SHELL: [00852-01550-01554]AA= PCA S _m =0 mm W _k =0.00 mm						CA=FRQ	$\epsilon_{sm}=0.00000$	A _e =0.0 cm ²	S _m =0 mm	W _k =0.00 mm	CA=QPR	$\epsilon_{sm}=0.00000$	A _e =0.0 cm ²			
SHELL: [00498-00846-00497]AA= PCA S _m =0 mm W _k =0.00 mm						CA=FRQ	$\epsilon_{sm}=0.00000$	A _e =0.0 cm ²	S _m =0 mm	W _k =0.00 mm	CA=QPR	$\epsilon_{sm}=0.00000$	A _e =0.0 cm ²			
SHELL: [00504-00																

Platee - Verifiche pressoflessione retta allo stato limite di esercizio

D	Nod o	σ_{ct}	σ_{cc}	σ_{at}	Nod o	σ_{ct}	σ_{cc}	σ_{at}	Nod o	σ_{ct}	σ_{cc}	σ_{at}	Nod o	σ_{ct}	σ_{cc}	σ_{at}
		[N/mm ²]	[N/mm ²]	[N/mm ²]		[N/mm ²]	[N/mm ²]	[N/mm ²]		[N/mm ²]	[N/mm ²]	[N/mm ²]		[N/mm ²]	[N/mm ²]	[N/mm ²]
P	00516	0.026	-0.025	0.347	00517	0.003	-0.003	0.041	00518	0.008	-0.009	0.105	00519	0.005	-0.005	0.072
S		0.008	-0.003	0.118		0.006	-0.001	0.089		0.000	-0.010	0.000		0.009	-0.001	0.123
P	00520	0.005	-0.004	0.069	00521	0.007	-0.008	0.100	00522	0.003	-0.003	0.045	00523	0.023	-0.023	0.316
S		0.009	-0.001	0.121		0.000	-0.009	0.000		0.007	-0.001	0.093		0.009	-0.004	0.122
P	00524	0.000	-0.005	0.000	00525	0.003	0.000	0.040	00526	0.000	-0.015	0.000	00527	0.009	0.000	0.125
S		0.020	-0.020	0.265		0.017	-0.017	0.223		0.003	-0.004	0.042		0.023	-0.022	0.310
P	00528	0.012	0.000	0.176	00529	0.000	-0.026	0.000	00530	0.009	0.000	0.129	00531	0.007	0.000	0.096
S		0.023	-0.022	0.312		0.006	-0.007	0.079		0.032	-0.031	0.436		0.011	-0.012	0.148
P	00532	0.005	-0.028	0.055	00533	0.020	-0.004	0.276	00534	0.003	-0.019	0.023	00535	0.007	-0.004	0.100
S		0.001	-0.001	0.012		0.019	-0.018	0.263		0.014	-0.015	0.188		0.017	-0.019	0.222
P	00536	0.019	0.000	0.268	00537	0.000	-0.017	0.000	00538	0.010	0.000	0.148	00539	0.013	0.000	0.190
S		0.001	0.000	0.010		0.009	-0.010	0.124		0.024	-0.025	0.323		0.003	-0.002	0.037
P	00540	0.000	-0.019	0.000	00541	0.011	0.000	0.161	00542	0.007	0.000	0.097	00543	0.000	-0.010	0.000
S		0.016	-0.018	0.217		0.011	-0.011	0.154		0.008	-0.007	0.110		0.014	-0.015	0.186
P	00544	0.005	-0.002	0.076	00545	0.001	-0.007	0.012	00546	0.024	-0.023	0.321	00547	0.011	-0.011	0.149
S		0.014	-0.014	0.183		0.011	-0.012	0.150		0.009	-0.004	0.125		0.006	-0.001	0.088
P	00548	0.003	-0.005	0.046	00549	0.010	-0.009	0.137	00550	0.010	-0.010	0.142	00551	0.004	-0.005	0.053
S		0.000	-0.010	0.000		0.005	0.000	0.075		0.005	0.000	0.079		0.000	-0.010	0.000
P	00552	0.011	-0.011	0.148	00553	0.026	-0.026	0.353	00814	0.076	-0.074	1.029	00815	0.154	-0.153	2.085
S		0.006	-0.001	0.083		0.009	-0.004	0.122		0.033	-0.032	0.441		0.038	-0.038	0.508
P	00816	0.211	-0.212	2.852	00817	0.252	-0.259	3.392	00818	0.272	-0.269	3.677	00819	0.287	-0.283	3.872
S		0.042	-0.042	0.569		0.038	-0.040	0.509		0.056	-0.057	0.762		0.073	-0.071	0.985
P	00820	0.300	-0.305	4.044	00821	0.302	-0.304	4.071	00822	0.336	-0.328	4.540	00823	0.338	-0.340	4.559
S		0.064	-0.067	0.868		0.052	-0.053	0.698		0.084	-0.081	1.135		0.072	-0.074	0.967
P	00824	0.324	-0.333	4.373	00825	0.431	-0.416	5.828	00826	0.339	-0.341	4.577	00827	0.329	-0.326	4.441
S		0.060	-0.062	0.804		0.092	-0.089	1.239		0.088	-0.090	1.184		0.071	-0.067	0.962
P	00828	0.281	-0.282	3.798	00829	0.300	-0.301	4.051	00830	0.276	-0.276	3.720	00831	0.247	-0.248	3.339
S		0.064	-0.064	0.862		0.065	-0.068	0.878		0.076	-0.073	1.033		0.064	-0.063	0.863
P	00832	0.218	-0.213	2.946	00833	0.197	-0.199	2.658	00834	0.136	-0.136	1.841	00835	0.094	-0.091	1.267
S		0.029	-0.028	0.391		0.051	-0.049	0.688		0.041	-0.040	0.557		0.036	-0.036	0.491
P	00836	0.036	-0.037	0.484	00837	0.017	-0.017	0.234	00838	0.025	-0.024	0.333	00839	0.018	-0.019	0.241
S		0.029	-0.028	0.387		0.075	-0.074	1.008		0.107	-0.109	1.445		0.106	-0.106	1.434
P	00840	0.024	-0.024	0.325	00841	0.017	-0.017	0.236	00842	0.038	-0.039	0.514	00843	0.075	-0.073	1.011
S		0.107	-0.109	1.447		0.075	-0.074	1.009		0.029	-0.029	0.394		0.029	-0.029	0.393
P	00844	0.154	-0.153	2.076	00845	0.211	-0.212	2.846	00846	0.252	-0.259	3.391	00847	0.272	-0.269	3.679
S		0.038	-0.038	0.506		0.042	-0.042	0.573		0.038	-0.041	0.511		0.057	-0.057	0.763
P	00848	0.287	-0.283	3.872	00849	0.300	-0.305	4.046	00850	0.302	-0.304	4.072	00851	0.336	-0.328	4.541
S		0.073	-0.071	0.985		0.064	-0.067	0.868		0.052	-0.053	0.698		0.084	-0.081	1.135
P	00852	0.338	-0.340	4.560	00853	0.325	-0.333	4.374	00854	0.431	-0.416	5.829	00855	0.339	-0.341	4.578
S		0.072	-0.074	0.968		0.060	-0.062	0.804		0.092	-0.089	1.239		0.088	-0.090	1.184
P	00856	0.329	-0.326	4.442	00857	0.281	-0.282	3.799	00858	0.300	-0.301	4.052	00859	0.276	-0.276	3.720
S		0.071	-0.067	0.962		0.064	-0.064	0.862		0.065	-0.068	0.878		0.076	-0.073	1.033
P	00860	0.247	-0.248	3.339	00861	0.218	-0.213	2.944	00862	0.197	-0.198	2.651	00863	0.136	-0.136	1.833
S		0.064	-0.064	0.865		0.029	-0.029	0.393		0.051	-0.050	0.693		0.041	-0.040	0.552
P	00864	0.092	-0.091	1.244	00865	0.033	-0.034	0.449	00866	0.023	-0.022	0.304	00867	0.023	-0.023	0.314
S		0.033	-0.032	0.441		0.038	-0.039	0.519		0.076	-0.076	1.022		0.075	-0.075	1.013
P	00868	0.017	-0.018	0.228	00869	0.023	-0.022	0.308	00870	0.023	-0.022	0.305	00871	0.035	-0.036	0.473
S		0.088	-0.085	1.186		0.075	-0.075	1.015		0.076	-0.076	1.022		0.039	-0.039	0.527
P	00872	0.365	-0.365	4.924	00873	0.179	-0.179	2.411	00874	0.241	-0.241	3.253	00875	0.184	-0.184	2.490
S		0.203	-0.203	2.740		0.072	-0.072	0.967		0.096	-0.096	1.292		0.059	-0.059	0.794
P	00876	0.177	-0.177	2.395	00877	0.254	-0.254	3.429	00878	0.184	-0.184	2.489	00879	0.185	-0.185	2.504
S		0.054	-0.054	0.724		0.075	-0.075	1.018		0.055	-0.055	0.744		0.059	-0.059	0.799

Platee - Verifiche pressoflessione retta allo stato limite di esercizio

D	Nod o	σ_{ct}	σ_{cc}	σ_{at}	Nod o	σ_{ct}	σ_{cc}	σ_{at}	Nod o	σ_{ct}	σ_{cc}	σ_{at}	Nod o	σ_{ct}	σ_{cc}	σ_{at}
		[N/mm ²]	[N/mm ²]	[N/mm ²]		[N/mm ²]	[N/mm ²]	[N/mm ²]		[N/mm ²]	[N/mm ²]	[N/mm ²]		[N/mm ²]	[N/mm ²]	[N/mm ²]
P	00880	0.271	-0.271	3.657	00881	0.195	-0.195	2.629	00882	0.204	-0.204	2.758	00883	0.305	-0.305	4.118
S		0.073	-0.073	0.985		0.061	-0.061	0.829		0.076	-0.076	1.028		0.095	-0.095	1.277
P	00884	0.251	-0.251	3.386	01514	0.047	-0.048	0.630	01515	0.064	-0.065	0.870	01516	0.039	-0.037	0.529
S		0.136	-0.136	1.843		0.021	-0.021	0.284		0.094	-0.092	1.268		0.118	-0.121	1.594
P	01517	0.064	-0.065	0.866	01518	0.047	-0.048	0.630	01519	0.045	-0.043	0.613	01520	0.046	-0.046	0.618
S		0.094	-0.092	1.270		0.022	-0.023	0.303		0.076	-0.078	1.021		0.143	-0.143	1.928
P	01521	0.046	-0.046	0.617	01522	0.045	-0.043	0.614	01523	0.193	-0.200	2.600	01524	0.123	-0.123	1.655
S		0.143	-0.143	1.930		0.076	-0.078	1.029		0.017	-0.016	0.231		0.026	-0.026	0.345
P	01525	0.123	-0.123	1.656	01526	0.192	-0.200	2.593	01527	0.013	-0.010	0.182	01528	0.007	-0.007	0.090
S		0.026	-0.026	0.346		0.017	-0.016	0.233		0.005	-0.008	0.062		0.002	-0.002	0.031
P	01529	0.007	-0.007	0.090	01530	0.013	-0.009	0.180	01531	0.338	-0.341	4.556	01532	0.085	-0.085	1.153
S		0.002	-0.002	0.031		0.005	-0.008	0.061		0.045	-0.045	0.612		0.021	-0.021	0.288
P	01533	0.085	-0.085	1.153	01534	0.338	-0.341	4.557	01535	0.082	-0.080	1.113	01536	0.007	-0.007	0.098
S		0.021	-0.021	0.288		0.045	-0.045	0.612		0.006	-0.006	0.076		0.026	-0.026	0.351
P	01537	0.007	-0.007	0.098	01538	0.082	-0.081	1.114	01539	0.416	-0.419	5.612	01540	0.069	-0.069	0.928
S		0.026	-0.026	0.350		0.006	-0.006	0.076		0.056	-0.055	0.753		0.024	-0.024	0.329
P	01541	0.069	-0.069	0.928	01542	0.416	-0.419	5.613	01543	0.096	-0.097	1.289	01544	0.009	-0.009	0.127
S		0.024	-0.024	0.329		0.056	-0.055	0.753		0.005	-0.002	0.068		0.025	-0.025	0.338
P	01545	0.009	-0.009	0.127	01546	0.096	-0.097	1.289	01547	0.412	-0.412	5.558	01548	0.064	-0.064	0.863
S		0.025	-0.025	0.338		0.005	-0.002	0.068		0.066	-0.067	0.891		0.023	-0.023	0.304
P	01549	0.064	-0.064	0.862	01550	0.412	-0.412	5.559	01551	0.088	-0.089	1.188	01552	0.009	-0.009	0.121
S		0.023	-0.023	0.304		0.066	-0.067	0.891		0.005	-0.003	0.064		0.013	-0.013	0.174
P	01553	0.009	-0.009	0.121	01554	0.088	-0.090	1.189	01555	0.371	-0.367	5.009	01556	0.072	-0.072	0.969
S		0.013	-0.013	0.174		0.005	-0.003	0.064		0.077	-0.077	1.037		0.016	-0.016	0.220
P	01557	0.072	-0.072	0.969	01558	0.371	-0.367	5.011	01559	0.050	-0.052	0.680	01560	0.058	-0.058	0.789
S		0.016	-0.016	0.220		0.077	-0.077	1.037		0.011	-0.010	0.150		0.095	-0.095	1.285
P	01561	0.058	-0.058	0.789	01562	0.051	-0.052	0.681	01563	0.293	-0.284	3.960	01564	0.095	-0.095	1.282
S		0.095	-0.095	1.285		0.011	-0.010	0.151		0.048	-0.047	0.648		0.043	-0.043	0.586
P	01565	0.007	-0.007	0.091	01566	0.095	-0.095	1.283	01567	0.293	-0.284	3.960	01568	0.011	-0.013	0.145
S		0.095	-0.095	1.280		0.043	-0.043	0.586		0.048	-0.047	0.650		0.066	-0.067	0.897
P	01569	0.127	-0.127	1.720	01570	0.127	-0.127	1.720	01571	0.011	-0.012	0.142	01572	0.163	-0.158	2.204
S		0.169	-0.169	2.281		0.169	-0.169	2.281		0.066	-0.067	0.897		0.017	-0.018	0.230
P	01573	0.102	-0.102	1.379	01574	0.134	-0.134	1.813	01575	0.102	-0.102	1.379	01576	0.162	-0.157	2.184
S		0.140	-0.140	1.884		0.184	-0.184	2.488		0.140	-0.140	1.889		0.018	-0.019	0.238
P	01577	0.026	-0.027	0.355	01578	0.077	-0.078	1.038	01579	0.077	-0.077	1.034	01580	0.026	-0.027	0.355
S		0.062	-0.062	0.835		0.081	-0.081	1.095		0.081	-0.080	1.095		0.062	-0.063	0.843

LEGENDA Platee - Verifiche pressoflessione retta allo stato limite di esercizio

D	Direzione lungo la quale vengono fornite, per ciascun modo, le sollecitazioni.
SHEL	Elementi (shell) in cui viene scomposto (modellato) il setto, individuati dai relativi vertici.
L	
FRC	Spostamento massimo (freccia) dell'elemento shell [cm].
AA	Identificativo dell'aggressività dell'ambiente: [PCA] = Poco aggressivo - [MDA] = Moderatamente aggressivo - [MLA] = Molto aggressivo.
CA	Identificativo della Combinazione di Azione: [QPR] = Quasi Permanente - [FRQ] = Frequente - [RAR] = Rara.
e sm	Deformazione media nel calcestruzzo.
Ae	Area efficace del calcestruzzo teso [mm ²]
sm	Distanza media tra le fessure [mm].
wk	Apertura massima delle fessure [mm].
σ_{ct}	Valore della tensione massima di trazione nel calcestruzzo [N/mm ²].
σ_{cc}	Valore della tensione massima di compressione nel calcestruzzo [N/mm ²].
σ_{at}	Valore della tensione massima di trazione nell'acciaio [N/mm ²].

PALI - VERIFICHE A PRESSOFLESSIONE DEVIATA ALLO SLU (Fondazione)

pali - Verifiche a pressoflessione deviata allo SLU											
Palo	Nodo	N	Mx	My	CS	N ult	ϕ	nf	ϕ_{St}	Intrv	
		[N]	[N-m]	[N-m]		[N]	[mm]		[mm]		
PALO58	00040	1,549	-31	3,416	24.44	2,047,903	16	8	8	NO	
PALO59	00058	1,549	-31	3,416	24.44	2,047,903	16	8	8	NO	
PALO60	00059	1,549	-31	3,416	24.44	2,047,903	16	8	8	NO	
PALO61	00060	1,549	-31	3,416	24.44	2,047,903	16	8	8	NO	

pali - Verifiche a pressoflessione deviata allo SLU										
Palo	Nodo	N	Mx	My	CS	N ult	φ	nf	φSt	Intrv
		[N]	[N-m]	[N-m]		[N]	[mm]		[mm]	
PALO62	00061	1,549	-31	3,416	24.44	2,047,903	16	8	8	NO
PALO63	00062	1,549	-31	3,416	24.44	2,047,903	16	8	8	NO
PALO64	00063	1,549	-31	3,416	24.44	2,047,903	16	8	8	NO
PALO65	00064	1,549	-31	3,416	24.44	2,047,903	16	8	8	NO
PALO66	00065	1,549	-31	3,416	24.44	2,047,903	16	8	8	NO
PALO57	00066	1,549	-31	3,416	24.44	2,047,903	16	8	8	NO
PALO55	00067	1,549	-31	3,416	24.44	2,047,903	16	8	8	NO
PALO53	00068	1,549	-31	3,416	24.44	2,047,903	16	8	8	NO
PALO51	00069	1,549	-31	3,416	24.44	2,047,903	16	8	8	NO
PALO49	00070	1,549	-31	3,416	24.44	2,047,903	16	8	8	NO
PALO46	00071	1,549	-31	3,416	24.44	2,047,903	16	8	8	NO
PALO43	00072	1,549	-31	3,416	24.44	2,047,903	16	8	8	NO
PALO41	00073	1,549	-31	3,416	24.44	2,047,903	16	8	8	NO
PALO39	00074	1,549	-31	3,416	24.44	2,047,903	16	8	8	NO
PALO37	00075	1,549	-31	3,416	24.44	2,047,903	16	8	8	NO
PALO35	00076	1,549	-31	3,416	24.44	2,047,903	16	8	8	NO
PALO32	00077	1,549	-31	3,416	24.44	2,047,903	16	8	8	NO
PALO29	00078	1,549	-31	3,416	24.44	2,047,903	16	8	8	NO
PALO27	00079	1,549	-31	3,416	24.44	2,047,903	16	8	8	NO
PALO22	00080	1,549	-31	3,416	24.44	2,047,903	16	8	8	NO
PALO23	00081	1,549	-31	3,416	24.44	2,047,903	16	8	8	NO
PALO24	00082	1,549	-31	3,416	24.44	2,047,903	16	8	8	NO
PALO25	00083	1,549	-31	3,416	24.44	2,047,903	16	8	8	NO
PALO18	00039	1,549	-31	3,416	24.44	2,047,903	16	8	8	NO
PALO17	00084	1,549	-31	3,416	24.44	2,047,903	16	8	8	NO
PALO16	00085	1,549	-31	3,416	24.44	2,047,903	16	8	8	NO
PALO15	00086	1,549	-31	3,416	24.44	2,047,903	16	8	8	NO
PALO12	00087	1,549	-31	3,416	24.44	2,047,903	16	8	8	NO
PALO10	00088	1,549	-31	3,416	24.44	2,047,903	16	8	8	NO
PALO9	00089	1,549	-31	3,416	24.44	2,047,903	16	8	8	NO
PALO8	00090	1,549	-31	3,416	24.44	2,047,903	16	8	8	NO
PALO7	00091	1,549	-31	3,416	24.44	2,047,903	16	8	8	NO
PALO6	00092	1,549	-31	3,416	24.44	2,047,903	16	8	8	NO
PALO5	00093	1,549	-31	3,416	24.44	2,047,903	16	8	8	NO
PALO4	00094	1,549	-31	3,416	24.44	2,047,903	16	8	8	NO
PALO3	00095	1,549	-31	3,416	24.44	2,047,903	16	8	8	NO
PALO11	00096	1,549	-31	3,416	24.44	2,047,903	16	8	8	NO
PALO14	00097	1,549	-31	3,416	24.44	2,047,903	16	8	8	NO
PALO19	00098	1,549	-31	3,416	24.44	2,047,903	16	8	8	NO
PALO20	00099	1,549	-31	3,416	24.44	2,047,903	16	8	8	NO
PALO21	00100	1,549	-31	3,416	24.44	2,047,903	16	8	8	NO
PALO26	00101	1,549	-31	3,416	24.44	2,047,903	16	8	8	NO
PALO28	00102	1,549	-31	3,416	24.44	2,047,903	16	8	8	NO
PALO31	00103	1,549	-31	3,416	24.44	2,047,903	16	8	8	NO
PALO34	00104	1,549	-31	3,416	24.44	2,047,903	16	8	8	NO
PALO36	00105	1,549	-31	3,416	24.44	2,047,903	16	8	8	NO
PALO38	00106	1,549	-31	3,416	24.44	2,047,903	16	8	8	NO
PALO40	00107	1,549	-31	3,416	24.44	2,047,903	16	8	8	NO
PALO42	00108	1,549	-31	3,416	24.44	2,047,903	16	8	8	NO
PALO45	00109	1,549	-31	3,416	24.44	2,047,903	16	8	8	NO
PALO48	00110	1,549	-31	3,416	24.44	2,047,903	16	8	8	NO
PALO50	00111	1,549	-31	3,416	24.44	2,047,903	16	8	8	NO
PALO52	00112	1,549	-31	3,416	24.44	2,047,903	16	8	8	NO
PALO54	00113	1,549	-31	3,416	24.44	2,047,903	16	8	8	NO
PALO56	00114	1,549	-31	3,416	24.44	2,047,903	16	8	8	NO
PALO44	00041	1,549	-31	3,416	24.44	2,047,903	16	8	8	NO
PALO30	00042	1,549	-31	3,416	24.44	2,047,903	16	8	8	NO
PALO13	00046	1,549	-31	3,416	24.44	2,047,903	16	8	8	NO
PALO1	00054	1,549	-31	3,416	24.44	2,047,903	16	8	8	NO
PALO2	00043	1,549	-31	3,416	24.44	2,047,903	16	8	8	NO
PALO33	00053	1,549	-31	3,416	24.44	2,047,903	16	8	8	NO
PALO47	00052	1,549	-31	3,416	24.44	2,047,903	16	8	8	NO
PALO67	00038	1,549	-31	3,416	24.44	2,047,903	16	8	8	NO

LEGENDA Pali - Verifiche a pressoflessione deviata allo SLU

Palo Identificativo del palo.

Nodo Identificativo del nodo in testa al palo.

N, Mx, My Valori della terna di sollecitazione cui corrisponde il minimo coefficiente di sicurezza.

CS Minimo Coefficiente di sicurezza: [NS] = Non Significativo - Per valori di CS maggiori o uguali a 100. (Le sollecitazioni ultime Nu, Mxu, Myu sono date da N, Mx, My moltiplicate per CS).

N ult Sforzo normale ultimo per compressione semplice.

φ Diametro delle barre di acciaio nei vertici.

nf Numero delle barre di acciaio nei vertici.

φSt Diametro delle staffe.

Intrv [SI] = nodo con presenza di rinforzo; [NO] = nodo senza rinforzo.

PALI - VERIFICHE A TAGLIO (Fondazione)

Pali - Verifiche a Taglio														
Palo	Nodo	Tc	CS	Vcc		Vwd		Vcd		Vwp		Aft	Pst	φSt
		[N]		X	Y	X	Y	X	Y	X	Y	[cm²/cm]	[cm]	[mm]
				[N]	[N]	[N]	[N]	[N]	[N]	[N]	[N]			

Pali - Verifiche a Taglio															
Palo	Nodo	Tc	CS	Vcc		Vwd		Vcd		Vwp		Aft	Pst	φSt	Intrv
				X	Y	X	Y	X	Y	X	Y				
		[N]		[N]	[N]	[N]	[N]	[N]	[N]	[N]	[N]	[cm ² /cm]	[cm]	[mm]	
PALO58	00040	15,949	9.99	3152	0	1593	0	0	0	0	0	0.0503	20	8	NO
				86		20									
PALO59	00058	15,007	10.62	3152	0	1593	0	0	0	0	0	0.0503	20	8	NO
				86		20									
PALO60	00059	14,248	11.18	3152	0	1593	0	0	0	0	0	0.0503	20	8	NO
				86		20									
PALO61	00060	13,373	11.91	3152	0	1593	0	0	0	0	0	0.0503	20	8	NO
				86		20									
PALO62	00061	12,698	12.55	3152	0	1593	0	0	0	0	0	0.0503	20	8	NO
				86		20									
PALO63	00062	12,710	12.54	3152	0	1593	0	0	0	0	0	0.0503	20	8	NO
				86		20									
PALO64	00063	13,049	12.21	3152	0	1593	0	0	0	0	0	0.0503	20	8	NO
				86		20									
PALO65	00064	13,613	11.70	3152	0	1593	0	0	0	0	0	0.0503	20	8	NO
				86		20									
PALO66	00065	14,140	11.27	3152	0	1593	0	0	0	0	0	0.0503	20	8	NO
				86		20									
PALO57	00066	14,285	11.15	3152	0	1593	0	0	0	0	0	0.0503	20	8	NO
				86		20									
PALO55	00067	14,327	11.12	3152	0	1593	0	0	0	0	0	0.0503	20	8	NO
				86		20									
PALO53	00068	14,359	11.10	3152	0	1593	0	0	0	0	0	0.0503	20	8	NO
				86		20									
PALO51	00069	14,389	11.07	3152	0	1593	0	0	0	0	0	0.0503	20	8	NO
				86		20									
PALO49	00070	14,420	11.05	3152	0	1593	0	0	0	0	0	0.0503	20	8	NO
				86		20									
PALO46	00071	14,447	11.03	3152	0	1593	0	0	0	0	0	0.0503	20	8	NO
				86		20									
PALO43	00072	14,473	11.01	3152	0	1593	0	0	0	0	0	0.0503	20	8	NO
				86		20									
PALO41	00073	14,500	10.99	3152	0	1593	0	0	0	0	0	0.0503	20	8	NO
				86		20									
PALO39	00074	14,529	10.97	3152	0	1593	0	0	0	0	0	0.0503	20	8	NO
				86		20									
PALO37	00075	14,560	10.94	3152	0	1593	0	0	0	0	0	0.0503	20	8	NO
				86		20									
PALO35	00076	14,592	10.92	3152	0	1593	0	0	0	0	0	0.0503	20	8	NO
				86		20									
PALO32	00077	14,505	10.98	3152	0	1593	0	0	0	0	0	0.0503	20	8	NO
				86		20									
PALO29	00078	14,557	10.94	3152	0	1593	0	0	0	0	0	0.0503	20	8	NO
				86		20									
PALO27	00079	14,615	10.90	3152	0	1593	0	0	0	0	0	0.0503	20	8	NO
				86		20									
PALO22	00080	14,679	10.85	3152	0	1593	0	0	0	0	0	0.0503	20	8	NO
				86		20									
PALO23	00081	14,799	10.77	3152	0	1593	0	0	0	0	0	0.0503	20	8	NO
				86		20									
PALO24	00082	14,930	10.67	3152	0	1593	0	0	0	0	0	0.0503	20	8	NO
				86		20									
PALO25	00083	15,101	10.55	3152	0	1593	0	0	0	0	0	0.0503	20	8	NO
				86		20									
PALO18	00039	16,276	9.79	3152	0	1593	0	0	0	0	0	0.0503	20	8	NO
				86		20									
PALO17	00084	16,039	9.93	3152	0	1593	0	0	0	0	0	0.0503	20	8	NO
				86		20									
PALO16	00085	15,801	10.08	3152	0	1593	0	0	0	0	0	0.0503	20	8	NO
				86		20									
PALO15	00086	15,574	10.23	3152	0	1593	0	0	0	0	0	0.0503	20	8	NO
				86		20									
PALO12	00087	16,036	9.94	3152	0	1593	0	0	0	0	0	0.0503	20	8	NO
				86		20									
PALO10	00088	16,476	9.67	3152	0	1593	0	0	0	0	0	0.0503	20	8	NO
				86		20									
PALO9	00089	16,338	9.75	3152	0	1593	0	0	0	0	0	0.0503	20	8	NO
				86		20									
PALO8	00090	16,255	9.80	3152	0	1593	0	0	0	0	0	0.0503	20	8	NO
				86		20									
PALO7	00091	16,410	9.71	3152	0	1593	0	0	0	0	0	0.0503	20	8	NO
				86		20									
PALO6	00092	16,582	9.61	3152	0	1593	0	0	0	0	0	0.0503	20	8	NO
				86		20									
PALO5	00093	16,779	9.50	3152	0	1593	0	0	0	0	0	0.0503	20	8	NO
				86		20									
PALO4	00094	16,983	9.38	3152	0	1593	0	0	0	0	0	0.0503	20	8	NO
				86		20									
PALO3	00095	17,190	9.27	3152	0	1593	0	0	0	0	0	0.0503	20	8	NO
				86		20									
PALO11	00096	16,828	9.47	3152	0	1593	0	0	0	0	0	0.0503	20	8	NO

Pali - Verifiche a Taglio															
Palo	Nodo	Tc	CS	Vcc		Vwd		Vcd		Vwp		Aft	Pst	φSt	Intrv
		[N]		X	Y	X	Y	X	Y	X	Y	[cm²/cm]	[cm]	[mm]	
PALO14	00097	16,416	9.71	86 3152	0	20 1593		0	0	0	0	0.0503	20	8	NO
PALO19	00098	16,060	9.92	86 3152	0	20 1593	0	0	0	0	0	0.0503	20	8	NO
PALO20	00099	15,985	9.97	86 3152	0	20 1593	0	0	0	0	0	0.0503	20	8	NO
PALO21	00100	15,922	10.01	86 3152	0	20 1593	0	0	0	0	0	0.0503	20	8	NO
PALO26	00101	15,862	10.04	86 3152	0	20 1593	0	0	0	0	0	0.0503	20	8	NO
PALO28	00102	15,806	10.08	86 3152	0	20 1593	0	0	0	0	0	0.0503	20	8	NO
PALO31	00103	15,676	10.16	86 3152	0	20 1593	0	0	0	0	0	0.0503	20	8	NO
PALO34	00104	15,646	10.18	86 3152	0	20 1593	0	0	0	0	0	0.0503	20	8	NO
PALO36	00105	15,614	10.20	86 3152	0	20 1593	0	0	0	0	0	0.0503	20	8	NO
PALO38	00106	15,583	10.22	86 3152	0	20 1593	0	0	0	0	0	0.0503	20	8	NO
PALO40	00107	15,544	10.25	86 3152	0	20 1593	0	0	0	0	0	0.0503	20	8	NO
PALO42	00108	15,506	10.27	86 3152	0	20 1593	0	0	0	0	0	0.0503	20	8	NO
PALO45	00109	15,468	10.30	86 3152	0	20 1593	0	0	0	0	0	0.0503	20	8	NO
PALO48	00110	15,425	10.33	86 3152	0	20 1593	0	0	0	0	0	0.0503	20	8	NO
PALO50	00111	15,380	10.36	86 3152	0	20 1593	0	0	0	0	0	0.0503	20	8	NO
PALO52	00112	15,332	10.39	86 3152	0	20 1593	0	0	0	0	0	0.0503	20	8	NO
PALO54	00113	15,279	10.43	86 3152	0	20 1593	0	0	0	0	0	0.0503	20	8	NO
PALO56	00114	15,218	10.47	86 3152	0	20 1593	0	0	0	0	0	0.0503	20	8	NO
PALO44	00041	16,278	9.79	86 3152	0	20 1593	0	0	0	0	0	0.0503	20	8	NO
PALO30	00042	16,477	9.67	86 3152	0	20 1593	0	0	0	0	0	0.0503	20	8	NO
PALO13	00046	17,149	9.29	86 3152	0	20 1593	0	0	0	0	0	0.0503	20	8	NO
PALO1	00054	19,597	8.13	86 3152	0	20 1593	0	0	0	0	0	0.0503	20	8	NO
PALO2	00043	18,830	8.46	86 3152	0	20 1593	0	0	0	0	0	0.0503	20	8	NO
PALO33	00053	14,951	10.66	86 3152	0	20 1593	0	0	0	0	0	0.0503	20	8	NO
PALO47	00052	14,960	10.65	86 3152	0	20 1593	0	0	0	0	0	0.0503	20	8	NO
PALO67	00038	14,708	10.83	86 3152	0	20 1593	0	0	0	0	0	0.0503	20	8	NO

LEGENDA Pali - Verifiche a Taglio

Palo	Identificativo del palo.
Nodo	Identificativo del nodo in testa al palo.
Tc	Valori della massima sollecitazione di taglio composta in funzione di Tx, Ty e dell'asse neutro.
CS	Minimo Coefficiente di sicurezza: [NS] = Non Significativo - Per valori di CS maggiori o uguali a 100.
Vcc	Taglio ultimo per conglomerato compresso.
Vwd	Contributo acciaio al taglio ultimo dovuto alle staffe.
Vcd	Contributo del calcestruzzo al taglio ultimo.
Vwp	Taglio ultimo dovuto ai ferri piegati.
Aft	Area di ferro per il taglio per centimetro.
Pst	Passo massimo staffe da Normativa.
φSt	Diametri delle staffe.
Intrv	[SI] = nodo con presenza di rinforzo; [NO] = nodo senza rinforzo.

PALI - VERIFICHE A CARICO LIMITE VERTICALE E ORIZZONTALE

pali - Verifiche a carico limite verticale e orizzontale												
Palo	Nodo	QMaxVrt	QMaxOrz	QdVrt	QdVPnt	QdVLtrl	QdOrz	MMaxOrz	Tipo Rottura	Prof Cern	CS Vert	CS Oriz
		[N]	[N]	[N]	[N]	[N]	[N]	[Nm]		[m]		
PALO58	00040	21477	15949	473172	257681	215491	61830	87842	Palo Lungo	2.05	22.03	3.88
PALO59	00058	17537	15007	473172	257681	215491	61830	87842	Palo Lungo	2.05	26.98	4.12
PALO60	00059	17242	14248	473172	257681	215491	61830	87842	Palo Lungo	2.05	27.44	4.34
PALO61	00060	17084	13373	473172	257681	215491	61830	87842	Palo	2.05	27.70	4.62

pali - Verifiche a carico limite verticale e orizzontale												
Palo	Nodo	QMaxVrt	QMaxOr z	QdVrt	QdVPnt	QdVLtrl	QdOrz	MMaxOr z	Tipo Rottura	Prof Cern	CS Vert	CS Oriz
		[N]	[N]	[N]	[N]	[N]	[N]	[Nm]		[m]		
PALO62	00061	17004	12698	473172	257681	215491	61830	87842	Lungo Palo	2.05	27.83	4.87
PALO63	00062	17008	12710	473172	257681	215491	61830	87842	Lungo Palo	2.05	27.82	4.86
PALO64	00063	17081	13049	473172	257681	215491	61830	87842	Lungo Palo	2.05	27.70	4.74
PALO65	00064	17244	13613	473172	257681	215491	61830	87842	Lungo Palo	2.05	27.44	4.54
PALO66	00065	17538	14140	473172	257681	215491	61830	87842	Lungo Palo	2.05	26.98	4.37
PALO57	00066	16949	14285	473172	257681	215491	61830	87842	Lungo Palo	2.05	27.92	4.33
PALO55	00067	16114	14327	473172	257681	215491	61830	87842	Lungo Palo	2.05	29.36	4.32
PALO53	00068	15547	14359	473172	257681	215491	61830	87842	Lungo Palo	2.05	30.43	4.31
PALO51	00069	15263	14389	473172	257681	215491	61830	87842	Lungo Palo	2.05	31.00	4.30
PALO49	00070	15161	14420	473172	257681	215491	61830	87842	Lungo Palo	2.05	31.21	4.29
PALO46	00071	15139	14447	473172	257681	215491	61830	87842	Lungo Palo	2.05	31.26	4.28
PALO43	00072	15139	14473	473172	257681	215491	61830	87842	Lungo Palo	2.05	31.26	4.27
PALO41	00073	15143	14500	473172	257681	215491	61830	87842	Lungo Palo	2.05	31.25	4.26
PALO39	00074	15148	14529	473172	257681	215491	61830	87842	Lungo Palo	2.05	31.24	4.26
PALO37	00075	15158	14560	473172	257681	215491	61830	87842	Lungo Palo	2.05	31.22	4.25
PALO35	00076	15171	14592	473172	257681	215491	61830	87842	Lungo Palo	2.05	31.19	4.24
PALO32	00077	15181	14505	473172	257681	215491	61830	87842	Lungo Palo	2.05	31.17	4.26
PALO29	00078	15181	14557	473172	257681	215491	61830	87842	Lungo Palo	2.05	31.17	4.25
PALO27	00079	15181	14615	473172	257681	215491	61830	87842	Lungo Palo	2.05	31.17	4.23
PALO22	00080	15182	14679	473172	257681	215491	61830	87842	Lungo Palo	2.05	31.17	4.21
PALO23	00081	16093	14799	473172	257681	215491	61830	87842	Lungo Palo	2.05	29.40	4.18
PALO24	00082	17771	14930	473172	257681	215491	61830	87842	Lungo Palo	2.05	26.63	4.14
PALO25	00083	20563	15101	473172	257681	215491	61830	87842	Lungo Palo	2.05	23.01	4.09
PALO18	00039	20562	16276	473172	257681	215491	61830	87842	Lungo Palo	2.05	23.01	3.80
PALO17	00084	17890	16039	473172	257681	215491	61830	87842	Lungo Palo	2.05	26.45	3.85
PALO16	00085	16160	15801	473172	257681	215491	61830	87842	Lungo Palo	2.05	29.28	3.91
PALO15	00086	15292	15574	473172	257681	215491	61830	87842	Lungo Palo	2.05	30.94	3.97
PALO12	00087	15425	16036	473172	257681	215491	61830	87842	Lungo Palo	2.05	30.68	3.86
PALO10	00088	15524	16476	473172	257681	215491	61830	87842	Lungo Palo	2.05	30.48	3.75
PALO9	00089	15436	16338	473172	257681	215491	61830	87842	Lungo Palo	2.05	30.65	3.78
PALO8	00090	15487	16255	473172	257681	215491	61830	87842	Lungo Palo	2.05	30.55	3.80
PALO7	00091	15536	16410	473172	257681	215491	61830	87842	Lungo Palo	2.05	30.46	3.77
PALO6	00092	15536	16582	473172	257681	215491	61830	87842	Lungo Palo	2.05	30.46	3.73
PALO5	00093	15482	16779	473172	257681	215491	61830	87842	Lungo Palo	2.05	30.56	3.68
PALO4	00094	15427	16983	473172	257681	215491	61830	87842	Lungo Palo	2.05	30.67	3.64
PALO3	00095	15512	17190	473172	257681	215491	61830	87842	Lungo Palo	2.05	30.50	3.60
PALO11	00096	15409	16828	473172	257681	215491	61830	87842	Lungo Palo	2.05	30.71	3.67
PALO14	00097	15275	16416	473172	257681	215491	61830	87842	Lungo Palo	2.05	30.98	3.77
PALO19	00098	15200	16060	473172	257681	215491	61830	87842	Lungo Palo	2.05	31.13	3.85
PALO20	00099	15163	15985	473172	257681	215491	61830	87842	Lungo Palo	2.05	31.21	3.87

pali - Verifiche a carico limite verticale e orizzontale												
Palo	Nodo	QMaxVrt	QMaxOrz	QdVrt	QdVPnt	QdVLtrl	QdOrz	MMaxOrz	Tipo Rottura	Prof Cern	CS Vert	CS Oriz
		[N]	[N]	[N]	[N]	[N]	[N]	[Nm]		[m]		
PALO21	00100	15145	15922	473172	257681	215491	61830	87842	Palo Lungo	2.05	31.24	3.88
PALO26	00101	15150	15862	473172	257681	215491	61830	87842	Palo Lungo	2.05	31.23	3.90
PALO28	00102	15156	15806	473172	257681	215491	61830	87842	Palo Lungo	2.05	31.22	3.91
PALO31	00103	15159	15676	473172	257681	215491	61830	87842	Palo Lungo	2.05	31.21	3.94
PALO34	00104	15156	15646	473172	257681	215491	61830	87842	Palo Lungo	2.05	31.22	3.95
PALO36	00105	15144	15614	473172	257681	215491	61830	87842	Palo Lungo	2.05	31.24	3.96
PALO38	00106	15138	15583	473172	257681	215491	61830	87842	Palo Lungo	2.05	31.26	3.97
PALO40	00107	15136	15544	473172	257681	215491	61830	87842	Palo Lungo	2.05	31.26	3.98
PALO42	00108	15133	15506	473172	257681	215491	61830	87842	Palo Lungo	2.05	31.27	3.99
PALO45	00109	15131	15468	473172	257681	215491	61830	87842	Palo Lungo	2.05	31.27	4.00
PALO48	00110	15154	15425	473172	257681	215491	61830	87842	Palo Lungo	2.05	31.22	4.01
PALO50	00111	15257	15380	473172	257681	215491	61830	87842	Palo Lungo	2.05	31.01	4.02
PALO52	00112	15541	15332	473172	257681	215491	61830	87842	Palo Lungo	2.05	30.45	4.03
PALO54	00113	16108	15279	473172	257681	215491	61830	87842	Palo Lungo	2.05	29.37	4.05
PALO56	00114	16943	15218	473172	257681	215491	61830	87842	Palo Lungo	2.05	27.93	4.06
PALO44	00041	20782	16278	473172	257681	215491	61830	87842	Palo Lungo	2.05	22.77	3.80
PALO30	00042	21075	16477	473172	257681	215491	61830	87842	Palo Lungo	2.05	22.45	3.75
PALO13	00046	20691	17149	473172	257681	215491	61830	87842	Palo Lungo	2.05	22.87	3.61
PALO1	00054	21409	19597	473172	257681	215491	72263	110989	Palo Lungo	2.22	22.10	3.69
PALO2	00043	21410	18830	473172	257681	215491	61830	87842	Palo Lungo	2.05	22.10	3.28
PALO33	00053	21003	14951	473172	257681	215491	61830	87842	Palo Lungo	2.05	22.53	4.14
PALO47	00052	20777	14960	473172	257681	215491	61830	87842	Palo Lungo	2.05	22.77	4.13
PALO67	00038	21457	14708	473172	257681	215491	61830	87842	Palo Lungo	2.05	22.05	4.20

LEGENDA pali - Verifiche a carico limite verticale e orizzontale

Palo	Identificativo del palo.
Nodo	Identificativo del nodo all'estremo superiore del palo.
QMaxVrt	Carico verticale di progetto allo SLU.
QMaxOrz	Carico orizzontale di progetto allo SLU.
QdVrt	Resistenza di progetto verticale.
QdVPnt	Aliquota della resistenza di progetto verticale dovuto alla resistenza alla punta.
QdVLtrl	Aliquota della resistenza di progetto verticale dovuto alla resistenza laterale.
QdOrz	Resistenza di progetto orizzontale.
MMaxOrz	Momento massimo lungo il palo per carichi orizzontali.
Tipo Rottura	Modalita' di rottura per carico limite orizzontale (Palo Corto, Palo Medio, Palo Lungo).
Prof Cern	Profondita' della seconda cerniera plastica.
CS Vert	Coefficiente di sicurezza per carichi verticali: [NS]= Non significativo.
CS Oriz	Coefficiente di sicurezza per carichi orizzontali: [NS]= Non significativo.

VERIFICHE PER CARICO LIMITE SU FONDAZIONI DIRETTE (Fondazione)

Verifiche per Carico Limite su fondazioni dirette																
Descrizione	CS	Dimensioni e orientazione			Prof	Falda	Comp. Terreno	Coef. Cor. Terzaghi			Coef. Calc. Terzaghi			QMax	Qd,Rd	Intrv
		X	Y	Rtz				per N _q	per N _c	per N _γ	per N _q	per N _c	per N _γ			
		[m]	[m]	[°]	[m]	[m]								[N/mm ²]	[N/mm ²]	
Platea 1	32.05	11.45	4.20	90.00	0.65	-	NON Coesivo	1.36	0.00	0.85	64.20	75.31	109.41	0.075	2.418	NO

LEGENDA - Verifiche per Carico Limite su fondazioni dirette

Descrizione	Descrizione dell'oggetto di fondazione al quale è riferita la verifica.
CS	Coefficiente di sicurezza [NS] = Non significativo.
Dimensioni	Dimensioni dell'elemento di fondazione.
Rtz	Angolo compreso tra l'asse X e il lato più lungo del minimo rettangolo che delimita il poligono della platea.
Prof	Profondità di posa dell'elemento di fondazione dal piano campagna.
Falda	Profondità di falda sotto l'elemento di fondazione dal piano campagna.
Comp.	Classificazione del comportamento del terreno ai fini del calcolo.

Verifiche per Carico Limite su fondazioni dirette																
Descrizione	CS	Dimensioni e orientazione			Prof	Falda	Comp. Terreno	Coef. Cor. Terzaghi			Coef. Calc. Terzaghi			QMax	Qd,R _d	Intrv
		X	Y	Rtz				per N _q	per N _c	per N _γ	per N _q	per N _c	per N _γ			
		[m]	[m]	[°]	[m]	[m]							[N/mm ²]	[N/mm ²]		
Terreno																
Coef. Cor.																
Terzaghi																
Coef. Calc.																
Terzaghi																
QMax																
Qd,Rd																
Intrv																

Terreno

Coef. Cor.

Terzaghi

Coef. Calc.

Terzaghi

QMax

Qd,Rd

Intrv

Coefficienti correttivi per la formula di Terzaghi.

Coefficienti di calcolo per la formula di Terzaghi.

Carico Massimo di Progetto allo SLU.

Resistenza di progetto del terreno.

[SI] = nodo con presenza di rinforzo; [NO] = nodo senza rinforzo.

GEOTECNICA - VERIFICHE A SCORRIMENTO (Fondazione)

Geotecnica - Verifiche a scorrimento										
elemento	dir.	N	M	T	F _{RD1}	F _{RD2}	F _{RD3}	F _{RD}	CS	
		[N]	[Nm]	[N]	[N]	[N]	[N]			
Platea 1	B	2703466	-5033273	-883357	2062252	0	52678	2114931	2.39	
	L	2704868	3517825	-724384	2063322	0	143662	2206983	3.05	

LEGENDA Geotecnica - Verifiche a scorrimento

elemento	Elemento di fondazione su cui si esegue la verifica.
dir.	Direzione di verifica : per Plinti [B]= asse locale 2; [L]= asse locale 3. Per Winkler [B]= asse locale 3; [L]= asse locale 1. Per Platee [B]= asse globale y; [L]= asse globale x.
N, M, T	Sforzo Normale, Momento e Taglio di progetto.
F_{RD1}	Aliquota di resistenza allo scorrimento per attrito terra-fondazione.
F_{RD2}	Aliquota di resistenza allo scorrimento per adesione.
F_{RD3}	Aliquota di resistenza allo scorrimento per affondamento.
F_{RD}	Resistenza allo scorrimento
CS	Coefficienti di sicurezza: [NS] = Non Significativo - Per valori di CS maggiori o uguali a 100.

GEOTECNICA - CALCOLO DEI CEDIMENTI (Fondazione)

Geotecnica - Calcolo dei cedimenti							
Cedimento	Nodo	N	W _{ed}	W ₀	W _c	W _f	
			[cm]	[cm]	[cm]	[cm]	
SLE Rare: +1.00*Carico Permanente +1.00*Permanenti NON Strutturali +1.00*Coperture +0.50*Carico da Neve <= 1000 m s.l.m. +0.70*Abitazioni +1.00*Spinta Terreno (statica)							
C0015	00024	P1	0.00	0.00	0.00	0.00	
C0016	00027	P2	0.00	0.00	0.00	0.00	
C0017	00025	P5	0.00	0.00	0.00	0.00	
C0018	00026	P6	0.00	0.00	0.00	0.00	
C0019	00031	P3	0.00	0.00	0.00	0.00	
C0020	00032	P4	0.00	0.00	0.00	0.00	
C0021	00824	P1-P5*	0.00	0.00	0.00	0.00	
C0022	00839	P1-P2*	0.00	0.00	0.00	0.00	
C0023	00854	P2-P6*	0.00	0.00	0.00	0.00	
C0024	00868	P5-P6*	0.00	0.00	0.00	0.00	
C0025	00878	P3-P4*	0.00	0.00	0.00	0.00	
C0026	00877	P3-P4*	0.00	0.00	0.00	0.00	
C0027	00019		0.00	0.00	0.00	0.00	
C0028	00018		0.00	0.00	0.00	0.00	
C0029	00017		0.00	0.00	0.00	0.00	
C0030	00016		0.00	0.00	0.00	0.00	
SLE Rare: +1.00*Carico Permanente +1.00*Permanenti NON Strutturali +1.00*Carico da Neve <= 1000 m s.l.m. +0.70*Abitazioni +1.00*Spinta Terreno (statica)							
C0015	00024	P1	0.00	0.00	0.00	0.00	
C0016	00027	P2	0.00	0.00	0.00	0.00	
C0017	00025	P5	0.00	0.00	0.00	0.00	
C0018	00026	P6	0.00	0.00	0.00	0.00	
C0019	00031	P3	0.00	0.00	0.00	0.00	
C0020	00032	P4	0.00	0.00	0.00	0.00	
C0021	00824	P1-P5*	0.00	0.00	0.00	0.00	
C0022	00839	P1-P2*	0.00	0.00	0.00	0.00	
C0023	00854	P2-P6*	0.00	0.00	0.00	0.00	
C0024	00868	P5-P6*	0.00	0.00	0.00	0.00	
C0025	00878	P3-P4*	0.00	0.00	0.00	0.00	
C0026	00877	P3-P4*	0.00	0.00	0.00	0.00	
C0027	00019		0.00	0.00	0.00	0.00	
C0028	00018		0.00	0.00	0.00	0.00	
C0029	00017		0.00	0.00	0.00	0.00	
C0030	00016		0.00	0.00	0.00	0.00	
SLE Rare: +1.00*Carico Permanente +1.00*Permanenti NON Strutturali +0.50*Carico da Neve <= 1000 m s.l.m. +1.00*Abitazioni +1.00*Spinta Terreno (statica)							
C0015	00024	P1	0.00	0.00	0.00	0.00	
C0016	00027	P2	0.00	0.00	0.00	0.00	
C0017	00025	P5	0.00	0.00	0.00	0.00	
C0018	00026	P6	0.00	0.00	0.00	0.00	
C0019	00031	P3	0.00	0.00	0.00	0.00	
C0020	00032	P4	0.00	0.00	0.00	0.00	
C0021	00824	P1-P5*	0.00	0.00	0.00	0.00	
C0022	00839	P1-P2*	0.00	0.00	0.00	0.00	

Geotecnica - Calcolo dei cedimenti						
Cedimento	Nodo	N	W _{ed} [cm]	W _o [cm]	W _c [cm]	W _f [cm]
C0023	00854	P2-P6*	0.00	0.00	0.00	0.00
C0024	00868	P5-P6*	0.00	0.00	0.00	0.00
C0025	00878	P3-P4*	0.00	0.00	0.00	0.00
C0026	00877	P3-P4*	0.00	0.00	0.00	0.00
C0027	00019		0.00	0.00	0.00	0.00
C0028	00018		0.00	0.00	0.00	0.00
C0029	00017		0.00	0.00	0.00	0.00
C0030	00016		0.00	0.00	0.00	0.00
SLE Rare: +1.00*Carico Permanente +1.00*Permanenti NON Strutturali +0.50*Carico da Neve <= 1000 m s.l.m. +0.70*Abitazioni +1.00*Spinta Terreno (statica)						
C0015	00024	P1	0.00	0.00	0.00	0.00
C0016	00027	P2	0.00	0.00	0.00	0.00
C0017	00025	P5	0.00	0.00	0.00	0.00
C0018	00026	P6	0.00	0.00	0.00	0.00
C0019	00031	P3	0.00	0.00	0.00	0.00
C0020	00032	P4	0.00	0.00	0.00	0.00
C0021	00824	P1-P5*	0.00	0.00	0.00	0.00
C0022	00839	P1-P2*	0.00	0.00	0.00	0.00
C0023	00854	P2-P6*	0.00	0.00	0.00	0.00
C0024	00868	P5-P6*	0.00	0.00	0.00	0.00
C0025	00878	P3-P4*	0.00	0.00	0.00	0.00
C0026	00877	P3-P4*	0.00	0.00	0.00	0.00
C0027	00019		0.00	0.00	0.00	0.00
C0028	00018		0.00	0.00	0.00	0.00
C0029	00017		0.00	0.00	0.00	0.00
C0030	00016		0.00	0.00	0.00	0.00
SLE Freq: +1.00*Carico Permanente +1.00*Permanenti NON Strutturali +0.30*Abitazioni +1.00*Spinta Terreno (statica)						
C0015	00024	P1	0.00	0.00	0.00	0.00
C0016	00027	P2	0.00	0.00	0.00	0.00
C0017	00025	P5	0.00	0.00	0.00	0.00
C0018	00026	P6	0.00	0.00	0.00	0.00
C0019	00031	P3	0.00	0.00	0.00	0.00
C0020	00032	P4	0.00	0.00	0.00	0.00
C0021	00824	P1-P5*	0.00	0.00	0.00	0.00
C0022	00839	P1-P2*	0.00	0.00	0.00	0.00
C0023	00854	P2-P6*	0.00	0.00	0.00	0.00
C0024	00868	P5-P6*	0.00	0.00	0.00	0.00
C0025	00878	P3-P4*	0.00	0.00	0.00	0.00
C0026	00877	P3-P4*	0.00	0.00	0.00	0.00
C0027	00019		0.00	0.00	0.00	0.00
C0028	00018		0.00	0.00	0.00	0.00
C0029	00017		0.00	0.00	0.00	0.00
C0030	00016		0.00	0.00	0.00	0.00
SLE Freq: +1.00*Carico Permanente +1.00*Permanenti NON Strutturali +0.20*Carico da Neve <= 1000 m s.l.m. +0.30*Abitazioni +1.00*Spinta Terreno (statica)						
C0015	00024	P1	0.00	0.00	0.00	0.00
C0016	00027	P2	0.00	0.00	0.00	0.00
C0017	00025	P5	0.00	0.00	0.00	0.00
C0018	00026	P6	0.00	0.00	0.00	0.00
C0019	00031	P3	0.00	0.00	0.00	0.00
C0020	00032	P4	0.00	0.00	0.00	0.00
C0021	00824	P1-P5*	0.00	0.00	0.00	0.00
C0022	00839	P1-P2*	0.00	0.00	0.00	0.00
C0023	00854	P2-P6*	0.00	0.00	0.00	0.00
C0024	00868	P5-P6*	0.00	0.00	0.00	0.00
C0025	00878	P3-P4*	0.00	0.00	0.00	0.00
C0026	00877	P3-P4*	0.00	0.00	0.00	0.00
C0027	00019		0.00	0.00	0.00	0.00
C0028	00018		0.00	0.00	0.00	0.00
C0029	00017		0.00	0.00	0.00	0.00
C0030	00016		0.00	0.00	0.00	0.00
SLE Freq: +1.00*Carico Permanente +1.00*Permanenti NON Strutturali +0.50*Abitazioni +1.00*Spinta Terreno (statica)						
C0015	00024	P1	0.00	0.00	0.00	0.00
C0016	00027	P2	0.00	0.00	0.00	0.00
C0017	00025	P5	0.00	0.00	0.00	0.00
C0018	00026	P6	0.00	0.00	0.00	0.00
C0019	00031	P3	0.00	0.00	0.00	0.00
C0020	00032	P4	0.00	0.00	0.00	0.00
C0021	00824	P1-P5*	0.00	0.00	0.00	0.00
C0022	00839	P1-P2*	0.00	0.00	0.00	0.00
C0023	00854	P2-P6*	0.00	0.00	0.00	0.00
C0024	00868	P5-P6*	0.00	0.00	0.00	0.00
C0025	00878	P3-P4*	0.00	0.00	0.00	0.00
C0026	00877	P3-P4*	0.00	0.00	0.00	0.00
C0027	00019		0.00	0.00	0.00	0.00
C0028	00018		0.00	0.00	0.00	0.00
C0029	00017		0.00	0.00	0.00	0.00
C0030	00016		0.00	0.00	0.00	0.00
SLE Perm: +1.00*Carico Permanente +1.00*Permanenti NON Strutturali +0.30*Abitazioni +1.00*Spinta Terreno (statica)						
C0015	00024	P1	0.00	0.00	0.00	0.00
C0016	00027	P2	0.00	0.00	0.00	0.00
C0017	00025	P5	0.00	0.00	0.00	0.00

Geotecnica - Calcolo dei cedimenti						
Cedimento	Nodo	N	W _{ed} [cm]	W _o [cm]	W _c [cm]	W _f [cm]
C0018	00026	P6	0.00	0.00	0.00	0.00
C0019	00031	P3	0.00	0.00	0.00	0.00
C0020	00032	P4	0.00	0.00	0.00	0.00
C0021	00824	P1-P5*	0.00	0.00	0.00	0.00
C0022	00839	P1-P2*	0.00	0.00	0.00	0.00
C0023	00854	P2-P6*	0.00	0.00	0.00	0.00
C0024	00868	P5-P6*	0.00	0.00	0.00	0.00
C0025	00878	P3-P4*	0.00	0.00	0.00	0.00
C0026	00877	P3-P4*	0.00	0.00	0.00	0.00
C0027	00019		0.00	0.00	0.00	0.00
C0028	00018		0.00	0.00	0.00	0.00
C0029	00017		0.00	0.00	0.00	0.00
C0030	00016		0.00	0.00	0.00	0.00

LEGENDA Geotecnica - calcolo cedimenti

Cedimento Identificativo del Cedimento.

Nodo Numero identificativo del nodo in cui si calcola il cedimento.

N. Numero identificativo dell'elemento verticale (pilastro, estremo parete, setto).

[*]= indica la presenza di un nodo intermedio calcolato sulla base della parete/setto/muro

W_{ed} Cedimento Edometrico.

W_o Cedimento iniziale.

W_c Cedimento di Consolidazione.

W_f Cedimento Finale.

GEOTECNICA - CEDIMENTI DIFFERENZIALI (Fondazione)

Geotecnica - Cedimenti differenziali								
ID	Ced. diff.	Nodo i	Nodo f	L _{i-f} [cm]	ΔW _{i-f} [cm]	(L/ΔW) _{i-f} [-]	(L/ΔW) _{lim} [-]	CS
SLE Rare: +1.00*Carico Permanente +1.00*Permanenti NON Strutturali +1.00*Coperture +0.50*Carico da Neve <= 1000 m s.l.m. +0.70*Abitazioni +1.00*Spinta Terreno (statica)								
001	C0019-C0026	00031	00877	261	0.00	NS	200	NS
002	C0026-C0025	00877	00878	68	0.00	NS	200	NS
003	C0025-C0020	00878	00032	329	0.00	NS	200	NS
004	C0015-C0022	00024	00839	195	0.00	NS	200	NS
005	C0022-C0016	00839	00027	195	0.00	NS	200	NS
006	C0015-C0021	00024	00824	558	0.00	NS	200	NS
007	C0021-C0017	00824	00025	558	0.00	NS	200	NS
008	C0016-C0023	00027	00854	558	0.00	NS	200	NS
009	C0023-C0018	00854	00026	558	0.00	NS	200	NS
SLE Rare: +1.00*Carico Permanente +1.00*Permanenti NON Strutturali +1.00*Carico da Neve <= 1000 m s.l.m. +0.70*Abitazioni +1.00*Spinta Terreno (statica)								
001	C0019-C0026	00031	00877	261	0.00	NS	200	NS
002	C0026-C0025	00877	00878	68	0.00	NS	200	NS
003	C0025-C0020	00878	00032	329	0.00	NS	200	NS
004	C0015-C0022	00024	00839	195	0.00	NS	200	NS
005	C0022-C0016	00839	00027	195	0.00	NS	200	NS
006	C0015-C0021	00024	00824	558	0.00	NS	200	NS
007	C0021-C0017	00824	00025	558	0.00	NS	200	NS
008	C0016-C0023	00027	00854	558	0.00	NS	200	NS
009	C0023-C0018	00854	00026	558	0.00	NS	200	NS
SLE Rare: +1.00*Carico Permanente +1.00*Permanenti NON Strutturali +0.50*Carico da Neve <= 1000 m s.l.m. +1.00*Abitazioni +1.00*Spinta Terreno (statica)								
001	C0019-C0026	00031	00877	261	0.00	NS	200	NS
002	C0026-C0025	00877	00878	68	0.00	NS	200	NS
003	C0025-C0020	00878	00032	329	0.00	NS	200	NS
004	C0015-C0022	00024	00839	195	0.00	NS	200	NS
005	C0022-C0016	00839	00027	195	0.00	NS	200	NS
006	C0015-C0021	00024	00824	558	0.00	NS	200	NS
007	C0021-C0017	00824	00025	558	0.00	NS	200	NS
008	C0016-C0023	00027	00854	558	0.00	NS	200	NS
009	C0023-C0018	00854	00026	558	0.00	NS	200	NS
SLE Rare: +1.00*Carico Permanente +1.00*Permanenti NON Strutturali +0.50*Carico da Neve <= 1000 m s.l.m. +0.70*Abitazioni +1.00*Spinta Terreno (statica)								
001	C0019-C0026	00031	00877	261	0.00	NS	200	NS
002	C0026-C0025	00877	00878	68	0.00	NS	200	NS
003	C0025-C0020	00878	00032	329	0.00	NS	200	NS
004	C0015-C0022	00024	00839	195	0.00	NS	200	NS
005	C0022-C0016	00839	00027	195	0.00	NS	200	NS
006	C0015-C0021	00024	00824	558	0.00	NS	200	NS
007	C0021-C0017	00824	00025	558	0.00	NS	200	NS
008	C0016-C0023	00027	00854	558	0.00	NS	200	NS
009	C0023-C0018	00854	00026	558	0.00	NS	200	NS
SLE Freq: +1.00*Carico Permanente +1.00*Permanenti NON Strutturali +0.30*Abitazioni +1.00*Spinta Terreno (statica)								
001	C0019-C0026	00031	00877	261	0.00	NS	200	NS
002	C0026-C0025	00877	00878	68	0.00	NS	200	NS
003	C0025-C0020	00878	00032	329	0.00	NS	200	NS
004	C0015-C0022	00024	00839	195	0.00	NS	200	NS
005	C0022-C0016	00839	00027	195	0.00	NS	200	NS
006	C0015-C0021	00024	00824	558	0.00	NS	200	NS
007	C0021-C0017	00824	00025	558	0.00	NS	200	NS
008	C0016-C0023	00027	00854	558	0.00	NS	200	NS

Geotecnica - Cedimenti differenziali								
ID	Ced. diff.	Nodo i	Nodo f	L_{i-f}	ΔW_{i-f}	$(L/\Delta W)_{i-f}$	$(L/\Delta W)_{lim}$	CS
009	C0023-C0018	00854	00026	[cm] 558	[cm] 0.00	[-] NS	[-] 200	NS
SLE Freq: +1.00*Carico Permanente +1.00*Permanenti NON Strutturali +0.20*Carico da Neve <= 1000 m s.l.m. +0.30*Abitazioni +1.00*Spinta Terreno (statica)								
001	C0019-C0026	00031	00877	261	0.00	NS	200	NS
002	C0026-C0025	00877	00878	68	0.00	NS	200	NS
003	C0025-C0020	00878	00032	329	0.00	NS	200	NS
004	C0015-C0022	00024	00839	195	0.00	NS	200	NS
005	C0022-C0016	00839	00027	195	0.00	NS	200	NS
006	C0015-C0021	00024	00824	558	0.00	NS	200	NS
007	C0021-C0017	00824	00025	558	0.00	NS	200	NS
008	C0016-C0023	00027	00854	558	0.00	NS	200	NS
009	C0023-C0018	00854	00026	558	0.00	NS	200	NS
SLE Freq: +1.00*Carico Permanente +1.00*Permanenti NON Strutturali +0.50*Abitazioni +1.00*Spinta Terreno (statica)								
001	C0019-C0026	00031	00877	261	0.00	NS	200	NS
002	C0026-C0025	00877	00878	68	0.00	NS	200	NS
003	C0025-C0020	00878	00032	329	0.00	NS	200	NS
004	C0015-C0022	00024	00839	195	0.00	NS	200	NS
005	C0022-C0016	00839	00027	195	0.00	NS	200	NS
006	C0015-C0021	00024	00824	558	0.00	NS	200	NS
007	C0021-C0017	00824	00025	558	0.00	NS	200	NS
008	C0016-C0023	00027	00854	558	0.00	NS	200	NS
009	C0023-C0018	00854	00026	558	0.00	NS	200	NS
SLE Perm: +1.00*Carico Permanente +1.00*Permanenti NON Strutturali +0.30*Abitazioni +1.00*Spinta Terreno (statica)								
001	C0019-C0026	00031	00877	261	0.00	NS	200	NS
002	C0026-C0025	00877	00878	68	0.00	NS	200	NS
003	C0025-C0020	00878	00032	329	0.00	NS	200	NS
004	C0015-C0022	00024	00839	195	0.00	NS	200	NS
005	C0022-C0016	00839	00027	195	0.00	NS	200	NS
006	C0015-C0021	00024	00824	558	0.00	NS	200	NS
007	C0021-C0017	00824	00025	558	0.00	NS	200	NS
008	C0016-C0023	00027	00854	558	0.00	NS	200	NS
009	C0023-C0018	00854	00026	558	0.00	NS	200	NS

LEGENDA Geotecnica - Cedimenti differenziali

ID	Identificativo del cedimento riportato nella vista 3D.
Ced. diff.	Identificativo del cedimento differenziale.
Nodo i, f.	Identificativo dei nodi di estremità su cui si valuta il cedimento differenziale: [i] = Iniziale - [f] = Finale.
L_{i-f}	Lunghezza del tratto ai cui estremi si valuta il cedimento differenziale.
ΔW_{i-f}	Cedimento differenziale, in valore assoluto.
$(L/\Delta W)_{i-f}$	Distorsione angolare. [NS] = Non Significativo - Per valori di $(L/\Delta W)_{i-f}$ maggiori o uguali di 50000.
$(L/\Delta W)_{lim}$	Distorsione angolare limite ammissibile.
CS	Coefficiente di sicurezza (rapporto fra distorsione angolare di calcolo e distorsione angolare ammissibile).

GEOTECNICA - VERIFICHE DEI CEDIMENTI DIFFERENZIALI (Fondazione)

Geotecnica - Verifiche dei cedimenti differenziali				
ID	Ced. diff.	$(L/\Delta W)_{i-f}$	$(L/\Delta W)_{lim}$	CS
		[-]	[-]	
001	C0019-C0026	0.00	200	NS
002	C0026-C0025	0.00	200	NS
003	C0025-C0020	0.00	200	NS
004	C0015-C0022	0.00	200	NS
005	C0022-C0016	0.00	200	NS
006	C0015-C0021	0.00	200	NS
007	C0021-C0017	0.00	200	NS
008	C0016-C0023	0.00	200	NS
009	C0023-C0018	0.00	200	NS

LEGENDA Geotecnica - Verifiche dei cedimenti differenziali

ID	Identificativo del cedimento riportato nella vista 3D.
Ced. diff.	Identificativo del cedimento differenziale.
$(L/\Delta W)_{i-f}$	Distorsione angolare. [NS] = Non Significativo - Per valori di $(L/\Delta W)_{i-f}$ maggiori o uguali di 50000.
$(L/\Delta W)_{lim}$	Distorsione angolare limite ammissibile.
CS	Coefficiente di sicurezza (rapporto fra distorsione angolare di calcolo e distorsione angolare ammissibile).

PARATIA DI PALI DA 400 mm

Metodo di analisi

Calcolo della profondità di infissione

Nel caso generale l'equilibrio della paratia è assicurato dal bilanciamento fra la spinta attiva agente da monte sulla parte fuori terra, la resistenza passiva che si sviluppa da valle verso monte nella zona interrata e la contropinta che agisce da monte verso valle nella zona interrata al di sotto del centro di rotazione.

Nel caso di paratia tirantata nell'equilibrio della struttura intervengono gli sforzi dei tiranti (diretti verso monte); in questo caso, se la paratia non è sufficientemente infissa, la contropinta sarà assente.

Pertanto il primo passo da compiere nella progettazione è il calcolo della profondità di infissione necessaria ad assicurare l'equilibrio fra i carichi agenti (spinta attiva, resistenza passiva, contropinta, tiro dei tiranti ed eventuali carichi esterni).

Nel calcolo classico delle paratie si suppone che essa sia infinitamente rigida e che possa subire una rotazione intorno ad un punto (*Centro di rotazione*) posto al di sotto della linea di fondo scavo (per paratie non tirantate).

Occorre pertanto costruire i diagrammi di spinta attiva e di spinta (resistenza) passiva agenti sulla paratia. A partire da questi si costruiscono i diagrammi risultanti.

Nella costruzione dei diagrammi risultanti si adotterà la seguente notazione:

- K_{am} diagramma della spinta attiva agente da monte
- K_{av} diagramma della spinta attiva agente da valle sulla parte interrata
- K_{pm} diagramma della spinta passiva agente da monte
- K_{pv} diagramma della spinta passiva agente da valle sulla parte interrata.

Calcolati i diagrammi suddetti si costruiscono i diagrammi risultanti

$$D_m = K_{pm} - K_{av} \quad \text{e} \quad D_v = K_{pv} - K_{am}$$

Questi diagrammi rappresentano i valori limiti delle pressioni agenti sulla paratia. La soluzione è ricercata per tentativi facendo variare la profondità di infissione e la posizione del centro di rotazione fino a quando non si raggiunge l'equilibrio sia alla traslazione che alla rotazione.

Per mettere in conto un fattore di sicurezza nel calcolo delle profondità di infissione

si può agire con tre modalità :

1. applicazione di un coefficiente moltiplicativo alla profondità di infissione strettamente necessaria per l'equilibrio
2. riduzione della spinta passiva tramite un coefficiente di sicurezza
3. riduzione delle caratteristiche del terreno tramite coefficienti di sicurezza su $\tan(\phi)$ e sulla coesione

Calcolo della spinte

Metodo di Culmann (metodo del cuneo di tentativo)

Il metodo di Culmann adotta le stesse ipotesi di base del metodo di Coulomb: cuneo di spinta a monte della parete che si muove rigidamente lungo una superficie di rottura rettilinea o spezzata (nel caso di terreno stratificato).

La differenza sostanziale è che mentre Coulomb considera un terrapieno con superficie a pendenza costante e carico uniformemente distribuito (il che permette di ottenere una espressione in forma chiusa per il valore della spinta) il metodo di Culmann consente di analizzare situazioni con profilo di forma generica e carichi sia concentrati che distribuiti comunque disposti. Inoltre, rispetto al metodo di Coulomb, risulta più immediato e lineare tener conto della coesione del masso spingente. Il metodo di Culmann, nato come metodo essenzialmente grafico, si è evoluto per essere trattato mediante analisi numerica (noto in questa forma come metodo del cuneo di tentativo).

I passi del procedimento risolutivo sono i seguenti:

- si impone una superficie di rottura (angolo di inclinazione ρ rispetto all'orizzontale) e si considera il cuneo di spinta delimitato dalla superficie di rottura stessa, dalla parete su cui si calcola la spinta e dal profilo del terreno;
- si valutano tutte le forze agenti sul cuneo di spinta e cioè peso proprio (W), carichi sul terrapieno, resistenza per attrito e per coesione lungo la superficie di rottura (R e C) e resistenza per coesione lungo la parete (A);
- dalle equazioni di equilibrio si ricava il valore della spinta S sulla parete.

Questo processo viene iterato fino a trovare l'angolo di rottura per cui la spinta risulta massima nel caso di spinta attiva e minima nel caso di spinta passiva.

Le pressioni sulla parete di spinta si ricavano derivando l'espressione della spinta S rispetto all'ordinata z . Noto il diagramma delle pressioni si ricava il punto di applicazione della spinta.

Spinta in presenza di falda

Nel caso in cui a monte della parete sia presente la falda il diagramma delle pressioni risulta modificato a causa della sottospinta che l'acqua esercita sul terreno. Il peso di volume del terreno al di sopra della linea di falda non subisce variazioni. Viceversa al di sotto del livello di falda va considerato il peso di volume efficace

$$\gamma' = \gamma_{\text{sat}} - \gamma_w$$

dove γ_{sat} è il peso di volume saturo del terreno (dipendente dall'indice dei pori) e γ_w è il peso specifico dell'acqua. Quindi il diagramma delle pressioni al di sotto della linea di falda ha una pendenza minore. Al diagramma così ottenuto va sommato il diagramma triangolare legato alla pressione esercitata dall'acqua.

Il regime di filtrazione della falda può essere *idrostatico o idrodinamico*.

Nell'ipotesi di regime idrostatico sia la falda di monte che di valle viene considerata statica, la pressione in un punto a quota h al di sotto della linea freatica sarà dunque pari a:

$$\gamma_w \times h$$

Spinta in presenza di sisma

Per tenere conto dell'incremento di spinta dovuta al sisma si fa riferimento al metodo di **Mononobe-Okabe** (cui fa riferimento la Normativa Italiana).

Il metodo di Mononobe-Okabe considera nell'equilibrio del cuneo spingente la forza di inerzia dovuta al sisma. Indicando con W il peso del cuneo e con C il coefficiente di intensità sismica la forza di inerzia valutata come

$$F_i = W * C$$

Indicando con S la spinta calcolata in condizioni statiche e con S_s la spinta totale in condizioni sismiche l'incremento di spinta è ottenuto come

$$DS = S - S_s$$

L'incremento di spinta viene applicato a 2/3 dell'altezza della parete stessa (diagramma triangolare con vertice in basso).

Analisi ad elementi finiti

La paratia è considerata come una struttura a prevalente sviluppo lineare (si fa riferimento ad un metro di larghezza) con comportamento a trave. Come caratteristiche geometriche della sezione si assume il momento d'inerzia I e l'area A per metro lineare di larghezza della paratia. Il modulo elastico è quello del materiale utilizzato per la paratia.

La parte fuori terra della paratia è suddivisa in elementi di lunghezza pari a circa 5 centimetri e più o meno costante per tutti gli elementi. La suddivisione è suggerita anche dalla eventuale presenza di tiranti, carichi e vincoli. Infatti questi elementi devono capitare in corrispondenza di un nodo. Nel caso di tirante è inserito un ulteriore elemento atto a schematizzarlo. Detta L la lunghezza libera del tirante, A_f l'area di armatura nel tirante ed E_s il modulo elastico dell'acciaio è inserito un elemento di lunghezza pari ad L , area A_f , inclinazione pari a quella del tirante e modulo elastico E_s . La parte interrata della paratia è suddivisa in elementi di lunghezza, come visto sopra, pari a circa 5 centimetri.

I carichi agenti possono essere di tipo distribuito (spinta della terra, diagramma aggiuntivo di carico, spinta della falda, diagramma di spinta sismica) oppure concentrati. I carichi distribuiti sono riportati sempre come carichi concentrati nei nodi (sotto forma di reazioni di incastro perfetto cambiate di segno).

Schematizzazione del terreno

La modellazione del terreno si rifà al classico schema di Winkler. Esso è visto come un letto di molle indipendenti fra di loro reagenti solo a sforzo assiale di compressione. La rigidità della singola molla è legata alla costante di sottofondo orizzontale del terreno (*costante di Winkler*). La costante di sottofondo, k , è definita come la pressione unitaria che occorre applicare per ottenere uno spostamento unitario. Dimensionalmente è espressa quindi come rapporto fra una pressione ed uno spostamento al cubo $[F/L^3]$. È evidente che i risultati sono tanto migliori quanto più è elevato il numero delle molle che schematizzano il terreno. Se (m è l'interasse fra le molle (in cm) e b è la larghezza della paratia in direzione longitudinale ($b=100$ cm) occorre ricavare l'area equivalente, A_m , della molla (a cui si assegna una lunghezza pari a 100 cm). Indicato con E_m il modulo elastico del materiale costituente la paratia (in Kg/cm^2), l'equivalenza, in termini di rigidità, si esprime come

$$A_m = 10000 \times \frac{k \Delta_m}{E_m}$$

Per le molle di estremità, in corrispondenza della linea di fondo scavo ed in corrispondenza dell'estremità inferiore della paratia, si assume una area equivalente dimezzata. Inoltre, tutte le

molle hanno, ovviamente, rigidezza flessionale e tagliante nulla e sono vincolate all'estremità alla traslazione. Quindi la matrice di rigidezza di tutto il sistema paratia-terreno sarà data dall'assemblaggio delle matrici di rigidezza degli elementi della paratia (elementi a rigidezza flessionale, tagliante ed assiale), delle matrici di rigidezza dei tiranti (solo rigidezza assiale) e delle molle (rigidezza assiale).

Modalità di analisi e comportamento elasto-plastico del terreno

A questo punto vediamo come è effettuata l'analisi. Un tipo di analisi molto semplice e veloce sarebbe l'analisi elastica (peraltro disponibile nel programma *PAC*). Ma si intuisce che considerare il terreno con un comportamento infinitamente elastico è una approssimazione alquanto grossolana. Occorre quindi introdurre qualche correttivo che meglio ci aiuti a modellare il terreno. Fra le varie soluzioni possibili una delle più praticabili e che fornisce risultati soddisfacenti è quella di considerare il terreno con comportamento elasto-plastico perfetto. Si assume cioè che la curva sforzi-deformazioni del terreno abbia andamento bilatero. Rimane da scegliere il criterio di plasticizzazione del terreno (molle). Si può fare riferimento ad un criterio di tipo cinematico: la resistenza della molla cresce con la deformazione fino a quando lo spostamento non raggiunge il valore X_{max} ; una volta superato tale spostamento limite non si ha più incremento di resistenza all'aumentare degli spostamenti. Un altro criterio può essere di tipo statico: si assume che la molla abbia una resistenza crescente fino al raggiungimento di una pressione p_{max} . Tale pressione p_{max} può essere imposta pari al valore della pressione passiva in corrispondenza della quota della molla. D'altronde un ulteriore criterio si può ottenere dalla combinazione dei due descritti precedentemente: plasticizzazione o per raggiungimento dello spostamento limite o per raggiungimento della pressione passiva. Dal punto di vista strettamente numerico è chiaro che l'introduzione di criteri di plasticizzazione porta ad analisi di tipo non lineare (non linearità meccaniche). Questo comporta un aggravio computazionale non indifferente. L'entità di tale aggravio dipende poi dalla particolare tecnica adottata per la soluzione. Nel caso di analisi elastica lineare il problema si risolve immediatamente con la soluzione del sistema fondamentale (K matrice di rigidezza, u vettore degli spostamenti nodali, p vettore dei carichi nodali)

$$Ku=p$$

Un sistema non lineare, invece, deve essere risolto mediante un'analisi al passo per tener conto della plasticizzazione delle molle. Quindi si procede per passi di carico, a partire da un carico iniziale p_0 , fino a raggiungere il carico totale p . Ogni volta che si incrementa il carico si controllano eventuali plasticizzazioni delle molle. Se si hanno nuove plasticizzazioni la matrice globale andrà riasssemblata escludendo il contributo delle molle plasticizzate. Il procedimento descritto se fosse applicato in questo modo sarebbe particolarmente gravoso (la fase di decomposizione della matrice di rigidezza è particolarmente onerosa). Si ricorre pertanto a soluzioni più sofisticate che escludono il riasssemblaggio e la decomposizione della matrice, ma usano la matrice elastica iniziale (*metodo di Riks*).

Senza addentrarci troppo nei dettagli diremo che si tratta di un metodo di Newton-Raphson modificato e ottimizzato. L'analisi condotta secondo questa tecnica offre dei vantaggi immediati. Essa restituisce l'effettiva deformazione della paratia e le relative sollecitazioni; dà informazioni dettagliate circa la deformazione e la pressione sul terreno. Infatti la deformazione è direttamente leggibile, mentre la pressione sarà data dallo sforzo nella molla diviso per l'area di influenza della molla stessa. Sappiamo quindi quale è la zona di terreno effettivamente plasticizzato. Inoltre dalle deformazioni ci si può rendere conto di un possibile meccanismo di rottura del terreno.

Analisi per fasi di scavo

L'analisi della paratia per fasi di scavo consente di ottenere informazioni dettagliate sullo stato di sollecitazione e deformazione dell'opera durante la fase di realizzazione. In ogni fase lo stato di sollecitazione e di deformazione dipende dalla 'storia' dello scavo (soprattutto nel caso di paratie tirantate o vincolate).

Definite le varie altezze di scavo (in funzione della posizione di tiranti, vincoli, o altro) si procede per ogni fase al calcolo delle spinte inserendo gli elementi (tiranti, vincoli o carichi) attivi per quella fase, tenendo conto delle deformazioni dello stato precedente. Ad esempio, se sono presenti dei tiranti passivi si inserirà nell'analisi della fase la 'molla' che lo rappresenta. Indicando con u ed u_0 gli spostamenti nella fase attuale e nella fase precedente, con s ed s_0 gli sforzi nella fase attuale e nella fase precedente e con K la matrice di rigidezza della 'struttura' la relazione sforzi-deformazione è esprimibile nella forma

$$s = s_0 + K(u - u_0)$$

In sostanza analizzare la paratia per fasi di scavo oppure 'direttamente' porta a risultati abbastanza diversi sia per quanto riguarda lo stato di deformazione e sollecitazione dell'opera sia per quanto riguarda il tiro dei tiranti.

Verifica alla stabilità globale

La verifica alla stabilità globale del complesso paratia+terreno deve fornire un coefficiente di sicurezza non inferiore a 1.30.

È usata la tecnica della suddivisione a strisce della superficie di scorrimento da analizzare. La superficie di scorrimento è supposta circolare.

In particolare il programma esamina, per un dato centro 3 cerchi differenti: un cerchio passante per la linea di fondo scavo, un cerchio passante per il piede della paratia ed un cerchio passante per il punto medio della parte interrata. Si determina il minimo coefficiente di sicurezza su una maglia di centri di dimensioni 6x6 posta in prossimità della sommità della paratia. Il numero di strisce è pari a 50.

Il coefficiente di sicurezza fornito da Fellenius si esprime secondo la seguente formula:

$$\eta = \frac{\sum_i \left(\frac{c_i b_i}{\cos \alpha_i} + [W_i \cos \alpha_i - u_i l_i] \tan \phi_i \right)}{\sum_i W_i \sin \alpha_i}$$

dove n è il numero delle strisce considerate, b_i e α_i sono la larghezza e l'inclinazione della base della striscia i_{esima} rispetto all'orizzontale, W_i è il peso della striscia i_{esima} e c_i e ϕ_i sono le caratteristiche del terreno (coesione ed angolo di attrito) lungo la base della striscia.

Inoltre u_i ed l_i rappresentano la pressione neutra lungo la base della striscia e la lunghezza della base della striscia ($l_i = b_i / \cos \alpha_i$).

Quindi, assunto un cerchio di tentativo si suddivide in n strisce e dalla formula precedente si ricava η . Questo procedimento è eseguito per il numero di centri prefissato e è assunto come coefficiente di sicurezza della scarpata il minimo dei coefficienti così determinati.

Geometria paratia

Tipo paratia: **Paratia di pali**

Altezza fuori terra	4.90	[m]
Profondità di infissione	6.10	[m]
Altezza totale della paratia	11.00	[m]
Lunghezza paratia	12.00	[m]
Numero di file di pali	1	
Interasse fra i pali della fila	0.60	[m]
Diametro dei pali	40.00	[cm]
Numero totale di pali	19	
Numero di pali per metro lineare	1.58	

Geometria cordoli

Simbologia adottata

n°	numero d'ordine del cordolo
Y	posizione del cordolo sull'asse della paratia espresso in [m]

Cordoli in calcestruzzo

B	Base della sezione del cordolo espresso in [cm]
H	Altezza della sezione del cordolo espresso in [cm]

Cordoli in acciaio

A	Area della sezione in acciaio del cordolo espresso in [cmq]
W	Modulo di resistenza della sezione del cordolo espresso in [cm ³]

n°	Y	Tipo	B	H	A	W
1	0.00	Calcestruzzo	200.00	50.00	--	--

Geometria profilo terreno

Simbologia adottata e sistema di riferimento

(Sistema di riferimento con origine in testa alla paratia, ascissa X positiva verso monte, ordinata Y positiva verso l'alto)

N	numero ordine del punto
X	ascissa del punto espressa in [m]
Y	ordinata del punto espressa in [m]
A	inclinazione del tratto espressa in [°]

Profilo di monte

N	X	Y	A
2	10.00	0.00	0.00

Profilo di valle

N	X	Y	A
1	-10.00	-4.90	0.00
2	0.00	-4.90	0.00

Descrizione terreni

Simbologia adottata

n°	numero d'ordine dello strato a partire dalla sommità della paratia
Descrizione	Descrizione del terreno
γ	peso di volume del terreno espresso in [kg/mc]
γ_s	peso di volume saturo del terreno espresso in [kg/mc]
ϕ	angolo d'attrito interno del terreno espresso in [°]
δ	angolo d'attrito terreno/paratia espresso in [°]
c	coesione del terreno espressa in [kg/cm ²]

n°	Descrizione	γ	γ_s	ϕ	δ	c
1	Limo sabbiosi e cineriti	1800.00	1900.00	29.00	0.00	0.000
2	tufo	1600.00	2000.00	45.00	0.00	0.000

Descrizione stratigrafia

Simbologia adottata

n°	numero d'ordine dello strato a partire dalla sommità della paratia
sp	spessore dello strato in corrispondenza dell'asse della paratia espresso in [m]
kw	costante di Winkler orizzontale espressa in Kg/cm ² /cm
α	inclinazione dello strato espressa in GRADI(°)
Terreno	Terreno associato allo strato

n°	sp	α	kw	Terreno
1	11.00	0.00	1.67	Limo sabbiosi e cineriti
2	15.00	0.00	11.99	tufo

Falda

Profondità della falda a monte rispetto alla sommità della paratia	9.00	[m]
Profondità della falda a valle rispetto alla sommità della paratia	9.00	[m]
Regime delle pressioni neutre:	Idrostatico	

Caratteristiche materiali utilizzati

Calcestruzzo

Peso specifico	2500	[kg/mc]
Classe di Resistenza	C25/30	
Resistenza caratteristica a compressione R_{bk}	306	[kg/cm ²]
Tensione di progetto a compressione σ_c	99	[kg/cm ²]
Tensione tangenziale ammissibile τ_{c0}	6.1	[kg/cm ²]
Tensione tangenziale ammissibile τ_{c1}	18.5	[kg/cm ²]

Acciaio

Tipo	B450C	
Tensione ammissibile σ_{fa}	4589	[kg/cm ²]

Tensione di snervamento f_{yk} 4589 [kg/cm²]

Caratteristiche acciaio cordoli in c.a.

Tipo B450C
Tensione ammissibile σ_{fa} 4589 [kg/cm²]
Tensione di snervamento f_{yk} 4589 [kg/cm²]

Condizioni di carico

Simbologia e convenzioni adottate

Le ascisse dei punti di applicazione del carico sono espresse in [m] rispetto alla testa della paratia
Le ordinate dei punti di applicazione del carico sono espresse in [m] rispetto alla testa della paratia
 F_x Forza orizzontale espressa in [kg], positiva da monte verso valle
 F_y Forza verticale espressa in [kg], positiva verso il basso
 M Momento espresso in [kgm], positivo ribaltante
 Q_i, Q_f Intensità dei carichi distribuiti sul profilo espresse in [kg/mq]
 V_i, V_s Intensità dei carichi distribuiti sulla paratia espresse in [kg/mq], positivi da monte verso valle
 R Risultante carico distribuito sulla paratia espressa in [kg]

Condizione n° 1

Carico distribuito sul profilo $X_i = 1.00$ $X_f = 5.00$ $Q_i = 500$ $Q_f = 500$

Vincoli lungo l'altezza della paratia

Simbologia adottata

n° numero d'ordine del vincolo
 Y ordinata del vincolo rispetto alla testa della paratia espressa in [m]
 V_x Vincolo in direzione orizzontale
 K_x Rigidezza vincolo in direzione orizzontale espressa in [Kg/cm]
 V_r Vincolo alla rotazione
 K_r Rigidezza vincolo alla rotazione espressa in [Kg/m°]

n°	Y	V_x	K_x	V_r	K_r
1	4.50	V. RIGIDO	--	LIBERO	--
2	0.00	V. RIGIDO	--	LIBERO	--

Combinazioni di carico

Nella tabella sono riportate le condizioni di carico di ogni combinazione con il relativo coefficiente di partecipazione.

Combinazione n° 1

Spinta terreno

Combinazione n° 2

Spinta terreno

Condizione 1 (folla addensata) x 1.00

Combinazione n° 3

Spinta terreno

Combinazione n° 4

Spinta terreno

Condizione 1 (folla addensata) x 1.00

Impostazioni di progetto

Spinte e verifiche secondo :

- D.M. 11/03/1988

- D.M. 16/01/1996

Verifica materiali

Tensioni ammissibili

Impostazioni di analisi

Analisi per Combinazioni di Carico.

Rottura del terreno: Pressione passiva

Influenza δ (angolo di attrito terreno-paratia): Nel calcolo del coefficiente di spinta attiva K_a e nell'inclinazione della spinta attiva (non viene considerato per la spinta passiva)

Stabilità globale: Metodo di Fellenius

Impostazioni analisi sismica

Coefficiente di intensità sismica (percento) 7.00

Forma del diagramma di incremento sismico triangolare con vertice in basso sulla parte fuori terra

Influenza sisma nella spinta attiva da monte

Analisi della paratia

L'analisi è stata eseguita per combinazioni di carico

La paratia è analizzata con il metodo degli elementi finiti.

Essa è discretizzata in 98 elementi fuori terra e 122 elementi al di sotto della linea di fondo scavo.

Le molle che simulano il terreno hanno un comportamento elastoplastico: una volta raggiunta la pressione passiva non reagiscono ad ulteriori incremento di carico.

Altezza fuori terra della paratia	4.90	[m]
Profondità di infissione	6.10	[m]
Altezza totale della paratia	11.00	[m]

Forze agenti sulla paratia

Tutte le forze si intendono positive se dirette da monte verso valle. Esse sono riferite ad un metro di larghezza della paratia. Le Y hanno come origine la testa della paratia, e sono espresse in [m]

Simbologia adottata

n°	Indice della Combinazione/Fase
Tipo	Tipo della Combinazione/Fase
P_a	Spinta attiva, espressa in [kg]
I_s	Incremento sismico della spinta, espressa in [kg]
P_w	Spinta della falda, espressa in [kg]
P_p	Resistenza passiva, espressa in [kg]

Pc Controspinta, espressa in [kg]

n°	Pa	Y _{Pa}	Is	Y _{Is}	Pw	Y _{Pw}	Pp	Y _{Pp}	Pc	Y _{Pc}
1	8701	3.52	--	--	0	0.00	-41	10.62	827	6.71
2	9408	3.53	--	--	0	0.00	-43	10.62	882	6.70
3	8735	3.56	1141	1.63	0	0.00	-49	10.62	996	6.71
4	9450	3.58	1306	1.63	0	0.00	-53	10.62	1072	6.71

Simbologia adottata

n°	Indice della Combinazione/Fase
Tipo	Tipo della Combinazione/Fase
Rc	Risultante carichi esterni applicati, espressa in [kg]
Rt	Risultante delle reazioni dei tiranti (componente orizzontale), espressa in [kg]
Rv	Risultante delle reazioni dei vincoli, espressa in [kg]
Rp	Risultante delle reazioni dei puntoni, espressa in [kg]

n°	Rc	Y _{Rc}	Rt	Y _{Rt}	Rv	Y _{Rv}	Rp	Y _{Rp}
1	0	0.00	--	--	-9487	3.77	--	--
2	0	0.00	--	--	-10247	3.78	--	--
3	0	0.00	--	--	-10823	3.62	--	--
4	0	0.00	--	--	-11775	3.62	--	--

Simbologia adottata

n°	Indice della Combinazione/Fase
P _{NUL}	Punto di nullo del diagramma, espresso in [m]
P _{INV}	Punto di inversione del diagramma, espresso in [m]
C _{ROT}	Punto Centro di rotazione, espresso in [m]
MP	Percentuale molle plasticizzate, espressa in [%]
R/R _{MAX}	Rapporto tra lo sforzo reale nelle molle e lo sforzo che le molle sarebbero in grado di esplicare, espresso in [%]
Pp	Portanza di punta, espressa in [kg]

n°	P _{NUL}	P _{INV}	C _{ROT}	MP	R/R _{MAX}	Pp
1	5.57	4.90	9.85	0.00	0.43	23786
2	5.61	4.90	9.85	0.00	0.46	23786
3	5.57	4.90	9.86	0.00	0.51	23786
4	5.61	4.90	9.85	0.00	0.55	23786

Risultati vincoli

Simbologia adottata

n°	Indice del vincolo
Y	posizione del vincolo rispetto alla testa della paratia espressa in [m]
R _{x/ml}	reazione in direzione orizzontale a metro lineare, positiva verso valle, espressa in [kg]
R _{θ/ml}	reazione momento a metro lineare, positiva antioraria, espressa in [kgm]
u	spostamento orizzontale, positivo verso valle, espresso in [cm]

Combinazione n° 1

n°	Y	R _x	R _θ	u
1	4.50	-7950.87	--	0.00
2	0.00	-1535.93	--	0.00

Combinazione n° 2

n°	Y	R_x	R_θ	u
1	4.50	-8600.19	--	0.00
2	0.00	-1646.34	--	0.00

Combinazione n° 3

n°	Y	R_x	R_θ	u
1	4.50	-8696.90	--	0.00
2	0.00	-2125.81	--	0.00

Combinazione n° 4

n°	Y	R_x	R_θ	u
1	4.50	-9461.62	--	0.00
2	0.00	-2313.12	--	0.00

Valori massimi e minimi sollecitazioni per metro di paratia

Simbologia adottata

n°	Indice della combinazione/fase
Tipo	Tipo della combinazione/fase
Y	ordinata della sezione rispetto alla testa espressa in [m]
M	momento flettente massimo e minimo espresso in [kgm]
N	sforzo normale massimo e minimo espresso in [kg] (positivo di compressione)
T	taglio massimo e minimo espresso in [kg]

n°	M	Y_M	T	Y_T	N	Y_N	
1	2574	4.50	4788	4.50	5472	11.00	MAX
--	-2270	2.20	-3163	4.50	0	0.00	MIN
2	2803	4.50	5170	4.50	5472	11.00	MAX
--	-2473	2.20	-3431	4.50	0	0.00	MIN
3	2939	4.50	5294	4.50	5472	11.00	MAX
--	-2715	2.15	-3403	4.50	0	0.00	MIN
4	3221	4.50	5751	4.50	5472	11.00	MAX
--	-2978	2.15	-3711	4.50	0	0.00	MIN

Spostamenti massimi e minimi della paratia

Simbologia adottata

n°	Indice della combinazione/fase
Tipo	Tipo della combinazione/fase
Y	ordinata della sezione rispetto alla testa della paratia espressa in [m]
U	spostamento orizzontale massimo e minimo espresso in [cm] positivo verso valle
V	spostamento verticale massimo e minimo espresso in [cm] positivo verso il basso

n°	U	Y_U	V	Y_V	
1	0.0679	2.15	0.0048	0.00	MAX
--	-0.0165	6.00	0.0000	0.00	MIN
2	0.0736	2.15	0.0048	0.00	MAX
--	-0.0176	6.00	0.0000	0.00	MIN

3	0.0814	2.15	0.0048	0.00	MAX
--	-0.0198	6.05	0.0000	0.00	MIN
4	0.0890	2.15	0.0048	0.00	MAX
--	-0.0213	6.00	0.0000	0.00	MIN

Stabilità globale

Metodo di Fellenius

Numero di cerchi analizzati 100

Simbologia adottata

n°	Indice della combinazione/fase
Tipo	Tipo della combinazione/fase
(X _C ; Y _C)	Coordinate centro cerchio superficie di scorrimento, espresse in [m]
R	Raggio cerchio superficie di scorrimento, espresso in [m]
(X _V ; Y _V)	Coordinate intersezione del cerchio con il pendio a valle, espresse in [m]
(X _M ; Y _M)	Coordinate intersezione del cerchio con il pendio a monte, espresse in [m]
FS	Coefficiente di sicurezza

n°	(X _C , Y _C)	R	(X _V , Y _V)	(X _M , Y _M)	FS
1	(0.00; 0.00)	11.00	(-9.85; -4.89)	(11.00; 0.00)	2.45
2	(0.00; 0.00)	11.00	(-9.85; -4.89)	(11.00; 0.00)	2.44
3	(0.00; 1.10)	12.10	(-10.51; -4.89)	(12.05; 0.00)	2.05
4	(0.00; 1.10)	12.10	(-10.51; -4.89)	(12.05; 0.00)	2.04

Combinazione n° 4

Numero di strisce 50

Simbologia adottata

Le ascisse X sono considerate positive verso monte	
Le ordinate Y sono considerate positive verso l'alto	
Origine in testa alla paratia (spigolo contro terra)	
Le strisce sono numerate da monte verso valle	
N°	numero d'ordine della striscia
W	peso della striscia espresso in [kg]
α	angolo fra la base della striscia e l'orizzontale espresso in gradi (positivo antiorario)
φ	angolo d'attrito del terreno lungo la base della striscia
c	coesione del terreno lungo la base della striscia espressa in [kg/cmq]
b	larghezza della striscia espressa in [m]
L	sviluppo della base della striscia espressa in [m] (L=b/cosα)
u	pressione neutra lungo la base della striscia espressa in [kg/cmq]
Ctn, Ctt	contributo alla striscia normale e tangenziale del tirante espresse in [kg]

Caratteristiche delle strisce

N°	W	α(°)	Wsinα	L	φ	c	u	(Ctn; Ctt)
1	293.73	-58.28	-249.86	0.87	29.00	0.000	0.000	(0; 0)
2	860.53	-54.37	-699.41	0.78	29.00	0.000	0.000	(0; 0)
3	1353.56	-50.80	-1048.87	0.72	29.00	0.000	0.000	(0; 0)
4	1789.32	-47.48	-1318.83	0.68	29.00	0.000	0.000	(0; 0)
5	2178.45	-44.37	-1523.24	0.64	29.00	0.000	0.000	(0; 0)
6	2528.32	-41.41	-1672.26	0.61	29.00	0.000	0.000	(0; 0)
7	2844.25	-38.58	-1773.68	0.58	29.00	0.000	0.000	(0; 0)
8	3130.27	-35.86	-1833.70	0.56	29.00	0.000	0.000	(0; 0)

9	3391.64	-33.23	-1858.59	0.55	29.00	0.000	0.002	(0; 0)
10	3638.19	-30.68	-1856.18	0.53	29.00	0.000	0.030	(0; 0)
11	3862.40	-28.19	-1824.58	0.52	29.00	0.000	0.056	(0; 0)
12	4064.63	-25.76	-1766.49	0.51	29.00	0.000	0.080	(0; 0)
13	4246.28	-23.38	-1684.95	0.50	29.00	0.000	0.100	(0; 0)
14	4408.50	-21.04	-1582.70	0.49	29.00	0.000	0.119	(0; 0)
15	4552.22	-18.74	-1462.26	0.48	29.00	0.000	0.136	(0; 0)
16	4678.26	-16.46	-1325.95	0.48	29.00	0.000	0.150	(0; 0)
17	4787.25	-14.22	-1175.92	0.47	29.00	0.000	0.163	(0; 0)
18	4879.76	-12.00	-1014.23	0.47	29.00	0.000	0.173	(0; 0)
19	4956.21	-9.79	-842.83	0.46	29.00	0.000	0.182	(0; 0)
20	5016.97	-7.60	-663.57	0.46	29.00	0.000	0.189	(0; 0)
21	5062.31	-5.42	-478.26	0.46	29.00	0.000	0.194	(0; 0)
22	5092.43	-3.25	-288.66	0.46	29.00	0.000	0.198	(0; 0)
23	5107.45	-1.08	-96.50	0.46	29.00	0.000	0.200	(0; 0)
24	8926.13	1.06	164.71	0.45	29.00	0.000	0.200	(0; 0)
25	8912.14	3.17	493.36	0.45	29.00	0.000	0.198	(0; 0)
26	9053.81	5.29	835.34	0.45	29.00	0.000	0.195	(0; 0)
27	9065.12	7.42	1170.94	0.45	29.00	0.000	0.190	(0; 0)
28	9008.55	9.56	1496.10	0.45	29.00	0.000	0.183	(0; 0)
29	8937.40	11.71	1814.13	0.46	29.00	0.000	0.175	(0; 0)
30	8851.35	13.88	2123.34	0.46	29.00	0.000	0.164	(0; 0)
31	8750.00	16.07	2421.96	0.46	29.00	0.000	0.153	(0; 0)
32	8632.88	18.28	2708.16	0.47	29.00	0.000	0.139	(0; 0)
33	8499.42	20.52	2979.99	0.48	29.00	0.000	0.123	(0; 0)
34	8348.91	22.80	3235.37	0.48	29.00	0.000	0.105	(0; 0)
35	8001.64	25.11	3396.14	0.49	29.00	0.000	0.085	(0; 0)
36	7770.05	27.47	3584.64	0.50	29.00	0.000	0.063	(0; 0)
37	7562.74	29.88	3768.16	0.51	29.00	0.000	0.039	(0; 0)
38	7333.98	32.36	3924.91	0.53	29.00	0.000	0.012	(0; 0)
39	7089.83	34.90	4055.98	0.54	29.00	0.000	0.000	(0; 0)
40	6826.93	37.52	4157.62	0.56	29.00	0.000	0.000	(0; 0)
41	6537.38	40.24	4222.66	0.58	29.00	0.000	0.000	(0; 0)
42	6217.88	43.07	4245.91	0.61	29.00	0.000	0.000	(0; 0)
43	5864.15	46.04	4220.96	0.64	29.00	0.000	0.000	(0; 0)
44	5470.44	49.18	4139.69	0.68	29.00	0.000	0.000	(0; 0)
45	5028.67	52.53	3991.25	0.73	29.00	0.000	0.000	(0; 0)
46	4526.88	56.17	3760.44	0.80	29.00	0.000	0.000	(0; 0)
47	3945.97	60.20	3424.04	0.90	29.00	0.000	0.000	(0; 0)
48	3251.35	64.81	2942.09	1.05	29.00	0.000	0.000	(0; 0)
49	2364.64	70.45	2228.35	1.33	29.00	0.000	0.000	(0; 0)
50	929.66	79.08	912.82	2.36	29.00	0.000	0.000	(0; 0)

Resistenza a taglio paratia= 0.00 [kg]

$\Sigma W_i = 268430.86$ [kg]

$\Sigma W_i \sin \alpha_i = 48377.58$ [kg]

$\Sigma W_i \cos \alpha_i \tan \phi_i = 130144.40$ [kg]

$\Sigma c_i b_i / \cos \alpha_i = 0.00$ [kg]

Descrizione armatura pali e caratteristiche sezione

Diametro del palo	40.00	[cm]
Area della sezione trasversale	1256.64	[cmq]
Copriferro	3.00	[cm]

L'armatura del palo è costituita da 6 ϕ 16($A_f=12.06$ cmq) longitudinali e staffe ϕ 8/20.0 cm.

Verifica armatura paratia (Sezioni critiche)

Simbologia adottata

n°	Indice della combinazione/fase
Y	ordinata della sezione rispetto alla testa della paratia espressa in [m]
σ_c	tensione nel calcestruzzo, espressa in [kg/cm ²]
σ_f	tensione nell'armatura longitudinale del palo, espressa in [kg/cm ²]
τ_c	tensione tangenziale nel calcestruzzo, espresso in [kg/cm ²]
σ_{st}	tensione nell'armatura trasversale, espresso in [kg/cm ²]

n°	σ_c	Y(σ_c)	σ_f	Y(σ_f)	τ_c	Y(τ_c)	σ_{st}	Y(σ_{st})
1	43.17	4.501176.14	4.50	3.41	4.501808.13	4.50		
2	47.05	4.501292.81	4.50	3.68	4.501951.10	4.50		
3	49.35	4.501362.08	4.50	3.77	4.501997.56	4.50		
4	54.12	4.501505.68	4.50	4.09	4.502168.64	4.50		

Verifica armatura paratia (Inviluppo)

Simbologia adottata

n°	Indice della combinazione/fase
Y	ordinata della sezione, espressa in [m]
σ_c	tensione massima nel calcestruzzo, espressa in [kg/cm ²]
σ_f	tensione massima nei ferri longitudinali, espressa in [kg/cm ²]
σ_{st}	tensione massima nei ferri trasversali, espressa in [kg/cm ²]

Y	σ_c	n°	σ_f	n°	τ_c	n°	σ_{st}	n°
0.00	0.00	1	0.00	1	1.16	4	616.76	4
0.05	1.94	4	57.13	4	1.62	4	861.33	4
0.10	3.86	4	113.64	4	1.61	4	851.95	4
0.15	5.76	4	169.50	4	1.59	4	842.05	4
0.20	7.64	4	224.67	4	1.57	4	831.64	4
0.25	9.49	4	279.12	4	1.55	4	820.72	4
0.30	11.31	4	332.81	4	1.53	4	809.29	4
0.35	13.11	4	385.71	4	1.50	4	797.35	4
0.40	14.89	4	437.78	4	1.48	4	784.89	4
0.45	16.63	4	488.99	4	1.46	4	771.93	4
0.50	18.35	4	539.30	4	1.43	4	758.45	4
0.55	20.03	4	588.69	4	1.40	4	744.46	4
0.60	21.68	4	637.11	4	1.38	4	729.96	4
0.65	23.30	4	684.53	4	1.35	4	714.94	4
0.70	24.89	4	730.91	4	1.32	4	699.42	4
0.75	26.44	4	776.23	4	1.29	4	683.38	4

0.80	27.95	4	820.44	4	1.26	4	666.83	4
0.85	29.42	4	863.51	4	1.22	4	649.77	4
0.90	30.86	4	905.41	4	1.19	4	632.20	4
0.95	32.26	4	946.10	4	1.16	4	614.11	4
1.00	33.61	4	985.55	4	1.12	4	595.52	4
1.05	34.92	4	1023.72	4	1.09	4	576.41	4
1.10	36.19	4	1060.58	4	1.05	4	556.79	4
1.15	37.42	4	1096.10	4	1.01	4	536.66	4
1.20	38.59	4	1130.23	4	0.97	4	516.01	4
1.25	39.73	4	1162.94	4	0.93	4	494.86	4
1.30	40.81	4	1194.21	4	0.89	4	473.19	4
1.35	41.84	4	1223.98	4	0.85	4	450.87	4
1.40	42.83	4	1252.22	4	0.81	4	427.76	4
1.45	43.76	4	1278.86	4	0.76	4	403.69	4
1.50	44.63	4	1303.83	4	0.71	4	378.46	4
1.55	45.45	4	1327.05	4	0.66	4	352.21	4
1.60	46.21	4	1348.47	4	0.61	4	325.05	4
1.65	46.90	4	1368.02	4	0.56	4	297.17	4
1.70	47.53	4	1385.67	4	0.51	4	268.74	4
1.75	48.10	4	1401.37	4	0.46	2	244.34	2
1.80	48.60	4	1415.09	4	0.42	2	220.74	2
1.85	49.04	4	1426.79	4	0.37	2	196.51	2
1.90	49.40	4	1436.44	4	0.32	2	171.67	2
1.95	49.70	4	1443.99	4	0.28	2	146.22	2
2.00	49.93	4	1449.42	4	0.23	2	120.14	2
2.05	50.08	4	1452.68	4	0.18	2	93.46	2
2.10	50.17	4	1453.74	4	0.12	2	66.16	2
2.15	50.17	4	1452.56	4	0.07	2	38.26	2
2.20	50.11	4	1449.11	4	0.09	4	45.50	4
2.25	49.96	4	1443.35	4	0.15	4	79.87	4
2.30	49.74	4	1435.25	4	0.22	4	114.77	4
2.35	49.44	4	1424.77	4	0.28	4	150.21	4
2.40	49.06	4	1411.87	4	0.35	4	186.18	4
2.45	48.60	4	1396.52	4	0.42	4	222.67	4
2.50	48.05	4	1378.68	4	0.49	4	259.70	4
2.55	47.42	4	1358.33	4	0.56	4	297.25	4
2.60	46.71	4	1335.41	4	0.63	4	335.34	4
2.65	45.91	4	1309.91	4	0.70	4	373.96	4
2.70	45.02	4	1281.77	4	0.78	4	413.11	4
2.75	44.05	4	1250.98	4	0.85	4	452.80	4
2.80	42.99	4	1217.48	4	0.93	4	493.03	4
2.85	41.83	4	1181.26	4	1.01	4	533.80	4
2.90	40.58	4	1142.27	4	1.08	4	575.11	4
2.95	39.24	4	1100.48	4	1.16	4	616.98	4
3.00	37.81	4	1055.85	4	1.24	4	659.41	4
3.05	36.28	4	1008.35	4	1.32	4	702.42	4
3.10	34.65	4	957.95	4	1.41	4	746.01	4
3.15	32.92	4	904.62	4	1.49	4	790.22	4
3.20	31.10	4	848.32	4	1.57	4	835.07	4
3.25	29.17	4	789.02	4	1.66	4	880.62	4
3.30	27.14	4	726.68	4	1.75	4	926.94	4
3.35	25.01	4	661.30	4	1.84	4	974.14	4

3.40	22.77	4	592.83	4	1.93	4	1022.42	4
3.45	20.43	4	521.27	4	2.02	4	1072.11	4
3.50	17.98	4	446.60	4	2.12	4	1123.82	4
3.55	15.41	4	368.87	4	2.22	4	1178.78	4
3.60	12.73	4	288.16	4	2.34	4	1239.75	4
3.65	9.92	4	204.74	4	2.48	4	1313.97	4
3.70	6.97	4	119.66	4	2.68	4	1424.22	4
3.75	4.15	2	48.41	2	3.07	4	1626.13	4
3.80	1.91	1	24.95	1	2.49	4	1321.08	4
3.85	1.77	4	23.39	4	2.64	4	1400.51	4
3.90	4.57	4	52.82	4	3.36	4	1780.65	4
3.95	8.10	4	146.15	4	3.17	4	1683.08	4
4.00	11.72	4	249.24	4	3.16	4	1677.57	4
4.05	15.44	4	357.33	4	3.21	4	1705.15	4
4.10	19.26	4	469.56	4	3.29	4	1745.42	4
4.15	23.19	4	585.69	4	3.38	4	1791.69	4
4.20	27.24	4	705.64	4	3.47	4	1841.29	4
4.25	31.41	4	829.40	4	3.57	4	1892.99	4
4.30	35.70	4	956.96	4	3.67	4	1946.18	4
4.35	40.12	4	1088.34	4	3.77	4	2000.51	4
4.40	44.66	4	1223.57	4	3.88	4	2055.78	4
4.45	49.32	4	1362.67	4	3.98	4	2111.85	4
4.50	54.12	4	1505.68	4	4.09	4	2168.64	4
4.55	51.04	4	1411.64	4	2.53	4	1341.28	4
4.60	48.10	4	1321.61	4	2.42	4	1282.19	4
4.65	45.29	4	1235.65	4	2.30	4	1222.11	4
4.70	42.61	4	1153.85	4	2.19	4	1161.06	4
4.75	40.08	4	1076.26	4	2.07	4	1099.07	4
4.80	37.68	4	1002.94	4	1.95	4	1036.18	4
4.85	35.43	4	933.97	4	1.83	4	972.40	4
4.90	33.32	4	869.41	4	1.71	4	905.91	4
4.95	31.36	4	809.34	4	1.58	4	838.86	4
5.00	29.55	4	753.73	4	1.46	4	775.56	4
5.05	27.88	4	702.33	4	1.35	4	716.06	4
5.10	26.33	4	654.86	4	1.24	4	660.38	4
5.15	24.91	4	611.08	4	1.15	4	608.57	4
5.20	23.59	4	570.71	4	1.06	4	560.67	4
5.25	22.39	4	533.50	4	0.97	4	516.71	4
5.30	21.27	4	499.17	4	0.90	4	476.73	4
5.35	20.24	4	467.46	4	0.83	4	440.77	4
5.40	19.29	4	438.09	4	0.77	4	408.88	4
5.45	18.40	4	410.79	4	0.72	4	381.11	4
5.50	17.58	4	385.28	4	0.67	4	357.52	4
5.55	16.80	4	361.29	4	0.64	4	338.17	4
5.60	16.06	4	338.54	4	0.61	4	323.12	4
5.65	15.35	4	316.81	4	0.59	4	314.47	4
5.70	14.65	4	295.57	4	0.58	4	309.17	4
5.75	13.97	4	274.83	4	0.57	4	303.92	4
5.80	13.31	4	254.63	4	0.56	4	298.74	4
5.85	12.65	4	234.96	4	0.55	4	293.65	4
5.90	12.01	4	215.85	4	0.54	4	288.67	4
5.95	11.39	4	197.31	4	0.53	4	283.81	4

6.00	10.78	4	179.37	4	0.53	4	279.07	4
6.05	10.18	4	162.05	4	0.52	4	274.46	4
6.10	9.60	4	145.38	4	0.51	4	269.97	4
6.15	9.03	4	129.41	4	0.50	4	265.57	4
6.20	8.48	4	114.15	4	0.49	4	261.20	4
6.25	7.95	4	99.68	4	0.48	4	256.78	4
6.30	7.43	4	86.03	4	0.48	4	252.17	4
6.35	6.94	4	81.04	4	0.47	4	247.21	4
6.40	6.47	4	76.40	4	0.46	4	241.65	4
6.45	6.02	4	71.93	4	0.44	4	235.23	4
6.50	5.59	4	67.68	4	0.43	4	227.70	4
6.55	5.20	4	63.67	4	0.41	4	218.89	4
6.60	4.84	4	59.93	4	0.39	4	208.78	4
6.65	4.51	4	56.48	4	0.37	4	197.52	4
6.70	4.22	4	53.34	4	0.35	4	185.45	4
6.75	3.95	4	50.51	4	0.33	4	173.03	4
6.80	3.72	4	47.97	4	0.30	4	160.69	4
6.85	3.52	4	45.71	4	0.28	4	148.84	4
6.90	3.34	4	43.71	4	0.26	4	137.80	4
6.95	3.18	4	41.92	4	0.24	4	127.89	4
7.00	3.03	4	40.31	4	0.23	4	120.35	4
7.05	2.90	4	38.79	4	0.22	4	115.19	4
7.10	2.77	4	37.34	4	0.21	4	110.13	4
7.15	2.65	4	35.96	4	0.20	4	105.16	4
7.20	2.53	4	34.65	4	0.19	4	100.29	4
7.25	2.42	4	33.41	4	0.18	4	95.51	4
7.30	2.31	4	32.24	4	0.17	4	90.84	4
7.35	2.22	4	31.13	4	0.16	4	86.27	4
7.40	2.12	4	30.09	4	0.15	4	81.79	4
7.45	2.03	4	29.10	4	0.15	4	77.43	4
7.50	1.95	4	28.18	4	0.14	4	73.16	4
7.55	1.87	4	27.32	4	0.13	4	69.00	4
7.60	1.80	4	26.52	4	0.12	4	64.94	4
7.65	1.74	3	25.83	3	0.11	4	60.98	4
7.70	1.70	2	25.47	2	0.11	4	57.13	4
7.75	1.78	4	26.36	4	0.10	4	53.38	4
7.80	1.85	4	27.27	4	0.09	4	49.73	4
7.85	1.92	4	28.13	4	0.09	4	46.19	4
7.90	1.99	4	28.94	4	0.08	4	42.75	4
7.95	2.05	4	29.70	4	0.07	4	39.41	4
8.00	2.11	4	30.42	4	0.07	4	36.18	4
8.05	2.17	4	31.09	4	0.06	4	33.05	4
8.10	2.22	4	31.71	4	0.06	4	30.02	4
8.15	2.26	4	32.30	4	0.05	4	27.08	4
8.20	2.31	4	32.84	4	0.05	4	24.25	4
8.25	2.35	4	33.35	4	0.04	4	21.52	4
8.30	2.39	4	33.81	4	0.04	4	18.89	4
8.35	2.42	4	34.24	4	0.03	4	16.35	4
8.40	2.45	4	34.63	4	0.03	4	13.92	4
8.45	2.48	4	34.99	4	0.02	4	11.57	4
8.50	2.50	4	35.32	4	0.02	4	9.33	4
8.55	2.53	4	35.61	4	0.01	4	7.17	4

8.60	2.54	4	35.88	4	0.01	4	5.11	4
8.65	2.56	4	36.11	4	0.01	4	3.15	4
8.70	2.58	4	36.32	4	0.00	3	1.33	3
8.75	2.59	4	36.50	4	0.00	2	0.57	2
8.80	2.60	4	36.66	4	0.00	4	2.21	4
8.85	2.61	4	36.79	4	0.01	4	3.82	4
8.90	2.61	4	36.90	4	0.01	4	5.33	4
8.95	2.62	4	36.99	4	0.01	4	6.77	4
9.00	2.62	4	37.06	4	0.02	4	8.11	4
9.05	2.62	4	37.11	4	0.02	4	9.37	4
9.10	2.62	4	37.14	4	0.02	4	10.55	4
9.15	2.62	4	37.16	4	0.02	4	11.64	4
9.20	2.62	4	37.16	4	0.02	4	12.65	4
9.25	2.61	4	37.15	4	0.03	4	13.58	4
9.30	2.61	4	37.12	4	0.03	4	14.43	4
9.35	2.60	4	37.08	4	0.03	4	15.20	4
9.40	2.59	4	37.03	4	0.03	4	15.89	4
9.45	2.58	4	36.97	4	0.03	4	16.50	4
9.50	2.58	4	36.91	4	0.03	4	17.03	4
9.55	2.57	4	36.83	4	0.03	4	17.49	4
9.60	2.56	4	36.75	4	0.03	4	17.87	4
9.65	2.54	4	36.67	4	0.03	4	18.17	4
9.70	2.53	4	36.57	4	0.03	4	18.40	4
9.75	2.52	4	36.48	4	0.03	4	18.55	4
9.80	2.51	4	36.39	4	0.04	4	18.63	4
9.85	2.50	4	36.29	4	0.04	4	18.64	4
9.90	2.49	4	36.19	4	0.04	4	18.57	4
9.95	2.48	4	36.09	4	0.03	4	18.43	4
10.00	2.46	4	36.00	4	0.03	4	18.22	4
10.05	2.45	4	35.91	4	0.03	4	17.94	4
10.10	2.44	4	35.82	4	0.03	4	17.58	4
10.15	2.43	4	35.74	4	0.03	4	17.15	4
10.20	2.42	4	35.66	4	0.03	4	16.66	4
10.25	2.41	4	35.59	4	0.03	4	16.09	4
10.30	2.40	4	35.53	4	0.03	4	15.45	4
10.35	2.40	4	35.48	4	0.03	4	14.74	4
10.40	2.39	4	35.44	4	0.03	4	13.96	4
10.45	2.38	4	35.41	4	0.02	4	13.11	4
10.50	2.38	4	35.39	4	0.02	4	12.20	4
10.55	2.37	4	35.38	4	0.02	4	11.21	4
10.60	2.37	4	35.39	4	0.02	4	10.15	4
10.65	2.37	4	35.41	4	0.02	4	9.02	4
10.70	2.37	4	35.45	4	0.01	4	7.83	4
10.75	2.37	4	35.50	4	0.01	4	6.56	4
10.80	2.37	4	35.57	4	0.01	4	5.23	4
10.85	2.38	4	35.66	4	0.01	4	3.82	4
10.90	2.39	4	35.77	4	0.00	4	2.35	4
10.95	2.39	4	35.91	4	0.00	4	0.81	4

Verifica sezione cordoli

Simbologia adottata

M_h	momento flettente espresso in [kgm] nel piano orizzontale
T_h	taglio espresso in [kg] nel piano orizzontale
M_v	momento flettente espresso in [kgm] nel piano verticale
T_v	taglio espresso in [kg] nel piano verticale

Cordolo N° 1 (X=0.00 m) (Cordolo in c.a.)

$B=200.00$ [cm]	$H=50.00$ [cm]		
$A_{fv}=16.08$ [cmq]	$A_{fh}=16.08$ [cmq]	Staffe $\phi 10/25$	$Nbh=2 - Nbv=2$
$M_h=3872$ [kgm]	$T_h=7744$ [kg]	$M_v=450$ [kgm]	$T_v=1500$ [kg]
$\sigma_c = 2.01$ [kg/cmq]	$\sigma_f = 129.68$ [kg/cmq]	$\tau_c = 0.91$ [kg/cmq]	$\sigma_{staffe} = 724.99$ [kg/cmq]

Computo delle quantità e dei costi

Numero di pali	19
----------------	----

Quantità per il singolo palo

Perforazione	[m]	11.00
Diametro perforazione	[m]	0.40
Volume calcestruzzo	[mc]	1.38
Quantità acciaio	[kg]	130.42

Quantità acciaio per diametro

Diametro(mm)	Quantita(Kg)
8	26.25
16	104.17

Computo delle quantità per tutta la paratia

Perforazione	(m)	209.00
Volume calcestruzzo	(m ³)	26.26
Quantità acciaio	(Kg)	2478.06

Computo dei cordoli

Volume calcestruzzo	mc	10.81
Acciaio tondini	Kg	754.05

Analisi dei prezzi

Prezzo perforazione	(Euro/ml)	23.24
Prezzo calcestruzzo	(Euro/m ³)	72.30
Prezzo acciaio per c.a.	(Euro/Kg)	1.03
Prezzo acciaio profilato	(Euro/Kg)	1.29

Computo metrico

Costo perforazione	Euro	4857.16
Costo calcestruzzo (paratia)	Euro	1898.87

Costo acciaio (paratia)	Euro	2552.40
Costo totale pali della paratia	Euro	9308.43
Costo cordoli	Euro	1557.96
Costo totale dell'opera	Euro	10866.39
Costo per metro lineare	Euro	905.53

4 – ILLUSTRAZIONE SINTETICA DEI RISULTATI

Il presente documento riporta gli **elaborati grafici sintetici** in conformità a quanto previsto nel par. 10.2 del D.M. 14 gennaio 2008.

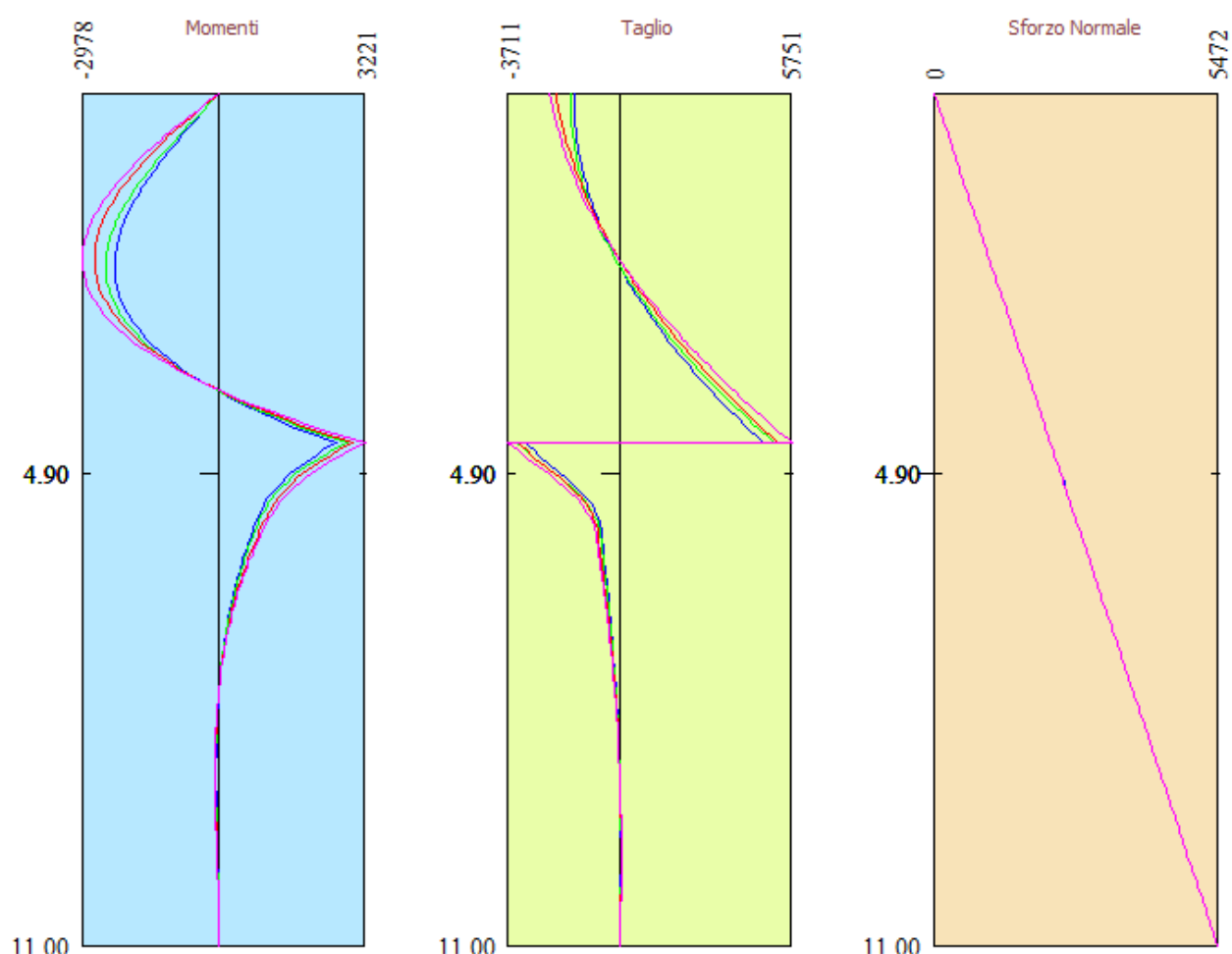
Tali elaborati hanno lo scopo di riassumere il comportamento della struttura relativamente al tipo di analisi svolta e possono riportare informazioni sintetiche e schemi relativi a carichi, sollecitazioni e sforzi, spostamenti, tensioni sul terreno, etc.

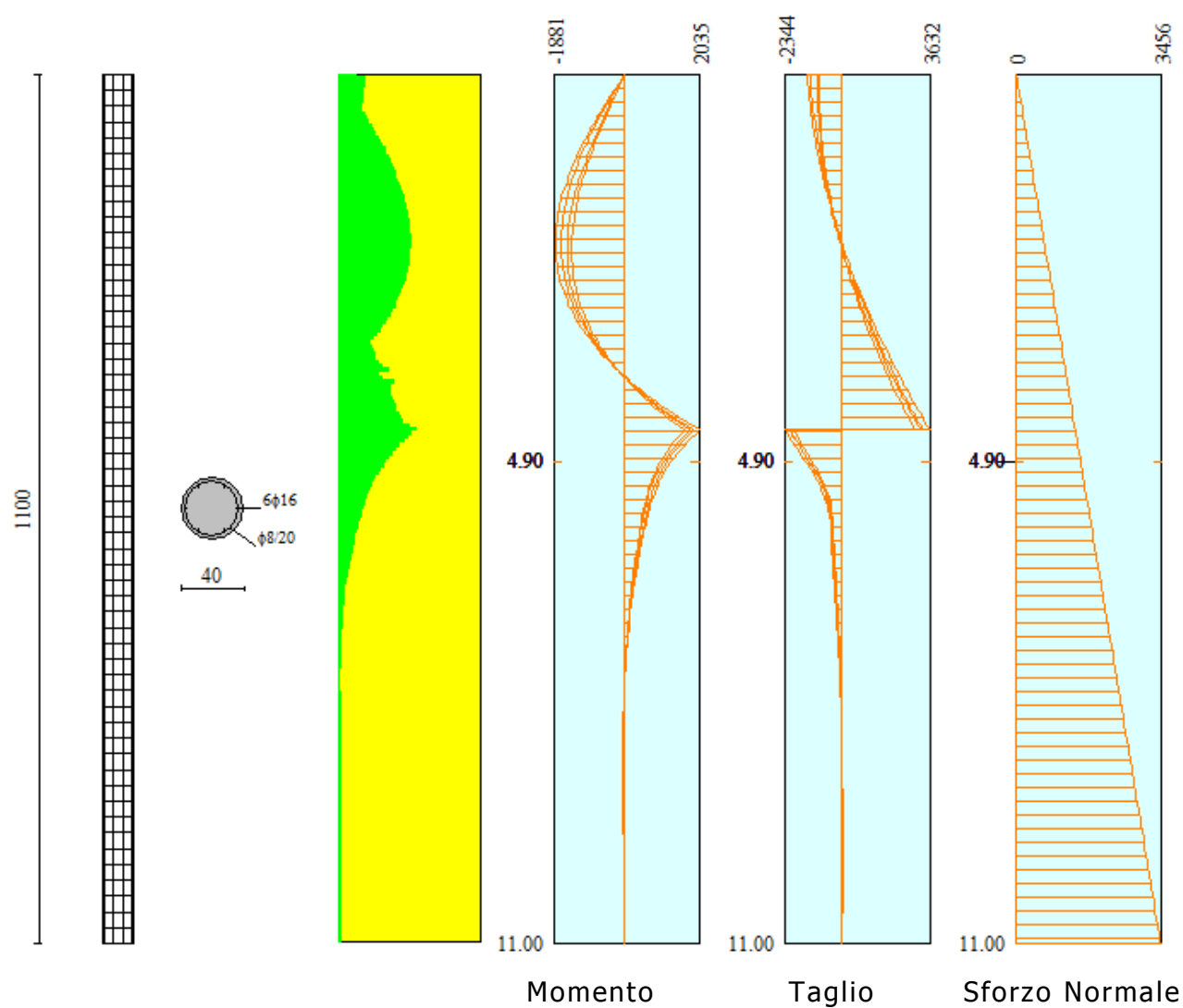
Al fine delle verifiche della misura della sicurezza, si riportano delle rappresentazioni che ne sintetizzano i valori numerici dei coefficienti di sicurezza nelle sezioni significative della struttura stessa.

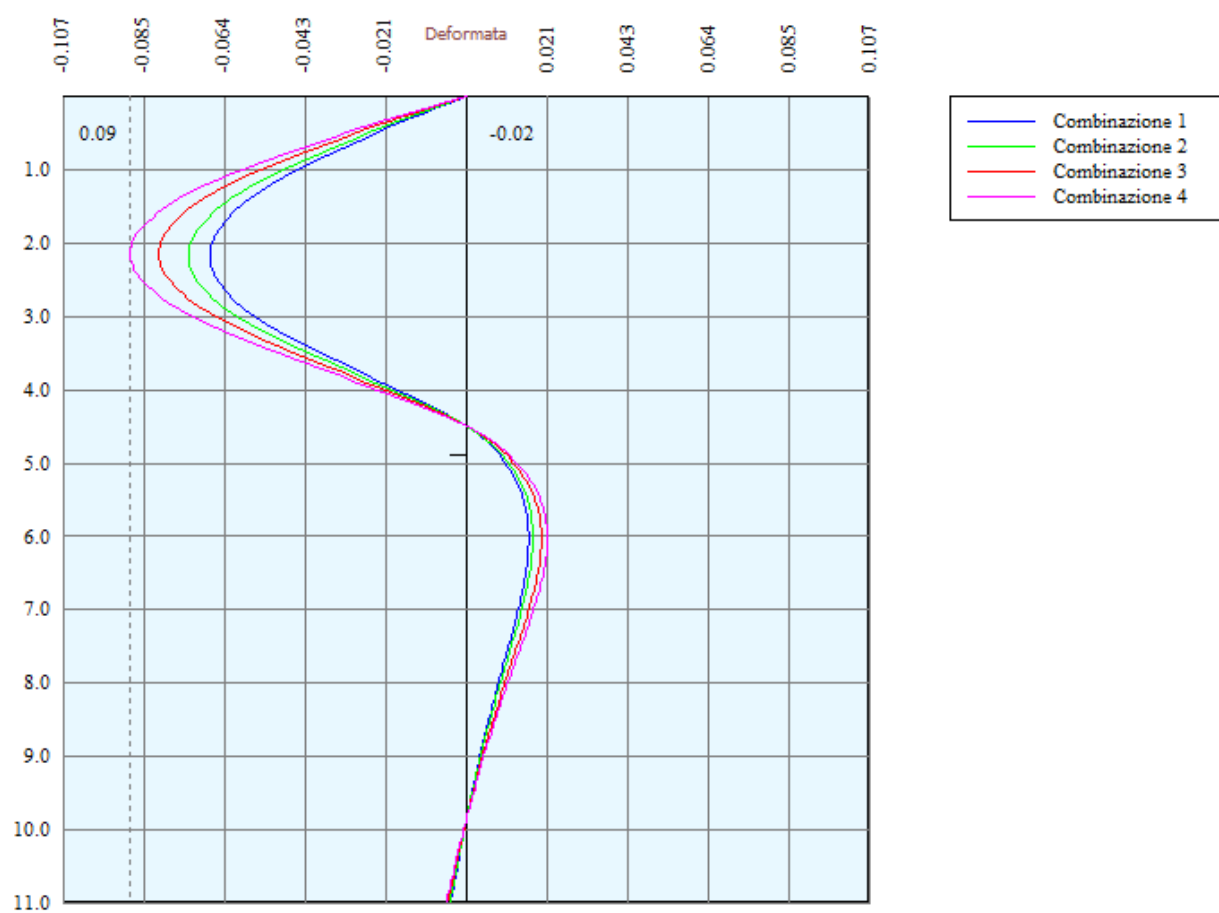
Per ogni singolo elaborato grafico, contenente un telaio, una parte della struttura o la struttura nel suo insieme, si riportano indicazioni sulle convenzioni adottate e sulle unità di misura, nonché disegni, schemi grafici e mappature cromatiche che schematizzano il comportamento complessivo della struttura.

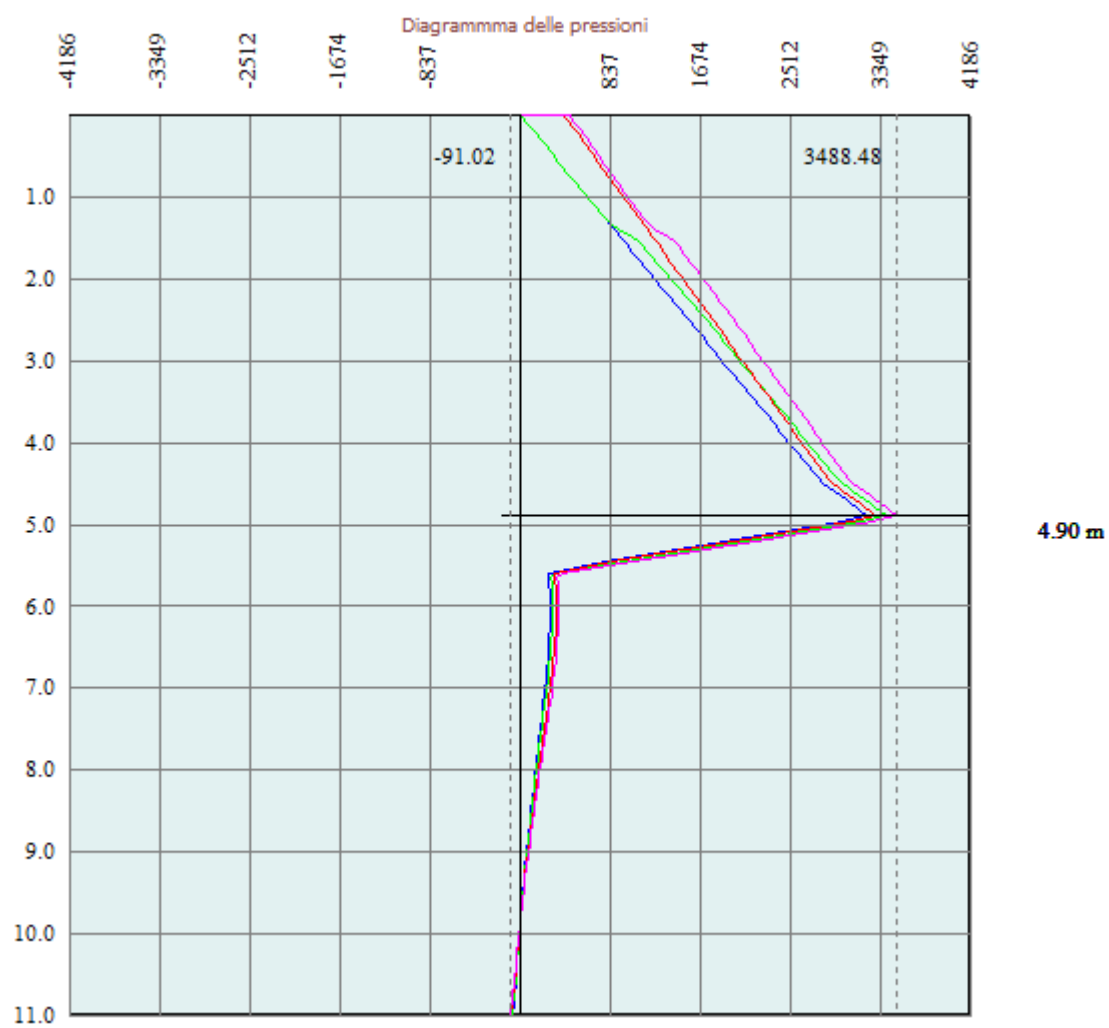
Grazie alle mappature a colori, per ciascun tipo di risultato, si fornisce un quadro chiaro e sintetico: è possibile rilevare agevolmente il valore delle diverse grandezze in base al colore assunto dagli elementi della struttura. Ogni colore rappresenta un determinato valore, dal blu (corrispondente generalmente al valore minimo) al rosso (generalmente valore massimo), passando attraverso le varie sfumature di colore corrispondenti ai valori intermedi.

Prima di ogni tipologia di risultato è riportata la scala cromatica con l'indicazione numerica del valore minimo e massimo.









4 - CONCLUSIONI

Le verifiche eseguite in merito alla stabilità globale e locale della struttura hanno dato esito positivo per l'opera di progetto, pertanto la struttura risulta verificata rispetto alla crisi locale e globale in ogni sua parte sia per forze statiche che per sollecitazione sismica nel rispetto dei D.M. Min. LL. PP. 14 Gennaio 2008.

Si rilascia per gli usi consentiti dalla legge.

Il Tecnico
Ing. Fabio Mastellone di Castelvete